

**Paisaje arqueológico y dinámica cultural en el área
de Chactún, Campeche (2016-2018):
Informe de la temporada 2017**

**Ivan Šprajc
Coordinador**

Centro de Investigaciones de la Academia Eslovena de Ciencias y Artes

Ljubljana, 2017

Contenido

| | |
|--|----|
| Agradecimientos..... | iv |
| 1. Introducción, <i>I. Šprajc</i> | 1 |
| 2. Características principales del paisaje arqueológico, <i>I. Šprajc, A. Marsetič, L. A. Torres Díaz</i> | 7 |
| Introducción..... | 7 |
| Arquitectura y ordenamiento espacial..... | 7 |
| Monumentos esculpidos | 10 |
| Canteras | 12 |
| Caleras | 13 |
| Calzadas | 14 |
| Terrazas, albarreadas y camellones | 16 |
| Obras hidráulicas | 17 |
| 3. Descripción de algunas áreas recorridas, <i>I. Šprajc, L. A. Torres Díaz, A. Marsetič</i> | 19 |
| Grupo D23-a..... | 19 |
| Grupo D23-b..... | 19 |
| Grupo D23-c..... | 19 |
| Grupo E10-d | 19 |
| Grupo E19-a | 21 |
| Grupo E19-b | 22 |
| Grupo E19-c | 23 |
| Grupo E21-a | 25 |
| Grupo F12-f..... | 25 |
| Grupo F13-a | 27 |
| Grupo F15-a | 29 |
| Grupo F15-b | 30 |
| Grupo F15-c | 30 |
| Grupo F24-b | 33 |
| Grupo H24-e..... | 34 |
| Grupo I14-c | 35 |
| Grupo I21-b | 37 |
| Grupo K16-a..... | 37 |
| 4. Informe de las actividades de excavación y registro epigráfico de monumentos, <i>O. Q. Esparza Olguín</i> | 39 |
| Introducción..... | 39 |
| Altar 1 (N18°47'46.3", W89°31'52") | 39 |
| Operación Altar 1 | 42 |
| Altar 2 (N18°50'22.4", W89°32'12.5") | 43 |
| Operación Altar 2 | 46 |
| Estela 1 (N18°47'31", W89°33'13.3")..... | 48 |
| Operación Altares (N18°48'46", W89°33'16.8") | 50 |
| Pozos de sondeo en el juego de pelota del grupo H24-e (N18°42'26.1", W89°32'22.9")..... | 51 |
| Operación JPSE | 52 |
| Operación JPNE | 55 |
| 5. Excavaciones de sondeo, <i>L. A. Torres Díaz</i> | 59 |
| Operación K24-b (N18°42'37", W89°30'33.4")..... | 59 |
| Operación G14-g (N18°47'57.6", W89°32'41.6")..... | 60 |

| | |
|--|-----|
| Operación I21-c (N18°44'02.6", W89°31'44.9") | 62 |
| Operación H24-e (N18°42'25.5", W89°32'23.6")..... | 64 |
| 6. Ceramics and Lithics, <i>J. W. Ball, Illustrations: J. T. Taschek</i> | 68 |
| Methodology | 69 |
| Findings..... | 69 |
| The WPT samples | 70 |
| Excavations | 71 |
| Discussion | 73 |
| Lithics..... | 74 |
| Tables | 74 |
| Appendix: A Visual Guide to the 2017 Ceramic Collections | 76 |
| Positive Ceramic Type and Variety Identifications: Alphabetical Listing..... | 76 |
| Positive Ceramic Group, Type, and Variety Identifications, Chronologically Ordered and Surface Group Organized | 78 |
| Figures..... | 82 |
| 7. Excavaciones de sondeo, <i>A. Flores Esquivel</i> | 91 |
| Operación K24-1 (N18°42'17.8", W89°30'35.7") | 91 |
| Operación H20-1 (N18°44'46.7", W89°32'01.1")..... | 94 |
| Operación J23-1 (N18°42'57.3", W89°31'08.9")..... | 96 |
| 8. Construcción del espacio de protección para la Estela 1 de Chactún, <i>I. Šprajc</i> | 99 |
| 9. Comentarios finales, <i>I. Šprajc</i> | 101 |
| Bibliografia..... | 103 |

Agradecimientos

La temporada 2017 del proyecto, formando parte de la investigación patrocinada por la Agencia de Investigaciones Científicas de la República de Eslovenia (ARRS, proyecto J6-7085), fue adicionalmente financiada por la *KJJ Charitable Foundation*, presidida por Ken y Julie Jones, EE.UU., la empresa mexicana Hotel Río Bec Dreams y las eslovenas Ars longa, Adria Kombi, Abanka, Zavarovalnica Triglav, Rokus Klett, Parka Group, GKTI, BSL, así como por los señores Martin Hobel y Aleš Obreza. Al igual que en temporadas anteriores, también en ésta contamos con los apoyos del Instituto Nacional de Antropología e Historia y del Centro de Investigaciones de la Academia Eslovena de Ciencias y Artes (ZRC SAZU).

Las actividades de esta temporada fueron aprobadas por el Consejo de Arqueología del INAH, mediante el oficio núm. 401.1S.3-2017/117, del 30 de enero de 2017, firmado por el Dr. Carlos Javier González González, Presidente del Consejo de Arqueología, con base en el cual fue expedido también el memorandum núm. D-RBC-029/2017, del 17 de marzo de 2017, firmado por el Ing. José Adalberto Zúñiga Morales y el Lic. Carlos Enrique Coutiño Cal y Mayor, Director y Subdirector, respectivamente, de la Reserva de la Biósfera Calakmul, autorizando nuestros trabajos en el área. El Ing. Zúñiga y el Lic. Coutiño tuvieron la gentileza de autorizarnos el préstamo de dos cuatrimotos durante toda la temporada. Nuestra investigación y diversas actividades relacionadas no se hubieran podido realizar de manera tan exitosa y eficiente sin los apoyos que nos han brindado, como siempre, la Arqlga. Adriana Velázquez Morlet, Directora del Centro INAH Quintana Roo, y el Dr. Pedro Francisco Sánchez Nava, Coordinador Nacional de Arqueología del INAH. Finalmente, el Dr. Joseph W. Ball, Profesor Emérito de San Diego State University, California, EE. UU., amablemente ofreció su apoyo para analizar el material cerámico y lítico de esta temporada.

A todos los colegas y organismos mencionados quiero expresarles mi más profundo agradecimiento.

Ivan Šprajc

1. Introducción

Ivan Šprajc

De marzo a mayo de 2017 se llevó a cabo la primera temporada del proyecto Paisaje Arqueológico y Dinámica Cultural en el Área de Chactún, Campeche, que de alguna manera representa la continuación del proyecto de Reconocimiento Arqueológico en el Sureste de Campeche, llevado a cabo en años anteriores. En los trabajos de campo, dirigidos por el suscrito, investigador del Centro de Investigaciones Científicas de la Academia Eslovena de Ciencias y Artes (ZRC SAZU, Ljubljana, Eslovenia), participaron el Dr. Aleš Marsetič, geodesta (ZRC SAZU), el Dr. Octavio Q. Esparza Olgún (Centro de Estudios Mayas, Instituto de Investigaciones Filológicas, UNAM), epigrafista del proyecto, y los arqueólogos F. C. Atasta Flores Esquivel y Luis Antonio Torres Díaz. La temporada 2017 fue realizada en el marco del Convenio de Colaboración Científica establecido entre el ZRC SAZU y el INAH en 2001.

Después de haber trabajado, durante siete temporadas del proyecto de Reconocimiento Arqueológico en el Sureste de Campeche, en el área entre la región Río Bec y la frontera con Guatemala, incluyendo el sector sur de la Reserva de la Biósfera de Calakmul (Šprajc 2008a; Šprajc *et al.* 2014), en las temporadas 2013 y 2014 iniciamos las prospecciones en el sector norte de la Reserva. Como se argumentó en los informes y las publicaciones resultantes de las dos temporadas, enfocadas en la documentación de los sitios arqueológicos Chactún, Tamchén y Lagunita (Šprajc 2015; Šprajc *et al.* 2014; 2015a; 2015b), la continuación de los trabajos de reconocimiento en esta parte del estado de Campeche obedeció a la falta total de datos arqueológicos sobre el área que, al estar situada en el mero corazón de la península de Yucatán, debió tener un papel clave en las rutas comerciales y otros tipos de relaciones culturales que vinculaban distintas partes de las Tierras Bajas Mayas. Los tres sitios fueron detectados en las fotos aéreas de escala 1:20,000 (CONABIO 1995-96; cf. Šprajc 2008b: 14s).

Para ampliar la información arqueológica sobre el área que circunda los tres sitios, en 2016 presentamos al Consejo de Arqueología del INAH la propuesta del proyecto Paisaje Arqueológico y Dinámica Cultural en el Área de Chactún, Campeche, con la duración de tres años (Šprajc 2016a). Como se expuso en la propuesta, el objetivo de la investigación es documentar todas las modificaciones antropogénicas detectables en la superficie, así como su relación con las particularidades del medio ambiente, en el área de aproximadamente 200 km² que incluye los tres sitios mencionados. En la primera etapa del proyecto, realizada en 2016, se obtuvieron los datos LiDAR para esta área (figura 1.1), mediante el escaneo aerotransportado realizado por la compañía *The National Center for Airborne Laser Mapping* (NCALM), EE.UU.; los resultados fueron reportados al Consejo de Arqueología del INAH (Šprajc 2016b).

El área de estudio se ubica en la parte oriente del estado de Campeche, en el sector norte de la Reserva de la Biósfera de Calakmul, abarcando el terreno entre los meridianos 89°28' y 89°36' oeste y entre los paralelos 18°36' y 18°53' norte (figura 1.1). Toda el área, completamente despoblada, está cubierta por la vegetación característica de la región, mayormente por la selva mediana y baja. Mediante el procesamiento de los datos LiDAR se han eliminado los puntos que corresponden a la cubierta vegetal, elaborándose el modelo digital del terreno. Cumpliendo con los requerimientos técnicos incluidos en el contrato con la compañía NCALM, el escaneo LiDAR logró la densidad de 24 puntos de terreno en cada bloque de 4 × 4 m² (1.5 puntos de terreno por metro cuadrado), con no más de 3% de los bloques teniendo menos de 24 puntos de terreno y no más de 0.5% de los bloques teniendo menos de 8 puntos de terreno. Asimismo se requirieron la exactitud mínima vertical de 0.15 m y la exactitud mínima horizontal de 0.3 m. Debido a estas y otras especificaciones que formaban parte del contrato, el relieve del terreno basado en los datos LiDAR es sorprendentemente exacto y confiable, por lo cual –como lo comprobamos durante las verificaciones en campo– no hemos experimentado identificaciones falsas de los rasgos culturales, problema que describen, por ejemplo, Reese-Taylor *et al.* (2016) en el caso de Yaxnohcah.

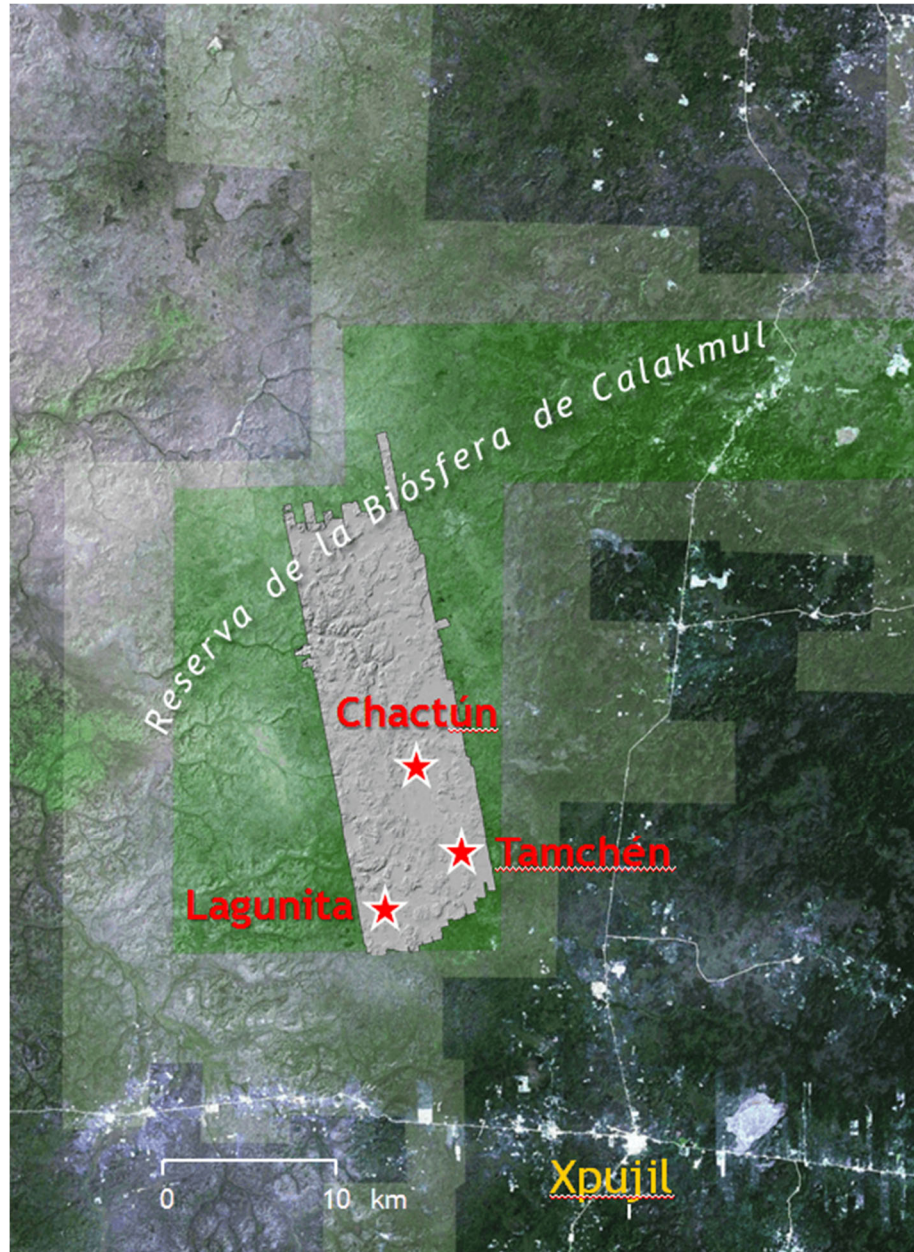


Figura 1.1. Imagen satelital Landsat de la parte central de la península de Yucatán, mostrando el sector norte de la Biosfera de Calakmul; sobreuesta está el área escaneada con LiDAR, con la localización de los tres sitios documentados en 2013 y 2014.

Después de que la compañía NCALM nos entregara tanto los datos crudos (nube de puntos) como los resultados de un primer procesamiento, incluyendo un modelo digital de relieve, los colegas de mi institución –especialistas en la tecnología LiDAR– han efectuado procesamientos adicionales, empleando ante todo distintas técnicas de visualización que nos han permitido detectar las áreas con estructuras y otras modificaciones evidentemente antropogénicas. En virtud de que la interpretación arqueológica de los relieves derivados del escaneo LiDAR resulta especialmente difícil para las áreas con vestigios de intensa actividad reciente, es importante señalar que la gran ventaja en nuestro caso reside en que la zona de estudio ha estado prácticamente deshabitada durante al menos 500 años, lo que significa que todos los restos de actividad humana que se observan en el relieve resultante del escaneo son, con toda probabilidad, de la época prehispánica. Al no haber sufrido perturbaciones antrópicas posteriores, podemos decir que se trata de un paisaje cultural “fossilizado”, alterado únicamente por procesos naturales de deterioro.

En el relieve obtenido hemos podido observar que la densidad de vestigios arqueológicos es incluso más grande de lo que habíamos esperado. El terreno es, así como en el resto de las tierras bajas centrales,

suavemente ondulado; las estructuras de diferentes tamaños están distribuidas prácticamente en todas partes, con la excepción de algunas áreas estacionalmente inundables o pantanosas (bajos). Predominan las estructuras aparentemente habitacionales, pero varios grupos arquitectónicos que incluyen plazas, templos piramidales y otros edificios mayores revelan que se trata de centros de considerable tamaño y complejidad. Asimismo llama la atención la ubicuidad de diversos acondicionamientos del terreno que, en su mayoría, han de relacionarse con la agricultura y el manejo del agua (terrazas, albaradas, canales, reservorios).

Los trabajos de campo en la temporada 2017 abarcaron la parte norte del área escaneada con LiDAR. En vista de las dificultades de acceso y movimiento en la región, y en virtud de la densidad sorprendentemente alta de vestigios arqueológicos, observada en los productos LiDAR, por la cual resulta imposible inspeccionar en campo todas las áreas con modificaciones antrópicas, elaboramos una estrategia de muestreo. Es decir, las verificaciones en campo se limitaron a diversos sectores que, por lo que pudimos observar en el relieve LiDAR, son representativos del paisaje cultural prehispánico en el área de estudio:

- núcleos mayores de asentamiento, donde esperábamos encontrar edificios con arquitectura expuesta, monumentos esculpidos y otros vestigios potencialmente relevantes para la comprensión de la organización territorial, la geografía política y la interacción con las áreas circunvecinas;
- varias concentraciones de estructuras periféricas y menores;
- varias áreas con modificaciones del terreno específicas (terrazas de cultivo, albaradas, canales de riego o drenaje, aguadas modificadas, calzadas, canteras);
- rasgos enigmáticos.

Empleando la aplicación cartográfica Oruxmaps, diseñada para el sistema operativo Android (<http://www.oruxmaps.com>), y los dispositivos que incluyen los receptores GPS (tabletas, teléfonos), registramos todos los recorridos, así como los puntos de interés visitados, agregando los datos descriptivos y tomando también las fotografías georreferenciadas. Estos datos fueron convertidos en archivos/capas del Sistema de Información Geográfica ArcGIS, que permite procesarlos y realizar diversos análisis espaciales.

Al comparar los elementos visibles en el relieve LiDAR con lo que observamos en campo, es posible interpretar los rasgos del mismo tipo también en sectores que no han sido visitados. En varias áreas recorridas seleccionamos espacios menores en los que fue sistemáticamente recolectado el material de superficie; es de esperar que los porcentajes de distintos tipos de cerámica recolectada en cada sector arrojen luz sobre la secuencia y las intensidades de ocupación, contribuyendo a la reconstrucción de los segmentos temporales del paisaje cultural y, de esta manera, a la comprensión de la dinámica poblacional y la historia cultural del área de estudio (*cf.* Rosenswig y Mendelsohn 2016). En lugares seleccionados también se excavaron pozos estratigráficos, con el objetivo de obtener datos adicionales sobre las secuencias de ocupación.

Es importante señalar que, en vista de la densidad de los vestigios arqueológicos y su distribución casi continua en el área de estudio, resulta imposible agruparlos en “sitios arqueológicos”, como han sido definidos tradicionalmente. Como comentó Nalda (1989: 3), la definición de lo que constituye un sitio normalmente “parte del supuesto de que los restos de ocupación antigua invariablemente aparecen como concentraciones aislables de otras similares; es decir, constituyen distribuciones con límites reconocibles.” En efecto, en su obra sobre la Cuenca de México, Sanders *et al.* (1979: 34) definieron el sitio como “cualquier área localizada que muestra signos de alteración por el hombre observables con el método arqueológico”, pero consideraron importante añadir que el sitio es una “unidad espacialmente aislable”. Además, un “sitio” debería, idealmente, corresponder a una “unidad de significado cultural a la población prehispánica” (Sanders *et al.* 1979: 34; *cf.* Nalda 1989: 4). Sin embargo, ninguno de los dos criterios es aplicable en nuestro caso: aparte de los focos de asentamiento representados por agrupaciones de edificios de tamaños y usos diferentes, existen áreas extensas con evidentes modificaciones prehispánicas –vestigios de distintas actividades– cuyos límites no son claros, por lo que resulta imposible demarcarlas y definir “unidades espacialmente aislables”. En vista de que se trata de un paisaje cultural casi continuo y altamente modificado, sería aún más aventurado proponer las unidades que pudieran haber tenido algún significado en términos de la organización social prehispánica. Es de esperar que podamos acercarnos al reconocimiento de tales unidades con base en diversos análisis que, al concluir la segunda temporada de campo en 2018, pretendemos realizar con los Sistemas de Información Geográfica, tomando en consideración también los datos cronológicos derivados de las muestras de material cerámico recolectado en superficie y en los pozos de sondeo. De ser posible alcanzar esta meta, es decir, formar las

unidades que puedan definirse como sitios, también será posible llenar las cédulas de registro correspondientes, tarea que en este momento resulta irrealizable.

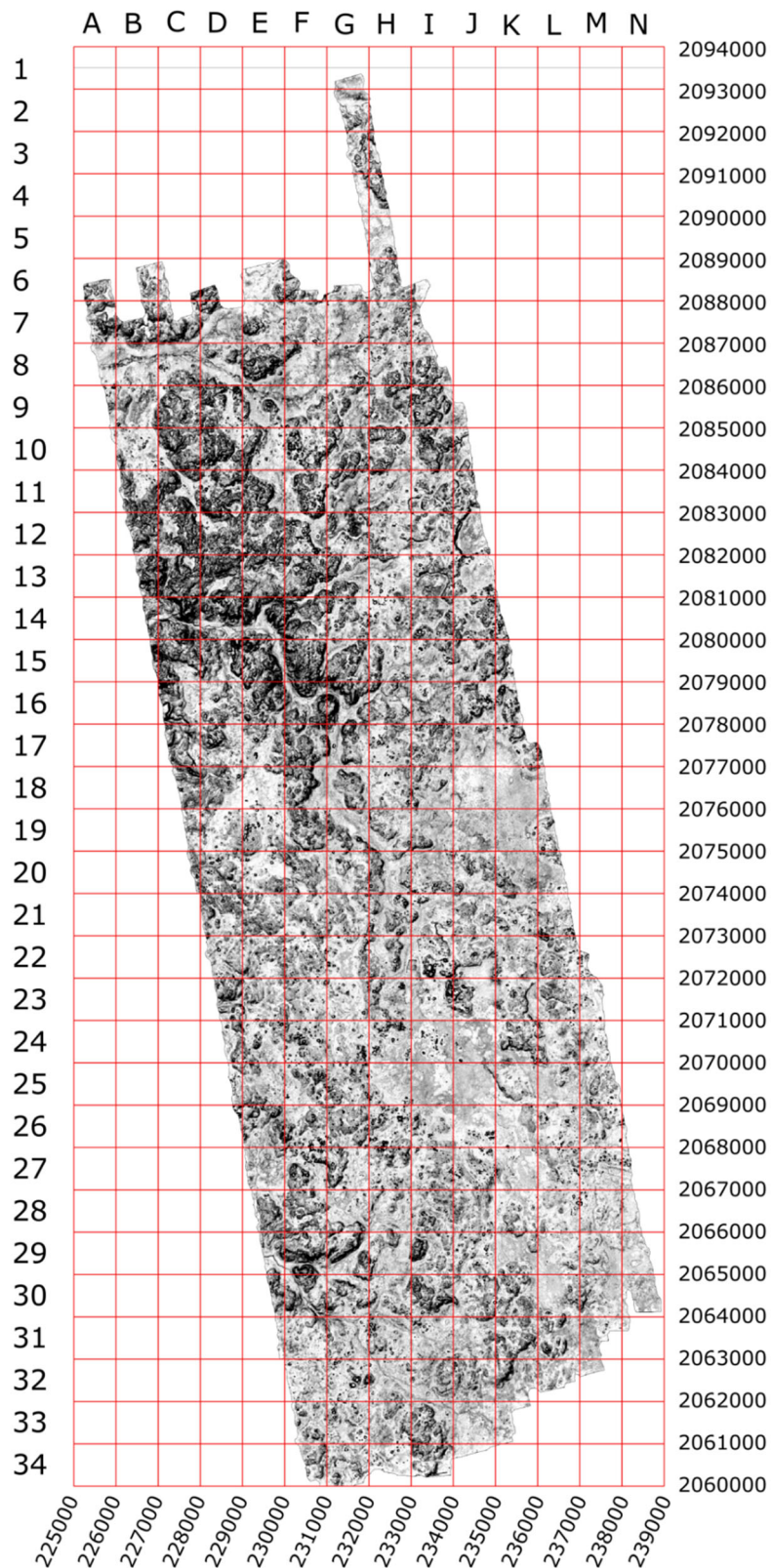


Figura 1.2. Área escaneada con LiDAR y la designación de los cuadros de la retícula UTM sobreuesta.

En vista de esta situación, en esta etapa del proyecto optamos por agrupar las áreas que visitamos en unidades enteramente arbitrarias, con el único objetivo de facilitar las referencias. El área escaneada con LiDAR se dividió en cuadros de 1 km² que corresponden a la retícula de la proyección cartográfica UTM (datum WGS84), designándose los cuadros con letras y números, como se muestra en la figura 1.2. Cada una de las unidades recorridas, que son grupos arquitectónicos o conjuntos de otros rasgos arqueológicos, se denominó con la clave del cuadro en el que se localiza, seguida por una letra minúscula. El sistema que establecimos es análogo al que fue empleado en la región Río Bec, donde la dispersión de los vestigios arqueológicos es comparable (*cf.* Lemonnier y Vannière 2013). Es indicativo que Thomas (1981: 8, 25) no pudo establecer límites entre los sitios de Xpuhil, Becán y Chicanná.

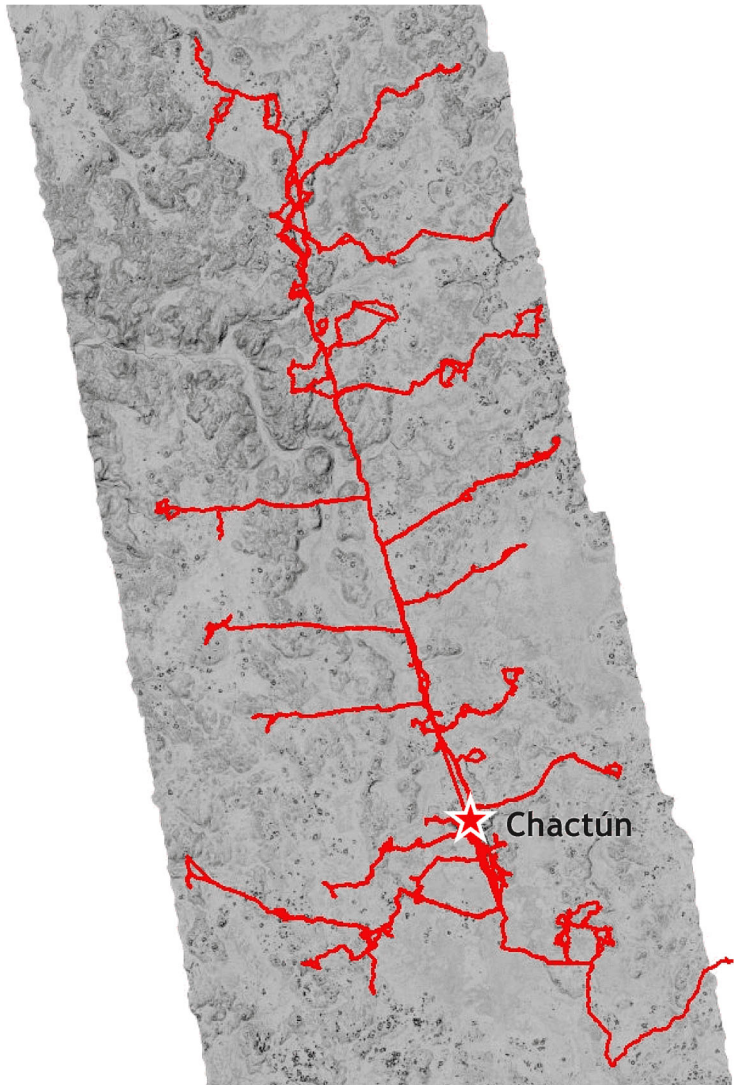


Figura 1.3. Parte norte del área escaneada con los recorridos realizados en campo en 2017.

Como ya fue mencionado, en 2017 realizamos las verificaciones en campo de las áreas seleccionadas en la parte norte del territorio escaneado. Las brechas que abrimos para llegar a los puntos deseados, registradas con los dispositivos GPS, están marcadas en la figura 1.3. En muchos puntos recolectamos muestras del material de superficie, tanto cerámico como lítico. Al analizar los contextos en que se recolectó el material, pretendemos obtener datos cronológicos sobre diversos tipos de vestigios arqueológicos. Para todos los puntos de recolección de superficie (*Waypoints*, WPT), referenciados con sus nombres en los análisis del material de superficie (capítulo 6), tenemos las coordenadas geográficas que, junto con la información

contextual y los datos cronológicos basados en los análisis de la cerámica, representan la base para diversos análisis mediante los Sistemas de Información Geográfica (ArcGIS).

A continuación presentamos, de manera preliminar, los resultados de la temporada 2017 del proyecto en varios capítulos. En el siguiente resumimos las características generales de los rasgos arqueológicos observados, agrupándolos en varias categorías. En la tercera sección presentamos las descripciones de algunas áreas verificadas en campo que parecen representativas o particularmente interesantes. Siguen la documentación iconográfica y epigráfica de los monumentos esculpidos, la información derivada de los pozos de sondeo excavados en áreas seleccionadas, así como los análisis del material cerámico y lítico. La última sección es el reporte sobre la construcción de un nuevo espacio de protección para la Estela 1 de Chactún. Los restos arqueológicos en varios grupos que definimos se ilustran con las visualizaciones de los datos LiDAR, todas realizadas por el Dr. Žiga Kokalj, ZRC SAZU. Los mapas con modelos de relieve están en la proyección UTM basada en el datum WGS84; la orientación es en todos los casos hacia el norte cartográfico (la convergencia de cuadrícula en el área es de aproximadamente -0.8°).

2. Características principales del paisaje arqueológico

Ivan Šprajc

Aleš Marsetič

Luis Antonio Torres Díaz

Introducción

La diversidad de los vestigios arqueológicos en el área de estudio requiere la elaboración de una tipología de los edificios, patrones urbanos y otros elementos antropogénicos, tarea que emprenderemos apenas al tener toda la información, es decir, al terminar el trabajo de campo en la temporada 2018, que será enfocada en la parte sur del área escaneada con LiDAR. Los resultados servirán como base para realizar diversos análisis mediante los Sistemas de Información Geográfica, tomando en consideración los datos cronológicos derivados de las muestras de cerámica, y de esta manera lograr los diversos objetivos planteados en la propuesta del proyecto (Šprajc 2016a; 2016b).

Aunque en esta etapa de la investigación, por consiguiente, sólo podemos presentar algunas observaciones preliminares, resultan evidentes, por una parte, las relaciones con la vecina región de Río Bec hacia el sur, visibles ante todo en la arquitectura y en el patrón de asentamiento. Por otra parte, también observamos las similitudes con la tradición Petén, así como diversas peculiaridades que, al parecer, nuestra región no compartía con el resto del área maya. A juzgar por las características de la arquitectura, así como por una evaluación preliminar de los tipos cerámicos, nuestra área de estudio alcanzó la mayor densidad poblacional durante el Clásico Tardío y Terminal.

Arquitectura y ordenamiento espacial

En la arquitectura observamos varios rasgos similares a los que caracterizan el estilo Río Bec en la región vecina hacia el sur durante el Clásico Tardío y Terminal. En diversos edificios notamos los taludes escalonados, reminescentes de las escalinatas falsas (figuras 2.1 y 3.31). Algunas estructuras parecen haber tenido torres gemelas, aunque no tan altas y esbeltas como las que se conocen de la región Río Bec (p. ej. en los grupos D23-b, E19-b y F13-a; figuras 3.1, 3.8 y 3.17). Si bien los edificios se caracterizan, en su mayoría, por núcleos construidos con piedras grandes y burdamente labradas, en varios casos observamos fachadas y paredes de mampostería fina (figuras 3.3 y 3.19), así como esquinas redondeadas (figuras 3.15 y 3.37), columnas de mampostería (figura 3.24), columnitas (figuras 3.20 y 3.42) y otros elementos decorativos típicos de la arquitectura Río Bec (figuras 2.4, 3.9, 3.10 y 3.11). Por otra parte, son numerosos los templos piramidales, escasos en la región Río Bec. Entre los grupos arquitectónicos, predominan los de carácter habitacional, aunque también existen diversos núcleos que, a juzgar por las dimensiones y características de los edificios, tenían cierta importancia en la jerarquía sociopolítica.

Aunque encontramos muchas estructuras que al parecer tenían techumbre de materiales perecederos, resulta notable el gran número de construcciones abovedadas, incluso en grupos pequeños y evidentemente habitacionales (figura 3.35). Tal situación sugiere que la tecnología de labrar la piedra y construir las bóvedas –para la cual los recursos en términos de mano de obra, materiales y habilidades técnicas requeridos son mucho mayores que los necesarios para construir una estructura con techo de material perecedero (Seligson *et al.* 2017: 285)– era compartida por sectores amplios de la población. Asimismo, la presencia de columnas (figuras 2.2, 2.3, 3.4, 3.6, 3.7 y 3.27) y otros elementos decorativos de las fachadas, tanto de piedra (figuras 3.20 y 3.32) como de estuco (figuras 3.28, 3.29, 3.38 y 3.43), en conjuntos poco notables refleja un grado

relativamente alto de bienestar social durante el Clásico, al que parece pertenecer la mayoría de los restos habitacionales.

Figura 2.1. Talud escalonado de una estructura piramidal en el grupo K24-b.

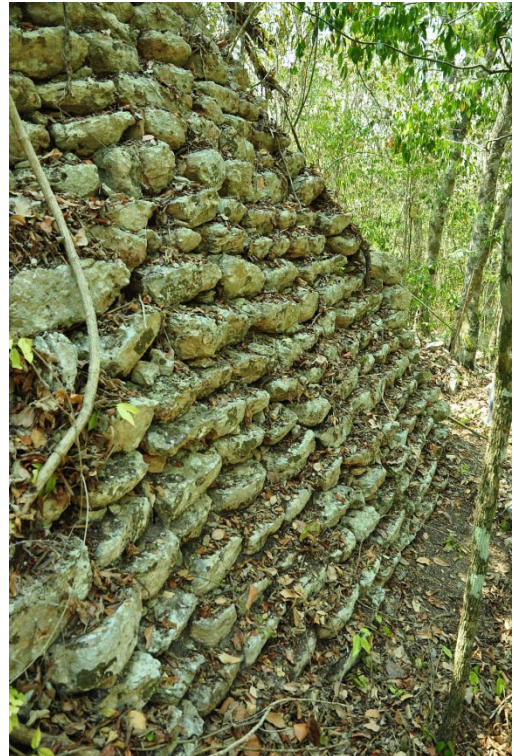


Figura 2.2. Columnas en un edificio del grupo F25-a.



Figura 2.3. Columnas pertenecientes a la decoración arquitectónica de un edificio en el grupo F25-a.

Figura 2.4. Elementos de decoración arquitectónica en el grupo D17-a.

Una peculiaridad que observamos en la parte sur del área recorrida es la presencia de canchas de juego de pelota en varios grupos arquitectónicos, incluso en los relativamente pequeños (figuras 3.8, 3.34 y 3.39), situación que podría indicar un grado menor de centralización política (Stark y Stoner 2017: 412f) y que

contrasta con la observada en el resto de las tierras bajas centrales, donde las canchas caracterizan ante todo los centros mayores, siendo uno de los indicios de su importancia en la jerarquía regional (Šprajc y Grube 2008: 270). En el caso del grupo H24-e (figura 3.34), el juego de pelota cuenta con bloques de piedra de mayor tamaño, al parecer fragmentos de estelas, en sus esquinas (v. capítulo 4). Los casos análogos han sido documentados en las dos canchas de Chactún (Šprajc 2015). No obstante, los juegos de pelota son ausentes en la parte norte del área recorrida, sugiriendo diferencias culturales que se manifiestan también en otros rasgos arqueológicos (v. *infra*).

En el patrón de asentamiento, caracterizado por la densidad y la dispersión de los grupos de edificios, son notables las similitudes con la región Río Bec (Nondédéo *et al.* 2010; Michelet 2014). Las estructuras aparecen mayormente en concentraciones conformadas por grupos de plaza o de patio o, a veces, por distribuciones que no manifiestan un orden aparente. El área de Becán se caracteriza por la localización de los grupos arquitectónicos en terrenos elevados, pero no en declives pronunciados (Thomas 1981: 105ss), situación que también se observa en nuestra área: la distribución de las estructuras es más escasa en la parte noroeste, donde la topografía es más accidentada. En la parte norte del área recorrida encontramos varias plazas casi redondas, o poligonales con esquinas redondeadas, cuya característica es que una estructura continua y encorvada delimita la plaza a lo largo de una gran parte de su perímetro (figuras 2.5, 2.6 y 3.36). Evidentemente se trata de una peculiaridad que caracteriza esta parte de las tierras bajas mayas y que había sido notada también en los sitios de Pechal y Peor Es Nada, ubicados al noreste de nuestra área (Ruppert y Denison 1943: 91-94, láms. 74 y 75). Para la Plaza Sur de Pechal, Ruppert y Denison (1943: 92) sugieren que podría haber sido una especie de anfiteatro, ya que observaron escalones en los taludes interiores de la estructura perimetral. En el caso del grupo F12-b, una estructura larga y encorvada rodea toda la plaza, permitiendo el acceso sólo en su esquina noreste (figura 2.6); aunque su volumen es considerable y su altura relativamente pareja alcanza unos 6 m –sólo en el lado oriente sobresale un edificio un poco más alto– resulta sorprendente que el grupo no cuenta con monumentos esculpidos, siendo la única excepción un cilindro de piedra en el centro de la plaza. Como se comentará en el siguiente apartado, los cilindros de este tipo colocados en las plazas son ubicuos en la región.

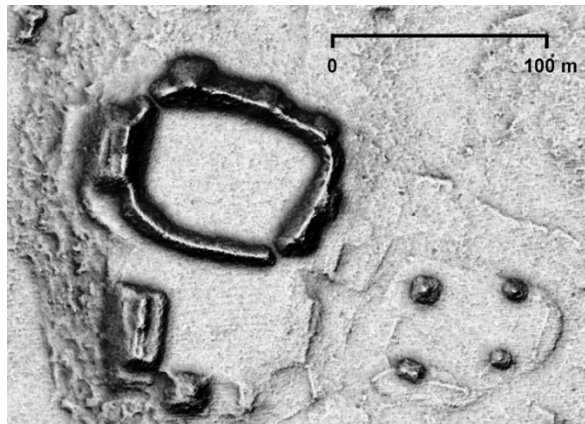


Figura 2.5. Conjunto principal del grupo I9-a.

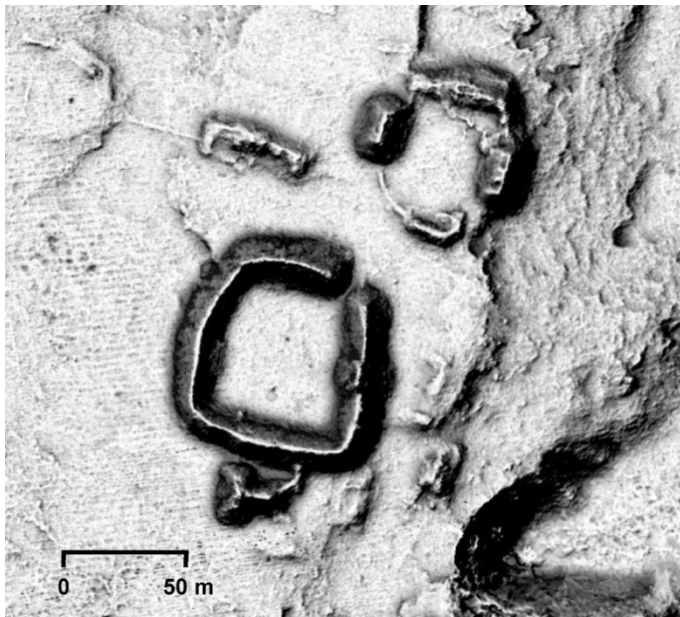


Figura 2.6. Grupo F12-b.

En varias plazas y patios encontramos muros bajos o alineamientos de piedra, que a veces encierran espacios reducidos de plantas más o menos circulares; localizados en el centro de la plaza o frente a algún edificio, dan la impresión de que se trata de adoratorios de algún tipo (figura 2.7). En otros casos, sin embargo, el curso de estas pequeñas albarreadas es más irregular y los espacios encerrados, normalmente anexos a alguna estructura, son más grandes; por lo pronto no es posible asegurar si se trata de elementos coetáneos con las

estructuras adyacentes, o tal vez agregados en una época posterior a la época de mayor florecimiento en la región.



Figura 2.7. Círculo de piedras en un patio del grupo H13-b.

Monumentos esculpidos

Aunque ninguno de los grupos arquitectónicos alcanza las magnitudes de Chactún, Tamchén y Lagunita, es notable la presencia de estelas y altares en muchos grupos menores. Mayormente se trata de monumentos lisos y de dimensiones modestas (alturas menores de 2 m; figuras 2.8 y 3.40). Sin embargo, resulta sorprendente que la Estela 1 y el Altar 2, que ostentan relieves, incluyendo los textos jeroglíficos, se localizan en grupos pequeños (F15-b y H10-b) formados por edificios cuyas alturas son menores de 4 m (figura 3.23, v. capítulo 4). La elaboración de los grabados y el contenido de los textos, indicando que los individuos que comisionaron ambos monumentos no pertenecieron a un estrato jerárquicamente muy alto, pueden interpretarse como un reflejo de la complejidad de la organización social y política en la región durante el Clásico Tardío. Una posición más alta parece haber tenido el señor conmemorado en el Altar 1 (capítulo 4), lo que concuerda con su localización en un grupo arquitectónico de mayores dimensiones (I14-c; figura 3.36).



Figura 2.8. Estela y altar cilíndrico lisos en el grupo J20-b.

Algunos de los monumentos que designamos como altares son de forma cilíndrica, siendo sus diámetros de entre 1 y 2 m y sus espesores no mayores de 0.5 m (figuras 2.8 y 3.16), pero predominan los altares de forma rectangular, que destacan por sus dimensiones (de hasta 2.2 m de largo, 1.3 m de ancho y 0.5 m de grosor), además de que muchos fueron colocados sobre cuatro soportes cilíndricos (figuras 2.9 y 2.10); evidentemente se trata de una peculiaridad de la región, por primera vez observada en el caso del Altar 1 de Lagunita (Šprajc *et al.* 2015a).



Figura 2.9. Altar rectangular con soportes cilíndricos en el grupo F10-d.



Figura 2.10. Altar rectangular con soportes cilíndricos en el grupo G14-b.



Figura 2.11. Tamborcito de piedra en el patio central del grupo F25-a.



Figura 2.12. Tambores de piedra alineados en la plaza del grupo J14-d.



Figura 2.13. Pequeño monumento en la plaza del grupo G23-a.

Otra característica del área estudiada la constituyen las piedras pequeñas labradas en forma cilíndrica, que se encuentran en la gran mayoría de los grupos visitados. Sus diámetros tienden a ser entre 30 y 50 cm y sus espesores de menos de 30 cm. Por lo regular se localizan en medio de las plazas y patios; frecuentemente es uno solo (figura 2.11), pero en otros casos son varios, estando alineados (figuras 2.12 y 3.18) o formando arreglos más o menos circulares, ocasionalmente con una piedra cilíndrica más grande en el centro (figura 3.16); a veces están asociados a un altar cuadrangular (figura 4.3). Siendo poco concebible otro uso, resulta

muy probable que sirvieran para realizar rituales de algún tipo, relacionados con la comunidad o el grupo de parentesco que habitaba el lugar, y para depositar ofrendas, como lo sugiere la cavidad en uno de ellos (figura 2.11). Es digno de mencionarse que el extraño monumento que, en lugar de un cilindro, encontramos en la plaza del grupo G23-a parece ser un elemento arquitectónico reutilizado (figura 2.13) y que también los tambores o tamborcitos de piedra, o sus fragmentos, frecuentemente aparecen como elementos reutilizados en los muros e incluso en las albardadas (figuras 2.14 y 3.2); además, en algunos casos parecen ser fragmentos de columnas. Cabe la posibilidad, por lo tanto, que el uso de estos pequeños monumentos fuera secundario, correspondiendo a épocas tardías, posteriores al auge de la actividad constructiva en la región.



Figura 2.14.
Tambores de
piedra en una
plataforma baja
del grupo F12-c.

La ubicuidad de los tambores de piedra es evidentemente uno de los rasgos típicos de la región. Muchos fueron observados en Chactún (Šprajc 2015). Ruppert y Denison (1943: 91) mencionan que al poniente de la aguada del campamento Guitarra (cuyas coordenadas caen al norte del poblado moderno de Zoh Laguna, al oriente de nuestra área de estudio) encontraron una pirámide y una plaza al poniente con una piedra lisa circular de 50 cm de diámetro, además de que en otra plaza hacia el sur había cuatro piedras circulares del mismo tamaño, formando un cuadro. También en Pechal hallaron “tambores de columnas” sobre la Estructura XI, así como otras piedras cilíndricas en varios puntos del sitio (*ibid.*: 92).

Uno de los arreglos de tambores, el del grupo F24-b, llama la atención, ya que dos de los cuatro cilindros que se localizan en el centro de la plaza del grupo tienen la forma reminiscente de una cabeza de clavo (figura 3.33). El hecho de que los Altares 2 y 3 de Lagunita manifiestan la misma forma (Esparza Olguín 2015: 66-68; Šprajc *et al.* 2015b) sugiere que, de nuevo, se trata de una peculiaridad de la región, aunque no muy común.

Canteras

Aunque el paisaje se caracteriza por numerosas depresiones naturales, muchas cavidades fueron excavadas o modificadas para la extracción del material de construcción, como lo indican los cortes en la roca madre. Las canteras de diferentes tamaños y profundidades se ubican en las inmediaciones de prácticamente todos los grupos arquitectónicos que hemos visitado.

Caleras

Entre los rasgos muy comunes en el área se enumeran las cavidades circulares, delimitadas por muros de piedras burdamente labradas. Sus diámetros son de entre 3 y 4 m y sus profundidades actuales menores de 3 m. En varios casos observamos piedra caliza evidentemente quemada, por lo que ha de tratarse de hornos para la producción de la cal (figuras 2.15, 2.16 y 5.5 a 5.9). Tal conclusión se basa sobre todo en analogías del noroeste de la península de Yucatán (Dunning 1991; Ortiz Ruiz 2014; Ortiz Ruiz *et al.* 2015; Seligson *et al.* 2017a; 2017b). El hecho de que las caleras de este tipo no se han identificado en otras partes ha de deberse a que existían diferentes técnicas para la producción de la cal y que algunas no dejaron huellas fácilmente detectables en el registro arqueológico (*cf.* Morris *et al.* 1931: 220ss; Russell y Dahlin 2007; Ortiz Ruiz 2014; Ortiz Ruiz *et al.* 2015).



Figura 2.15. Calera asociada al grupo arquitectónico E10-e.

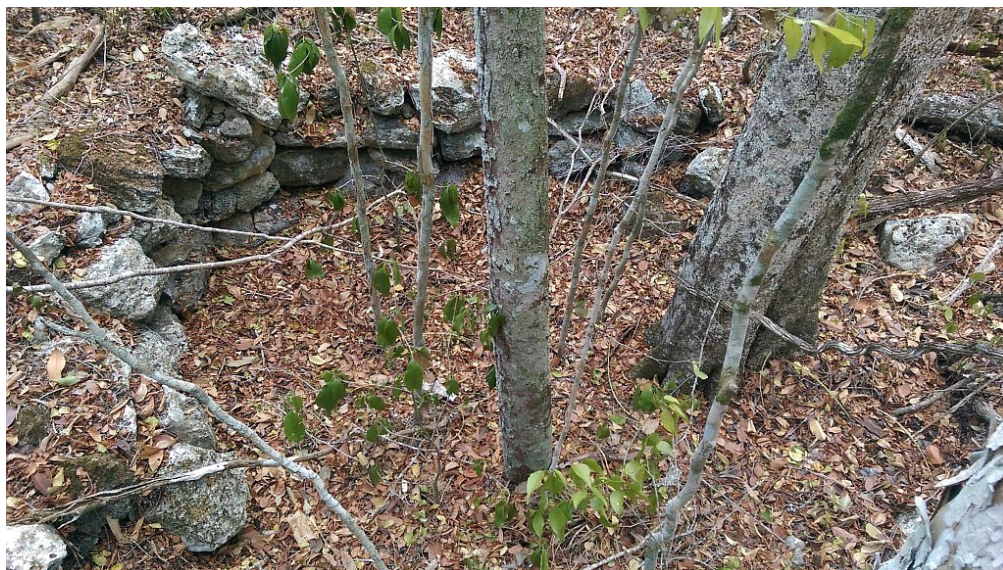


Figura 2.16. Calera asociada al grupo arquitectónico I20-a.

En Kiic, Yucatán, y en el área entre éste y el sitio de Labná fueron identificados más de 200 hornos anulares, que representan la muestra más grande de estructuras de este tipo conocida a la fecha en el área maya. Muchos hornos se encuentran directamente asociados a los conjuntos habitacionales menores, sugiriendo una organización descentralizada de la producción de la cal, en la que estaban involucrados grupos

corporativos pequeños. La dispersión de los hornos y su proximidad tanto a los conjuntos habitacionales como a las fuentes de materia prima reflejan, además, el deseo de optimizar los esfuerzos que implicaba el transporte del material, tanto antes como después de la producción de la cal, así como un grado relativamente alto de autosuficiencia de los grupos corporativos (Seligson *et al.* 2017a; 2017b). Conclusiones de esta índole son aplicables también a nuestro caso, considerando la ubicuidad de las caleras y el hecho de que, por lo regular, se encuentran asociadas a canteras y conjuntos habitacionales.

En el área de Kiuic, los hornos de cal parecen datar mayormente del Clásico Tardío y Terminal (Seligson *et al.* 2017a; 2017b). El fechamiento de las estructuras de este tipo en nuestra área de estudio será posible apenas al realizarse los análisis del material de superficie recolectado en algunas de ellas y en el pozo de sondeo excavado en la que se ubica en el grupo G14-g (capítulo 5).

Al haber verificado varias caleras en campo, hemos podido constatar que estos rasgos son detectables en el relieve LiDAR, por lo que pretendemos determinar el número de estructuras de este tipo en toda el área de estudio y examinar las tendencias observables en su localización y su asociación con otros rasgos culturales (*cf.* Ortiz Ruiz 2014: 99ss). Teniendo esta información, será posible llevar a cabo algunos análisis comparables a los realizados por Seligson *et al.* (2017a), con lo cual esperamos profundizar en la comprensión del manejo de recursos y de otros aspectos de la organización económica y social en la región.

Calzadas

En 2013, al descubrir y documentar el sitio de Chactún, observamos lo que parecían ser los bordes de un *sacbé*, que partía del juego de pelota ubicado en el extremo sureste del Complejo Oeste hacia el Complejo Sureste (Šprajc 2015: 10). El intento de seguirlo resultó ser infructífero, ya que los bordes se desvanecieron. En el relieve basado en los datos LiDAR, sin embargo, la calzada es claramente visible (figura 2.17), sobre todo en un tipo de visualización que permite discernir diferencias pequeñas de elevación (figura 2.18). En su parte media, la calzada se eleva 10 a 15 cm por encima del terreno circundante.



Figura
2.17.
Chactún,
núcleo del
sitio.

Con la ayuda de estos datos y un dispositivo GPS, en esta temporada pudimos verificar el curso de la calzada, en la que observamos grandes cantidades de piedras de pedernal, así como la existencia de una aguada pegada a su borde sur. Asimismo corroboramos que el monumento que parece ser una estela poco común, con dos círculos elaborados en relieve, se localiza sobre la calzada; una peculiaridad del monumento es que es de pedernal, así como el bloque amorfo ubicado a poca distancia (Šprajc 2015: figs. 2.15 y 2.16). El ancho de la calzada es de aproximadamente 30 m.

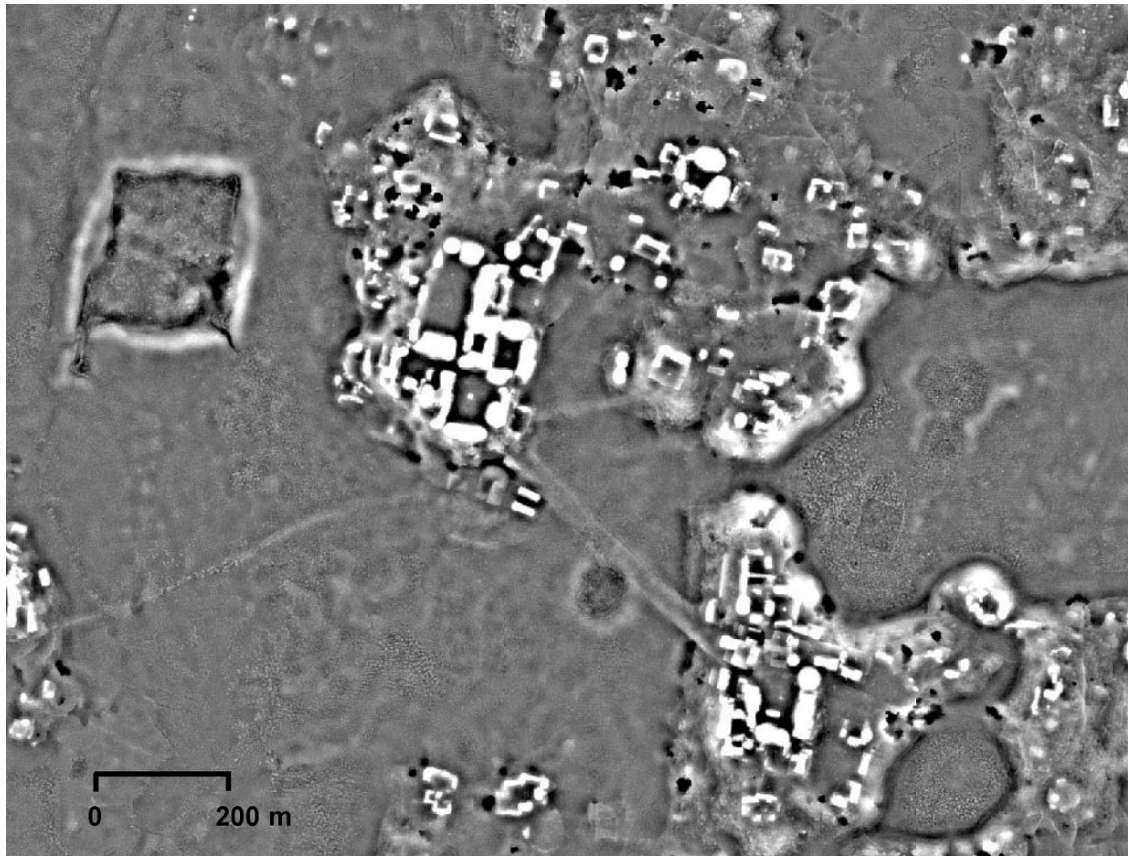


Figura
2.18.
Chactún,
núcleo del
sitio.

En el relieve derivado del escaneo LiDAR también observamos otros rasgos similares que parecían ser calzadas, suposición que pudimos confirmar en campo. Se trata de caminos ligeramente elevados respecto al terreno circundante, en los que observamos los bordes y lajas de piedra, siendo sus anchuras entre 3 y 5 m. Así, un *sacbé* parte del área con el juego de pelota, en el extremo sureste del Complejo Oeste de Chactún, hacia el suroeste, llegando al grupo periférico H23-b (figuras 2.17 y 2.18). Otra calzada conduce desde los grupos H24-a y H24-g hacia el noreste, pasando por el grupo H23-c; aunque su curso no pudo verificarse en su totalidad, es probable que también llegara al Complejo Oeste de Chactún. Trazos de calzadas también fueron observados en otras partes (figura 3.14).

Las calzadas que conectan diversos sitios mayas, o los grupos arquitectónicos dentro de un solo sitio, pudieron haber tenido diferentes funciones (Ringle 1999: 209s; Hernández *et al.* 2013; Hutson y Welch 2014: 422, 431). Las dimensiones del *sacbé* que comunica los Complejos Oeste y Sureste de Chactún (figuras 2.17 y 2.18), así como el emplazamiento de dos monolitos de pedernal en su parte central, sugieren que esta vía de comunicación no fue construida simplemente por motivos prácticos, sino que sirvió para las procesiones de carácter ritual o desfiles que ensalzaban el poder político de la ciudad (*cf.* Hutson y Welch 2014: 431). En cambio, el uso práctico es mucho más probable para las calzadas menos elaboradas, más largas pero menos anchas, sobre todo para las que atraviesan los bajos y que, por lo tanto, facilitaban la comunicación entre diversas comunidades en temporadas de lluvia.

Terrazas, albaradas y camellones

Uno de los rasgos tanto comunes como enigmáticos del paisaje cultural observado en el relieve LiDAR es la ubicuidad de las modificaciones del terreno que han de reflejar las diversas técnicas de agricultura intensiva. Entre los rasgos de este tipo destacan las terrazas, que caracterizan casi todas las laderas (figuras 2.19, 3.1 y 3.12). Algunas son tan estrechas y poco acentuadas que, sin los datos LiDAR, ni siquiera hubiera sido posible detectarlos en campo. En varias terrazas observamos piedras expuestas que forman parte de los muros de contención (figuras 3.13 y 3.21). Es relativamente común que las terrazas se encuentren en las laderas que descienden de las cuencas en terreno alto y con fondo plano, rodeadas por elevaciones. Se trata de terrenos que, aunque no son inundables, retienen el agua durante un periodo, por lo que las terrazas hubieran aumentado el potencial agrícola de las laderas, controlando el flujo del agua y frenando la erosión (figuras 2.19, 3.12 y 3.17). La designación tradicional en maya yucateco para una cuenca de este tipo es *yaxomal*.



Figura 2.19. Grupo K24-b y otros aledaños, con sistemas de terrazas hacia el norte. El terreno terraceado inmediatamente al norte del grupo K24-b (“Op. K24-b” indica la localización de la excavación de sondeo documentada en el capítulo 5) desciende de un *yaxomal* (v. texto).

Los sistemas de terrazas, al parecer ausentes en varias partes del área maya, caracterizan sobre todo las regiones de Río Bec (Eaton 1975; Turner 1974; Lemonnier y Vannière 2013), Belize (Chase y Chase 1998; Chase y Weishampel 2016; Dunning *et al.* 1997; 1999; Macrae y Iannone 2016) y Petexbatún, Guatemala (Beach y Dunning 1995), donde se han identificado distintos tipos de estos acondicionamientos agrícolas del terreno, incluyendo algunas que sirvieron como presas. En el curso de nuestra investigación planeamos establecer en qué medida las terrazas en nuestra área corresponden a la tipología establecida en otras partes. En La Milpa, Belize, la mayor parte del sistema de terrazas data del Clásico Tardío (Dunning *et al.* 1999). Apenas al haberse analizado las muestras del material cerámico, contaremos con datos concretos sobre el fechamiento de las terrazas en nuestra área, pero es probable que mayormente también pertenezcan a ese periodo, ya que en su amplia distribución, así como en el hecho de que frecuentemente ocupan terrenos que, a juzgar por la vegetación actual y los suelos, no son particularmente fértiles, parece reflejarse la necesidad

de aprovechar cada pedazo de tierra para el cultivo, situación que resulta comprensible en vista del crecimiento demográfico indicado por la densidad de conjuntos habitacionales.

Otro rasgo omnipresente lo constituyen las albaradas y camellones, es decir, muros bajos o de mayores dimensiones, alcanzando alturas de hasta más de un metro y anchuras de más de tres metros. Aunque mayormente constan de piedras burdamente labradas, algunos fueron construidos con piedra careada. Usos diversos han sido propuestos para las construcciones de este tipo, que se han documentado en la región Río Bec (Eaton 1975; Turner 1974; Thomas 1981: 87ss; Bueno Cano 1999: 60; Lemmonier y Vanniére 2013; Michelet 2014), la costa nororiental de la península de Yucatán (Freidel y Sabloff 1984: 84ss; Goñi 1998: 91ss; Chmilar 2013), el noroeste de Belice (Dunning *et al.* 1999) y al sur de Caobas, en Quintana Roo (Golden *et al.* 2016: 305, Fig. 12). Se han interpretado como muros divisorios entre solares o parcelas de cultivo, como amontonamientos de piedra resultantes de la limpieza de los campos de cultivo, o como estructuras para controlar el flujo del agua para fines agrícolas. En nuestra área los camellones y albaradas frecuentemente forman parte de las terrazas, o están asociados a ellas (figuras 2.19, 3.1, 3.5, 3.12, 3.17, 3.22 y 3.39), por lo que indudablemente tenían funciones relacionadas con la agricultura; tal uso es sugerido también para los que descienden a los bajos, convirtiéndose en canales (*v. infra*). Algunos camellones dan la impresión de que, además de servir como linderos, también pudieron usarse como caminos. En virtud de las diferencias que se observan en las dimensiones de los camellones y albaradas, en sus tipos de construcción, patrones de distribución y terrenos en los que se localizan, resulta evidente que sus usos eran diferentes, aunque por lo pronto resulta difícil establecerlos en cada caso particular.

Obras hidráulicas

Así como en otras partes de las tierras bajas centrales, son comunes las aguadas en nuestra área, localizadas mayormente en las orillas de los bajos. Hasta donde hemos podido ver, todas manifiestan vestigios de modificación artificial. En sus orillas se encuentran terraplenes, seguramente resultantes del amontonamiento del material excavado en sus interiores, con el objetivo de aumentar o mantener su profundidad (figuras 2.20, 3.23 y 3.34). Los terraplenes alrededor de las aguadas han sido documentados también en Tikal (Stavrakis-Puleston 2015: 52), Becán (Thomas 1981: 23), Xcoch (Dunning *et al.* 2014), Xultún y San Bartolo (Akpinar *et al.* 2012). En las orillas de varias aguadas hemos observado cantidades grandes de pedernal.

A juzgar por sus formas, algunas aguadas parecen haber sido ampliadas, con el objetivo de incrementar su volumen (figura 2.20). El caso más evidente lo constituye el reservorio ubicado al poniente del Complejo Oeste de Chactún, de planta aproximadamente rectangular, cuyas dimensiones en direcciones norte-sur y este-oeste son de unos 220 m y 170 m, respectivamente; los terraplenes que la rodean son claramente visibles en las imágenes basadas en los datos LiDAR (figuras 2.17 y 2.18). Esta obra hidráulica fue documentada durante nuestras prospecciones en 2013 y descrita en nuestra publicación monográfica (Šprajc 2015: 11s), donde también mencionamos casos análogos en otras partes del área maya. Como se observa en las figuras 2.17 y 2.18, en las esquinas sureste y suroeste del reservorio desembocan dos canales. En la temporada 2017 los verificamos en campo, pudiendo concluir que sirvieron para canalizar el agua acumulada en el bajo circundante hacia el reservorio. En ambos canales, así como en las orillas del reservorio, observamos grandes cantidades de pedernal, que posiblemente redujeron la permeabilidad del terreno. Como se observa en los relieves LiDAR, los canales de alimentación del agua conducen también a otras aguadas. Varios han sido verificados en campo. Los terraplenes que bordean algunos de estos canales al parecer contribuían al flujo deseado del agua (figura 2.20).

Por otra parte, muchos canales no tienen una relación evidente con las aguadas; atravesan, sin un orden aparente, los terrenos planos que a veces manifiestan características de los bajos, pero en algunos casos constituyen áreas de transición entre los terrenos relativamente bien drenados y los periódicamente inundables. Los canales son claramente visibles en los relieves LiDAR (figuras 2.19 y 3.39), pero con frecuencia apenas perceptibles en campo, ya que son de poca profundidad (menos de medio metro) y rara vez rebasan dos metros de ancho, además de ser intermitentes, seguramente por haber sido rellenados por procesos de erosión. Los canales se encuentran, por lo regular, en las inmediaciones de las elevaciones con grupos

habitacionales. Aunque en sus cursos no es evidente algún patrón, es de esperar que los análisis con las herramientas de los Sistemas de Información Geográfica permitan detectar los cursos del flujo de agua y, de esta manera, arrojar luz sobre su posible función (*cf.* Macrae y Iannone 2016). Además de que diversos canales contienen cantidades notables de pedernal (v. capítulo 5: Operación I21-c), varios representan la continuación de albaradas, indicando que ambos tipos de modificaciones tenían funciones estrechamente relacionadas (figuras 2.19 y 3.39).

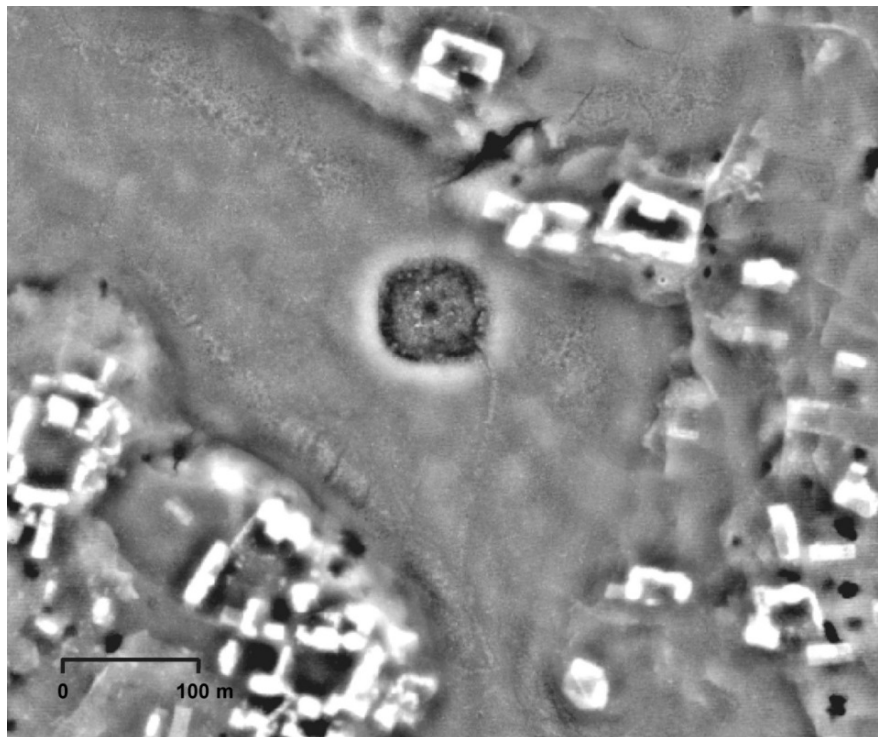


Figura 2.20. Aguada del grupo H21-c. Su planta aproximadamente cuadrada es probablemente resultado de la modificación artificial. Nótese el canal con albarada que conduce desde el sur a la esquina sureste de la aguada.

Algunas terrazas parecen haber servido como presas, por lo que también pueden clasificarse como obras hidráulicas (*cf.* Dunning *et al.* 1999). Finalmente, al menos algunos de los chultunes, que acompañan varios grupos arquitectónicos, probablemente sirvieron para la recolección del agua de la lluvia.

3. Descripción de algunas áreas recorridas

Ivan Šprajc

Luis Antonio Torres Díaz

Aleš Marsetič

A continuación se exponen los datos sobre la ubicación y las características principales de las áreas recorridas que parecen particularmente interesantes y representativas.

Grupo D23-a

El grupo D23-a consiste en varios edificios de modestas dimensiones, rodeados por un sistema de terrazas y albardadas (figura 3.1); éstas últimas incluyen algunas piedras cilíndricas evidentemente reutilizadas (figura 3.2). Al sur de la elevación con este grupo corre una cañada terraceada.

Grupo D23-b

El conjunto principal del grupo D23-b es una plaza rodeada por varias estructuras y con el acceso en su esquina sureste (figura 3.1). El edificio este al parecer tenía dos torres en sus extremos norte y sur y conserva partes de la fachada de mampostería fina (figura 3.3), restos de bóvedas y de una escalinata de acceso en su lado este. De una plataforma en el lado norte de la plaza, de unos 60 cm de alto, desplanta una pirámide, en la que observamos un talud escalonado, algunos tamborcitos lisos de piedra y otros con una decoración a manera de cinta en alto relieve. En el lado sur del edificio adosado a la pirámide se hallaron columnas de hasta un metro de alto y dinteles rectangulares (figura 3.4). En el lado oeste de la plaza se encuentra un muro bajo interrumpido por un vano que permite acceso al edificio oeste. La estructura de mayor altura, que aparentemente tenía tres cuerpos, es la pirámide en el flanco sur de la plaza; en el derrumbe adyacente se observaron varios tamborcitos de piedra. Una plataforma rectangular al sur de la plaza sostiene pequeños montículos de piedra.

Grupo D23-c

En este grupo (figura 3.1) destacan dos plataformas en forma de L que sostienen varios montículos de piedra. Sobre la plataforma oeste, que presenta esquinas redondeadas en su extremo norte, los montículos están acomodados de una forma equidistante, formando una especie de retícula. Inmediatamente al norte de esta plataforma se localiza una calera. El edificio ubicado al sur de las plataformas presenta bóvedas colapsadas y los restos de una escalinata en su lado oeste.

Grupo E10-d

Se trata de un grupo irregular formado por al menos 12 estructuras alargadas (figura 3.5). La más grande, en el extremo norte del grupo, presenta en su lado oriente un pórtico con ocho columnas, cada una formada por dos cilindros (figura 3.6); algunas todavía conservan su capitel cuadrangular (figura 3.7) y restos de estuco

pintado de azul. En las estructuras hacia el sur se observan restos de cuartos abovedadas; dos canteras se ubican hacia el sureste.

Figura 3.1. Grupos D23-a, D23-b, D23-c.

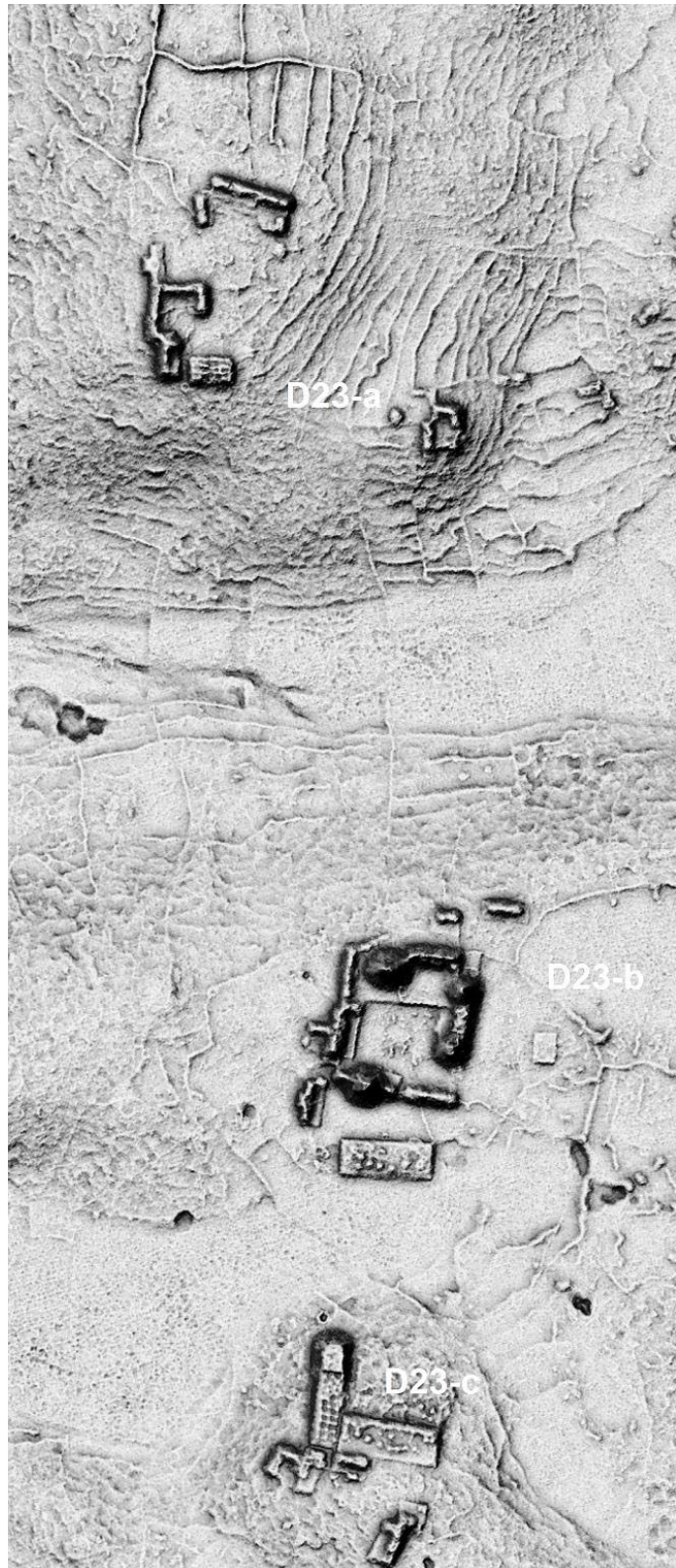


Figura 3.2. Una de las albaradas en el grupo D23-a; nótese la piedra cilíndrica, posiblemente fragmento reutilizado de una columna.





Figura 3.3. Grupo D23-b, estructura oriente del conjunto principal, restos de la fachada de mampostería fina.



Figura 3.4. Grupo D23-b, columnas en la estructura norte del conjunto principal.

Grupo E19-a

El grupo abarca algunas estructuras de modestas dimensiones, que están dispuestas en forma irregular y presentan algunos cuartos con bóvedas colapsadas, así como un pequeño juego de pelota, que se localiza a unos 140 m hacia el noreste; su eje longitudinal está orientado en dirección norte-sur y algunas de las esquinas de los dos edificios están expuestas (figura 3.8).

Figura 3.5. Grupo E10-d.

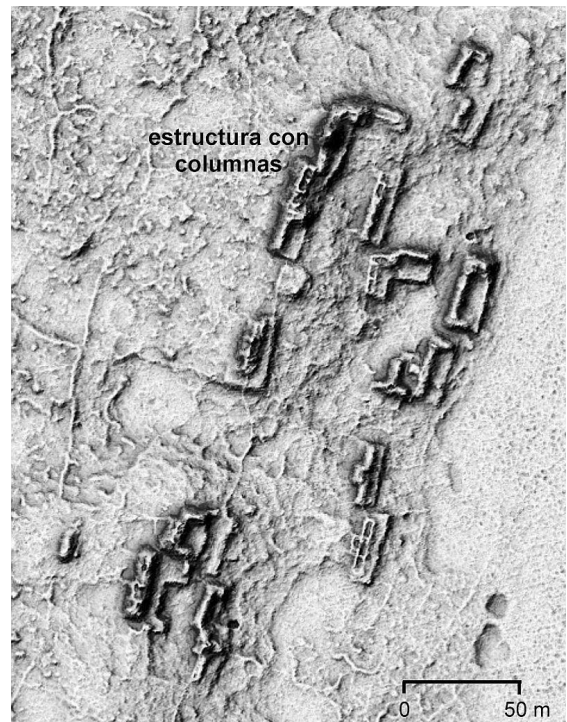


Figura 3.6. Grupo E10-d, hilera de columnas en el lado oriente de la estructura norte.



Figura 3.7. Grupo E10-d, columna con capitel.

Grupo E19-b

El conjunto principal se compone de las estructuras que rodean una plaza rectangular, destacándose por sus alturas (figura 3.8). La más alta, de casi 15 m, es la pirámide en el flanco sur. En los edificios en los lados oeste y norte de la plaza se observan escalinatas. Al centro de la plaza se identificó un círculo conformado por diferentes elementos arquitectónicos, tales como columnas reutilizadas. La estructura sureste de la plaza presenta evidencia de esquinas redondeadas; inmediatamente al este está una calera. En los derrumbes de los

edificios que delimitan la plaza se encontraron fragmentos de pequeños cilindros cortados a la mitad. Los edificios anexos al suroeste de la plaza presentan cuartos colapsados. Inmediatamente al oriente del conjunto principal se ubica un juego de pelota, orientado con su eje longitudinal en dirección este-oeste. Al sur de la cancha se localiza una cantera o cueva derrumbada y, al oriente, las estructuras alrededor de un patio en el que se conserva un cuadro de piedra burdamente labrada. Anexa a la plaza principal en su lado norte se localiza una plataforma que sostiene una estructura, posiblemente flanqueada por dos torres pequeñas, siendo mejor preservada la del lado norte, principalmente en sus caras norte y este. En las fachadas se observan restos de mampostería fina, incluyendo molduras y otros elementos decorativos (figuras 3.9 a 3.11). En el derrumbe del edificio se halló un clavo arquitectónico.

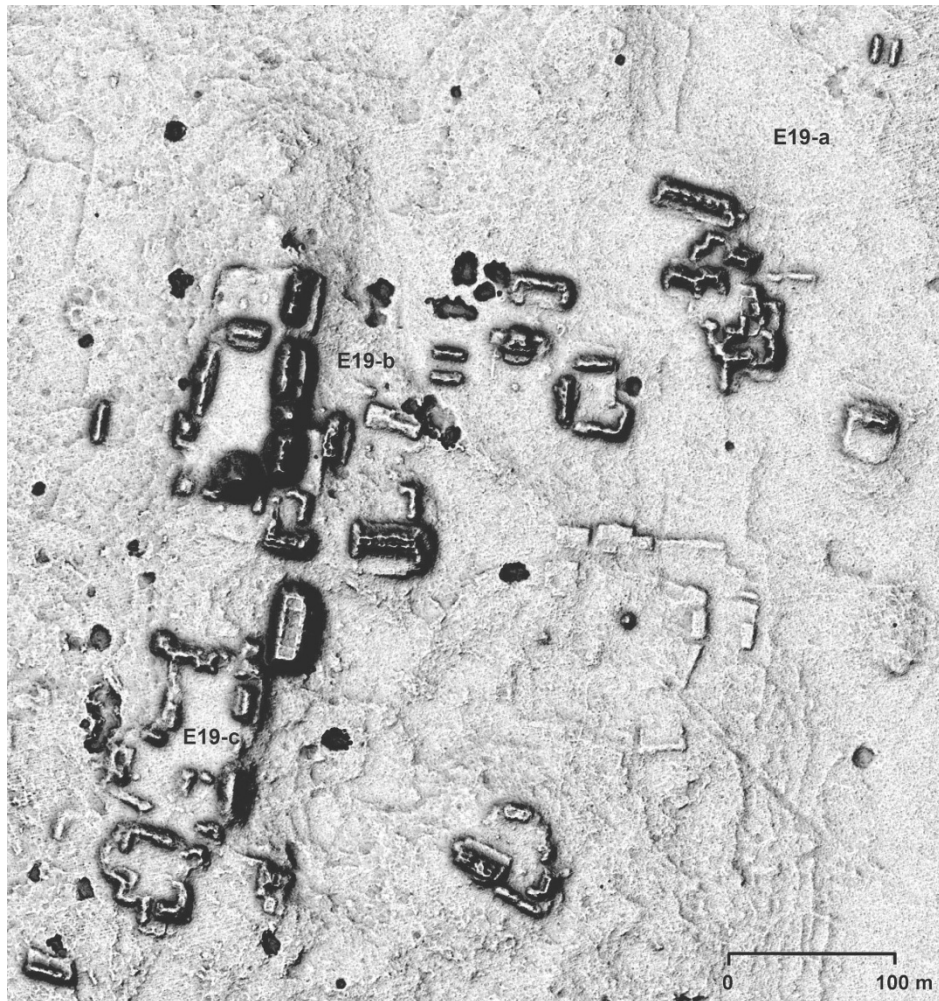


Figura 3.8. Grupos E19-a, E19b y E19-c.

Grupo E19-c

Varias estructuras de poca altura rodean una plaza rectangular y un patio al sur (figura 3.8). En la esquina noroeste del edificio sureste de la plaza se encontró una estela lisa, que tiene pequeñas oquedades en una de sus caras. Al centro de este edificio y sobre lo que sería la escalinata de acceso se encontró un altar circular bastante erosionado. Pegada a la esquina noreste de la plaza se ubica una plataforma alargada de más de 10 m de alto, con dos cuartos en los extremos sur y norte, sin que se observen restos de bóvedas, por lo que su techumbre debió ser de materiales perecederos. En el lado este del edificio se observan restos de una escalinata y, hacia el sureste, una cantera.



Figura 3.9.
Grupo E19-b,
restos de la
fachada este
de la
estructura
extrema norte
del conjunto
principal, con
segmentos de
la moldura
basal.



Figura 3.10. Grupo E19-b, fachada norte de la estructura extrema norte, con segmento de la moldura basal.



Figura 3.11. Grupo e19-b, elemento decorativo en el lado oriente de la estructura extrema norte.

Grupo E21-a

Se trata de un sistema de terrazas y albaradas. Las terrazas bajan de un espacio rodeado por terrenos elevados (*yaxomal*) (figura 3.12). En los bordes de algunas terrazas se observan piedras expuestas (figura 3.13).



Grupo F12-f

El grupo está conformado por dos plazas; hacia el noroeste conduce un *sacbé* hacia otros grupos arquitectónicos (figura 3.14).

En medio de la plaza oeste se ubica una plataforma baja de planta cuadrada. La estructura en el flanco norte de la plaza cuenta con una serie de cuartos colapsados. En el lado norte del edificio se lograron identificar tres niveles, todos con cuartos abovedados colapsados; en algunas de sus paredes se conservan restos de

estuco. Las esquinas norte del último cuerpo son redondeadas (figura 3.15). En el derrumbe del edificio se hallaron tamborcitos de piedra, así como restos de estuco pintado de rojo. En la parte sur del edificio se halló una pequeña cavidad que permite observar un cuarto semi-derrumbado.

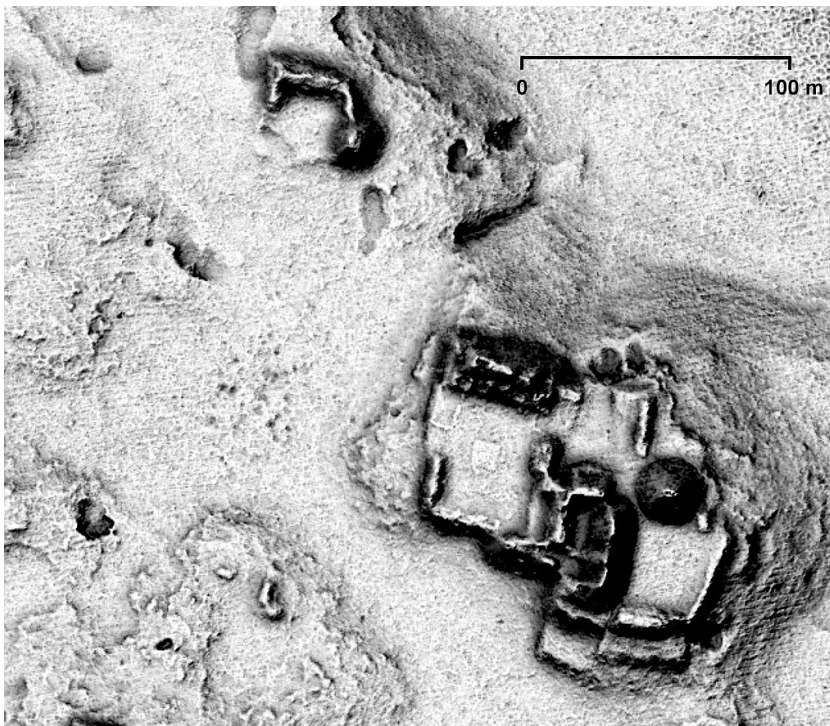


Figura 3.14. Grupo F12-f; nótese los restos de un *sacbé* hacia el noroeste.

Figura 3.15. Grupo F12-f, plaza oeste, restos de la esquina redondeada noreste en la estructura norte.



Figura 3.16. Grupo F12-f, cilindros de piedra en la plaza este.

En el centro de la plaza este se ubica un círculo de seis tamborcitos, rodeando un cilindro de 65 cm de diámetro a manera de altar (figura 3.16; cf. capítulo 4: Operación Altares). El flanco norte de la plaza está delimitado por una pirámide. En la estructura oeste, que tiene un patio interior elevado, se observan restos de muros y cuartos colapsados.

Grupo F13-a

El grupo lo componen un conjunto palaciego, dos conjuntos menores hacia el norte y otros rasgos que se describen a continuación (figura 3.17).



Figura 3.17. Grupo F13-a.



Figura 3.18. Grupo F13-a, conjunto palaciego, cilindros de piedra en el patio.



Figura 3.19. Grupo F13-a, restos de un cuarto abovedado en el lado este de la estructura este, con un nicho en la pared oeste.



Figura 3.20. Grupo F13-a, lado norte de un conjunto ubicado al norte del complejo palaciego; nótense las piedras cilíndricas, incluyendo la que presenta una moldura (en el extremo izquierdo inferior de la foto).



Figura 3.21. Grupo F13-a, una de las terrazas en las laderas al oriente del conjunto palaciego.

El conjunto palaciego tiene un patio interior rodeado por varios edificios. En el centro del patio se encuentran dos cilindros de piedra, posiblemente fragmentos de columnas (figura 3.18). La estructura oeste presenta en su cara oeste cuartos colapsados; en la parte alta se observan cuartos sin evidencia de bóvedas. En el edificio norte, que posiblemente tenía dos pequeñas torres en sus extremos, se observan varios cuartos con bóvedas parcialmente colapsadas y restos de una escalinata en su lado norte. En la estructura oriente están expuestos varios muros, incluyendo algunos paños de mampostería fina. En la pared poniente de un cuarto en el lado oriente de este edificio se observa un pequeño nicho de 40×50 cm (figura 3.19).

Al norte del conjunto palaciego se encuentra una cantera y, más adelante, dos pequeños conjuntos que presentan cuartos colapsados y varios muros expuestos. En el lado norte del conjunto norte se observan algunas columnas o fragmentos de ellas, que parecen haber formado parte de un muro, así como una piedra

cilíndrica con una cintura en relieve (figura 3.20). El muro sur del conjunto sur, que cuenta con una escalinata, está alineado con una especie de contención que continúa por lo menos 100 m hacia el oriente (figura 3.17).

A poca distancia al noreste del conjunto palaciego se localiza una hondonada que posiblemente retenía agua algún tiempo (*yaxomal*) y de la cual parte hacia el sureste una cañada terraceda; las terrazas, en cuyos bordes se observan piedras que formaban partes de los muros de contención, así como albaradas se encuentran también en las laderas adyacentes (figuras 3.17, 3.21 y 3.22).



Figura 3.22. Grupo F13-a, una de las albaradas en las laderas al oriente del conjunto palaciego.

Grupo F15-a

El conjunto principal es una plaza rodeada por varias estructuras y con un tambor de piedra en el centro (figura 3.23). Al oriente de la plaza se ubica una pirámide; en su talud poniente encontramos en el derrumbe fragmentos de al menos una columna cilíndrica, cuyo núcleo consiste en piedras y mortero y su superficie está elaborada con piedras finamente labradas (figura 3.24). Entre el derrumbe de la estructura inmediatamente al sur, también en su lado poniente, observamos un bloque de piedra con esquina redondeada y cilindros de piedra, al parecer partes de columnas que flanqueaban el acceso.

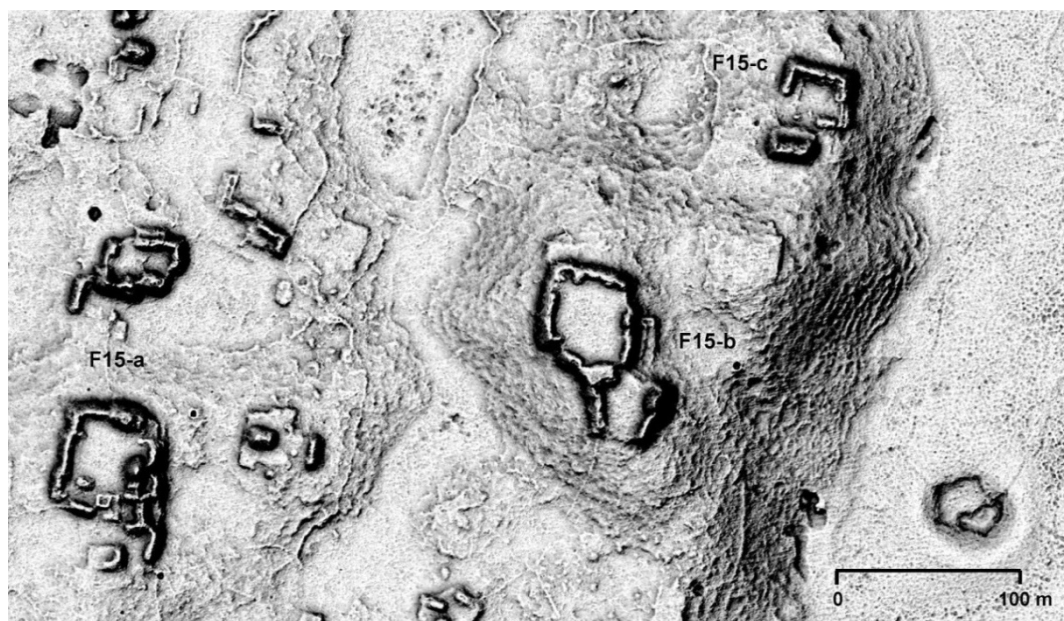


Figura 3.23.
Grupos F15a,
F15-b y F15-c.



Figura 3.24. Grupo F15-a, fragmentos de columnas de mampostería en el talud poniente de la estructura piramidal.

El grupo de patio al norte del conjunto principal es de forma irregular y tiene un tamborcito de piedra en el patio y un muro expuesto en la estructura sur. Inmediatamente al noreste del conjunto principal se localiza una calera con piedras quemadas y, al oriente, una estructura con un chultún cerca de su base norte.

Grupo F15-b

Se trata de un conjunto de estructuras con una plaza y un patio anexo (figura 3.23). En el centro de la plaza se encuentran un altar cuadrangular y cuatro tambores de piedra alineados en dirección este-oeste. Hacia la parte sur de la plaza se encontró una estela tirada con relieves (v. capítulo 4: Estela 1). La plaza está delimitada en su lado sur por una plataforma a la que ascienden los escalones construidos con bloques de piedra de hasta 1 m de largo (figura 3.25). La estructura anexa al poniente exhibe un cuarto con bóveda colapsada; algunas piedras de sus muros están quemadas. En varios edificios que rodean la plaza y el patio anexo hay segmentos de muros expuestos, incluyendo esquinas (figura 3.26). A unos 50 m al oriente del conjunto se localiza una calera y, a 170 m al sureste, una aguada, posiblemente artificial y con una parte más honda que el resto; a juzgar por el terreno (en el que se observa mucha piedra caliza) y la vegetación, no retiene el agua durante mucho tiempo en la estación seca.

Grupo F15-c

Las estructuras de modestas dimensiones rodean un patio (figura 3.23), cuyo costado oriente lo delimita una plataforma baja con muros expuestos y con una calera inmediatamente al oriente. La estructura sur es la más grande (aunque su altura no rebasa 4 m) y presenta un cuarto colapsado con bóveda en la parte suroeste; en su lado norte, cerca de la esquina noreste, se conservan dos columnas estucadas, una con un borde redondeado (figura 3.27). Junto a un bloque con un borde redondeado, que parece haber formado parte de la esquina noreste del edificio, se encontraron un torso humano y otro elemento decorativo, ambos elaborados de estuco sobre la base de piedra (figuras 3.28 y 3.29), así como otros fragmentos de estuco pintado. El torso es reminiscente del que fue encontrado en el sitio de Dzibanmac, al sur de Xpujil (Merk 2015).



Figura 3.25. Grupo F15-b, escalinata en la estructura sur de la plaza principal.



Figura 3.26. Grupo F15-b, esquina de un edificio en el extremo sureste de la plaza principal.



Figura 3.27. Grupo F15-c, columnas estucadas en la estructura sur.



Figura 3.28. Grupo F15-c, torso humano elaborado de piedra y estuco pintado, encontrado en la estructura sur.



Figura 3.29. Grupo F15-c, elemento decorativo de estuco, encontrado en la estructura sur.

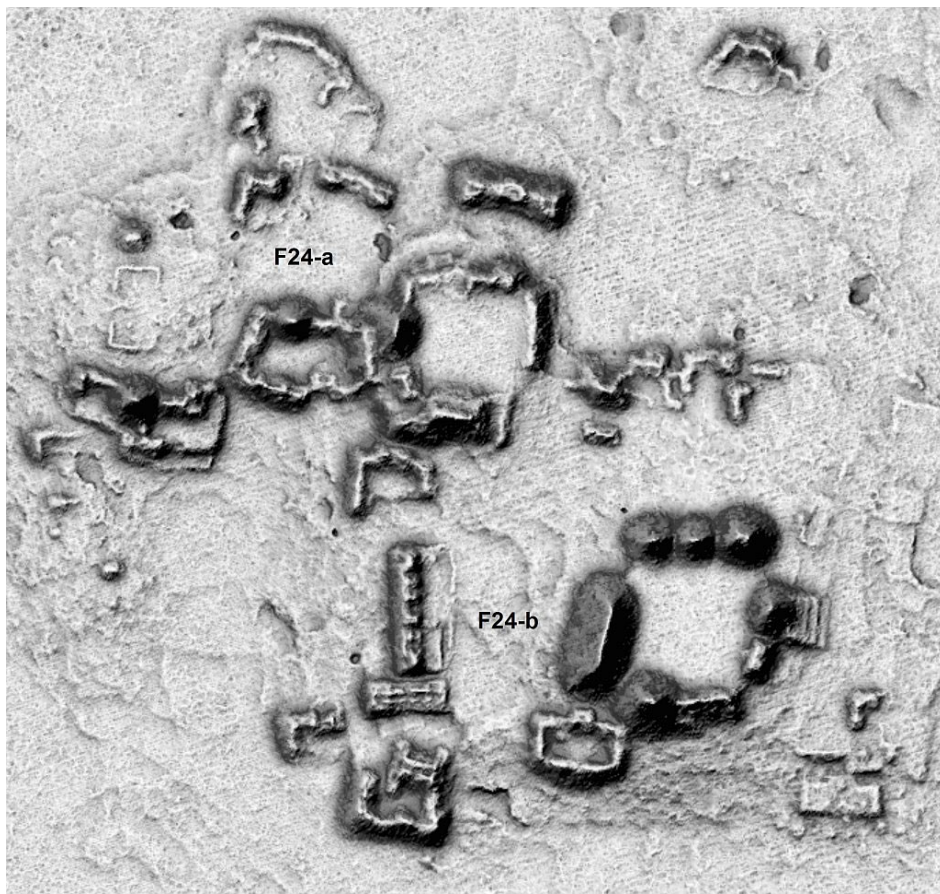


Figura 3.30. Grupos F24-a y F24-b.



Figura 3.31. Grupo F24-b, talud escalonado sur de la pirámide este en el costado norte de la plaza.



Figura 3.32. Grupo F24-b. Elemento decorativo en la estructura oeste de la plaza.

Grupo F24-b

El grupo se compone de un conjunto de plaza y algunas estructuras aledañas (figura 3.30). En el montículo este de los tres que delimitan la plaza por el lado norte está expuesta una parte del talud oeste, con piedra finamente labrada, así como parte de su talud sur escalonado (figura 3.31). Al pie oriente de la estructura alargada en el lado poniente de la plaza encontramos dos piedras cilíndricas con banda medial labrada en relieve (figura 3.32); cerca de la esquina noreste del mismo edificio se observa una piedra con un borde redondeado, aparentemente parte de la esquina. A la pirámide en el costado este de la plaza ascienden desde el este plataformas escalonadas. De los cuatro altares situados en medio de la plaza, al menos dos son del tipo “cabeza de clavo”, anteriormente documentado en Lagunita (figura 3.33; Esparza Olguín 2015: 66-68; Šprajc *et al.* 2015b).



Figura 3.33.
Grupo F24-b.
Altares del tipo
“cabeza de
clavo” en la
plaza.

Inmediatamente al norte del grupo se ubica un chultún. Entre las estructuras al poniente del grupo de plaza sobresalen una plataforma alargada con varios aposentos y, al sur, una estructura menor perpendicular a la anterior; ambas manifiestan mampostería fina.

Grupo H24-e

El espacio principal del grupo es una plaza de planta rectangular. En su parte norte se encuentra un juego de pelota, cuyo edificio norte está adosado a una estructura arruinada que parece haber tenido dos torres en sus extremos (figura 3.34). Las esquinas de la cancha presentan fragmentos de estelas (figuras 4.24 a 4.39). Al sur del juego de pelota, en el centro de la plaza, se halló una estela rota en tres fragmentos; originalmente tenía aproximadamente 4 m de largo, 1 m de ancho y 39 cm de grosor. Al parecer la estela estaba colocada en una pequeña plataforma cuadrangular. Al pie de la estructura sur se identificó un altar circular. Dentro de este grupo se recolectaron muestras del material de superficie y se realizaron pozos de sondeo para liberar los fragmentos de las estelas en las esquinas del juego de pelota y lo que se consideró el pie de la estela, en el centro de la plaza (v. capítulo 4: Pozos del sondeo en el juego de pelota del grupo H24-e; capítulo 5: Operación H24-e).



Figura 3.34. Grupo H24-e.

En algunos de los edificios del grupo se observan restos de cuartos abovedados (figura 3.35). Al suroeste de la plaza se identificó una posible calzada que lleva al grupo G24-a. Hacia el norte se localiza una aguada, rodeada por un terraplén y con mucho pedernal en las orillas (figura 3.34).



Figura 3.35. Grupo H24-e, restos del cuarto abovedado en uno de los edificios al noreste de la plaza principal.

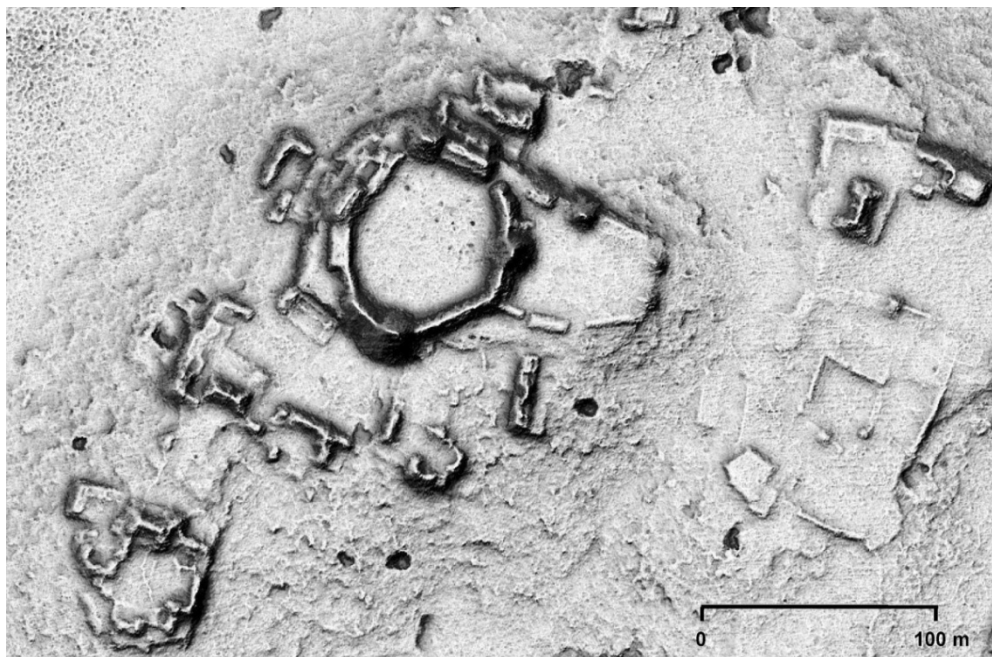


Figura 3.36. Grupo I14-c.

Grupo I14-c

El conjunto principal de este grupo está centrado en una plaza cuya planta es de forma casi circular (figura 3.36). En su costado norte está delimitada por un montículo piramidal y una estructura alargada, mientras que en otros lados está rodeada por una estructura casi continua reminiscente de un anfiteatro, pero que no es igual en todos los segmentos, ya que sobresalen montículos piramidales en los lados este y sur y una plataforma con escalinata y otro edificio anexo en el lado oeste. El único acceso parece estar en el lado noreste. El conjunto de la plaza fue construido sobre un sistema de plataformas, cuyos muros están expuestos en varios segmentos; en el lado poniente se observa una esquina redondeada (figura 3.37). En el centro de la plaza se halló un altar rectangular con relieves, asociado a dos tambores (capítulo 4: Altar 1). En el derrumbe en el extremo sur de la plaza encontramos restos de posibles elementos de decoración arquitectónica de estuco, con vestigios de pigmentos azul y rojo (figura 3.38). En la fachada norte del edificio norte se observan restos de un muro con una batea reutilizada.

Anexa al lado este del conjunto está un patio con un tambor en medio y una pequeña pirámide con esquina expuesta en el flanco norte. Más al sureste se ubica un cuadrángulo con un altar cilíndrico en el centro y –en la plataforma contigua al sur– tambores alineados. Al suroeste del conjunto de plaza se encuentra un grupo de patio, con bóvedas colapsadas y un muro bajo que atraviesa el patio.



Figura 3.37. Grupo I14-c, esquina redondeada en una de las plataformas al poniente del conjunto principal.



Figura 3.38. Grupo I4-c, fragmento de la decoración arquitectónica en el extremo sur de la plaza principal.

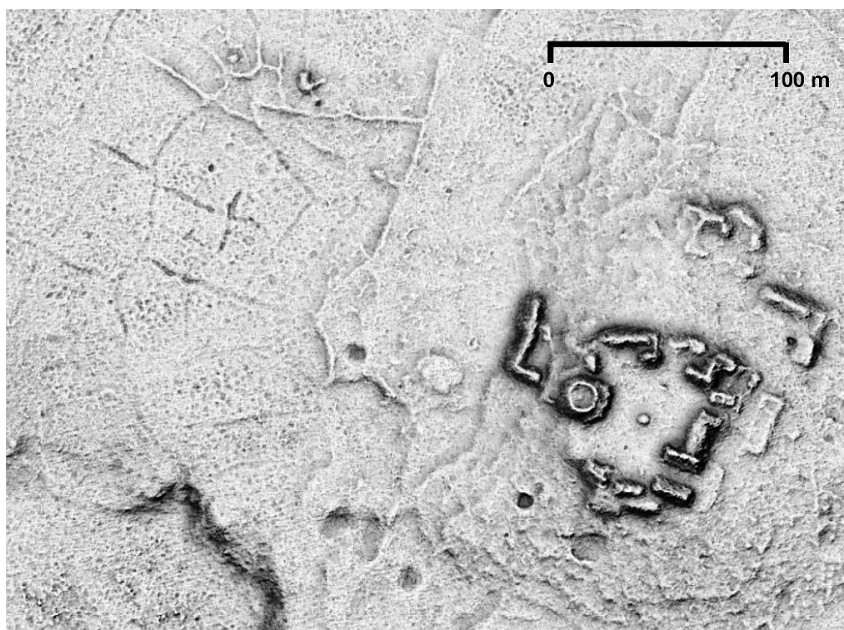


Figura 3.39. Grupo I21-b.



Figura 3.40. Grupo I21-b, estela en la plaza.

Grupo I21-b

Se trata de varias estructuras arregladas alrededor de una plaza de planta irregular (figura 3.39). En su lado poniente se ubica una plataforma con estructura superior encerrada por un muro circular. Una estela lisa está parada al pie oriente de un montículo bajo en el centro de la plaza (figura 3.40). Al montículo alargado situado en el costado oriente de la plaza está adosado un pequeño juego de pelota, con algunas esquinas parcialmente expuestas; un bloque de piedra que se encontró cerca de la esquina noreste de la cancha quizá haya servido como esquinero. Inmediatamente al suroeste del grupo se localiza una cantera. Hacia el noroeste el terreno baja a la planicie con varios canales con pedernal; algunos se convierten en albardadas (figura 3.39).

Grupo K16-a

Las estructuras están arregladas alrededor de dos plazas contiguas y varios patios anexos (figura 3.41). En muchos edificios se observan muros expuestos y cuartos con bóvedas parcialmente colapsadas. En la plaza sur se encuentran tres tambores de piedra. La pirámide en el flanco poniente de esta plaza presenta un talud escalonado. Inmediatamente al noroeste de esta pirámide se ubica una estructura que sufrió saqueo en por lo menos cuatro cuartos (se trata de los pocos saqueos que hemos visto, debiéndose su presencia en este caso seguramente a que el grupo se ubica en la parte noreste del área de estudio, a unos 15 km al poniente del poblado moderno de Nueva Vida). Los depredadores expusieron segmentos de muros, de los que uno está decorado con columnitas y una moldura (figura 3.42), y diferentes elementos decorativos de las fachadas o incluso de la crestería, elaborados en estuco, algunos zoomorfos, con restos de pigmentos azul, rojo y ocre (figura 3.43).

Figura 3.41. Grupo K16-a.



Figura 3.42. Grupo K16-a, segmento de un muro con columnitas y moldura en una estructura en la parte poniente del conjunto.





Figura 3.43. Grupo K16-a, fragmentos de la decoración de estuco de una estructura en la parte poniente del conjunto.



4. Informe de las actividades de excavación y registro epigráfico de monumentos

Octavio Quetzalcóatl Esparza Olguín

Introducción

Los trabajos de prospección en el área estudiada resultaron útiles para la detección de varios tipos de vestigios arqueológicos que, por sus dimensiones, no pudieron ser detectados por medio de la tecnología LiDAR, como fue el caso de los monumentos esculpidos. En el presente informe se dan a conocer las actividades de excavación y registro epigráfico que se realizaron en el periodo del 2 al 22 de mayo de 2017, las cuales incluyen la descripción de cinco unidades de excavación, así como el registro y análisis de tres monumentos esculpidos, con restos de imágenes y textos, que fueron localizados en los conjuntos F15-b, H10-b y I14-c. El presente texto se estructura a partir del estudio de los monumentos esculpidos y de las unidades de excavación asociadas a ellos, continuando con el registro de los pozos de sondeo asociados a diversos monumentos lisos.

Altar 1 (N18°47'46.3", W89°31'52")

El monumento se descubrió en la plaza principal del grupo I14-c (figura 3.36). Es un monumento de piedra caliza de formato rectangular que ostenta unas dimensiones máximas de 1.47 m de largo, 0.87 m de ancho y 0.4 m de grosor. Desafortunadamente, gran parte de su superficie estaba cubierta por las gruesas raíces de un chacah (*Bursera simaruba*), las cuales fueron retiradas para determinar si el monumento conservaba restos de imágenes y/o textos jeroglíficos (figuras 4.1 y 4.2). Asociados al monolito se encontraron dos altares cilíndricos, los cuales yacían a corta distancia en dirección poniente (figura 4.3).

Una vez finalizada la liberación del elemento, se pudo apreciar en la cara superior el grabado de una figura antropomorfa en pie, que porta un tocado de plumas, pectoral, braguero y sandalias anudadas (figuras 4.4 y 4.5). Destaca la presencia de un elemento de forma oval en el brazo derecho del personaje, conocido como “celta de jade”, que suelen portar algunas deidades del panteón maya (Stone y Zender 2011), así como el signo de fuego en la parte frontal de su tocado; asimismo, la zona frontal del braguero exhibe algunos elementos similares a los numerales de barra y punto. En el extremo inferior izquierdo de la composición, frente al personaje, se encuentra una figura escalonada similar a la representación de la montaña o *witz*, cuyo rasgo principal es una hendidura en forma de T, que se asocia con las representaciones iconográficas mayas de esos rasgos naturales del paisaje, o bien, con estructuras arquitectónicas (Stuart 1987; 1997).

La escena referida con antelación se encuentra enmarcada por un texto de aproximadamente 42 cartuchos jeroglíficos, aunque este número es tan sólo una estimación, al estar muy erosionadas algunas secciones del monumento. De igual forma, se detectó la presencia de 10 cartuchos más plasmados en los cuatro costados del altar, colocándose un conjunto de tres cartuchos en los cantos izquierdo y derecho, así como grupos de dos en los costados superior e inferior (figura 4.5). Aún con el alto grado de erosión que presenta el texto, fue posible identificar un título topónimo en A12-A13 donde aparece escrito ?-?-a AJAW, ...ha' ajaw, ‘Señor de ...ha’, mostrando la estructura típica de dichos títulos donde el término *ajaw* se encuentra acompañado de un topónimo que incluye el vocablo *ha'*, ‘agua, cuerpo de agua’, que acompaña a un sinnúmero de nombres de sitios, o bien, a sectores específicos dentro de los mismos (Grube 2005; Stuart y Houston 1994; Zender 2002), como por ejemplo K’ihnha’ (Piedras Negras), Kobha’ (Cobá), Lakamha’ (Palenque), Yaxha’ (Yaxá) o Wanha’ (Santa Elena). Lamentablemente, los componentes del cartucho A12 no

pueden apreciarse con claridad, siendo imposible descifrar el nombre de la localidad contenida en la inscripción.



Figura 4.1. Árbol colocado sobre la superficie del Altar 1 (escala: 1 m).



Figura 4.2. El Altar 1 después del trabajo de liberación (escala: 1 m).



Figura 4.3. Los altares cilíndricos colocados a un costado del Altar 1 (escala: 1 m).

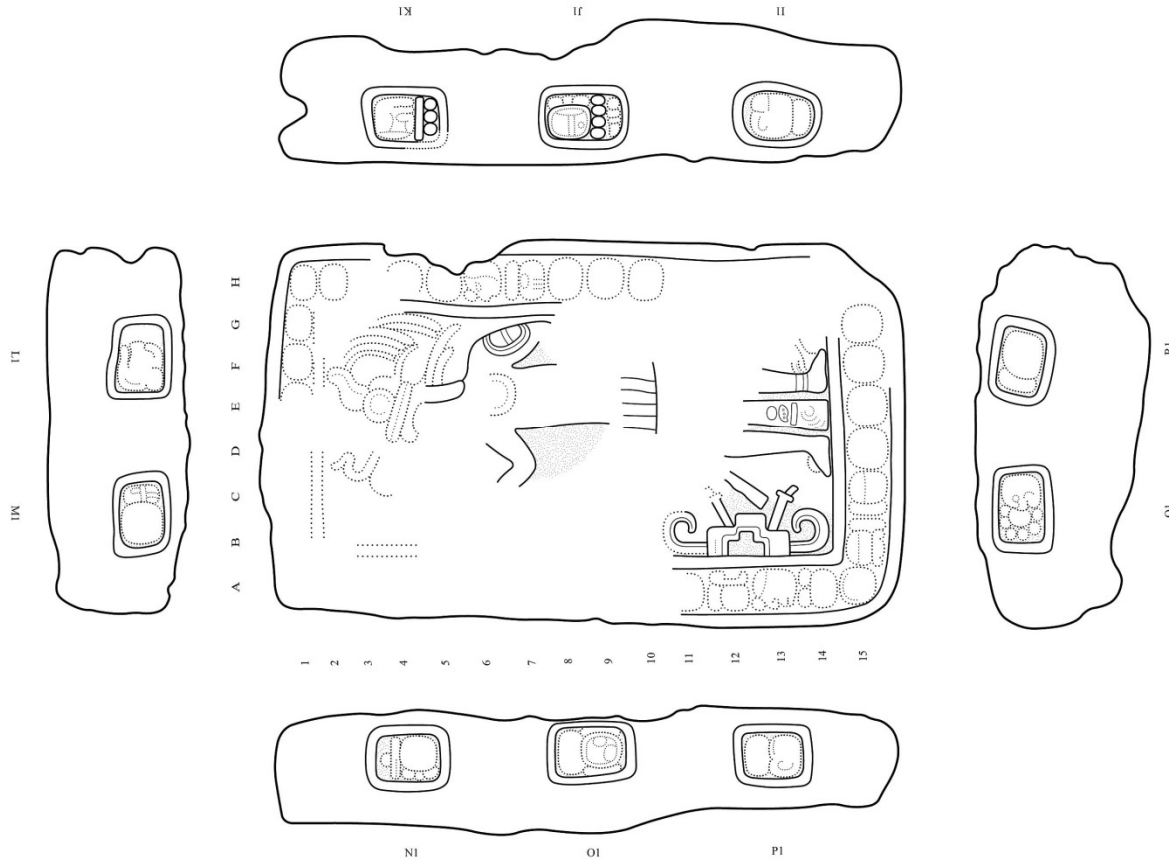


Figura 4.5. Propuesta de dibujo de línea del Altar 1 (dibujo: Octavio Esparza).



Figura 4.4. Fotografía con luz artificial rasante de la cara superior del Altar 1.

Por otra parte, y enfocándonos en el texto de los costados, aparecen algunos registros temporales en el sistema de Rueda Calendárica, siendo el más claro de ellos el que se ubica en la posición J1-K1 que corresponde a la fecha 4 *ajaw* 8 *suutz'* (figura 4.5). Debido a que este tipo de cálculos se repiten cada 52 años, resulta imposible fijar la fecha de forma precisa sin información adicional, aunque las opciones más plausibles en el sistema de Cuenta Larga son 9.13.8.4.0 (22 de abril de 700 d.C.), 9.16.0.17.0 (9 de abril de 752 d.C.) y 9.18.13.12.0 (27 de marzo de 804 d.C.), teniendo en mente el registro de fechas del Clásico Tardío en otras inscripciones que proceden de asentamientos cercanos de Chactún y Lagunita (Šprajc 2015; Šprajc *et al.* 2015b).

Operación Altar 1

Se realizó al sur del Altar 1, con unas dimensiones de 1.5 m por lado y una orientación de 27° con respecto al norte magnético, misma que presentaba el monumento (figura 4.6). A partir del proceso de excavación (figura 4.7) se recuperó material cerámico cuyo posterior análisis resultará fundamental para contar con una cronología relativa de ocupación del sector donde fue erigido el monumento. A continuación, se enumeran los estratos detectados durante las labores de excavación (figura 4.8):



Figura 4.6. Trazo del pozo de sondeo en el extremo sur del Altar 1.



Figura 4.7. Fin del trabajo de remoción en la Operación Altar 1.

Capa I: Estrato humítico, de color café oscuro con una baja concentración de raicillas y piedras pequeñas.

Capa II: Matriz de tierra de color café claro, con inclusiones de piedras pequeñas y medianas. A partir de la excavación de este estrato se decidió reducir la superficie del pozo en el extremo sur, quedando con unas dimensiones de 1.5 m en sentido este-oeste por 1 m en dirección norte-sur.

Capa III: Corresponde a un estrato de tierra de coloración gris oscura, con la presencia de una gran cantidad de piedras medianas y grandes que correspondían al relleno de la plaza o patio. Debido a la dificultad para remover el material, se decidió dar por concluido el trabajo de excavación, implementándose como tarea final el relleno del pozo con el material previamente extraído.

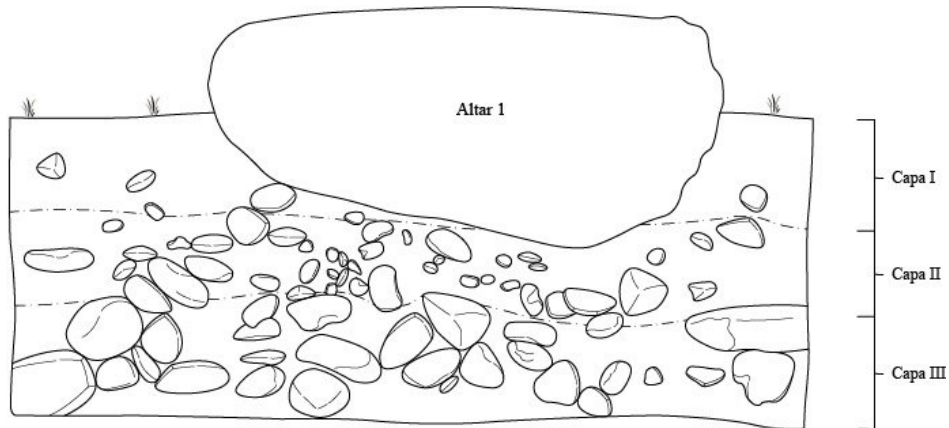


Figura 4.8. Perfil norte de la Operación Altar 1.



Figura 4.9. Altar 2 fragmentado en dos secciones.

Altar 2 (N18°50'22.4", W89°32'12.5")

Fue encontrado en el grupo H10-b, al interior de una pequeña plaza o patio. Se trata de un monumento de piedra caliza de formato rectangular, fragmentado en dos secciones y orientado en dirección este-oeste (figuras

4.9 y 4.10). La cara superior exhibe un alto grado de erosión, aunque todavía puede observarse en el fragmento oriental la cabeza descarnada de un ser sobrenatural; por otra parte, la figura plasmada en el segundo fragmento se encuentra obliterateda. En lo que respecta a los cantos, contienen un texto constituido por un total de 14 cartuchos jeroglíficos, muchos de los cuales se encuentran erosionados (figura 4.11). Resulta necesario señalar que la esquina noreste del monumento no podía observarse a simple vista, debido al crecimiento de un árbol cuyo tronco se adhirió a la superficie del altar. Con el fin de no dañar más la superficie del monumento, se decidió no cortar el árbol ya que podía provocar el desprendimiento de un área mayor de la inscripción.



Figura 4.10. Soportes cilíndricos sobre los que fue colocado el Altar 2.



Figura 4.11. Texto jeroglífico plasmado en el canto del Altar 2.

Durante el registro de la pieza, se pudo constatar que fue colocada sobre cuatro soportes cilíndricos de piedra caliza (figuras 4.9 a 4.11), una característica muy común que fue documentada en otros grupos durante

las labores de prospección, donde se observaron altares lisos con soportes similares (como por ejemplo en los grupos F10-d, G14-b o G15-b; figuras 2.9 y 2.10). Asimismo, se registraron las dimensiones máximas del monumento, por medio de la medición de los dos fragmentos: 1.5 m de largo, 0.89 m de ancho y 0.42 m de grosor.

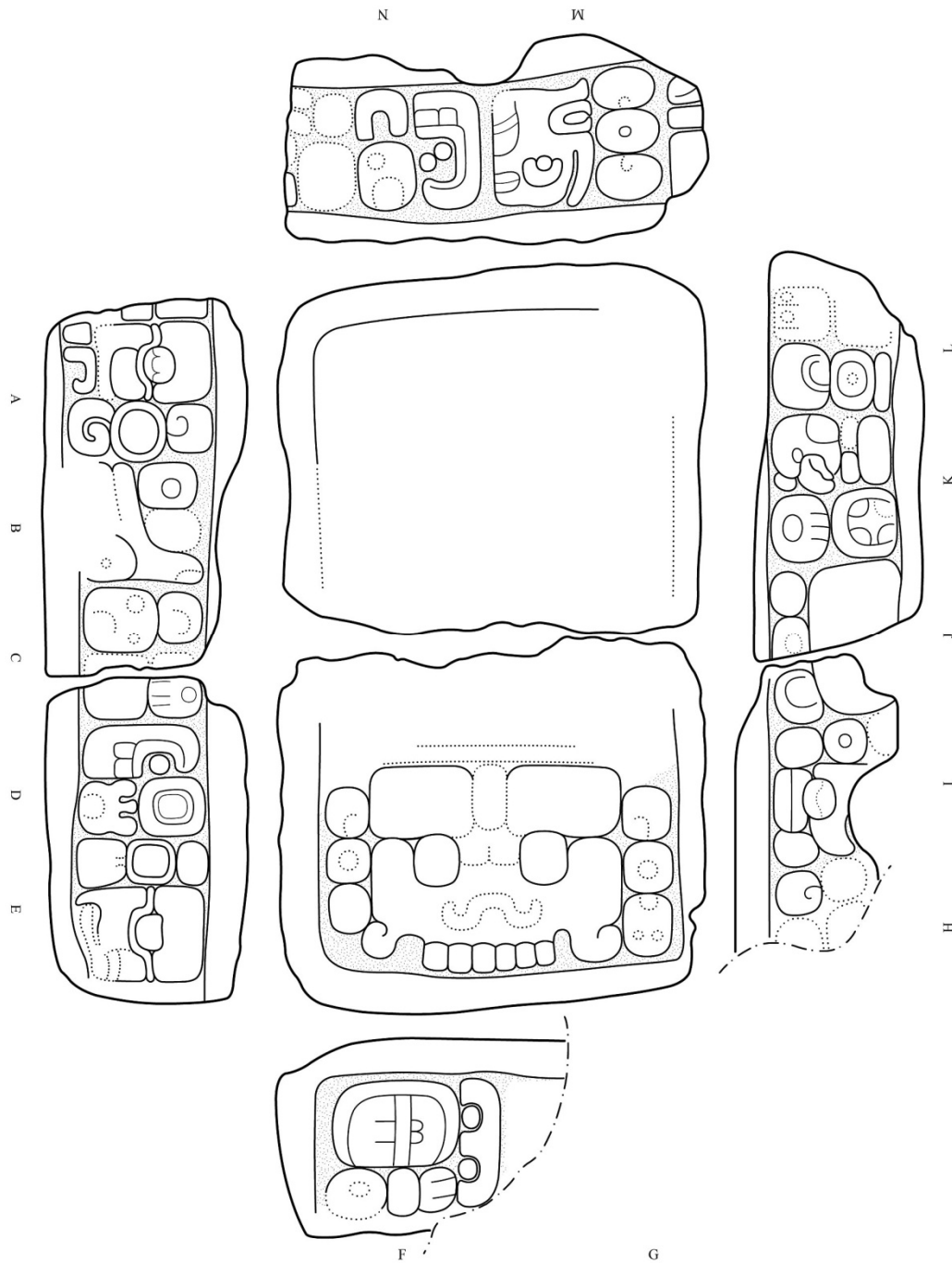


Figura 4.12.
Propuesta de
dibujo de línea
del Altar 2
(dibujo: Octavio
Esparza).

Debido al grado de erosión que muestra el texto jeroglífico, es difícil establecer en qué posición inicia, aunque por el registro de la firma del escultor en el canto superior, lo más probable es que comience en el costado izquierdo (figura 4.12). En un análisis preliminar de la inscripción, se puede reconocer una referencia a un *b'aah ajaw* (K), ‘primer señor, señor principal’, título que ostentaban aquellos personajes líderes de cierto segmento social dentro del señorío que, al parecer, no formaban parte del linaje real (aunque estaban sujetos

a él) pero gozaban de ciertos privilegios y autoridad sobre determinados sectores del asentamiento (Bernal Romero y Venegas Durán 2005). Más adelante, en M y N, se encuentra el registro de la firma del escultor en los siguientes términos: **yu-xu ja-la?-wa ?-?, yuxu[?] jalaw ...**, ‘es el grabado de jalaw? ...’, marcando lo que parece ser la sección final del texto.

Operación Altar 2

Se ubicó al costado poniente del Altar 2, con unas dimensiones de 2 m por lado y orientada con respecto al norte magnético. Al igual que en la Operación Altar 1, los objetivos se centraron en la obtención de material cerámico, para establecer una secuencia cronológica relativa de ocupación del espacio donde fue localizado el monumento, así como la búsqueda de algún tipo de depósito (ofrenda) que pudiera estar asociado al altar (figuras 4.13 a 4.16). Las capas detectadas a partir del trabajo de excavación fueron:



Figura 4.13. Operación Altar 2; alineamiento de piedras careadas detectado a partir de la capa I.



Figura 4.14. Operación Altar 2, fin del proceso de excavación.

Capa I: Suelo superficial de color café oscuro, con inclusiones de raicillas y piedras pequeñas. Durante la remoción de este estrato, se detectó la presencia de piedras careadas en los sectores sur y este del pozo, las

cuales conformaban un alineamiento en sentido norte-sur y otro en sentido este-oeste, configurando una forma de escuadra (figuras 4.13 y 4.15).

Capa II: Corresponde a una matriz de tierra de color gris oscuro que contenía piedras pequeñas y medianas, las cuales fueron colocadas como relleno para emparejar la superficie al mismo nivel de la cara superior de los bloques careados.

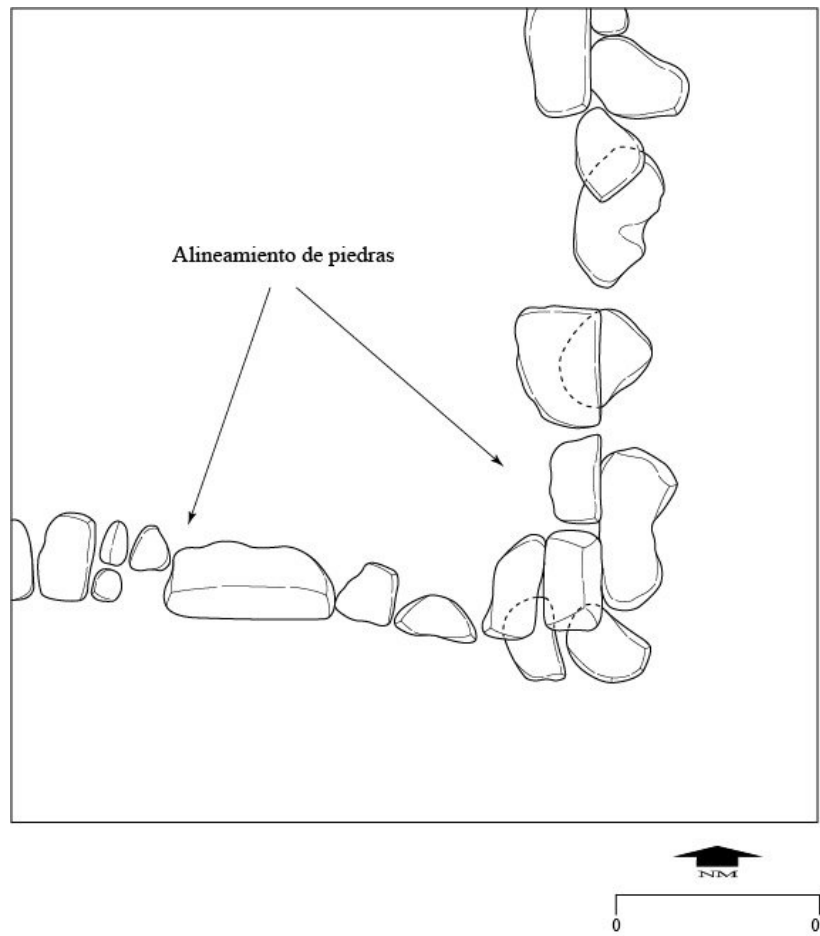


Figura 4.15. Registro de los bloques de piedra alineados.

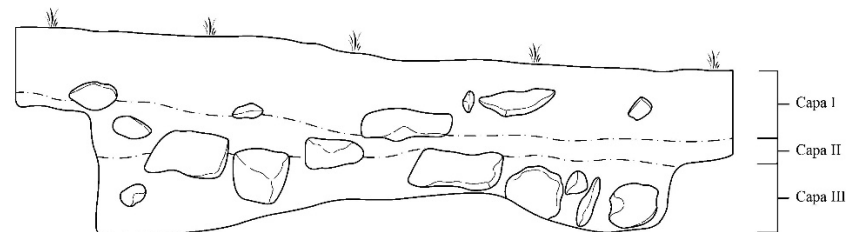


Figura 4.16. Registro del perfil este de la Operación Altar 2.

Capa III: Se diferencia del estrato anterior por la aparición de piedras medianas y grandes contenidas en una matriz de tierra de color gris oscuro, mucho más compacta que la de la Capa II. Por sus características parece corresponder a una especie de firme para la colocación de los bloques de piedra careada.

Capa IV: Se trata del área contenida por los alineamientos de piedra que fueron detectados desde la remoción del primer estrato (Capa I). Se decidió excavar este sector por separado ya que existía la posibilidad de que se tratará de un contexto especial, pudiendo contener algún tipo de ofrenda, o bien, un entierro. La capa en cuestión estaba conformada por una matriz de tierra de color gris claro que contenía piedras sascabosas con un tamaño promedio de 25 cm. Desafortunadamente, tan sólo fue posible rescatar algunos fragmentos de cerámica, llegando al nivel de la roca madre sin detectar otro tipo de material arqueológico (figura 4.16).

Estela 1 (N18°47'31", W89°33'13.3")

Se detectó a partir de las labores de recorrido emprendidas en el grupo F15-b (figura 3.23). Tiene unas medidas máximas de 2.08 m de largo, por 0.52 m de ancho y 0.37 m de grosor, encontrándose asociada a un altar circular y a otro de forma rectangular (aunque posiblemente este último bien pudiera corresponder a una segunda estela), ambos sin ningún tipo de grabado, que fueron colocados a un costado del monumento (figura 4.17).



Figura 4.17. La Estela 1 y los dos monumentos lisos asociados a ella.

La estela contiene restos de imágenes y textos en tres de sus caras, presentando en la parte frontal la figura de un personaje en pie, con un sencillo tocado de plumas y braguero, que se encuentra colocado sobre una hendidura situada en la base de la representación, donde también se aprecian algunos diseños circulares y otros más que no pueden distinguirse plenamente por el alto grado de erosión. De igual forma, en los costados se plasmaron grupos de tres cartuchos circulares en posición vertical, todos ellos muy similares entre sí (figura 4.18). Esta característica resulta desconcertante, ya que no es usual el uso de un mismo logograma o silabograma repetido reiteradamente dentro de un texto jeroglífico, lo que abre la posibilidad de que, en realidad, puedan corresponder a “jeroglíficos falsos” o pseudoglifos. Este último término se utiliza para designar a los diseños que trataban de imitar a la escritura maya, pero que carecen de significado alguno, siendo colocados para dar un “aire de importancia” al objeto (Stuart 2001). Aún bajo este escenario, se debe descartar toda posibilidad de que los signos representados en los cantos del monumento carezcan de lectura, lo que podrá develarse una vez concluido su análisis.

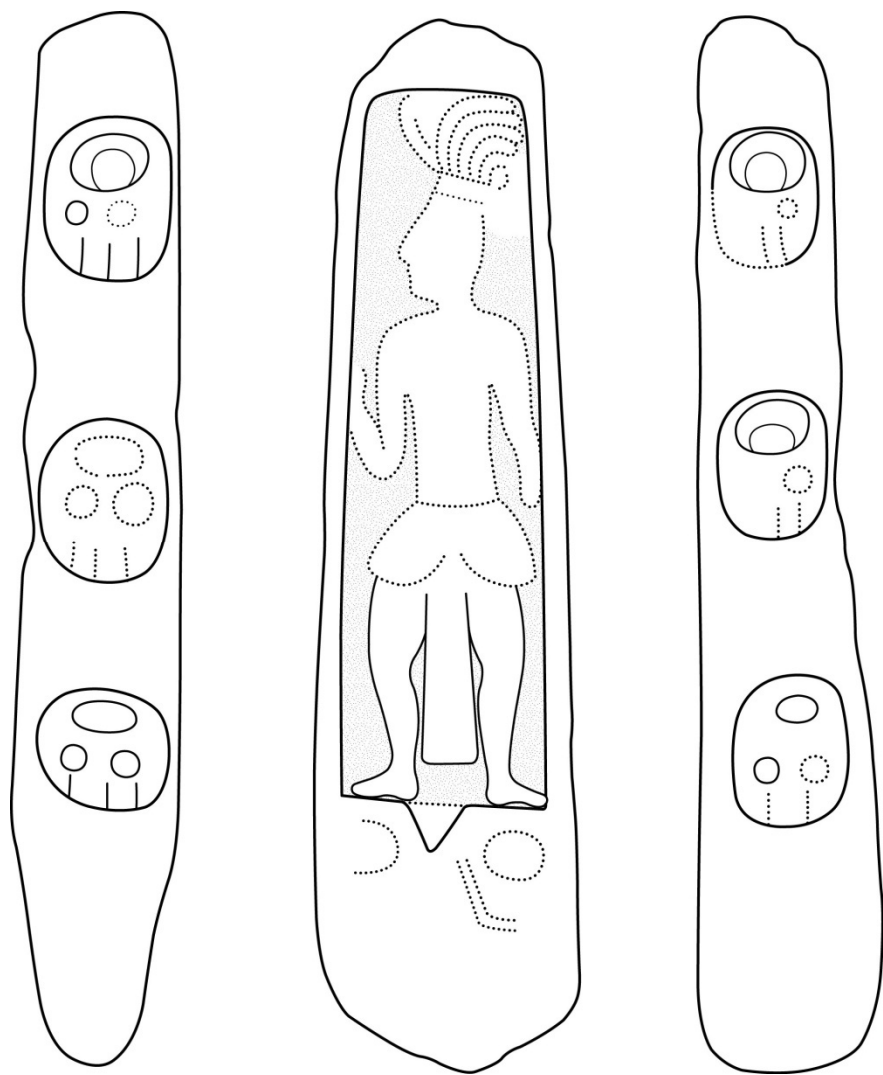


Figura 4.18. Propuesta de dibujo de línea de la Estela 1 (dibujo: Octavio Esparza).



Figura 4.19. Conjunto de siete altares cilíndricos en el grupo F12-f.

Operación Altares (N18°48'46", W89°33'16.8")

Se practicó en la plaza sureste del grupo F12-f, justo en el extremo este de un conjunto de siete altares cilíndricos (figuras 3.14, 3.16 y 4.19). El pozo de sondeo (de unas dimensiones de 1 × 1 m) se trazó con respecto al norte magnético (figura 4.20) y tuvo por cometido la recolección de material cerámico para la elaboración de un marco cronológico relativo de ocupación, así como ayudar a la posible detección de algún depósito especial (ofrenda), asociado con el grupo de altares.



Figura 4.20. Operación Altares, inicio del proceso de excavación (escala: 50 cm).



Figura 4.21. Operación Altares, etapa final del proceso de excavación.

A continuación se enumeran los estratos identificados a partir del trabajo de excavación, así como sus características:

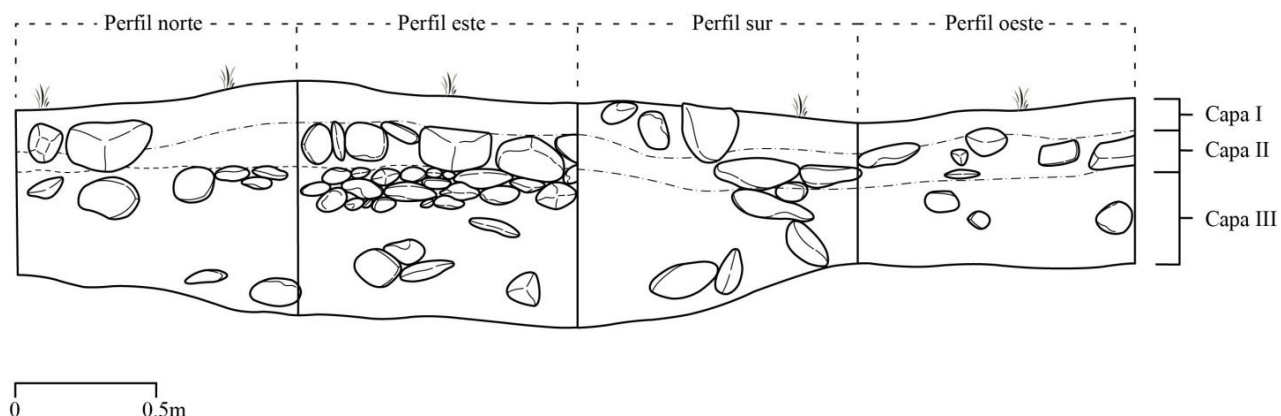
Capa I: Estrato humítico de color café oscuro, con la inclusión de piedras pequeñas y raicillas.

Capa II: Matriz de tierra de coloración café clara que contenía piedras medianas y pequeñas acomodadas a manera de firme, como parte de la preparación de un piso. Justo en este nivel debió ser colocado el conjunto de siete altares, a una profundidad de 14 cm. Durante el proceso de excavación no se detectaron restos de estuco que confirmaran la presencia de un piso de dicho material, aunque la compactación de la tierra parece indicar la construcción de un apisonado.



Figura 4.22. Operación Altares, ubicación del pozo de sondeo y su relación con el conjunto de siete altares.

Figura 4.23. Operación Altares, estratos registrados durante el proceso de excavación.



Capa III: Corresponde a un estrato de color gris claro, con la inclusión de piedras sascabosas pequeñas. Teniendo en cuenta el cambio de coloración con respecto a la capa II, tal vez se trate de un piso de estuco degradado junto con su firme de preparación. A una profundidad de 60 cm se localizó la roca madre, por lo que se concluyó el trabajo de excavación, rellenando el pozo con el material previamente extraído (figuras 4.21 a 4.23).

Pozos de sondeo en el juego de pelota del grupo H24-e (N18°42'26.1", W89°32'22.9")

Durante las labores de prospección implementadas en el grupo H24-e se detectó la presencia de una cancha de juego de pelota, en cuyas cuatro esquinas se detectaron sendos bloques de piedra careados, que resaltaban del resto del material constructivo por sus grandes dimensiones (figuras 3.34, 4.24, 4.25 y 4.26). Debido a la experiencia adquirida previamente en los conjuntos arquitectónicos de Chactún (donde los bloques colocados en las esquinas de las canchas del juego de pelota correspondían a fragmentos de monumentos esculpidos), se decidió liberar la totalidad de los bloques para observar si contenían restos de grabado e implementar la excavación de pozos de sondeo, para definir si existían ofrendas asociadas a dichos fragmentos. De igual forma, el análisis del material cerámico obtenido permitirá establecer una secuencia cronológica relativa de ocupación. Finalmente, es importante señalar que tan solo fue posible excavar dos pozos de sondeo, debido al poco tiempo que restaba para la finalización de la temporada.

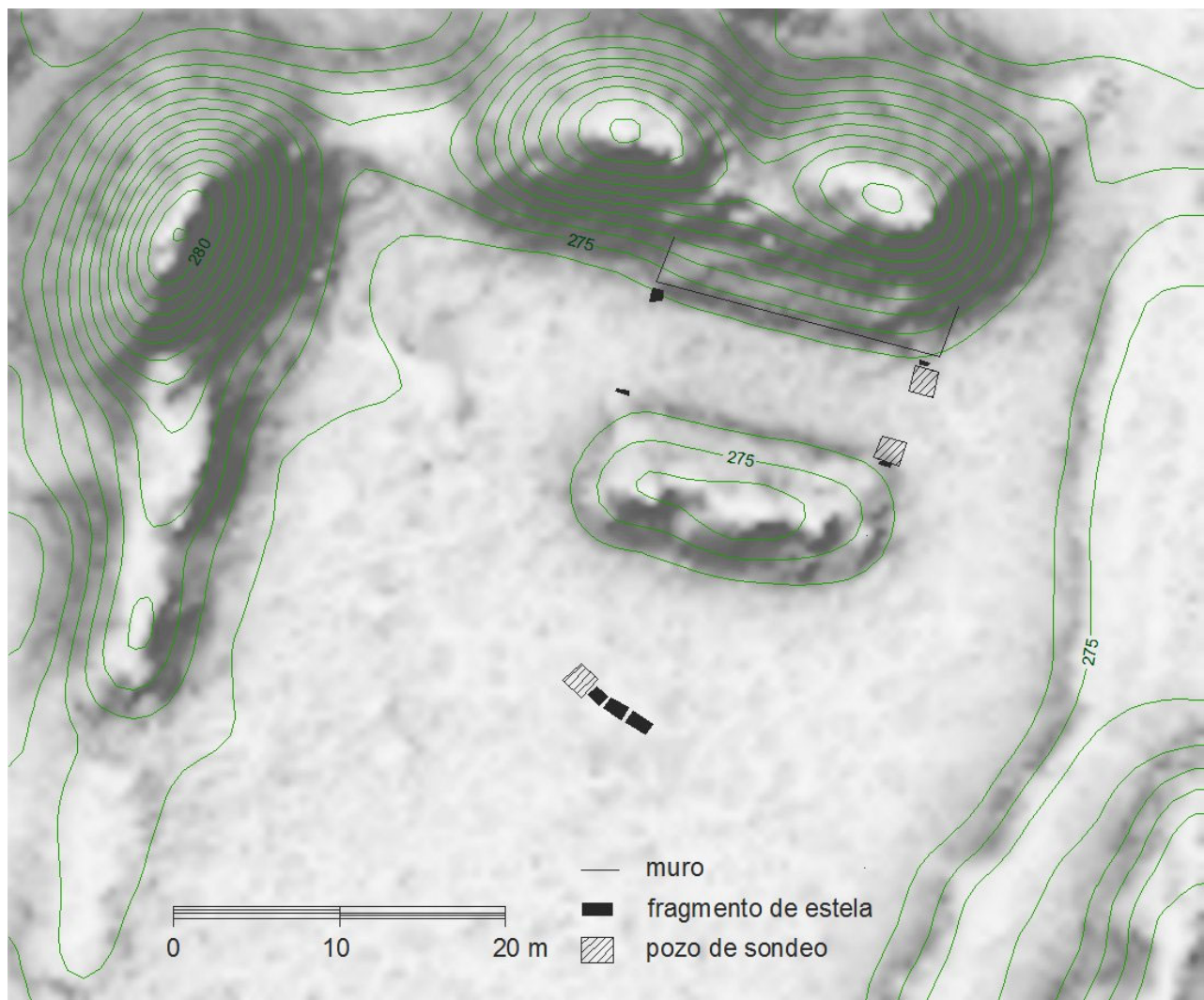


Figura 4.24. Detalle del grupo H24-e (*cf.* figura 3.34), mostrando el juego de pelota y la localización de los fragmentos de estelas y de los pozos de sondeo asociados (levantamiento y dibujo: Aleš Marsetič). Sobre la excavación al sur del juego de pelota, asociada a fragmentos de una estela, v. capítulo 5 (Operación H24-e).

Operación JPSE

Fue realizada en la esquina sureste de la cancha del grupo H24-e, justo frente al bloque de piedra colocado en dicha esquina. Se trazó con unas dimensiones de 1.5 m por lado y fue orientada con respecto al norte magnético (figura 4.27).

A continuación se describen los estratos detectados durante el proceso de excavación:

Capa I: Suelo superficial de color café oscuro (debido a su alto contenido de material orgánico), con la inclusión de piedras pequeñas y raicillas.

Capa II: Corresponde a un piso de estuco de 3 cm de grosor, el cual se encontró bien conservado en toda la superficie del pozo.

Capa III: Se trata del firme de preparación del piso, constituido por piedras medianas, tipo *bak pek*, las cuales fueron acomodadas a manera de losa para la colocación de la mezcla de estuco (figura 4.28).

Capa IV: Es un estrato compuesto por una matriz de tierra de color gris claro, con un alto contenido de piedras pequeñas tipo *bak chiich*, las cuales sirvieron también como parte del firme de preparación para el piso.



Figura 4.25.
Cancha del juego
de pelota localizada
en el grupo H24-e.



Figura 4.26. Grupo
H24-e, bloque de
piedra colocado en
la esquina sureste
de la cancha
(escala: 50 cm).

Capa V: Corresponde a un segundo piso de estuco de 3.5 cm de grosor, el cual se encontró muy degradado, observándose de forma clara en los perfiles este y oeste de la unidad de excavación. A partir de este estrato, y debido a la profundidad del pozo, se decidió reducir las dimensiones del mismo, recorriendo su longitud 50 cm en el extremo norte. Así, la operación quedó con unas dimensiones de 1 m en dirección norte-sur por 1.5 m en sentido este-oeste.

Capa VI: Aquí se detectó el firme de preparación del piso de estuco, el cual estaba conformado por piedras pequeñas tipo *bak chiich*, mostrando una técnica ligeramente diferente a la de la preparación del primer piso detectado durante el proceso de excavación.



Figura 4.27. Trazo de la Operación JPSE, en la esquina sureste de la cancha del juego de pelota.



Figura 4.28. Operación JPSE, firme de preparación del primer piso de estuco detectado durante el proceso de excavación.

Capa VII: Piso de estuco de 5 cm de espesor. Al igual que la capa V, se encontró muy degradado, siendo posible su detección a partir del registro del perfil este del pozo.

Capa VIII: Matriz de tierra de color gris claro, con la inclusión de piedras grandes y medianas. Este estrato se encontró muy compactado, lo que dificultó la extracción del material, siendo muy probable que esta característica se deba a su función como firme del piso de estuco colocado justo por encima (capa VII). Durante la excavación de esta capa, se halló un alineamiento de piedras careadas en el perfil sur del pozo, cuya ligera curvatura denotaba la presencia de una estructura circular, muy probablemente una plataforma, con un diámetro aproximado de 2.8 m (figura 4.29). El conjunto de piedras que conforman el alineamiento fue colocado directamente sobre un estrato conformado por nódulos de pedernal (capa IX), aunque por la evidencia de la Operación JPNE (*vid infra*), es muy probable que desplantara sobre un piso de estuco del cual no se conservó resto alguno asociado al alineamiento. Resulta importante mencionar que, por debajo del primer alineamiento, se encontró una segunda hilada de piedras que seguía el mismo patrón y sobresalía hacia el exterior (figura 4.30).



Figura 4.29. Operación JPSE, alineamiento de piedras localizado en la capa VIII.



Figura 4.30. Operación JPSE, detalle de las dos hiladas de piedra que conforman la plataforma circular.

Capa IX: Corresponde a una matriz de tierra de color gris oscuro que contenía una gran cantidad de nódulos de pedernal. Este depósito debe corresponder a uno de los primeros rellenos culturales, depositado para la nivelación del terreno. Como se comentó con anterioridad, es posible que este estrato sirviera como base para la colocación de un cuarto piso de estuco, aunque en la Operación JPNE no se encontró evidencia de dicho piso.

Capa X: Estrato de tierra de color café claro con la inclusión de piedras sascabosas, que le daban a la matriz una coloración casi blanca. Debido a lo compacto de esta capa y a que se trataba de un estrato estéril (sin presencia de material arqueológico), se decidió concluir el trabajo de excavación a una profundidad de 1.63 m (figura 4.31).

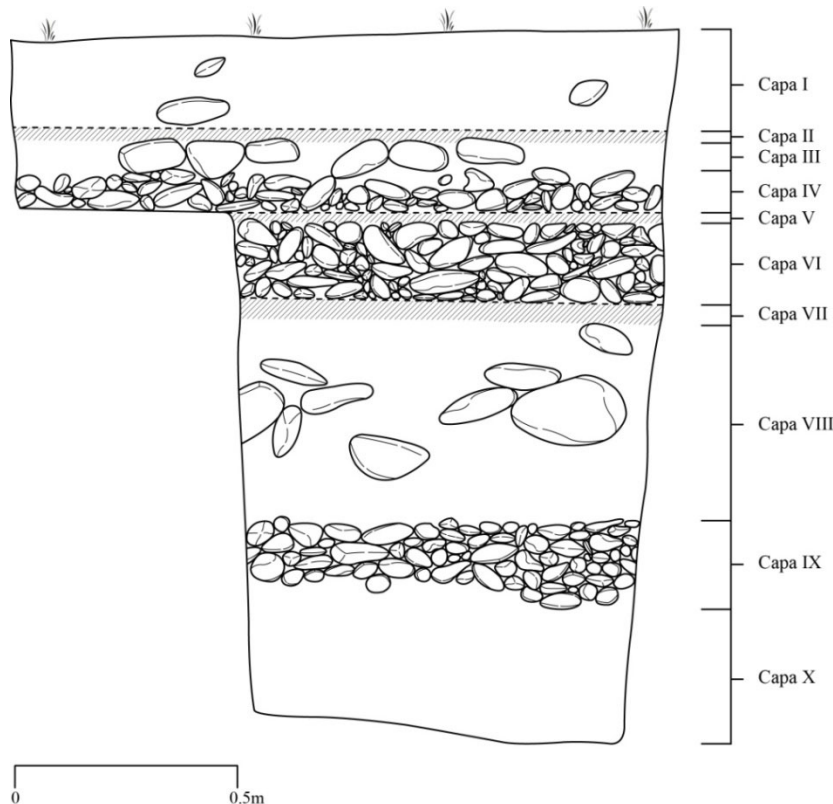


Figura 4.31. Operación JPSE, perfil este, registro de las capas detectadas durante el proceso de excavación.

Operación JPNE

Se trazó en el extremo noreste de la cancha del juego de pelota del grupo H24-e (figuras 4.32 a 4.35), con unas dimensiones de 1.5 por 1.5 m. Durante el proceso de excavación se pudo constatar que la secuencia de estratos era muy similar a la observada previamente en la Operación JPSE, debido a la proximidad entre ambos pozos de sondeo (figura 4.35). A continuación se enumeran las capas que fueron registradas durante el trabajo de excavación:

Capa I: Corresponde al suelo superficial o *top soil*, de coloración café oscura, con la inclusión de piedras pequeñas y raicillas.

Capa II: Piso de estuco de 3 cm de grosor, el cual se detectó de forma más clara en el perfil norte del pozo.

Capa III: Matriz de tierra de color gris claro que contenía piedras pequeñas y medianas. Estas últimas se pudieron observar con más claridad en la mitad oriental del pozo y, al igual que en la Operación JPSE, sirvieron como un firme de preparación para el piso de estuco.

Capa IV: Estrato de piedras pequeñas contenidas en una matriz de tierra de coloración gris clara. Al igual que la capa III, corresponde al firme de preparación del piso de estuco.

Capa V: Corresponde a un segundo piso de estuco de 3 cm de espesor, el cual fue colocado sobre un firme de piedras pequeñas y medianas.

Capa VI: Se encontraba conformada por una matriz de tierra de color café claro, con la inclusión de piedras medianas y pequeñas sobre las cuales fue colocado el piso de estuco (capa V).



Figura 4.32. Bloque de piedra localizado en el extremo noreste de la cancha del juego de pelota.



Figura 4.33. Fin del proceso de remoción de material en la Operación JPNE.

Capa VII: Corresponde a un tercer piso de estuco de 4 cm de grosor, el cual se encontró bien conservado en el extremo norte del pozo de sondeo. A partir de este estrato se redujo la superficie de excavación, recortando 50 cm de longitud en el extremo sur del pozo, por lo que el área de trabajo quedó con unas medidas de 1.5 m en dirección este-oeste por 1 m en dirección norte-sur.

Capa VIII: Firme del piso de estuco, constituido por un estrato de tierra de coloración gris clara con la inclusión de piedras grandes y medianas.

Capa IX: Piso de estuco de 4.5 cm de espesor. Como se comentó en la descripción de la Operación JPSE (*vid supra*), este estrato no pudo ser detectado en el pozo de sondeo practicado en la esquina sureste de la cancha del juego de pelota, aunque este hecho puede explicarse a partir de un proceso de degradación extrema del piso en dicho sector.

A partir de esta capa se decidió reducir la superficie del pozo, recortando 50 cm de longitud en el extremo oriental. Así, la unidad de excavación quedó con unas medidas de 1 m en sentido norte-sur por 1 m en dirección este-oeste.

Capa X: Estrato conformado por una gran cantidad de nódulos de pedernal contenidos en una matriz de tierra de color gris oscuro, el cual sirvió como firme de preparación para el piso de estuco (capa IX).

Capa XI: Corresponde al mismo estrato localizado en la Operación JPSE (capa X), el cual se encontraba constituido por piedras sascabosas contenidas en una matriz de color gris claro.

Capa XII: En esta capa se detectó un cambio muy marcado en la consistencia de la matriz de tierra, ya que se volvió mucho más compacta y sin la presencia de piedras. La dificultad para la extracción de la tierra, así como la ausencia de material cerámico, fueron factores determinantes para concluir el trabajo de excavación a una profundidad de 1.8 m (figuras 4.33 y 4.34).

Como actividad final, se liberaron tres de los bloques detectados en las esquinas de la cancha del juego de pelota, con excepción del fragmento colocado en el extremo noreste, el cual se decidió no manipular debido a su avanzado estado de deterioro. Este trabajo tuvo como finalidad el registro íntegro de los elementos, permitiendo establecer si se trataban de bloques lisos o con restos de grabado. Desafortunadamente, ninguna de las piedras presentaba evidencia de imágenes o textos, por lo que resulta complicado establecer con certeza si corresponden a un conjunto de monumentos reubicados o, si bien, fueron bloques elaborados ex profeso para servir como marcadores de la cancha. En este sentido, es importante señalar que las tres piedras liberadas presentaban un corte irregular en el extremo inferior, probable indicador de la fractura intencional de monolitos lisos que fueron extraídos de sus emplazamientos primigenios, para ser reubicados posteriormente en el juego de pelota (figuras 4.36 a 4.39).

Una vez concluido el trabajo de liberación, se pudo observar que los bloques tenían dimensiones similares. Así, el bloque de la esquina sureste exhibía unas medidas de 0.84 m de largo, 0.83 m de ancho y 0.38 m de grosor; el del extremo suroeste media 0.76 m de largo, 0.83 m de ancho y 0.40 m de grosor; y el de

la esquina noroeste presentaba unas dimensiones de 0.89 m de largo, 0.73 m de ancho y 0.30 m de grosor. Contrastando las medidas, salta a la vista la relación que guardan los bloques de los extremos sureste y suroeste, cuyo ancho y grosor resultan casi idénticos, siendo factible que ambos correspondan a fragmentos de una misma estela lisa.

Durante la liberación del bloque en la esquina suroeste se halló una laja de piedra de forma cuadrangular que yacía frente a él. Debido a su forma, se decidió retirarla para establecer si fue utilizada como una especie de tapa para cubrir algún tipo de depósito (figuras 4.37 y 4.38). Una vez extraída, se constató que no existía ningún elemento arqueológico asociado a ella, por lo que su presencia pudo deberse al derrumbe de la estructura.

Figura 4.34. Operación JPNE, perfil norte.

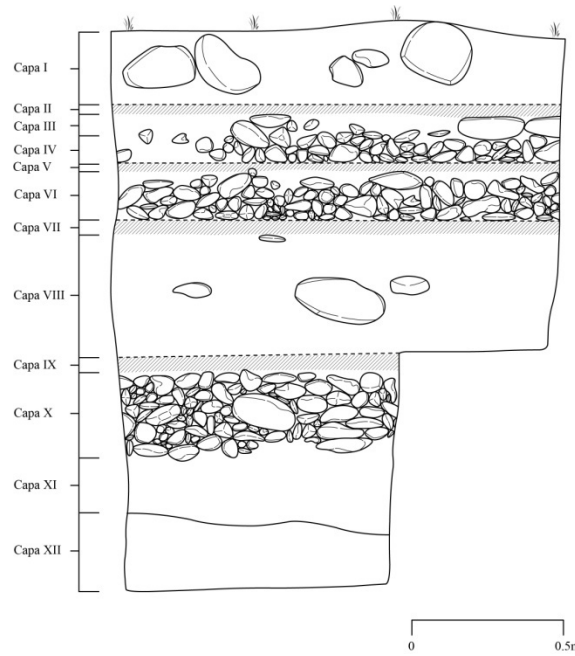


Figura 4.35. Relación en la secuencia estratigráfica de las Operaciones JPNE y JPSE (*cf.* figuras 4.31 y 4.34).

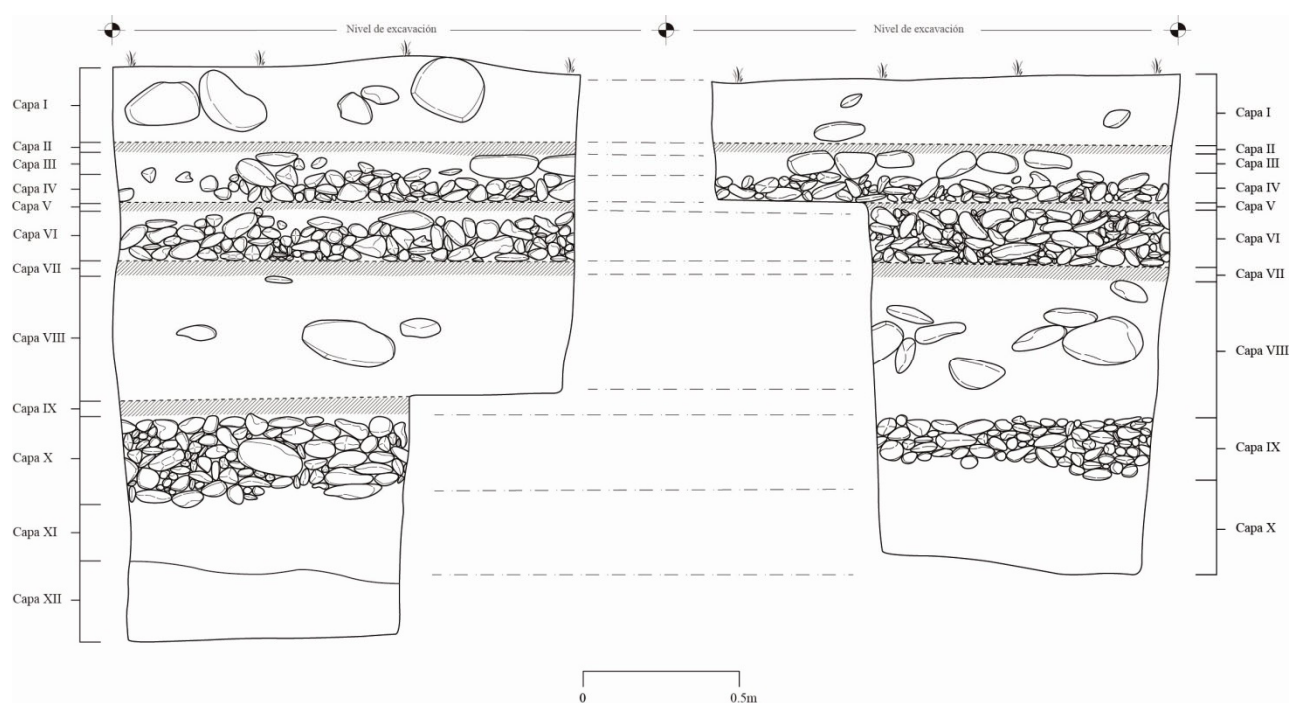




Figura 4.36. Grupo H24-e, bloque de piedra localizado en el extremo sureste de la cancha del juego de pelota.



Figura 4.37. Grupo H24-e, bloque de la esquina suroeste de la cancha, asociado a una laja cuadrangular.



Figura 4.38. Grupo H24-e, bloque del extremo suroeste de la cancha, una vez retirada la laja.



Figura 4.39. Grupo H24-e, bloque de la esquina noroeste del juego de pelota.

Cabe señalar que la presencia de bloques lisos en las esquinas del juego de pelota ha sido documentada en otros asentamientos del área maya. Así, se tienen ejemplos registrados en Becán (donde Karl Ruppert reportó el hallazgo de tres grandes piedras colocadas como esquineros [Ruppert y Denison, 1943]), y Cobá, sitio en que fueron encontrados bloques de características similares en los juegos de pelota de los grupos Cobá y Pinturas (Thompson *et al.* 1932; Esparza Olguín 2016). En ambos casos resulta factible que estemos ante la presencia de fragmentos de monumentos lisos, reutilizados como marcadores de la cancha, que fueron colocados con una finalidad más allá del plano arquitectónico, ya que los monolitos revestían una gran importancia para la sociedad maya del periodo prehispánico. En este aspecto, resulta necesario un estudio más profundo de los contextos donde se han documentado casos similares, con el afán de develar las motivaciones que propiciaron este tipo de fenómeno.

5. Excavaciones de sondeo

Luis Antonio Torres Díaz

Como parte de los trabajos de campo se excavaron algunos pozos de sondeo en lugares seleccionados, con el objetivo de obtener materiales fechables en contextos estratigráficos.

Operación K24-b (N18°42'37", W89°30'33.4")

La excavación se realizó en una de las terrazas de cultivo ubicadas inmediatamente al norte del grupo arquitectónico K24-b (figura 2.19). Abarcando una extensión de 3 m de largo por 1 m de ancho, el pozo de sondeo atravesó la terraza, que corre aproximadamente en dirección norte-sur. Su objetivo fue comprender e identificar el sistema constructivo de las terrazas y hallar material lítico o cerámico asociado a dicho elemento con el fin de conocer la temporalidad del mismo. Al finalizar el pozo se reconocieron cinco capas, cuatro de ellas culturales. A continuación se describen los rasgos más distintivos de cada una de ellas.

Capa I. Estrato húmico; presentó piedra pequeña y grande sin patrón definido (figura 5.1).

Capa II. Relleno 1: piedra pequeña y mediana mezclada sin patrón definido, a manera de relleno. En esta capa se hallaron fragmentos de pedernal y se observaron contenciones de los lados este y oeste y en el centro. Aparentemente la técnica constructiva de las terrazas era colocar piedra grande como contención y en medio se llenaba con piedra pequeña y pedernal (figura 5.2).



Figura 5.1. Operación K24-b, capa I.



Figura 5.2. Operación K24-b, capa II, contenciones.

Capas III y IV. Firme Oeste y Este: posterior a la capa de relleno se halló, en ambos lados de las contenciones, un firme a manera de nivelación. Es una capa café claro sumamente frágil. Al momento de fragmentarse se observaba de color blanco como *sascab* (figura 5.3).

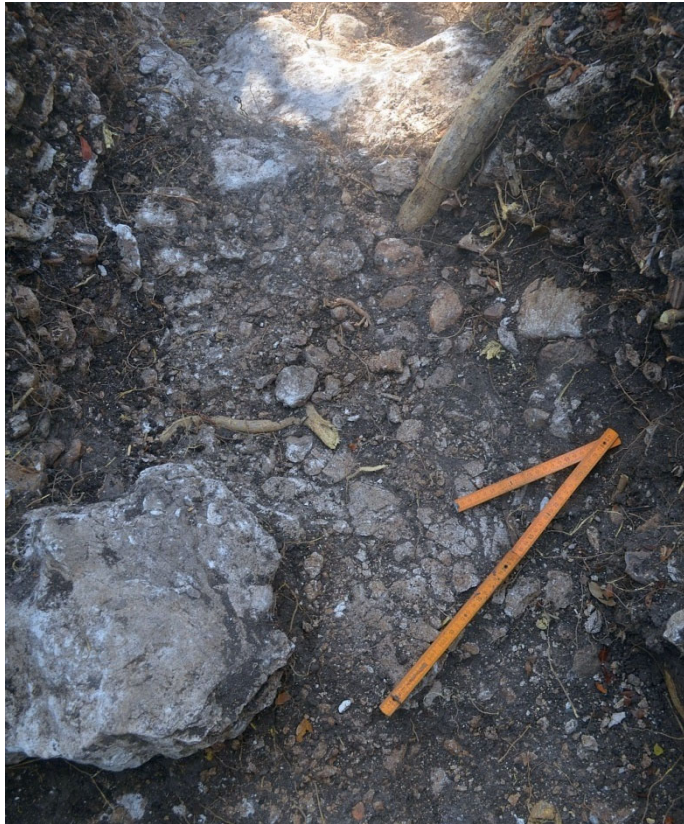


Figura 5.3. Operación K24-b, capa III, detalle del firme.



Figura 5.4. Operación K24-b, roca madre.

Capa V. Roca madre. La capa estaba a aprox. 50 cm de la superficie. Arriba de ésta se identificó suelo café claro con *sascab* utilizado para nivelar la roca madre (figura 5.4).

Conclusiones. Posiblemente el sistema constructivo de las terrazas está constituido por contenciones laterales y una central rellenada con gravilla y roca media. La roca madre parece haber sido nivelada con el objetivo de dar forma a las terrazas y así contener de una forma más eficiente el suelo.

Operación G14-g (N18°47'57.6", W89°32'41.6")

El pozo se excavó en una calera con diámetro de 2.4 m, ubicada inmediatamente al noreste del grupo de patio G14-g. En la calera aún se pueden observar el muro circular del lado oeste, en el cual existen piedras de color negro que posiblemente estuvieron expuestas a altas temperaturas (figura 5.5). En el muro aún preservado no se halla evidencia de mortero.

Es importante señalar que se colocó un banco de nivel con una altura de 32 cm sobre la superficie de la capa húmica dentro de la calera. Los niveles de la superficie previo a iniciar la excavación son: esquina NE: 34 cm, esquina SE: 20 cm, esquina SW: 30 cm, esquina NW: 8 cm.

Capa I. Estrato húmico. En esta capa se halló la mayor parte de los muros derrumbados de la calera (figura 5.5). Los niveles de esta capa son: esquina NE: 26 cm, esquina SE: 32 cm, esquina SW: 44 cm, esquina NW: 24 cm.

Capa II. Suelo de color café claro con gravillas. También presentó pedazos de grandes bloques agrietados por exposición a altas temperaturas, piedras provenientes del derrumbe de los muros (figura 5.6). Los niveles son: esquina NE: 54 cm, esquina SE: 63 cm, esquina SW: 69 cm, esquina NW: 59 cm. Es importante mencionar que, al momento de liberar esta capa, en el segmento del muro aún preservado se logró ver con mayor detalle las piedras que posiblemente, por su tonalidad y textura, estuvieron expuestas a altas temperaturas (figura 5.7).



Figura 5.5. Operación G14-g, capa I y el muro conservado de la calera.



Figura 5.6. Operación G14-g, capa II.



Figura 5.7. Operación G14-g, piedras quemadas en el muro.

Capa III. Relleno de tierra grisácea y piedras grandes y medianas. Posiblemente ésta es la nivelación sobre la que ponían la madera para preparar la cal. Se encontró piedra con grietas en bloques, pero no presentaron el color negro como en las capas anteriores. La piedra del muro estaba cuarteada, posiblemente a

causa de la humedad de la tierra y la erosión (figura 5.8). Los niveles de esta capa son: esquina NE: 88 cm, esquina SE: 81 cm, esquina SW: 87 cm, esquina NW: 89 cm.

Capa IV. Roca madre. Posterior a la capa III se llegó al *sascab* provocado por la erosión de la roca madre (figura 5.9). La roca madre fue hallada en la esquina NE a 140 cm, en la esquina SE a 144 cm, en la esquina SW a 138 cm y en la esquina NW a 140 cm.



Figura 5.8. Operación G14-g, capa III, detalle del muro y relleno.



Figura 5.9. Operación G14-g, capa IV, vista en planta.

Operación I21-c (N18°44'02.6", W89°31'44.9")

La operación se realizó en uno de los canales que se encuentran en un bajo y que, junto con las albardadas en las laderas hacia el sur, asignamos al grupo I21-c. Se excavó una cala de 3×1 m, transversal al canal que corre aproximadamente en dirección este-oeste.

Capa I. Suelo limoso con tierra negra en las orillas que contenía materia orgánica. Debido al tipo de suelo se decidió excavar solamente del centro de la cala hacia la contención norte, dejando así las dimensiones finales de 2.30×1 m (figura 5.10). Del lado norte se excavaron 40 cm de profundidad donde se consideró la contención del canal. La tierra era muy compacta y no se hallaron materiales culturales.

Capa II. Como perteneciente a esta capa se consideró la piedra (principalmente pedernal) localizada en el centro del canal (figuras 5.10 y 5.11). Al bajar el nivel, la cantidad de piedra aumentaba y se halló un fragmento de cerámica y una lasca de pedernal.

Capa III. Suelo limoso de color gris (figura 5.11). No se hallaron materiales culturales.

Capa IV. Capa de barro con *sascab*, suelo muy compacto de color blanco, solamente se detectó en el perfil norte a 33 cm de la superficie.

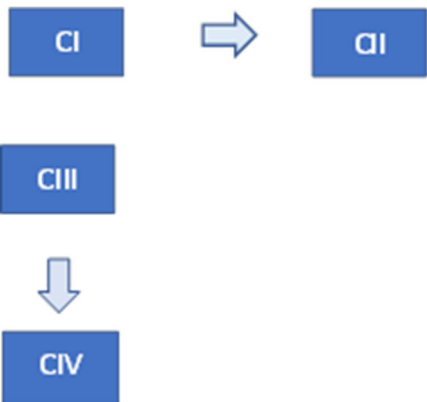
Matriz:

Figura 5.10. Operación I21-c, capas I y II, con las piedras que conforman el canal, vista hacia el norte.



Figura 5.11. Operación I21-c, perfil este con las capas I, II (piedras que conforman el canal) y III (suelo limoso de color gris).



Conclusiones. En esta operación se identificaron muy pocos materiales culturales, sin embargo, nos permitió reconocer que el canal fue diseñado con capas de pedernal, posiblemente colocadas con el fin de hacerlo impermeable. Las contenciones fueron hechas con tierra compactada.

Operación H24-e (N18°42'25.5", W89°32'23.6")

Al pie de la estela en la plaza del grupo H24-e, al sur del juego de pelota, se realizó un pozo de sondeo cuyos lados, de 1.50×1.50 m, están orientados a 40° del norte magnético (figura 4.24). El objetivo de esta operación fue encontrar la base de la estela e identificar los materiales asociados al monumento. Cabe señalar que la estela se encuentra tirada y debajo de ella aparentemente existe una pequeña plataforma. Se colocó un banco de nivel en la plaza de 35.5 cm sobre la superficie.

Capa I. Corresponde a la capa húmica de color café oscuro (figura 5.12) con los siguientes niveles en cada una de las esquinas del pozo y el centro: SE: 15 cm, SW: 40.5 cm, NW: 39 cm, NE: 16 cm, centro: 27 cm.



Figura 5.12. Operación H24-e, ubicación del pozo y capa I.



Figura 5.13. Operación H24-e, capa II, con las piedras posiblemente provenientes de los edificios aledaños.

Capa II. Presencia de piedras careadas, probablemente de la plataforma de la que desplantaba la estela, aunque en la parte norte del pozo también se hallaron piedras careadas de forma trapezoidal que, por su ubicación, posiblemente pertenecen a los edificios aledaños (figura 5.13). Pequeños cilindros con un máximo de 30 cm de largo. Niveles: SE: 23 cm, SW: 43 cm, NW: 41 cm, NE: 18 cm, centro: 35.5 cm.

Capa III. Suelo arenoso color café con piedras pequeñas. Se encontró un alineamiento de piedra en la parte este del pozo, justo del lado donde se ubica la estela (figura 5.14). Niveles: SE: 38.5 cm, SW: 43 cm, NW: 51 cm, NE: 37.7 cm, centro: 42 cm.

Capa IV. Piso de estuco y un alineamiento de piedras al este del pozo (figura 5.15). Debajo del piso se encontró un relleno de tierra gris con consistencia arenosa, combinada con piedras pequeñas. El alineamiento señalado en la capa anterior es más evidente.



Figura 5.14. Operación H24-e, capa III, piedras aparentemente de derrumbe y un alineamiento en el perfil este.



Figura 5.15. Operación H24-e, capa IV, detalle del alineamiento de piedras en el perfil este.



Figura 5.16. Operación H24-e, capa V, piso y alineamiento de piedras en el perfil este.



Figura 5.17. Operación H24-e, capa VI, piso.

Capa V. Piso de estuco bien conservado, con presencia de cerámica (figura 5.16). Niveles: SE: 67.5 cm, SW: 67 cm, NW: 69.5 cm, NE: 69 cm, centro: 69 cm. Existía un pequeño relleno entre ambos pisos de tierra color gris arenosa con piedras pequeñas, pero no se consideró como otra capa debido a que podría ser parte del apisonamiento del piso anterior (Capa IV). Después de registrar el muro de la plataforma oeste se

retiraron dichas piedras para llegar al nivel del piso y detectar el relleno de la plataforma. La capa IIIA corresponde al relleno antes mencionado. El muro tenía una orientación de 40°.

Capa VI es un piso menos fino que los anteriores y está combinado con un poco de piedra (figura 5.17). Niveles: SE: 82.5 cm, SW: 82 cm, NW: 80 cm, NE: 79.5 cm, centro: 79 cm. Para esta capa decidimos liberar el alineamiento de piedras que delimita la pequeña plataforma de la estela. Al retirarlo no se encontraron materiales culturales entre este alineamiento y la estela. Asimismo, debido a la ubicación de la misma y la orientación del alineamiento, se percibió que ese no era el lado donde desplantaba la estela. Por lo anterior los objetivos cambiaron y la excavación continuó con el fin de identificar el sistema constructivo de la plaza y hallar material cultural que permitiera saber su temporalidad. Adicionalmente, esta situación abre más incógnitas debido a que la estela pudo haber sido movida de su emplazamiento original.



Figura 5.18. Operación H24-e, capa VII.



Figura 5.19. Operación H24-e, capa VIII, con el alineamiento de piedras en la esquina noroeste del pozo.



Figura 5.20. Operación H24-e, capa IX.



Figura 5.21. Operación H24-e, capa X.

Capa VII. Suelo arenoso color grisáceo con piedras medianas sin un patrón definido (figura 5.18). Niveles: SE: 94 cm, SW: 95 cm, NW: 99 cm, NE: 95 cm, centro: 99 cm.

Capa VIII. Piedras medianas y tierra color gris de un posible relleno. Así mismo surge un posible alineamiento de piedras medianas hacia la esquina noroeste del pozo (figura 5.19). Niveles: SE: 98 cm, SW: 99 cm, NW: 1.02 m, NE: 1.03 m, centro: 1.03 m.

Capa IX. El alineamiento de piedras se retiró ya que sólo era un nivel y no presentaba ningún elemento que indicara una posible plataforma o cista. Asimismo se decidió cortar el pozo al oeste con el fin de determinar posibles pisos y saber la profundidad de la roca madre. Por lo tanto, a partir de esta capa el pozo quedó de 1 por 2 m. La tierra es de color café claro y presenta nódulos medianos de pedernal a manera de relleno (figura 5.20). No se encontraron materiales culturales. Niveles: SE: 1.37 m, SW: 1.34 m, NW: 1.41 m, NE: 1.42 m, centro: 1.42 m.

Capa X: Se retiraron capas de piedra posiblemente natural. Se encontró “tierra” blanca y posiblemente provocada por la erosión de la roca madre (figura 5.21). Al igual que en la capa IX, no se hallaron materiales culturales. Esta última se encontró a 1.60 m. Niveles: SW: 1.63 m, SE: 1.48 m, NW: 1.64 m, NE: 1.85, centro: 1.95 m.

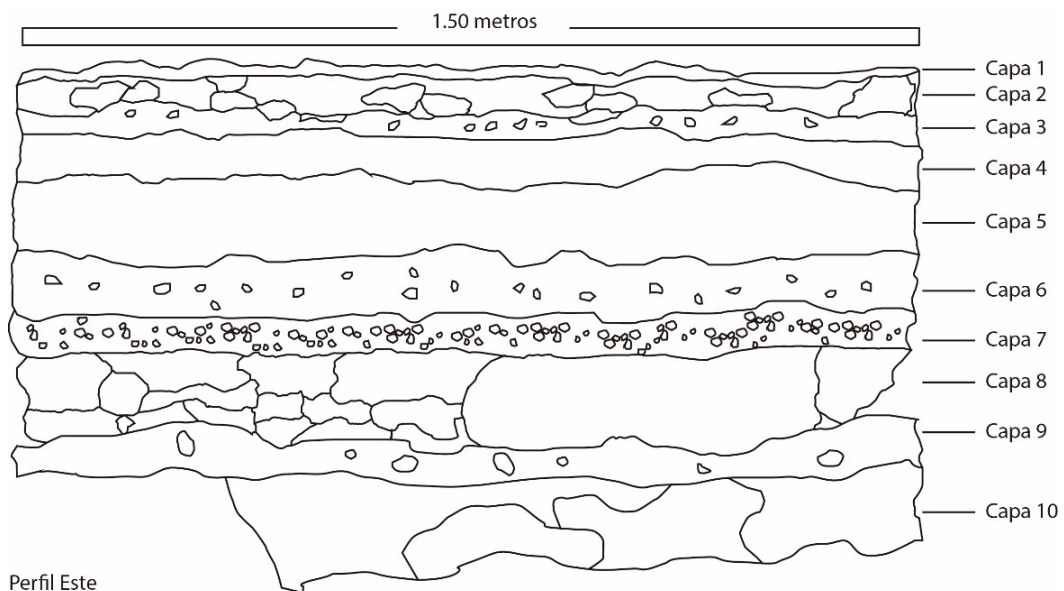


Figura 5.22.
Operación
H24-e, perfil
este. Perfil Este

Conclusiones. La plaza presenta diversos pisos y nivelaciones (figura 5.22), lo cual posiblemente de información sobre la secuencia cronológica del asentamiento. Sería de utilidad realizar un pozo que permita conocer la ubicación y orientación original de la estela con el fin de conocer si existió alguna ofrenda dedicada a este monumento.

6. Ceramics and Lithics

Joseph W. Ball

Illustrations: Jennifer T. Taschek

The 2017 field season of the archaeological reconnaissance program in southeastern Campeche collected a substantially larger amount of ceramic sherds than had its predecessors. The 2013 and 2014 field seasons of the project together had produced 1,331 (32.2 kg) sherds from the sites of Lagunita (541 sherds; 14.54 kg), Tamchén (118 sherds; 3.1 kg), and Chactún (672 sherds; 14.55 kg), complemented by a collection of 55 (2.16 kg) lithic artifacts from Lagunita (29; 1.5 kg) and Tamchén (26; 0.63 kg), and a stela-associated special deposit of 292 (1.12 kg) chert flakes from Chactún. In contrast, the 2017 reconnaissance, survey, and LiDAR ground-truthing effort yielded a total of 6,258 (77.48 kg) sherds and 377 (9.29 kg) lithic artifacts. Of these, 1,765 sherds (26.13 kg) and 83 lithics (2.86 kg) were collected as Waypoint (WPT) surface samples with 4,493 sherds (51.35 kg) and 294 lithics (6.43 kg) deriving from additional purposive surface and subsurface (test pitting) collection.

The collections are curated by and at the Instituto Nacional de Antropología e Historia (INAH) in Mexico City. They were most graciously made available to me for temporary study at the Historical Archaeology and Maya Research (HAMR) Laboratory of San Diego State University, San Diego, California as a professional courtesy through the generous offices of Dr. Pedro Francisco Sánchez Nava, Coordinador Nacional de Arqueología, INAH. I cannot adequately express my gratitude and appreciation both to Dr. Sánchez Nava and INAH and to Ivan Šprajc for their most generous trust in facilitating the export of these materials for study. I sincerely hope that the resulting product adequately justifies their trust and collegial generosity.

As is to be expected in the case of collections of this kind from sites situated in the humid tropics, destructive postdepositional taphonomic processes resulted in rather poor preservation of the ceramics encountered, especially with respect to diagnostic additive surface features (painting; slipping; appliqué; etc.). Nonetheless, many formal attributes including vessel forms; gross paste morphologies; tempering characters; and even some more adherent slips were sufficiently well preserved to enable the typological classification of much of the collection and characterization as to represented chronologies and some intersite relationships. Even so, it should be remembered that certain vessel forms and the assemblages/temporal spans reflected by them are far more likely than others to survive as large, recognizable sherds—heavy Late and Terminal Classic basin rims and jar bodies, for example—and so be over represented in surface collections. In the end, most typological identifications recorded in this report are in fact based on modal diagnostics rather than the usual typological attributes. Thus, all assessments must be regarded as preliminary with respect to interpretive significance, and any interpretive inferences drawn must be regarded as tentative and subject to potentially major changes once larger bodies of better preserved and contextually associated excavated ceramics become available.

The new samples expanded and helped flesh out the occupational chronology and patterns of interaction and relationships of the area under study, and the results of their detailed analysis are presented here. As for previous years, the ceramics are presented using the generally accepted type-variety method of ceramic analysis (Aimers 2013; Gifford 1963, 1976; Smith et al. 1960; Willey et al. 1967). Although the 2017 collection was substantially larger than those resulting from the 2014 and 2016 field seasons, local depositional and microenvironmental circumstances worked to render a significantly larger percentage of the materials collected unidentifiable due to their extremely severe erosion, and so the actual net informational gain from this analysis is somewhat less impressive and enlightening than was so in the previous instances. Nonetheless, the collections do help solidify the emerging picture of a ceramic zone south of the Chenes area and north of Becán and the true Rio Bec archaeological region that while closely related to the latter,

nonetheless stands apart quite clearly in possessing its own, distinctive, local tradition of ceramic production and distribution, reflected most strongly and cogently in the distinctive forms and rim modes characterizing its slipped and unslipped domestic utility wares—brownware basins and jars of the Traino group, and unslipped-striated vats of the Late into Terminal Classic *Brida Variety* of the ubiquitous Encanto group. These are all heavily enough represented in the archaeological record to ensure that what we are seeing in the present are reflections of genuine sociocultural differences and so boundaries, not the vagaries of preservation and sampling in a forested humid tropical environment.

Methodology

The original plan for analysis of the 2017 field collection was to employ the standard, accepted typological approach for the identification and classification of ceramics in the Maya area, the type-variety method. However, the extremely severe erosion and unusually poor preservation of this season's ceramics, especially those from the WPT (waypoint) surface collections, almost immediately rendered this approach unfeasible. Instead, the author determined that the only practicable way in which to tease any usable information from the collections was to employ a variable modal analysis relying as possible on a variety of modal features and requiring a long and arduous sherd by sherd examination in order to identify chronologically, typologically, or otherwise sensitive attributes. These included but were not limited to diagnostic rim and support forms; decorative elements as occasionally preserved; paste and temper characteristics (especially diagnostic in distinguishing most Preclassic from later ceramics); and surface treatments such as the relative fineness/coarseness and patterning in the surface striations or brushing of unslipped jars, an attribute that in greater southeastern Campeche at least can be reliably indicative of general temporal period. This proved to be a workable solution to the problem of severe erosion, and so, a majority of the recorded identifications are based on modal rather than typological assessments. All sherds and lithics were individually examined, counted, and weighed either individually or in homologous batches using an Ohaus 6002 Pro Scout Professional digital balance. Weights were recorded at one one-hundredths of a gram rounded up to the nearest tenth of a gram. Chronological and typological values for identifiable modes are based on previous typological studies in the region with solid stratigraphic and associational foundations (Ball 1977; 2014; 2015; *in press*).

Findings

Of the 428 LiDAR ground-truthing WPT survey stations, 116 (27%) yielded ceramic or ceramic and lithic surface collections (Table 6.7), these generally recovered from $2 \times 2\text{m}^2$ sampling quads. Of the 116 WPT samples recovered, 22 (19%) were so severely eroded that neither any typological nor modal features were preserved to a degree that allowed classifying them in even the most broad chronological terms, and these samples were classified as "indeterminate." Somewhat surprisingly, local Late Classic II (Makan ceramic phase) occurrences (44/38%) outnumbered combined Terminal Classic ones (39/34%) of both local (late Makan) and intrusive (Xcocom) kinds. Because identifications of the latter were based on generic modal characteristics in most cases, the two could not be distinguished, but, local materials impressionistically appeared to exceed exotic ones. Total Late Classic occurrences (59/51%) outnumbered Terminal Classic occurrences (34%) even more dramatically. These findings are consistent with those of the 2013-2014 field seasons for which both total Late Classic and Late Classic II (Makan) sherd counts and weights significantly outnumbered those of the Terminal Classic (see Ball *in press*: Fig. 3.7). The implications are that there was not a significant Terminal Classic (post A.D. 810) presence in the region, but rather a progressively diminishing one, one probably largely gone by late ninth century.

Both Early Classic and Late-Terminal Preclassic materials were very lightly represented, but 8 (7%) WPT surface sampling units very surprisingly yielded sherds of Middle Preclassic age. This suggests a significant Middle Preclassic occupation of the survey zone.

The WPT samples

These point-samples collected from GPS survey stations across the entire study zone do serve to provide something of a latest occupation-biased “snapshot” of the regional ceramic landscape, but a snapshot circumstantially blurred by depositional perturbations and extremely poor preservation. What the point-collections do indicate at the very least is a large and widespread population in the survey zone in the middle and late eighth century A.D., an occupation that superficially appears to have been heavier and more widespread in the full Late Classic (ca. A.D. 690/710-800/810) than in the subsequent Terminal Classic period (Figures 6.1 and 6.2). These findings are commensurate with those of the 2013 field season at Chactún (Figure 6.3).

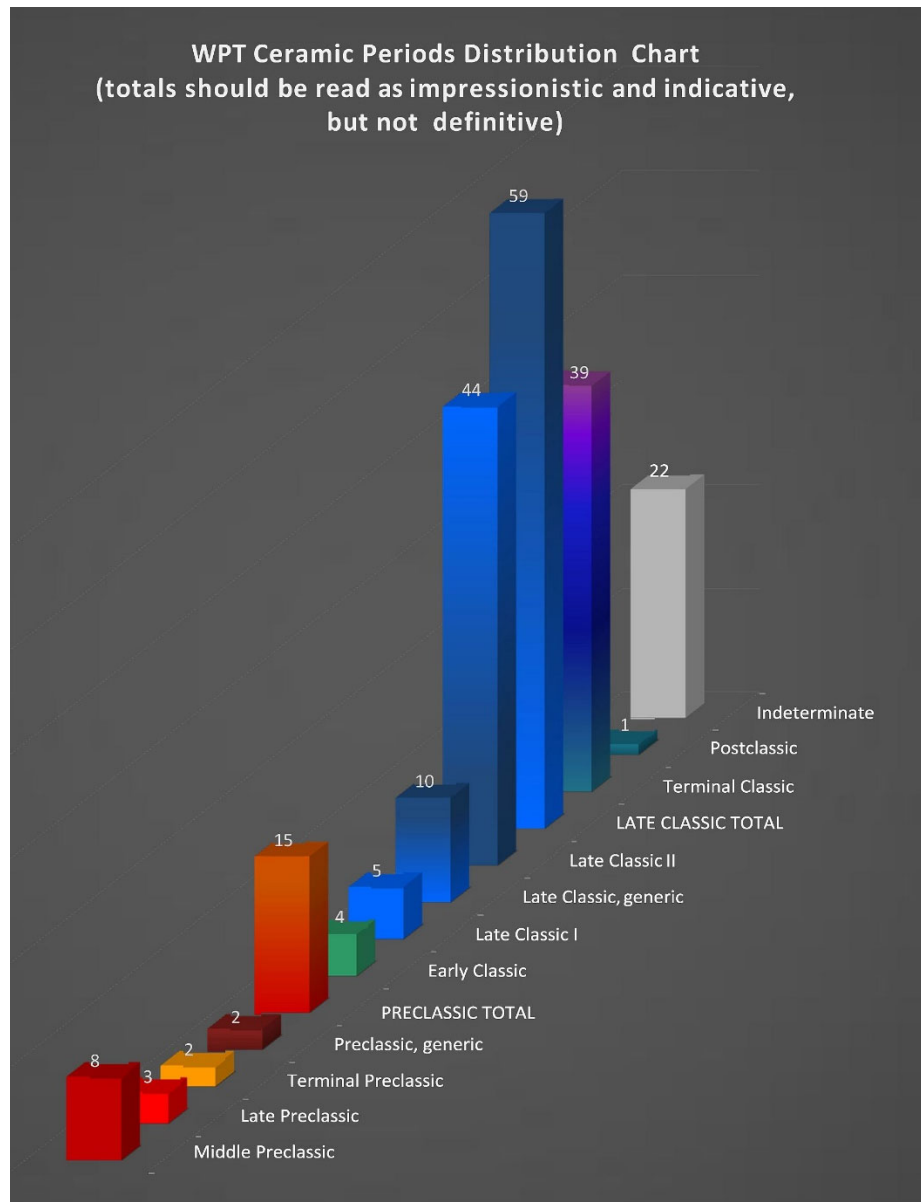


Figure 6.1. Point occurrence frequencies of WPT surface collections.

As to the region’s earlier demographic and settlement histories, the surface samples cannot be taken as indicative in any realistic or reliable way. Only subsurface sampling can reveal these still hidden histories. Still, that said, there were some interesting and surprising findings resulting from the WPT samples. Most surprising and provocative were the high number of WPT surface samples that yielded Middle Preclassic

ceramics (9% of the 94 of the collection points sampled that yielded identifiable sherds). This is an unusual phenomenon for ceramics of this date, and it serves to suggest that there are extensive Middle Preclassic subsurface remains to be found representing a significant and widespread occupation of the zone by Maya settlers at this early period. The limited subsurface testing program carried out in conjunction with the 2017 reconnaissance/survey program clearly confirmed this to be so.

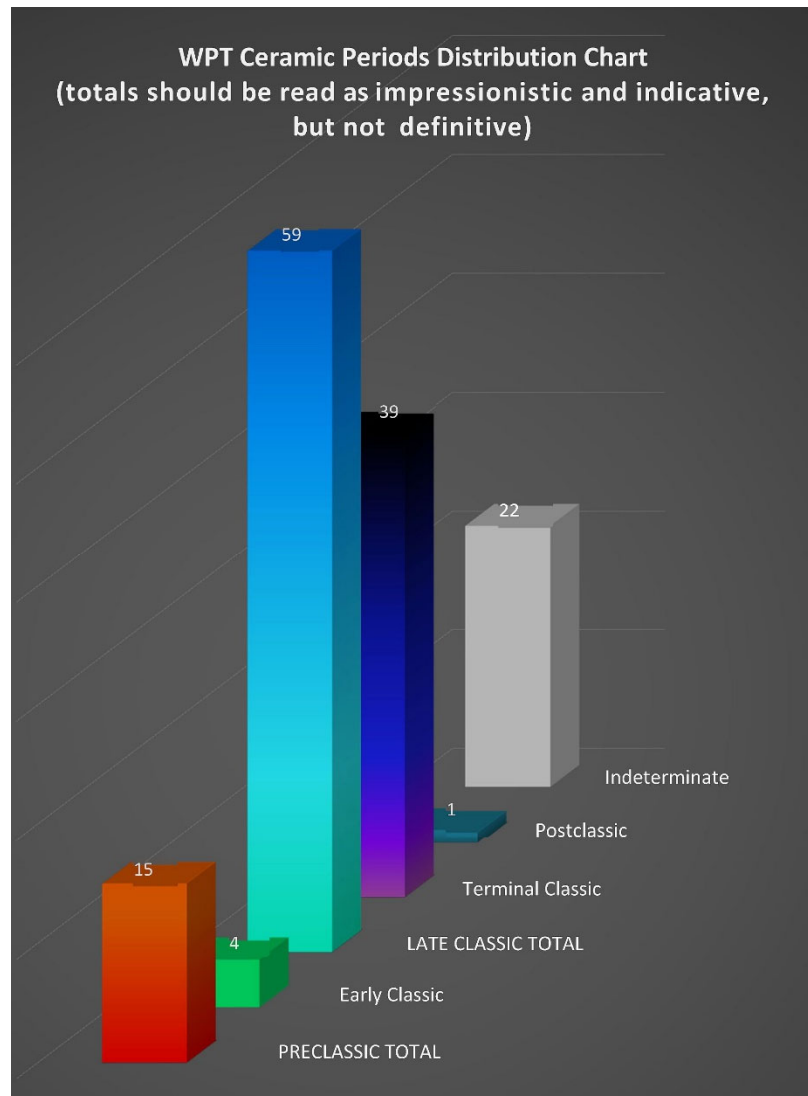


Figure 6.2. Point occurrence frequencies of WPT surface collections.

Excavations

A small number of subsurface test-excavations also were carried out as part of the 2017 field work, and while these did provide a few better preserved examples of a few of the types represented in the surface materials, overall, they proved less informative than did the WPT samples. Major reasons for this were the extensive redeposition of poorly preserved older surface materials in construction episodes; the consequent depositional mixing of multiple ceramic complexes in many of the contexts sampled; and reliance on an excavation methodology employing 1×1 m or 1.5×1.5 m “telephone booths,” which inhibit associating any subsurface floorings or other features encountered with above-ground architectural constructions or other features. An absence of clearly defined natural or construction stratification in several units was also a contributing factor.

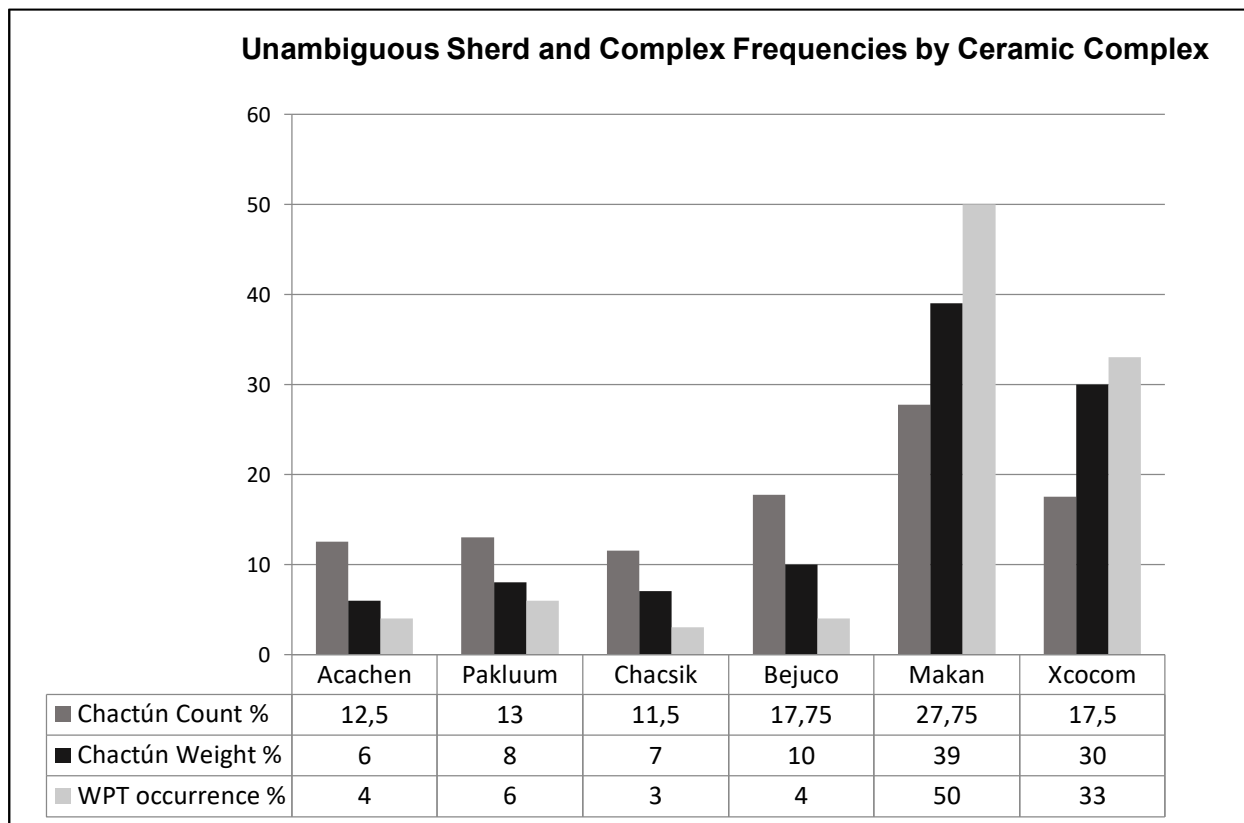


Figure 6.3. Sherd count and weight percentages for Chactún (2013 season) and waypoint occurrence percentages (2017 season).

Without question, the clearest and most informative pair of excavations carried out were those placed at the southeast and northeast corners of the ballcourt in Group H24-e (Operations JPSE and JPNE; Table 6.2). Although these were classic “telephone booth” pits that penetrated several floorings but did not allow correlating any of these with the actual construction history of the ballcourt itself, they did provide a basis on which to suggest a probable construction sequence for the complex. Floors 1 and 2 respectively as encountered in each of the test pits are the same, and both date to the Late Classic II (LCII) Makan phase, or, roughly ca. A.D. 690-810. Floors 1 and 2 both might represent resurfacings of the court, or the lower, Floor 2, might be its original flooring. This was not determined by the two excavations. Floor 3 in each pit, again being the same floor in each case, dated nicely to the Late Classic I (LCI) Bejucos ceramic phase, or roughly ca. A.D. 590-690. Finally, a fourth flooring, Floor 4, was well preserved in Operation JPNE, but represented only by its subfloor bedding in Operation JPSE. In both cases, the date of the flooring was of the same Early Classic 1-2 age, or, roughly A.D. 250-420. Floor 3 also might be either the actual original playing field flooring associated with construction of the ballcourt, or it could represent an earlier, underlying platform predating its construction. This cannot be determined from the test pit data. Flooring 4 pretty clearly represents an earlier platform surface underlying the Late Classic construction.

A scant ten meters south of the H24-e ballcourt and the foregoing two test units, a third pit excavated off the base of a fallen and broken stela (Operation H24-e) exposed and penetrated a series of possible but severely deteriorated floorings and land surfaces that contained predominantly Middle Preclassic sherds from near the surface of the unit down to its bottom, with only a few traces of later generic Classic and Early Classic material. It is hard to make anything out of this, other than that substantial Middle Preclassic materials clearly are present at or near this location (Table 6.4).

Other test dug in the vicinity of the several limestone altars discovered was equally uninformative beyond indicating a generic Late to Terminal Classic presence (Operación Altares; Table 6.4).

Discussion

In previous reports, I have constructed a narrative outlining and detailing the local and regional ceramic histories that the discoveries of the project were unveiling. This proved not to be a realistic approach in the present instance, and so what this report does instead is to highlight and discuss the most salient and significant findings resulting from the expansive 2017 LiDAR based survey and limited testing to the extent that these have added to, modified, or further elucidated the earlier findings. Archaeology is, of course, a “non-experimental” science, and in its pursuit, data collection takes the place of experimentation. Seemingly redundant findings actually carry the weight of reiterative experimental results in the so-called “hard” sciences—that is, they represent the repetitive testing and consequent validation, modification, or rejection of initial working hypotheses and interpretations in archaeological interpretations. Far from being unexciting, monotonous, or superfluous, reiterative findings serve to strengthen and fill out initial observations and hypotheses. In the case of the 2017 reconnaissance and survey collections, several interesting trends do show up in the otherwise seemingly redundant surface collection data.

First, while the Middle Preclassic is essentially generic for the horizon and could easily be lost among collections from the northern or central Petén extending eastward into Belize, by the Late to Terminal Preclassic, there is a strong and well manifest affinity in both majority wares and minority types to the ceramics of central western Campeche Gulf Coast north into the full Northern Plains zone, an affinity with the Northern Lowlands that persists at least into the initial Early Classic, and possibly through the Early Classic onto the Middle Classic horizon of the sixth and early seventh centuries. This is most interesting and at the least suggests a closer relationship of the area’s occupants to the ethnic Yucatec Maya of the North than to the Cholan-speaking groups of the true southern lowlands.

Second, the very consistent, redundant occurrence of a highly complex and distinctive “fingerprint” rim-mode on full Late Classic (Late Classic II), Makan phase jars and vats of the unslipped Encanto group is so pronounced as to warrant establishment of a new and distinctive zonal variety—the *Brida Variety*—for this economically fundamental ceramic group. This is significant culturally and socially in that a ceramic group so important in the quotidian household and utilitarian ceramic economy of the region is so distinctively different from its counterparts at Becán and farther southward and eastward. It powerfully suggests the existence of a distinct socioeconomic if not otherwise distinguished cultural region north of Becán and the Rio Bec and well south of the Chenes zone focused perhaps on the centers of Chactún, Tamchén, and Lagunita, at least as represented in the archaeological ceramics of the greater Campeche area. While the rim and surface striation patterns of some Chintok ceramic complex *Encanto Variety: Pepino Variety* recovered at Becán (Ball 1977; 2014) do approximate sherds of the newly designated *Brida Variety*, the former are at most an overlapping subset of the latter, and do not share full varietal equivalence with it in the opinion of this analyst. It is for this reason, coupled with the comparative rarity of the *Pepino Variety* at Becán, that I have opted to separate the two spatially neighboring potteries into two distinct ceramic varieties, and evaluate the materials from north of Becán as representative of a separate and distinct production community. It is, of course, possible that the Becán Chintok variety of the Encanto type is a spinoff derivative from the *Brida Variety*, but if so the poorly represented minority *Pepino Variety* identified for Becán should be subsumed within the more broadly represented *Brida Variety* of the greater Chactún-Lagunita zone. The surface striations of *Brida Variety* jars overlap with those of both the Bejuco assemblage *Alambre Variety*, and the Chintok complex *Pepino Variety* (see Ball 1977), but may also coarsen in the early Terminal Classic to approximate those of the Xcocom-related *Yokat Variety*. Rim and lip modes of the variety are distinctive throughout the Makan ceramic phase, however the fabric (fired paste + tempering) are macroscopically indistinguishable from other Classic period varieties of *Encanto Striated*.

Third, there is an equally strong occurrence in some locations of a late facet of the indigenous regional Makan complex demarcated by distinctive brownware jar and basin rim modes that was temporally coeval with but distinguishable from the better known Terminal Classic Xcocom assemblage. This bespeaks persistence of a local population and potting tradition in the area distinct from that of the intrusive Xcocom tradition and its accompanying population wave. Because of the extremely severe erosion, poor surface preservation, and generic nature of virtually all surface materials collected, however, it was not possible and

so no attempt was made to formally distinguish “indigenous” local late Makan Terminal Classic representations from the intrusive Xcocom cases. Larger, much better preserved collections—preferably from expansive excavations—with solid depositional associations will be necessary to reliably undertake so doing.

Finally, one notably significant difference between the surface materials found in the project survey zone and those of the Becán and circumambient Becán neighborhood is the predominance of full Late Classic II sherds in the former versus that of Terminal Classic materials in the latter. This suggests both a larger and longer and more widespread true Late Classic II presence in the Lagunita-Chactún area than at and around Becán, but also a more complete and rapid depopulation of the former zone than the latter in the decades following A.D. 800.

One interesting occurrence with respect to a possible late Terminal Classic/Postclassic or later presence in the area was the recovery at WPT 147 C of what appear to be several fragments of a Chum group *Oxkutzcab Appliquéd* or *Tepakan Composite* labial-flange censer. Such censers are typical at sites in the northwestern to central western part of the Yucatan peninsula, and are quite distinct from the contemporary *Miseria Appliquéd* censers of the southern and central lowlands. WPT 147 C also yielded the only traces of true (Late) Postclassic material recorded by the survey. In this case, the modeled and appliquéd anthropomorphic arm fragments recovered clearly belonged not to the Northern associated *Chen Mul Modeled* censer tradition, but to the *Patojo Modeled* tradition of the central eastern Petén Lake District. This would tend to suggest that the apparent Chum group material might also have been of southern rather than northern origination. Regrettably, the sherds recovered were too small and non-connected to allow reconstruction of the vessel, even on paper.

Lithics

The lithics collected from the WPT surface spot-samples and the other miscellaneous surface collections and test-excavations are unremarkable and reflect the same kinds of chert and obsidian distributions previously reported for the larger region by other analysts (Table 6.6; Eaton personal communications, 1970-1971; Rovner 1974, 1975; Rovner and Lewenstein 1997; Stoltman 1978). Other than noting that virtually all lithic artifacts recovered appear to have been made from locally available cherts, chalcedonies, and limestone, and also fit neatly into unspecialized quotidian domestic use-categories, there is little else to be said. A sprinkling of minuscule obsidian blade segments also was recovered, and this speaks highly of the meticulous care and professionalism of the project field teams.

Tables

Choosing a format for the intelligible and usable tabular presentation of the 2017 field data initially posed something of a challenge, however, after processing the collection and considering the research objectives and needs of the project, a multi-format approach was deemed most suitable and adopted.

Tables 6.1 to 6.6 provide a complete and comprehensive recordance of every single sherd, lithic, and other artifact that the project recovered. It is the basic artifactual database for the 2017 field season. The subsequent tables were each custom designed on the basis of three determinative questions:

1. What intelligible [ceramic] data was actually recovered/recorded?
2. What do the investigators want the [ceramic] data to tell them?
3. What can the [ceramic] data actually tell us that is both meaningful and valid without overreaching?

Table 6.7 lists the 2017 survey waypoints in numerical order and indicates the major chronological period(s) represented by the data collected at each individual waypoint.

Table 6.8 is based on the raw data recorded in Tables 6.1-6.5, and provides a simpler and clearer occurrence-based presentation of the information obtained from the season’s limited program of test-excavation sampling. Charts in Figures 6.1 and 6.2 are derived from the data recorded in Table 6.7.

As can readily be seen, the overall collection is dominated by Classic period indicators, with ceramics of the local Late Classic II Makan phase by far predominant. Terminal Classic ceramics are next in number,

these not necessarily pertaining to the areally intrusive Xcocom assemblage, but representing a mix of the latter and Makan persistences. Ceramic indications of the Early Classic and Preclassic are less common to rare, but this is not representative of the actual settlement and construction histories of the zone as attested to by the subsurface sampling results recorded in Tables 6.2 through 6.5 and 6.8. As was found at Becán (Ball 1977; Webster 1976), substantial Preclassic and Early Classic occupations likely are masked by later overlying surface deposition. Rich as these data are, their actual interpretive utility and value can be further expanded and enhanced only by a complementary program of excavations. Additional surface collecting will enlarge the data set, but only extensive subsurface probing and expansive excavations can actually contribute further to their informational utility.

TABLE 6.1. WPTS:
analysis by provenience, ceramic phase, ceramic group, type/variety, and vessel form

| Provenience/(Site?) | Ceramic Phase/Period | Ceramic group (surface-based or type-inferred) | Type/Variety (surface-based or form-inferred) | Form | comments | Count | Weight (gm) | |
|-------------------------------------|---|---|---|--|--|---------------------------------------|----------------|------|
| WPT 018 C | Classic, generic | indeterminate | very, very, very severely eroded trozos y migas | trozos | | 7 | 51.1 | |
| WPT 042 D | Makan LC (<i>local</i> Terminal Cl) | Traino Encanto | Traino Brown: Traino Variety Encanto Striated: VU | basin jar | good diagnostic basin form and rim coarse striation = LCII-TC | 1 1 | 83.1 42.7 | |
| WPT 047 D | Makan TC | Encanto | Encanto Striated: VU (body sherds only) | jar | very coarse striation = TC (local Terminal Classic) | 2 | 35.9 | |
| WPT 50 D | Terminal Classic | Encanto | Encanto Striated: Yokat(?) Variety (probable) | jar | | 4 | 42.4 | |
| | indeterminate | eroded & unclassifiable | very severely eroded trozos | trozos | | 6 | 34.1 | |
| WPT 053 D | Makan TC | Pixtun Encanto | Pixtun Trickled-grey: VU Encanto Striated: Yokat(?) Variety (probable) | jar jar | heavily eroded heavily eroded coarsely striated bodies; no rims | 1 5 | 31.4 50.0 | |
| | WPT 074 B - <i>grupo de plaza</i> | Makan TC | Train Brown: VU | basin | very heavily eroded late basin rim-forms | 2 | 225.5 | |
| WPT 079 A - <i>saqueo</i> | Early Classic | eroded & unclassifiable | eroded, unclassifiable; early Chacsik modes | mixed | early Chacsik form-modes, severely eroded | 11 | 73.0 | |
| WPT 081 A | Classic/Preclassic | indeterminate | indeterminate; small, eroded trozos | mixed | Classic and Preclassic mix based on fabric | 14 | 85.2 | |
| WPT 082 A | indeterminate | unclassifiable | very severely eroded trozos | trozos | | 17 | 135.9 | |
| WPT 083 A | Late Classic, generic | Encanto & indeterminate | Encanto Striated: VUs unspecified; slipped jar trozos | trozos | mixed, very severely eroded sherds | 17 | 175.8 | |
| | early LPC-MPC | Joventud & Sierra | Joventud Red: VU; early Sierra Red: VU | dishes | flange and ridge rim on SR dish | 1 | 46.5 | |
| WPT 085 A | indeterminate | indeterminate | very, very, very severely eroded trozos y migas | migas | | 18 | 87.8 | |
| WPT 086 A | indeterminate | severely eroded trozos | very, very severely eroded trozos y migas | trozos | very, very severely eroded; some generic striated migas | 28 | 109.7 | |
| WPT 096 A | Late Classic | indeterminate | indeterminate, generic Late Classic sherds, no rims | mixed | generic Late Classic sherds, no rims | 14 | 80.2 | |
| WPT 097 B - <i>sobre plataforma</i> | Makan LCII | Encanto | Encanto Striated: VU | jars | medium light to medium coarse striations | 1 | 18.4 | |
| WPT 103 D - <i>plaza</i> | Makan TC (<i>local</i> TC) | Encanto Traino | Encanto Striated: Yokat(?) Variety Traino Brown: VU | jars jars | very coarse herringbone striations 2 jar rims; 1 base/body | 7 3 | 192.4 237.6 | |
| | indeterminate | eroded & unclassifiable | eroded & unclassifiable | jars | | 14 | 87.9 | |
| WPT 106 D | Late Classic II | Encanto | heavily eroded body sherd; medium-light striations | jars | striation mode suggests Bejuco phase | 1 | 28.2 | |
| WPT 115 A - <i>estructura</i> | Early Classic | indeterminate | eroded & unclassifiable; Early Classic form modes | mixed | severely eroded trozos y migas, EC modes | 31 | 159.3 | |
| WPT 120 D | indeterminate | eroded crumbs | unclassifiable; very severely eroded crumbs/migas | crumbs | very severely eroded crumbs | 5 | 21.9 | |
| WPT 122 D | Makan/Chintok | severely eroded migas severely eroded trozos | Encanto Striated: unspecified varieties (7) Traino Brown OR Encanto Striated: unspecified vars | mixed jar | Chintok T-rim mode | 9 1 | 283.6 55.9 | |
| | Makan/Chintok Terminal Classic | indeterminate, very heavily eroded large rim sherds | Traino(?) Brown-slipped brownware, very dark brown slipped basins, no surface preservation | jar basins | late Makan/Chintok Traino rim-mode, very dark brown Chintok/late Makan rim-modes, Traino(?) | 1 2 | 159.3 533.9 | |
| WPT 127 | | | Pixtun(?) Trickled-grey:VU | jar | no surface preserved, Pixtun jar rim-mode | 1 | 41.7 | |
| WPT 127 C | Terminal Classic | Xcocom TC | Altar | Pabellon Molded-Carved: Pabellon Variety | bowl | reclining figure + pseudo glyphs band | 1 | 18.2 |
| | | Pixtun | Pixtun Trickled-grey: Pixtun Variety | jars | excellent temporal diagnostic | 5 | 96.2 | |
| | | Encanto | Encanto Striated: Pepino-Yokat Varieties, intergrading | jars | very coarse, heavy body striations | 5 | 491.6 | |
| | | Traino | Traino Brown: Lodo Variety (form-based) | jars basins | severely eroded severely eroded | 1 5 | 91.2 470.9 | |
| | | Encanto(?) | poss. Yokat Striated- "chultun jar" form; eroded | jars | | 1 | 88.2 | |
| | | very heavily eroded | poss. Tancachacal Slate; heavily eroded Makan form | basin | poss. Tancachacal based on form mode | 1 | 257.4 | |
| | Makan LC II | very severely eroded | Makan phase Traino group on form; severely eroded | jars | large sherds, but severely eroded | 3 | 233.9 | |
| WPT 127 D | Late Classic II | very heavily eroded | Traino Brown: VU, severely eroded | basin | Makan/Chintok; Makan more likely | 1 | 276.3 | |
| WPT 127 D | Late Classic II | eroded & unclassifiable | typologically unidentifiable, but Makan/Chintok forms | mixed | jar, 2; basins, 2; Encanto jars, 2 | 29 | 551.8 | |
| WPT 130 | Terminal Classic | Encanto/Yokat Cambio | Encanto/Yokat Striated: Yokat Variety Cambio Unslipped: VU | jars jar | | 1 2 | 108.3 314.2 | |
| WPT 131 B | indeterminate | eroded & unclassifiable | very severely eroded trozos | trozos | | 2 | 25.0 | |
| | Terminal Classic | Encanto | Encanto Striated: Yokat(?) Variety (probable) | jars | TC Encanto horizontal shelf/flange rims | 1 | 56.1 | |
| | LCII Makan | Encanto | Encanto Striated: LCII Variety | jars | medium striated jar bodies, no rims; severely eroded | 3 | 34.7 | |

Table 6.1, p. 2 of 5

| | | | | | | | |
|-----------------------------------|--------------------|----------------------------------|--|----------|---|----|-------|
| WPT 135 A - <i>plaza</i> | Middle Preclassic | Joventud | Joventud Red: VU | jar | very heavily eroded, but definitely Joventud Red | 2 | 46.1 |
| | | Sapote | Sapote Striated: Añejo Variety | jars | MPC fine-brushed striated jar bodies | 5 | 74.5 |
| | indeterminate | eroded & unclassifiable | unclassifiable trozos | trozos | very to very, very severely eroded trozos | 14 | 109.4 |
| WPT 136 C | indeterminate | eroded & unclassifiable | severely eroded and unidentifiable migas | migas | | 10 | 38.2 |
| WPT 137 D | indeterminate | eroded crumbs | unclassifiable; eroded crumbs | crumbs | severely eroded crumbs | 3 | 15.3 |
| WPT 138 A - <i>plaza</i> | Terminal Classic | Encanto | Encanto/Yokat Striated | jar | heavily eroded but diagnostic rim | 2 | 58.8 |
| | indeterminate | eroded & unclassifiable | unidentifiable | trozos | | 3 | 23.4 |
| WPT 145 A - <i>altar</i> | Terminal Classic | Encanto | Encanto Striated: Yokat(?) Variety probable | jars | body sherds only; identification tentative but likely | 5 | 68.8 |
| | indeterminate | eroded & unclassifiable | unclassifiable trozos; very, very severely eroded | trozos | very, very severely eroded | 39 | 222.8 |
| WPT 147 C | Late Postclassic | Patojo | Patojo Modeled: VU | censer | Chen Mul Modeled style effigy censer, 1, fragments | 2 | 211.4 |
| | Terminal Classic | Chum(?) (probable) | Oxkutzcab Appliqué and/or Tepakan Composite: VUs | censters | incensario fragments, <i>not</i> Miseria Appliqué | 7 | 148.3 |
| | | Sayan | Sayan Red-on-cream: VU | bowl | very thick-walled bowls, at least two, severely eroded | 4 | 97.1 |
| | | Achote | Achote Black: VU | bow | a very rare occurrence for this zone! | 1 | 44.9 |
| | | Traino(?) | Traino Brown: VU, Encanto: Yokat-like rim | jar | very late jar/rim form | 1 | 99.5 |
| | indeterminate | indeterminate | unknown redware, severely eroded, <i>very</i> late-looking | jar | very late jar form, vertical neck, simple outrolled rim | 5 | 113.2 |
| | indeterminate | uncertain | redware, very late, but "waxy" | bowl | very late redware bowl form, very heavily eroded | 1 | 31.4 |
| WPT 148 B | indeterminate | eroded & unclassifiable | eroded & unclassifiable | jar | jar body, indeterminate slipped | 1 | 11.0 |
| WPT 149 D | Late Classic | severely eroded | Becanchen Brown jar mode; LCI striated jar bodies | mixed | two Becanchen jar rims; one Encanto body | 5 | 78.3 |
| WPT 152 A - <i>plaza norte</i> | indeterminate | eroded & unclassifiable | indeterminate, medium-heavy striated present | mixed | | 14 | 118.7 |
| | Late Classic | severely eroded | heavy, sublabial flanged jar rim, unclassifiable | jar | (Encanto Striated: Brida Variety) | 1 | 77.6 |
| WPT 152 D | indeterminate | eroded & unclassifiable | eroded & unclassifiable | mixed | | 3 | 31.4 |
| WPT 153 B | Makan Late Classic | Encanto | Encanto Striated: Makan Variant | jars | | 2 | 291.9 |
| | | Traino | Traino Brown: VU | basin | | 1 | 35.6 |
| | | Sayan | Sayan Red-on-cream: Sayan Variety | bowl | | 1 | 25.3 |
| WPT 166 A - <i>plaza</i> | Classic, generic | eroded & unclassifiable | very, very, very severely eroded sherds, no rims | trozos | severely eroded, no rims; generic Classic trozos/migas | 22 | 309.4 |
| | Middle Preclassic | Sapote | Sapote Striated: Añejo Variety | jars | no rims; finely brushed bodies only | 2 | 33.3 |
| | | Joventud | Joventud Red: Joventud Variety | dish | severely eroded but still a good "waxy" dark red | 1 | 20.6 |
| WPT 166 B - <i>junto al altar</i> | Classic, generic | Encanto | Encanto jar migas | jar | | 4 | 23.3 |
| | Middle Preclassic | Joventud | Joventud Red: VU | jar | | 1 | 1.6 |
| WPT 170 D | Late Classic | eroded LC mix | indeterminate, severely eroded | mixed | | 12 | 134.9 |
| WPT 171 D - <i>estructura</i> | Late Classic | Chimbo7te | Chimbote Cream-polychrome | bowl | | 1 | 15.5 |
| | indeterminate | indeterminate eroded | indeterminate eroded slipped forms | mixed | | 4 | 48.9 |
| WPT 172 D | Preclassic-Classic | mixed, severely eroded | mixed, severely eroded Preclassic and Classic modes | mixed | | 31 | 299.8 |
| | Preclassic, Late | Sapote | Sapote Striated: VU | jar | | 1 | 48.8 |
| WPT 173 D | LCII-Terminal Cl | mixed, severely eroded | mixed Traino Brown & Encanto Striated jar modes | mixed | large sherds, but very severely eroded | 34 | 590.1 |
| WPT 174 A - <i>plaza</i> | LPC-Early Classic | Sapote-Triunfo | Sapote & Triunfo Striated: generic varieties | jars | heavily eroded | 27 | 223.0 |
| | Joventud | Guitara Incised: Guitara Variety | | dish | severely eroded; very waxy (latish) | 3 | 43.2 |
| | Middle Preclassic | Sapote | Sapote Striated: Añejo Variety | jar | excellent, diagnostic form & brushing | 1 | 16.2 |
| WPT 174/175/or 179 D | indeterminate | eroded & unclassifiable | eroded and unidentifiable; severely eroded | trozos | indecipherable handwriting on label- 17? | 6 | 136.9 |
| WPT 175 B | Late Classic | Encanto, severely eroded | Encanto Striated: Var Indeterminate- severely eroded | jars | | 4 | 112.6 |
| | | Becanchen(?) (possible) | Becanchen Brown; severely eroded basin & jar trozos | mixed | one probable <i>late</i> (Bejucos-Makan) basin rim | 4 | 42.4 |
| WPT 176 C | indeterminate | eroded & unclassifiable | eroded and unidentifiable | migas | muestro de 2x2 cuadro | 8 | 31.3 |
| | | indeterminate | medium weight striated trozo | jar | | 1 | 35.0 |
| WPT 177 C | LCII, late-TC | eroded & unclassifiable | Encanto Striated: VU | jars | no rims; 1 late Makan/Chintok heavily striated body | 15 | 178.7 |
| WPT 177 D | Middle Preclassic | Joventud | Joventud Red: VU | jar | diagnostic JR slip | 1 | 2.7 |
| | Late Classic | eroded & unclassifiable | eroded & unclassifiable, generic Classic jar body | jar | | 1 | 30.1 |
| | | Encanto | Encanto Striated: Pepino Variety | jars | | 18 | 403.9 |
| | | Sayan | Sayan Red-on-cream | bowl | | 1 | 11.9 |
| | | Traino | Traino Brown: VU | jar | | 1 | 20.3 |

Table 6.1, p. 3 of 5

| | | | | | | | |
|------------------------------|-------------------------|----------------------------|--|--------|---|----|-------|
| WPT 178 A - plaza | Makan/Chintok | Becanchen(? possible) | Becanchen-Traino transitional variety | basins | | 5 | 135.1 |
| | | indeterminate | impressed fillet basin body sherd | basin | | 1 | 21.7 |
| | | eroded & unclassifiable | eroded jar/basin body sherds | mixed | | 6 | 27.3 |
| WPT 181 C | Late Classic II | eroded & unclassifiable | eroded & unclassifiable generic mix of LCII modes | migas | | 6 | 104.1 |
| WPT 181 D - estructura | Classic, mixed | heavily eroded mix | Encanto: Alambre, 1; Traino Brown, 1; bfb, 1 | mixed | medium texture striations = LC II | 21 | 265.2 |
| WPT 182 B | Makan Late Classic | Encanto | Encanto Striated: Makan Variety | jars | one diagnostic rim | 8 | 161.3 |
| | | Traino | Traino Brown: VU | basins | | 1 | 34.9 |
| | | indeterminate | eroded & unclassifiable crumbs, jars and basins | mixed | | 4 | 68.9 |
| WPT 183 B | Late Classic | very severely eroded | Encanto Striated body sherds, medium striations | jars | very severely eroded | 3 | 66.7 |
| | indeterminate | eroded & unclassifiable | very severely eroded, unclassifiable sherds | mixed | | 20 | 135.3 |
| WPT 184 B - 2x2 muestro | Late Classic II | very, very severely eroded | Encanto Striated: Brida Variety rim | jar | one good, diagnostic rim | 1 | 14.6 |
| | indeterminate | eroded & unclassifiable | | | medium textured striated jar bodies | 3 | 37.4 |
| WPT 184 D - estructura | indeterminate | eroded crumbs | unclassifiable; severely eroded crumbs | crumbs | | 8 | 33.8 |
| WPT 185 A - plaza | Late Classic | eroded & unclassifiable | unidentifiable, severely eroded | mixed | | 29 | 262.5 |
| WPT 185 B - 2x2m cuadro | Classic | eroded & unclassifiable | unclassifiable; severely eroded crumbs | jar | severely eroded jar body sherd; Classic fabric | 1 | 11.3 |
| WPT 185 C | Xcocom Terminal Classic | Altar | Tumba Black-on-orange: Tumba Variety | bowl | small rim sherd | 1 | 19.7 |
| | | Encanto | Encanto Striated: Yokat Variety | jars | | 1 | 14.2 |
| | | indeterminate | eroded and unclassifiable TC form | vase | classic TC barrel-vase, very thin-walled, severely eroded | 1 | 23.9 |
| | | indeterminate | severely eroded trozos y migas | trozos | very severely eroded crumbs | 42 | 220.1 |
| WPT 186 B - cuadro de 2x2m | Terminal Classic | Encanto, severely eroded | Encanto Striated: VU, severely eroded | jar | very coarsely striated jar body | 1 | 37.3 |
| | indeterminate | very severely eroded migas | very severely eroded migas | migas | very severely eroded migas | 9 | 23.1 |
| WPT 187 A – entre monticulos | Late Classic | Encanto, eroded | Encanto Striated: VU | jars | severely eroded but probably Makan | 3 | 52.1 |
| | indeterminate | eroded & unclassifiable | unclassifiable; severely eroded trozos | mixed | | 22 | 144.0 |
| WPT 187 C | Terminal Classic | very severely eroded | mixed, eroded; jar bodies, coarse striation | trozos | late-Makan-Xcocom(?); Terminal Classic | 13 | 318.6 |
| WPT 192 B | indeterminate | eroded & unclassifiable | unclassifiable; severely eroded trozos | trozos | very severely eroded | 21 | 100.2 |
| WPT 193 B | Classic | eroded & unclassifiable | severely eroded, generic Classic striated jar sherd | jars | | 1 | 14.1 |
| WPT 194 C | Late Classic II | Encanto | Encanto Striated: Brida Variety | jars | | 5 | 55.6 |
| | indeterminate | eroded & unclassifiable | unidentifiable; severely eroded | migas | trozos y migas | 4 | 16.9 |
| WPT 196 C | indeterminate | eroded & unclassifiable | unidentifiable, severely eroded | trozos | | 4 | 25.4 |
| WPT 197 C | Xcocom Terminal Classic | Tinaja | Portia Gouged-Incised: Portia Variety | vase | Terminal Classic beaded-rim barrel-vase (very fancy!) | 2 | 12.7 |
| | | Encanto/Yokat | Encanto/Yokat Striated: Variety Unspecified | jar | very heavy, coarse body striations | 2 | 15.9 |
| | | indeterminate | mixed jar body sherds | mixed | | 8 | 40.7 |
| WPT 198 C | Chintok LCII | Sayan | Sayan Red-on-cream: Sayan Variety | bowl | very severely eroded | 1 | 12.6 |
| | LCII | Encanto | Encanto Striated: VUs | jars | | 18 | 104.7 |
| WPT 199 A | indeterminate | severely eroded | severely eroded unslipped | jars | | 10 | 60.4 |
| | Terminal Classic | heavily eroded | severely eroded slipped forms | mixed | | 4 | 31.3 |
| WPT 199 C | indeterminate | eroded & unclassifiable | edge-impressed “piecrust” rim | ? | edge-impressed “piecrust” rim | 1 | 58.1 |
| WPT 200 C | Late Classic II | Encanto | striated jar body | jar | indeterminate- generic Classic likely | 1 | 14.7 |
| WPT 200 C | indeterminate | eroded & unclassifiable | Encanto Striated: VU | jar | Bejuco-Makan striation mode, bodies only | 2 | 21.7 |
| | indeterminate | eroded & unclassifiable | unclassifiable, very severely eroded | trozos | very severely eroded | 20 | 121.6 |
| WPT 201 C | Makan LCII-TC | trozos, severely eroded | Encanto: VU present, mixed LCII-TC Makan modes | trozos | Encanto jar bodies and unclassifiable trozos | 13 | 128.1 |
| WPT 202 C | Terminal Classic | Sayan | Sayan Red-on-cream: Sayan Variety | bowl | very, very heavily eroded bowl fragment | 1 | 10.9 |
| | | Pixtun | Pixtun Trickled-grey: Pixtun Variety | jar | very, very heavily eroded jar rim-shoulder | 1 | 25.8 |
| | | Encanto | Encanto Striated: VU | jars | bodies only, very coarse striations | 17 | 263.5 |
| | LCII-TC | indeterminate | brownware, slipped; indeterminate | jars | very, very severely eroded, bodies only | 21 | 249.1 |
| | Late Preclassic | Sierra | Sierra Red: VU | jar | very severely eroded | 1 | 16.6 |
| WPT 206 A - plaza | Makan | heavily eroded mix | Becanchen Brown basin, 1; coarse striated jar sherds | mixed | very, very, very severely eroded | 11 | 83.6 |
| | | | | | coarse striations = late Makan | 24 | 263.9 |

Table 6.1, p. 4 of 5

| | | | | | | | |
|---|------------------------------------|----------------------------|---|--------|--|-----|-------|
| WPT 207 A - este de la plaza | Makan, late facet Terminal Classic | Traino | Traino Brown VU | jars | large, heavily eroded sherds, several rims | 3 | 60.2 |
| | | | | basins | | 4 | 171.4 |
| | | eroded & unclassifiable | unclassifiable, severely eroded | jar | "chultun jar" neck, rim, lip modes | 1 | 40.6 |
| | | Encanto | Encanto Striated: Brida Variety | jars | 11 bodies; one rim, late facet rim-mode | 12 | 259.3 |
| WPT 208 B | uncertain | Encanto, severely eroded | Encanto Striated, severely eroded jar bodies | jars | | 2 | 78.9 |
| WPT 208 C | Late Classic II | severely eroded mix | very severely eroded Encanto Striated trozos | jars | | 8 | 106.8 |
| | Terminal(?) Classic | | very severely eroded/unclassifiable basin & jar trozos | mixed | | 5 | 26.5 |
| WPT 212 B | indeterminate | Traino | possible Yokat Variety body sherd | jar | coarsely striated body sherd, Yokat Variety probable | 1 | 9.8 |
| | eroded & unclassifiable | unclassifiable trozos | | trozos | | 3 | 29.5 |
| WPT 213 B | Terminal Classic | Sayan | Sayan Red-on-cream: Sayan Variety | bowl | rim fragment | 1 | 2.4 |
| | | Cambio | Miseria Appliquéd: Long-spike Variety | censer | bowl-censer rim fragment | 2 | 30.9 |
| | | indeterminate | severely eroded trozos | trozos | | 6 | 23.9 |
| WPT 212 A - plaza | Late Classic II | severely eroded | very heavily eroded Late Classic II form modes only | mixed | possible Tancachacal Slate basin rim, 1; Traino Brown-like Encanto jar rim | 18 | 284.2 |
| WPT 217 B <i>(proveniencias distintas del grupo)</i> | Xcocom Terminal Classic | Ticul | Ticul Thin-slate: VU | bowl | | 1 | 32.4 |
| | | Pixtun | Pixtun Trickled-grey: Pixtun Variety | jar | | 1 | 16.1 |
| | | Traino | Traino Brown: VsU | basins | Makan-Xcocom tradition modes | 3 | 142.2 |
| | | Encanto | Encanto Striated: VsU | jars | mixed, heavily/severely eroded sherds | 112 | 919.2 |
| WPT 224 A - plaza | Terminal(?) Classic | very, very severely eroded | unclassifiable trozos, very, very, very severely eroded | migas | very, very, very severely eroded; 6 probable Yokat bods | 15 | 168.0 |
| WPT 228 C | Terminal Classic | Sayan | Sayan Red-on-cream: Sayan Variety | bowl | severely eroded | 1 | 47.0 |
| | Encanto | Encanto: Yokat Variety | | jars | heavily eroded; coarsely striated bodies | 33 | 388.3 |
| WPT 231 A - plaza | Terminal Classic | very severely eroded | Encanto Striated jar bodies, very coarsely striated | jars | mixed coarse-striated & unclassifiable | 18 | 211.8 |
| WPT 236 A | Late Classic II | Encanto | Encanto Striated: VU (Bejucos-Makan striation mode) | jars | medium light striation mode: generic LCII | 7 | 49.0 |
| | indeterminate | eroded and unclassifiable | unclassifiable trozos, severely eroded | trozos | jar bodies(?) | 4 | 44.6 |
| WPT 239 C | Terminal Classic | Altar (Fine Orange) | Xul Incised: Xul Variety | bowl | tiny rim fragment with double-line incisions | 1 | 5.5 |
| | | Pixtun | Pixtun Trickled-grey: Pixtun Variety | jar | very heavily eroded but diagnostic neck and rim modes | 1 | 7.2 |
| | | Encanto | Encanto Striated: Yokat(?) Variety, probable | jars | no rims; very coarsely striated body sherds | 3 | 137.8 |
| | | | Encanto Striated: Brida Variety | jars | good Brida rim | 1 | 12.4 |
| | | indeterminate | Encanto Striated: Pepino(?) Variety (Chintok) | jar | rim-shoulder sherd, probable Chintok variety | 1 | 131.8 |
| | | | eroded and indeterminate | basin | possible Becanchen Brown basin rim; eroded severely | 1 | 41.1 |
| | | indeterminate | eroded and unclassifiable | trozos | | 10 | 65.5 |
| WPT 241 - ? plaza | Terminal Classic | mixed | severely eroded Terminal Classic rim modes | mixed | Ticul Thin-slate; Encanto: Yokat likely | 16 | 138.0 |
| | Middle Preclassic | Joventud | Joventud Red: VU | jar | | 1 | 5.6 |
| WPT 243 A - plaza | LC II (Makan) | Encanto | Encanto Striated: VU | jar | small, eroded migas | 2 | 22 |
| WPT 245 C | Terminal Classic | Traino(?) | Traino Brown(?) rim modes, late | jars | | 2 | 145.6 |
| | | Encanto | Encanto Striated: Yokat(?) Variety | jar | severely eroded TC rim mode | 1 | 21.5 |
| | | indeterminate | unclassifiable trozos, severely eroded | trozos | | 8 | 78.2 |
| | | | unclassifiable jar body sherd, large; severely eroded | jar | | 1 | 68.3 |
| WPT 250 B | Late Classic | eroded and unclassifiable | indeterminate, very severely eroded generic LC | trozos | no rims, severely eroded trozos y migas | 10 | 141.8 |
| WPT 258 A - plaza | indeterminate | very severely eroded | indeterminate mix, very severely eroded | mixed | possible Preclassic sherds present | 9 | 86.3 |
| WPT 263 B | Classic | eroded and unclassifiable | indeterminate; severely eroded | migas | generic Classic, late/Late | 3 | 30.7 |
| WPT 264 A - plaza | indeterminate | eroded crumbs | unclassifiable; eroded crumbs | crumbs | severely eroded crumbs | 7 | 41.7 |
| WPT 270 A - plaza | indeterminate | heavily eroded | heavily eroded; coarse and medium-striated | jars | mixed LC & TC modes | 14 | 147.2 |
| | Terminal Classic | Pixtun (form-inferred) | Pixtun Trickled-Grey; heavily eroded jar rim | jar | | 1 | 37.6 |
| WPT 273 A - plazita | Late Classic | eroded & unclassifiable | severely eroded LC jar/basin body sherds | mixed | | 4 | 70.8 |
| WPT 277 A - plaza | Bejucos (LC I) | Becanchen (eroded) | Becanchen Brown(?) VU, very severely eroded | jar | good rim | 1 | 18.0 |
| | Late Classic | Encanto | Encanto Striated: VU | jars | bodies only, medium light striations | 9 | 131.7 |
| | indeterminate | eroded and unclassifiable | unclassifiable, severely eroded sherds | mixed | medium to large but very severely eroded sherds | 19 | 255.1 |
| WPT 278 B | LCII (Makan) | Encanto | Encanto Striated: VU, Makan striation mode | jars | medium heavy striations, bodies only, eroded severely | 2 | 59.4 |
| | LCI (Bejucos) | Becanchen(?), eroded | Becanchen Brown(?) VU, very severely eroded | jar | | 1 | 10.1 |
| | Early Classic | indeterminate | unclassifiable basin rim, Early Classic rim mode | basin | very, very severely eroded | 1 | 61.3 |

Table 6.1, p. 5 of 5

| | | | | | | | |
|-----------------------------------|-------------------------------|---------------------------------|--|--------|---|--------------|-----------------|
| | indeterminate | eroded and unclassifiable | unclassifiable, very, very severely eroded sherds | trozos | unclassifiable, very, very severely eroded | 17 | 245.3 |
| WPT 282 A - <i>estela; altars</i> | Terminal Classic | Encanto | Encanto Striated: VU, coarse-very coarse striations | jars | coarse-very coarse striation mode | 4 | 173.8 |
| | | | Encanto Striated: VU, TC flying shelf rim-mode | jars | TC flanged-rim mode, very severely eroded | 1 | 9.6 |
| | Traino | Traino Brown: VU | | jar | late, TC Traino Brown jar rim | 1 | 22.1 |
| | indeterminate | unidentifiable migas | unidentifiable migas | migas | migas, unidentifiable | 7 | 35.7 |
| WPT 293 B | Bejuco (LC I) | very severely eroded | severely eroded Bejuco Becanchen Brown | jar | very severely eroded | 1 | 14.2 |
| | | | | basin | very severely eroded | 1 | 17.7 |
| | | | severely eroded Bejuco Encanto & indeterminates | trozos | mixed eroded Encanto bodies & indeterms | 19 | 131.7 |
| WPT 294 A - (<i>plaza</i>) | Terminal Classic | Encanto | Encanto: VU; bodies only; very coarse striations | jars | very severely eroded | 2 | 34.0 |
| | indeterminate | indeterminate | eroded and unclassifiable crumbs/migas | migas | | 7 | 23.7 |
| WPT 296 B - <i>cerca estelas</i> | Terminal Classic | very severely eroded | some late Encanto or Yokat jar sherds present | jars | severely eroded, but definitely TC | 36 | 334.2 |
| WPT 301 A - <i>plaza</i> | indeterminate | heavily eroded | Bejuco and LC rim modes present; severely eroded | mixed | coarse striated; Bejuco beaded rim mode | 14 | 133.5 |
| WPT 315 A - <i>sur de plaza</i> | Late Classic | severely eroded | mixed slipped and unslipped jar and basin sherds | mixed | | 16 | 201.1 |
| WPT 305 C | Classic, general | very severely eroded | indeterminate Classic paste & form modes | mixed | trozos y migas | 19 | 183.3 |
| WPT 323 C - <i>plaza</i> | indeterminate | severely eroded crumbs | severely eroded crumbs | crumbs | | 9 | 56.3 |
| WPT 329 C - <i>estructura</i> | indeterminate | very severely eroded migas | indeterminate eroded migas | migas | very, very, very severely eroded migas | 12 | 51.2 |
| WPT 346 B | indeterminate | eroded & unclassifiable | severely eroded; unclassifiable | crumb | | 1 | 3.7 |
| WPT 346 C - <i>plaza</i> | Late Classic II | severely eroded mix | Encanto Striated jar sherds, medium heavy striation | jars | | 16 | 153.4 |
| | | severely eroded | Encanto Striated: Brida Variety | jar | | 1 | 26.4 |
| WPT 348 B | Late Classic | Sayan | Sayan Red-on-cream: Sayan Variety | bowl | | 1 | 26.9 |
| | | Encanto | Encanto Striated: Variety Unspecified | jar | coarse striated sherds | 4 | 116.1 |
| | Makan | Becanchen(?) (form-inferred) | Becanchen-Makan brownware forms, severely eroded | jar | | 6 | 103.5 |
| | | | | basin | | 1 | 53.7 |
| WPT 364 B | late Makan/TC | Traino(?) | late Makan slipped jar rim-form, Traino Brown(?) | jar | very severely eroded | 1 | 30.9 |
| | early LPC | Sierra/Polvero(?) | very severely eroded sublabial flanged form | dish | Sierra or Polvero sublabial flanged dish form | 1 | 45.5 |
| | Middle Preclassic | Joventud | Joventud Red: VU | dish | JR dish floor mode | 1 | 36.2 |
| | | Achiotes/Sapote | unslipped jar rim- MPC form; Achiotes/Sapote | jar | | 1 | 20.1 |
| | indeterminate | eroded & unclassifiable | severely eroded trozos y migas | migas | | 19 | 132.4 |
| WPT 370 B | Bejuco | Moro | Moro Orange-polychrome: MV | dish | one eroded dish fragment | 1 | 9.6 |
| WPT 376 C | indeterminate | eroded & unclassifiable | unclassifiable, severely eroded | trozos | | 12 | 81.6 |
| WPT 385 C | Makan | Encanto | Encanto Striated: Alambre Variety(?) | jars | heavily eroded | 2 | 56.0 |
| | | Traino | Traino Brown: Varieties unspecified | basin | heavily eroded | 1 | 57.5 |
| | | uncertain | | jars | heavily eroded | 2 | 81.3 |
| | | indeterminate | Encanto Striated: Brida Variety | jar | severely eroded | 1 | 98.3 |
| | eroded & unclassifiable | mixed indeterminate | | mixed | severely eroded | 3 | 130.7 |
| WPT 398 C - <i>plaza</i> | Makan-Chintok late LCII-TC | Pixtun | Pixtun Trickled-grey: VU | jar | 1 heavily eroded rim | 1 | 20.2 |
| | | Encanto | Encanto Striated: Yokat(?) Variety/late Brida Variety | jar | heavily eroded, 1 rim | 5 | 166.0 |
| | | Traino | Traino Brown: VU | jar | latish Chintok-Makan rim | 1 | 63.7 |
| | | Hool | Hool Orange-polychrome: Hool Variety | bowl | Ilatish Chintok-Makan rim | 1 | 77.0 |
| | | | | | Chenes-Yucatan type, severely eroded | 2 | 32.7 |
| WPT 401 C - <i>surface</i> | Late Classic II | severely eroded | Encanto Striated: Brida Variety | jars | | 2 | 119.2 |
| WPT 406 C - <i>est. columnas</i> | LCII-Terminal Cl | very, very severely eroded | unclassifiable, but possible Traino & E. Brida Variety | mixed | Makan Terminal Classic most probable | 8 | 122.1 |
| WPT 413 C - <i>plaza</i> | Late Classic | generic Late Classic | generic LC, very, very, very severely eroded, no rims | migas | very, very, very severely eroded, no rims | 6 | 90.5 |
| WPT 427 C - <i>plaza</i> | Late Classic II | indeterminate | very severely eroded LCII form-modes | trozos | | 11 | 131.1 |
| WPT TOTALS | | | | | | 1,765 | 26,125.4 |

TABLE 6.2. EXCAVATIONS: Operations JPNE & JPSE
analysis by provenience, ceramic phase, ceramic group, type/variety, and vessel form

| Grupo H24-e Op JPNE | Ceramic Phase/Period | Ceramic group (surface-based or type-inferred) | Type/Variety (surface-based or form-inferred) | form | comments | count | weight (gm) |
|--|---|---|---|---------------|---|------------|----------------|
| JPNE Capa 0 | indeterminate | small eroded crumbs | unclassifiable | crumbs | | 18 | 94.4 |
| JPNE Capa I | Late Classic | very severely eroded | mixed LC-TC unslipped and slipped jar sherds | mixed | | 36 | 192.2 |
| JPNE Capa 2 - piso estuco | | | | | JPNE Piso 1- Late Classic II | 0 | 0 |
| JPNE Capa 3 | Late Classic &? | eroded crumbs | indeterminate, tiny eroded crumbs; Chintok basin-form | basin | one Chintok basin-form present | 30 | 168.0 |
| JPNE Capa 4 | indeterminate | mother-of-pearl chip | possible marine shell mosaic inlay | inlay | chip is <1/4" in oval diameter | 1 | 0.0 |
| | | eroded & unclassifiable | very heavily eroded crumbs/migas | | very severely eroded crumbs | 4 | 32.1 |
| JPNE Capa IV (could possibly be Middle Preclassic) | indeterminate | unslipped striated(?) | severely eroded crumbs | jars | | 17 | 158.2 |
| | mottled redware | heavily mottled redware type- Joventud Red(?) | mixed | indeterminate | | 5 | 17.7 |
| | mottled cream-blackware | heavily mottled blackware type- Chunhinta(?) | ? | | | 6 | 14.6 |
| | Dzudzuquil Buff(?) | grooved-incised mottled buffware type (Dzudzuquil?) | ? | | | 1 | 15.1 |
| JPNE Capa V - piso estuco | | | | | JPNE Piso 2- Late Classic I/early II | 0 | 0 |
| JPNE Capa VI | Bejuco-Makan | Encanto | Encanto Striated: Alambre/Acahuil Varieties | jars | medium-medium fine striation; herringbone patterning | 34 | 709.0 |
| | | Becanchen | Becanchen Brown: Becanchen Variety | basins | | 13 | 82.4 |
| | Makan | indeterminate | Becanchen Brown: Becanchen Variety | jars | | 18 | 115.1 |
| | Bejuco-Makan | indeterminate | eroded Late Classic II tripod dish | dish | | 1 | 63.6 |
| | | Molino | eroded cream-polychromes | dishes | | 2 | 73.0 |
| | Bejuco | Moro | Molino Black: MV | bowl | | 1 | 6.1 |
| | | Saxche | Moro Orange-polychrome: MV | dish | | 1 | 9.5 |
| | Acachen | Joventud | Saxche Orange-polychrome: SV | plate | | 1 | 4.0 |
| | | | Joventud Red: Joventud Variety | dish | very nice, highly waxy finish; deep, bright dark red | 1 | 13.6 |
| JPNE Capa VII(?) - piso(?) | | | | | JPNE Piso (?) 3- Early Classic III | 0 | 0 |
| JPNE Capa VII | Early Classic | Triunfo | Triunfo Striated: Aliso Variety | jars | fine to medium-fine striation; screwhead applique | 20 | 247.3 |
| | | Dos Arroyos | Dos Arroyos Orange-polychrome: V Unspecified | bowl | | 1 | 16.5 |
| | | Maxcanu | eroded light to pale brown, Tacopate Trickled(?) | jars | | 7 | 58.2 |
| | | indeterminate | severely eroded basal flanged dish or bowl | basins | | 5 | 65.4 |
| | uncertain Middle Classic(?) | indeterminate | indeterminate; square-cut sherd pendant | fbf/d | | 1 | 22.8 |
| | | indeterminate | unknown red-and-orange-on-cream type | artifact | square-cut sherd pendant, drilled | 1 | 0.0 |
| | | Saxche | Saxche Orange-polychrome: Dzaptun Variety | bowl | | 1 | 14.6 |
| | | Dos Arroyos | Dos Arroyos Orange-polychrome: VsU | bowl | 1 bowl; 1dish; single, biconical repair hole preserved | 2 | 20.5 |
| JPNE Capa VIII (subfloor leveling or ballast layer) | Early Classic | Triunfo | Triunfo Striated: VU | mixed | dishes and bowls; mixed varieties | 6 | 60.9 |
| | | Maxcanu | light to pale brown, Tacopate Trickled(?) | jars | | 18 | 263.6 |
| | | mixed; crushed, caliche-coated | Dos Arroyos; Tacopate; Triunfo types, crushed | jars | | 13 | 95.7 |
| | | Sierra/Polvero mix | intergrading Sierra Red and Polvero Black examples | basins | | 1 | 83.9 |
| | Late Preclassic | Sapote | Sapote Striated: Sapote/Rastro Variety | mixed | uniform crushing + caliche coating = floor ballast | 14 | 223.6 |
| | | Paila | Paila Unslipped: VU | mixed | | 8 | 54.8 |
| | | mixed; crushed, caliche-coated | Sierra and Vaquero Creek forms and fabrics | jar | | 52 | 934.6 |
| | | eroded and unclassifiable | unclassifiable, eroded trozos | jar | | 5 | 99.0 |
| JPNE Capa IX - piso estuco | | | | | JPNE Piso 4- Early Classic II | 0 | 0 |
| JPNE Capa X Chacsik, early facet (initial Early Classic) | Chacsik, early facet (initial Early Classic) | Triunfo | Triunfo Striated: Gineres Variety | jars | two excellent diagnostic rimes | 34 | 345.8 |
| | | Maxcanu | | jars | | 26 | 177.7 |
| | | Aguila | Aguila Orange: Aguila Variety | basins | | 5 | 233.0 |
| | | Dos Arroyos | Dos Arroyos Orange-polychrome: VsU | mixed | high quality orangeware, dishes and bowls | 6 | 46.0 |
| | | mezcla/mix | Actuncan Orange-polychrome: Actuncan Variety | bfbs | basal-flanged bowls | 18 | 182.5 |
| | | Sierra | mixed, eroded Early Classic trozos y migas | bowls | simple hemispherical bowls | 4 | 26.7 |
| | | | Sierra Red: VU | bowl | | 1 | 18.6 |
| | | | | mixed | body sherds, small and eroded | 61 | 245.6 |
| JPNE Excavation Total | | | | | | 763 | 6,681 |

Table 6.2, p. 2 of 2

| Grupo H24-e | Ceramic | Ceramic group | Type/Variety | form | comments | count | weight (gm) |
|------------------------------------|---------------------|---|---|-------------|--|--------------|--------------------|
| Op JPSE | Phase/Period | (surface-based or type-inferred) | (surface-based or form-inferred) | | | | |
| JPSE Capa I | indeterminate | eroded crumbs | indeterminate | mixed | medium-light and coarse striated sherd | 19 | 88.0 |
| JPSE Capa II - piso estuco | | | severely eroded small crumbs, <i>poss.</i> Bejucu rim-forms | | JPSE Piso 1- Late Classic II or I | 10 | 81.0 |
| JPSE Capa III | Late Classic | eroded & unclassifiable | mixed, Late Classic form-modes present | mixed | LC form modes present | 79 | 333.0 |
| | Classic/Preclassic | unclassifiable, eroded | light to medium light line weight striated sherd | jars | indeterminate Preclassic/Classic mix | 12 | 119.5 |
| JPSE Capa IV | indeterminate | eroded & unclassifiable | eroded and unidentifiable trozos and migas | mixed | | 28 | 124.3 |
| | Middle Preclassic | generic mottled red | mottled red-cream-black, generic MPC redware | dish | | 8 | 52.5 |
| JPSE Capa V - piso estuco | | | | | JPSE Piso 2- Late Classic I | 0 | 0 |
| | Bejucu | Moro | Moro Orange-polychrome: Resist Variety | dish | beautiful example of linear resist probably | 1 | 10.8 |
| | | Becanchen | Moro Orange-polychrome: VU | dish | same vessel as above at least one basin and | 14 | 61.0 |
| JPSE Capa VI | Pakluum (LPC) | Sierra | Becanchen Brown: VU | mixed | one jar dishes and jars present | 12 | 117.1 |
| | | Polvero | Sierra Red: VU | mixed | one thick-walled bowl; one jar | 13 | 103.1 |
| | | Sapote | Polvero Black: VU | mixed | | 2 | 68.1 |
| | indeterminate mix | eroded & unclassifiable | Sapote Striated: Sapote or Rastro Variety | jars | | 42 | 327.3 |
| | | crumbs/migas | small, heavily eroded sherd/trozos | trozos | | 8 | 58.1 |
| | | | small, eroded crumbs/migas | migas | | 38 | 75.6 |
| JPSE Capa VII - piso estuco | | | | | JPSE Piso 3- Early Classic III | 0 | 0 |
| | Middle Classic(?) | Saxche | Saxche Orange-polychrome: Dzaptun Variety | bowl | | 1 | 8.5 |
| | | Dos Arroyos | Dos Arroyos/(Actuncan) Orange-polychrome | trozos | DAOP definite; Actuncan O-p possible | 9 | 119.7 |
| JPSE Capa VIII | Early Classic | Aguila | Aguila Orange: VU | jar | | 1 | 6.0 |
| (subfloor ballast layer) | | Triunfo | Triunfo Striated: Gineres Variety | jars | one shoulder-appliquéd “button” or “screwhead” | 102 | 1019.0 |
| | Late Preclassic | Maxcanu | Tacopate Trickled Brown, probable | mixed | jars and basins; light to pale brown slipping | 21 | 382.2 |
| | indeterminate | mixed; crushed, caliche-coated | very heavily eroded Terminal Preclassic mix | migas | uniformly crushed, caliche-coated sherd, | 130 | 722.6 |
| | Preclassic, Late | crushed & unclassifiable | mixed; deliberately crushed migas | migas | suggests probable subfloor ballast layer | 442.0 | 1988.0 |
| JPSE Capa IX | Preclassic, Middle | Xanaba (streaky red) | Xanaba Red(?) (streaky red) | basin | deep dish or basin | 1 | 14.8 |
| | | Joventud | Joventud Red: VU | jar | | 1 | 3.1 |
| | | Sapote | Sapote Striated: VU | jars | very light, fine, surface brushing | 1 | 21.6 |
| | indeterminate | eroded and unclassifiable | unclassifiable; severely eroded | trozo | | 1 | 25.5 |
| JPSE Excavation Total | | | | | | 996 | 5,930.4 |

TABLE 6.3. EXCAVATIONS: Operations K24-1, K24-b, H20-1, J23-1, G14-g, and I21-c
analysis by provenience, ceramic phase, ceramic group, type/variety, and vessel form

| Provenience | Ceramic Phase/Period | Ceramic group (surface-based <u>or</u> type-inferred) | Type/Variety (surface-based <u>or</u> form-inferred) | Form | comments | Count | Weight (gm) |
|--|---------------------------|--|---|----------|---|-------|-------------|
| Op K24-1 - Sector Sur <i>(fuera de monticulo)</i> | LC II – Terminal Cl | Traino(?): (form mode) | Traino Brown(?): VU (very severely eroded) | basins | very severely eroded Makan TC rim forms | 2 | 116.1 |
| | indeterminate | eroded & unclassifiable | very severely eroded trozos y migas | trozos | migas y trozos | 17 | 95.4 |
| Op K24-1 - Capa 1 - <i>humus</i> | Terminal Classic | Traino(?): (form mode) | Traino Brown(?): VU (severely eroded, form only) | jar | very severely pitted and eroded | 1 | 47.6 |
| | indeterminate | eroded & unclassifiable | very severely eroded migas y trozos | trozos | trozos y migas | 5 | 42.7 |
| Op K24-1 - Capa 2 | Late Classic II | Encanto | Encanto Striated Brida Variety | jars | trozos | 2 | 35.8 |
| | indeterminate | eroded & unclassifiable | very severely eroded migas y trozos | migas | | 12 | 39.2 |
| Op K24-1 - Capa 2 - <i>relleno, segundo nivel</i> | Early Classic(?) | eroded & unclassifiable | unclassifiable; eroded Chacsik jar rim | jar | eroded ECI-II form | 1 | 36.2 |
| | Middle Preclassic | Joventud(?)- eroded | Joventud Red(?): VU (probable) | jar | jar neck, shoulder to rim; tall, rolled rim | 1 | 79.7 |
| | indeterminate | eroded & unclassifiable | very severely eroded trozos y migas | trozos | | 11 | 78.6 |
| | | | | | | 0 | 0 |
| Op K24-b - Capa 1 | no material found(?) | no sherds recovered(?) | no material collected(?) | - | - | 0 | 0 |
| Op K24-b - Capa 2 - <i>relleno</i> <i>de terraza</i> | Terminal Classic | Encanto | Encanto Striated: Yokat Variety (probable) | jars | 1severely eroded no rims | 10 | 215.8 |
| | indeterminate | eroded & unclassifiable | severely eroded trozos y migas | mixed | trozos y migas | 69 | 370.6 |
| Op K24-b - Capa 3 | no material found(?) | no sherds recovered(?) | no material collected(?) | - | - | 0 | 0 |
| Op K24-b - Capa 4 | Classic, generic | eroded & unclassifiable | severely eroded trozos y migas, Classic period | mixed | | 17 | 84.5 |
| Op K24-b - Capa 5 - <i>relleno</i> | Late Classic II | Encanto | Encanto Striated: Pepino/Yokat Variety | jar | classic Chintok rim mode | 1 | 154.2 |
| | | eroded & unclassifiable | unclassifiable, severely eroded | mixed | severely eroded Chintok modes | 11 | 110.8 |
| | | | | | | 0 | 0 |
| Op H20-1 - Capa 1 <i>humus</i> | indeterminate | eroded & unclassifiable | very, very severely eroded | trozos | very, very severely eroded | 6 | 78.1 |
| | Terminal Classic | Encanto | Encanto Striated: Yokat Variety | jars | very coarse striations; severely eroded | 11 | 48.4 |
| Op H20-1 - Lote 2 - <i>tierra</i> | indeterminate | very severely eroded | very severely eroded trozos | trozos | label reads: "tierra y gravillas" | 9 | 55.8 |
| Op H20-1 - Lote 3 | Late Classic(?) | Encanto/Yokat | very severely eroded large sherd: Encanto Striated | jars | coarse striation = late variant, LC/TC | 13 | 226.6 |
| | | migas | migas erosionadas | migas | | 8 | 38.0 |
| Op H20-1 - Lote 4 | indeterminate | migas, unidentifiable | migas muy erosionadas | migas | | 6 | 29.3 |
| Op H20-1 - Lote 5 – <i>rell.</i> <i>gris</i> | indeterminate | unidentifiable | unidentifiable, migas, very, very, very eroded | migas | | 2 | 31.2 |
| Op H20-1 - Lote 6 | Late Preclassic(?) | very severely eroded | generic Late Preclassic paste+temper combination | ? | fabric= fired paste+temper, appears LPC | 12 | 62.5 |
| | | | | | | 0 | 0 |
| Op J23-1 - Capa 1 - <i>humus</i> | Terminal Classic, late | Pixtun | Pixtun Trickled-grey: Pixtun Variety | jar | rim fragment | 1 | 4.7 |
| | | Cambio | Miseria Appliqués: VU | censer | one solid slab support; braided fillet appliqué | 2 | 72.1 |
| | | Traino | Traino Brown: VU | basin | pronounced T-rim basin rim fragment | 1 | 28.2 |
| | indeterminate | severely eroded mix | Yokat/Encanto Striated: VUs | trocitos | | 205 | 129.9 |
| | Late Preclassic | Sierra (eroded) | Laguna Verde Incised: VU | dish | channel-incision | 1 | 10.2 |
| Op J23-1 - Capa 2 | Xcocom TC | Ticul | Ticul Thin-slate: VU | bowls | | 3 | 19.4 |
| | | | Xul Incised: VU | bowl | | 1 | 8.7 |
| | Terminal Classic | uncertain | possible Fine Grey plate bottom | plate | poss. Fine Grey- TBD | 1 | 8.8 |
| | | uncertain | possible plumbate sherd | trozo | poss. plumbate body sherd | 1 | 11.0 |
| | heavily eroded, charred | large but severely eroded, pitted, & burned | | mixed | late Makan/Xcocom mix; some very coarse striations (5); Makan flanged jar rim | 324 | 2416.9 |

Table 6.3, p. 2 of 3

| | | | | | | | | |
|--|---|-------------------------|--|--|---|--|--------|--------|
| Op J23-1 - Capa 3 (distinguished from following "lot" by some collectors/recorders but not by others) (very mixed lot- core? structural fill?) | Terminal Classic | Ticul | Ticul Thin-slate: VU | dish | flat-bottomed tripod dish/plate | 4 | 60.1 | |
| | | Muna | Muna Slate: VU | bowls | one with classic Northern-style labial panel | 3 | 47.8 | |
| | Late Classic (Bejuco-Makan ceramic phases) | Becanchen | Becanchen Brown: VU | dish | rim, probable tripod dish/plate | 1 | 32.7 | |
| | | | | jar | eroded, but clearly Becanchen, not Traino | 1 | 12.0 | |
| | | Encanto | Encanto Striated: VU | basin | | 1 | 25.7 | |
| | | | Encanto Striated: Acahuil Variety | jar | large, but very severely eroded | 5 | 170.5 | |
| | | Saxche | Saxche Orange-polychrome: VU | bowl | distinctive rime | 1 | 39.4 | |
| | | | Saxche Orange-polychrome: Dzaptun Variety | dish | very severely eroded | 1 | 14.4 | |
| | | Triunfo | Triunfo Striated: Gineres Variety | jars | distinctive medial-ridge dish, low silhouette profile; probable ring base | 9 | 324.3 | |
| | | Dos Arroyos | DAOP: Dos Arroyos Variety | bowls | two excellent diagnostic rims | 56 | 1063.0 | |
| | Early Classic | Balanza | Balanza Black: Balanza Variety | bowls | one basal flanged bowl; one everted rim | 13 | 267.9 | |
| | | | Lucha Incised: Lucha Variety | dish | hemispherical bowl, at least two | 7 | 82.7 | |
| | | Aguila | Aguila Orange: VU | trocitos | sharp incision | 1 | 15.0 | |
| | | | | bowls | jars present | 4 | 26.3 | |
| | | eroded & unclassifiable | unclassifiable: brown, red, or orange basin | basin | deep, heavy-walled bowl or basin | 3 | 167.8 | |
| | | | | basin | diagnostic ECI basin rim mode, no surface | 1 | 109.0 | |
| | | Maxcanu | Tacopate Trickled Brown: VU | basin | | 3 | 196.1 | |
| | | | | jar | | 7 | 54.9 | |
| | Late Preclassic | Sierra | Sierra Red: VU | mixed | many dish and bowl, some jar trozos | 26 | 468.2 | |
| | | | | jars | tall-necked narrow-mouthed jar | 1 | 51.5 | |
| | | | Repasto Black-on-red: Repasto Variety | trocitos | | 2 | 8.6 | |
| | | | Tipikal Red-on-striated: VU | dish | trickle-effect dish bottoms | 6 | 205.5 | |
| | | Polvero | Polvero Black: VU | unclear | body sherd, possibly from jar neck | 1 | 4.1 | |
| | | Sapote | Sapote Striated: Sapote or Rastro Variety | tecomate | | 1 | 17.0 | |
| | indeterminate | Paila/Achiotes | Paila or Achiotes Unslipped(?): VU | jars | | 17 | 314.0 | |
| Op J23-1 - Capa 3 – relleno (distinguished from foregoing "lot" by some collectors/recorders but not by others) | Middle Preclassic | Joventud | Joventud Red: VU | jar | | 1 | 43.6 | |
| | | | | jars | | 2 | 24.7 | |
| | | Chunhinta | Chunhinta Black: VU | mixed | bowl and dish fragments; late MPC | 7 | 313.3 | |
| | | eroded & unclassifiable | indeterminate; eroded and unclassifiable | trozos | | 1 | 10.2 | |
| | Late-Terminal Classic | Terminal Classic | Altar (Fine Orange) | Tumba Black-on-orange: Incised Variety | vase | 69 | 589.8 | |
| | | | | | Fine Orange groove-incised barrel-vase rim | 1 | 5.8 | |
| | | Sayan | Sayan Red-on-cream | bowl | severely eroded bowl sherd | 1 | 5.7 | |
| | | | | basins | | 6 | 156.2 | |
| | | Traino | Traino Brown: VU | jars | | 66 | 51.6 | |
| | | | | jar | severely eroded jar rim | 1 | 22.6 | |
| | | Becanchen | Becanchen Brown: VU | basin | late Becanchen mode; early Makan | 5 | 189.3 | |
| | | | | dish | deep platter or dish, ring base | 1 | 58.3 | |
| | | Encanto | Encanto Striated: VU | jars | medium-medium coarse weight striations | 33 | 664.5 | |
| | | Tecolote or Paaktzatz | Tecolote Composite or Paaktzatz Modeled (cache?) | effigy | 2/3rds hollow, modeled/punctate búho head | 1 | 21.3 | |
| | Early Classic | Maxcanu(?) | Tacopate Trickled Brown(?) | basin | very severely eroded | 1 | 32.4 | |
| | | Balanza | Balanza Black: VU basal flanged bowl fragment | bfbowl | very heavily eroded | 1 | 6.0 | |
| | | Sierra | Sierra Red: Sierra Variety | jars | flange fragment, probably Chacsik phase | 2 | 19.2 | |
| | | | Sapote | jar | severely eroded | 4 | 100.8 | |
| | Middle Preclassic | Joventud | Joventud Red: Joventud Variety | dish | | 1 | 8.8 | |
| | | Chunhinta | Chunhinta Black: Chunhinta Variety | dish | heavily eroded but nice waxy "feel" | 1 | 42.5 | |
| | | LC II & LPC | eroded & unclassifiable | unclassifiable, severely eroded mix | mixed | very severely eroded sherds | 83 | 887.6 |
| | | indeterminate | eroded & unclassifiable | eroded and unclassifiable | mixed | some Becanchen jar body sherds present | 113 | 1006.2 |
| Op J23-1 - Capa 4 (Piedras grandes) | Initial Early Classic | Triunfo | Triunfo Striated: Gineres Variety | jars | VERY nice, "classic" rims & striations | 18 | 337.5 | |
| | | Dos Arroyos | Dos Arroyos Orange-polychrome: VU | bowl | | 2 | 27.7 | |
| | | Maxcanu | Tacopate Trickled-brown: VU | jar | badly eroded | 1 | 16.0 | |
| | | Aguila | Aguila Orange: Aguila Variety | jar | "Protoclassic" form modes | 1 | 6.2 | |
| | Terminal Preclassic | Polvero | Polvero Black: VU | jar | | 1 | 11.4 | |

Table 6.3, p. 3 of 3

| | | | | | | | |
|--|--|---|--|---|---|-------|----------|
| Op J23-1 - Capa 4 | Middle Preclassic | Joventud | Joventud Red: VU | mixed | dish and bowl fragments | 6 | 129.9 |
| | | Sapote | Sapote Striated: Añejo Variety | jar | | 16 | 222.6 |
| Op J23-1 - Capa 5 | Early Classic | Triunfo/Encanto | Triunfo/Encanto, early Striated: Acahuall(?) Variety | jar | Middle Classic striation mode; bodies only | 2 | 13.1 |
| | | Dos Arroyos | Dos Arroyos Orange-polychrome: VU | bfbowl | moderately eroded sherds | 2 | 26.8 |
| | Protoclassic(?) | | Actuncan Orange-polychrome: VU | bowls | tiny, very heavily eroded rim-sherds | 2 | 8.5 |
| | Xanaba | Dzalpach Composite: DV (Usil Flaky Ware) | jar | strong diagnostic of northern plains region | 1 | 39.0 | |
| | | Xanaba Red: XV (Usil Flaky Ware) (same jar??) | jar | strong diagnostic of northern plains region | 1 | 26.2 | |
| | Late Preclassic, early possible MPC traces | Sapote | Sapote Striated: Sapote/Añejo Varieties mix | jars | intergrading mix, impossible to distinguish | 104 | 1056.3 |
| | | | Sapote Striated: VU- sherd disk | disk | nicely cut sherd disk, complete, Sapote Stri. | 1 | 18.7 |
| | | Achiotes | Achiotes Unslipped: VU | jars | likely intergrade with Sapote type | 4 | 39.5 |
| | | Sierra | Sierra Red: Sierra Variety | dishes | wavy rim mode, early Late Preclassic | 16 | 145.8 |
| | | Chunhinta/Polvero | Preclassic blackware, type/group unidentifiable | jar | | 1 | 13.3 |
| | | Joventud | Joventud Red: VU | mixed | jar; dishes | 7 | 115.7 |
| | | Joventud-Sierra | Joventud/Sierra Red admix: VsU | mixed | variegated red-black-cream PC redware | 16 | 99.9 |
| | | eroded, unclassifiable | trozos, trocitos, y migas | mixed | moderately eroded, but unclassifiable | 94 | 410.5 |
| Op J23-1 - Capa 6 | indeterminate | stucco chunk, painted | stuccos chunk, modeled, painted feathers | estuco | modeled feathers, painted red, blue, white | 0 | 0 |
| | | Sierra | Sierra Red: VU; waxy variety, early vessel/rim form | dish | very waxy slip | 1 | 19.3 |
| | very early Late Preclassic- very late Middle Preclassic (ca. 400-200 B.C.E.) | Joventud | Joventud Red: VU | dish | very nice quality Joventud | 10 | 68.1 |
| | | | | jar | | 4 | 92.1 |
| | | | | mixed | | 14 | 115.5 |
| | | | | disk | about ¼ sherd disk, good Joventud Red | 1 | 13.3 |
| | | Chunhinta | Chunhinta Black: Chunhinta Variety | dish | | 7 | 65.9 |
| | | Sapote | Sapote Striated: Añejo Variety | jar | very fine striations, not brushed | 62 | 574.3 |
| | | Achiotes/Paila | Achiotes/Paila(?) Unslipped | jar | | 8 | 69.9 |
| Op G14-g - Capa 1 (humus) | indeterminate | indeterminate eroded | heavily eroded sherds | mixed | | 0 | 0 |
| | | | | | | 3 | 17.1 |
| | | | | | | 7 | 56.8 |
| Op G14-g - Capa 3 (relleno) | Classic | heavily eroded sherds | indeterminate, very severely eroded | mixed | two coarse-striated jar bodies present | 4 | 56.8 |
| | | | | | | | |
| Op I21-c - Capa 1 | no material found(?) | no sherds recovered(?) | no material collected(?) | - | - | 0 | 0 |
| Op I21-c - Capa 2 | indeterminate | eroded & unclassifiable | unidentifiable crumbs | trocitos | | 3 | 15.2 |
| Op I21-c - Capa 3 | indeterminate | indeterminate | eroded and unidentifiable | trocito | | 1 | 5.7 |
| Ops K24-1, K24-b, H20-1, J23-1, G14-g, I21-c | | | | | | 1,764 | 16,766.8 |

| TABLE 6.4. EXCAVATIONS: Operations Altar 1, Altar 2, Altares, and H24-e analysis by provenience, ceramic phase, ceramic group, type/variety, and vessel form | | | | | | | |
|--|----------------------|--|---|---------------|---|----------------------------|-------------|
| Provenience | Ceramic Phase/Period | Ceramic group (surface-based or type-inferred) | Type/Variety (surface-based or form-inferred) | Form | comments | Count | Weight (gm) |
| Op Altar 1: surface around monument/superfice cerca monumento | Early Classic | Chintok-Xcocom | severely eroded forms | indeterminate | basin | Chintok-Xcocom Traino form | 1 124.5 |
| | | EC Triunfo group | Triunfo Striated: Variety Indeterminate | jar | | 1 23.1 | |
| | | indeterminate | indeterminate EC slipped jar rim | jar | indeterminate EC slipped jar rim | 1 27.6 | |
| | | indeterminate | EC polychrome dish/bowl sherd | bowl | | 1 17.0 | |
| | | indeterminate | indeterminate basal-flange dish sherd | dish | basal flange sherd | 1 24.5 | |
| | Preclassic, Late | redware | indeterminate Late Preclassic dish sherd | dish | | 1 19.3 | |
| | Preclassic | eroded & unclassifiable | indeterminate/unclassifiable | mixed | | 2 31.4 | |
| | indeterminate | eroded & unclassifiable | indeterminate, severely eroded | mixed | | 46 287.7 | |
| Op Altar 1: Capa I | LC II-III | very severely eroded | medium & coarse-striated jar sherds (late?) | mixed | striation could be Late or Terminal Classic; late Makan Traino jar & basin rim modes | 172 | 2133.9 |
| Op Altar 1: Capa II | LC II-III | very severely eroded | Encanto Striated: Brida Variety; indeterminate | jars | mixed medium-coarse jar bodies; 1 rim | 51 | 652.1 |
| | Early Classic | eroded & unclassifiable | DAOP basal flanged bowl sherd | bowl | | 1 34.4 | |
| | Middle Preclassic | Joventud | Joventud Red: VU, very heavily eroded | ? | very heavily eroded but characteristic slip | 1 9.5 | |
| | indeterminate | severely eroded | indeterminate, eroded; medium-coarse striated present | jars+ | three medium-coarse striated sherds | 16 195.4 | |
| Op Altar 1: Capa III | Late Classic II | Encanto | Encanto Striated: VU- Makan-Chintok variety, trozos | jar | medium striated jar; Makan-Chintok, trozos | 6 73.6 | |
| | indeterminate | eroded & unclassifiable | mixed trozos | trozos | | 5 46.5 | |
| Op Altar 2- superficie alrededor de Altar 2 | LCII-TC | Encanto | Encanto Striated- very heavily eroded LCII-TC bodies | jars | very heavily eroded late Makan bodies | 67 432.0 | |
| | | Traino(?) | Traino(?) Brown- very dark brown jar sherds- eroded! | jars | very heavily/severely eroded dark brown | 8 74.0 | |
| Op Altar 2: Capa II | indeterminate | estuco | stucco element, architectonic | - | white painted | 1 16.4 | |
| Op Altar 2: Capa III | LPC & EC mix | very severely eroded | indeterminate; some large sherd, mostly migas/trozos | mixed | very severely eroded lot; some Polvero | 216 | 2316.7 |
| | Terminal Classic | Encanto | Encanto Striated: Yokat Variety | jar | very large body sherd, very coarsely striated | 1 300.1 | |
| | Early Classic | Dos Arroyos | DAPO: VU | bowl | basal flanged bowl | 1 19.1 | |
| | Late Preclassic | Sierra | Sierra Red; Celerain Notched; Laguna Verde Incised | mixed | additional Sierra & Polvero trozos | 20 260.2 | |
| | Middle Preclassic | Joventud | Guitara Incised: Guitara Variety | dishes | | 2 53.4 | |
| | | | Joventud Red: VU | dishes | | 3 114.7 | |
| | | Sapote | Sapote Striated: Añejo Variety | jars | one very large, thick jar rim bodies & rims; finely brushed striations | 1 112.7 70 1199.1 | |
| Op Altar 2: Capa IV | Late Classic | Encanto | Encanto Striated: Brida Variety | jar | | 1 15.0 | |
| | LC artifact | Becanchen | Becanchen brownware jar sherd, modified | disk | ½ cut and abraded perforated sherd disk, ½ disk | 1 9.2 | |
| | Early Classic | indeterminate | unclassifiable EC basin rim; severely eroded | basin | very severely eroded | 1 40.4 | |
| | Late Preclassic | Sierra | Sierra Red: Sierra Variety | jars | very, very severely eroded trozos y migas; few diagnostics, many lightly striated jar bodies | 4 128.2 | |
| | | | Laguna Verde Incised: Laguna Verde Variety | dishes | | 3 30.5 | |
| | | Sapote & Sierra | Sapote Striated; Sierra Red | mixed | | 1 19.9 | |
| | | Joventud | Joventud | mixed | | 138 1306.7 | |
| | Middle Preclassic | Muxanal Red-on-cream: Muxanal Variety | Muxanal Red-on-cream: Muxanal Variety | pan | classic/standard Muxanal type & form | 1 29.3 | |
| | | | Achiotes Unslipped: VU | jars | unusually large to very large sherd, but very, very heavily eroded and mostly unclassifiable with certainty | 9 420.8 | |
| | | Sapote | Sapote Striated: Añejo Variety | jar | | 5 303.6 | |
| | | Chunhinta | Chunhinta Black: VU | pans | | 2 53.4 | |
| | | indeterminate | unclassifiable, very heavily eroded | | | 79 946.0 | |

Table 6.4, p. 2 of 3

| | | | | | | | |
|----------------------|--|---------------------------------------|---|--|---|-----|--------|
| Op Altares : Capa I | Terminal Classic | Encanto | Encanto Striated: Yokat(?) Variety probable | jars | very coarsely striated jar bodies; no rims | 3 | 36.4 |
| | indeterminate | eroded & unclassifiable | unclassifiable trozos y migas | trozos | very, very, very severely eroded sherds | 23 | 98.2 |
| Op Altares : Capa II | Late Classic | heavily eroded | heavily eroded, medium to medium-coarse striated | jars + | medium to medium-coarse striated sherds | 46 | 467.0 |
| | | heavily eroded | heavily eroded slipped jar and plate forms, bodies only | mixed | | 8 | 51.8 |
| | | Saxche/Juleki | heavily eroded Saxche or Juleki polychrome | dish | | 1 | 7.4 |
| Op Altares: Capa III | Late Classic | Encanto | Encanto Striated: Brida Variety | jars | | 11 | 186.0 |
| | | Saxche | Saxche Orange-polychrome: VU | platter | | 1 | 34.6 |
| | | Tinaja(?) | redware dish(es), LCII form, severely eroded | dishes | probably LCII Tinaja tripod dishes | 2 | 41.1 |
| | Early Classic(?) | Maxcanu | Tacopate Trickled-brown: VU | jar | these could be either very early, essentially "Protoclassic"; or very late & so predecessors to Becanchen Brown | 6 | 36.1 |
| | | | Tacopate Trickled-brown: VU | basin | | 3 | 98.8 |
| | Late Preclassic | Sapote | Sapote Striated: Sapote or Rastro Variety | jar | | 5 | 121.6 |
| | | Sierra/Joventud | generic Preclassic reds, intergrading Sierra-Joventud | mixed | too generic and heavily eroded for ID | 7 | 38.4 |
| | indeterminate | eroded & unclassifiable | eroded and unclassifiable; heavily eroded | trozos | medium & small to large sherds, but too severely eroded for identification | 124 | 885.4 |
| Op H24-e Capa 1 | Late Preclassic(?) | eroded & indeterminate | severely eroded crumb/miga | miga | probably Late Preclassic based on fabric | 1 | 2.3 |
| Op H24-e Capa 2 | Late Classic, generic | eroded & unclassifiable | unclassifiable, severely eroded generic LC modes | trozos | | 5 | 34.2 |
| | indeterminate | stucco chunk | painted (red and blue) stucco chunk | estuco | red & blue painted chunk (1:18.4 gm) | 0 | 0.0 |
| Op H24-e Capa 3 | Middle Preclassic | Joventud | Joventud Red crumbs/migas | migas | distinctive surface finish attributes | 4 | 6.7 |
| | | indeterminate striated | very severely eroded unslipped-striated bodies | trocitos | | 9 | 58.3 |
| | | Chunhinta(?) | groove-incised cream-mottled blackware type | bowl | | 5 | 9.9 |
| | indeterminate | eroded & unclassifiable | severely eroded migas y trozos | mixed | | 4 | 25.2 |
| Op H24-e Capa 3A | (Middle) Preclassic | mixed generics | generic Middle Preclassic unslipped-striated | jars | fine-striated jar bodies | 4 | 11.1 |
| | | | generic Middle Preclassic unslipped-plain | jars | | 2 | 3.3 |
| | | | heavily mottled and clouded orange red trozos | trozos | | 4 | 32.1 |
| Op H24-e Capa 4 | Acachen, solid (but heavily eroded) | Joventud | Joventud Red: Varieties Unspecified | mixed | dishes & jars; northern or western linked, <u>not</u> southern oriented! | 9 | 37.4 |
| | | Achiotes/Sapote | mixed unslipped plain and unslipped striated bodies | jars | | 16 | 130.6 |
| | | mottled cream/black | heavily mottled and clouded cream/black type | trozos | | 6 | 23.6 |
| Op H24-e Capa 5 | Protoclassic | Actuncan | Actuncan Orange-polychrome: VU | bfbowl | rim and flange turnout | 1 | 6.5 |
| | Middle Preclassic | Joventud | Joventud Red: VU | mixed | | 3 | 53.8 |
| | Preclassic, generic | unclassifiable/eroded | unclassifiable; generic Middle Preclassic form modes | migas | | 18 | 90.3 |
| Op H24-e Capa 5A | Acachen | generic crumbs/migas | heavily eroded generic Middle Preclassic crumbs | migas | | 6 | 33.2 |
| Op H24-e Capa 6 (VI) | Preclassic, Terminal | Polvero(?) | preslip-incised orange mottled Protoclassic black | bowl | | 1 | 42.3 |
| | LPC/Pakluum, late | Sapote | Sapote Striated: Sapote or Rastro Variety | jar | beautiful, excellent examples | 17 | 174.5 |
| | | Polvero | Polvero Black: Notched-angle Variety | dish | excellent specimen | 1 | 17.9 |
| | LPC/Pakluum, early | Polvero | Polvero Black: VU (waxy) | mixed | early LPC/Pakluum Polvero | 9 | 207.0 |
| | | Achiotes/Paila | Achiotes/Paila Unslipped: VU | bowl | very small bowl- probable cache vessel | 3 | 41.1 |
| | | Sierra | Sierra Red: VU | mixed | trozos y migas; waxy Sierra = early facet | 23 | 193.2 |
| | Sapote | Sapote Striated: VU, (trozos y migas) | jars | very fine line striations, but not brushed | | 106 | 1010.1 |
| | Acachen | Chunhinta/Achiotes | Chunhinta Black: VU/black-smudged Achiotes Unslpd | jar | strap handle from jar | 1 | 34.2 |
| | Bejuco | Saxche | Saxche Orange-polychrome: Palmar Variety | bowls | bowls or vases; seem out of place here | 4 | 150.0 |
| Op H24-e Capa VI | Early Classic (Initial E.C. or "Protoclassic") | Triunfo | Triunfo Striated: VU | jar | medium light weight striations | 2 | 68.2 |
| | | Maxcanu | Maxcanu Type | jar | | 1 | 55.4 |
| | | | | basin | | 2 | 133.9 |
| | Terminal Preclassic | Redware | thick-walled LPC type | jar | very thick walls; thick red slips | 2 | 66.5 |
| | | | Trickled Black on Streaky Red | jar | very thick walls; streaky red slips | 2 | 267.6 |
| | | Brownware | thick-walled LPC type | jar | very thick walls; thick, crazed brown slip | 1 | 136.4 |

Table 6.4, p. 3 of 3

| | | | | | | | |
|---|---------------------|------------------------|---|--------|---|------------|-----------------|
| Op H24-e Capa VII | Terminal Preclassic | Sierra(?) | Terminal Preclassic redware, polished red | dish | diagnostic Terminal Preclassic form | 1 | 38.8 |
| | Middle-Late PreCl | Sapote | Sapote Striated: Añejo(?) Variety | jars | very fine, light striations | 79 | 810.0 |
| | | Achiotes(?) | Achiotes Unslipped: VU | jar | | 9 | 138.1 |
| | Middle Preclassic | Joventud | Joventud Red: VU | mixed | mottled/intergrades with black and cream | 8 | 127.1 |
| | | Chunhinta | Chunhinta Black: VU | jars | mottled/intergrades with red and cream | 8 | 95.3 |
| Op H24-e Capa VIII | Middle Preclassic | Chunhinta | Chunhinta Black: VU | dishes | all body sherds, heavily mottled | 6 | 21.8 |
| | | Joventud | Joventud Red: VU | mixed | dishes and jars; one rim; all eroded | 10 | 59.7 |
| | | Achiotes | Achiotes Unslipped: VU | jar | | 4 | 36.3 |
| | | Sapote | Sapote Striated: Añejo Variety | jar | very fine, light surface brushing | 7 | 38.8 |
| | | eroded; unclassifiable | unclassifiable; eroded | disk | ground, discoidal sherd disk/counter | 1 | 8.5 |
| | ? | mottled orange black | unclassified; mottled orange black trozo | dish | solid, tetrapod(?) support (Terminal PCl) | 1 | 3.9 |
| Op H24-e Capa IX | Acachen | Chunhinta | Chunhinta Black: VU | jar | | 1 | 3.2 |
| Ops Altar 1, Altar 2, Altares, H24-e | | | | | | 899 | 20,694.4 |

TABLE 6.5. MISCELLANEOUS SURFACE SAMPLES
analysis by provenience, ceramic phase, ceramic group, type/variety, and vessel form

| Provenience | Ceramic Phase/Period | Ceramic group (surface-based <u>or</u> type-inferred) | Type/Variety (surface-based <u>or</u> form-inferred) | Form | comments | Count | Weight (gm) |
|--|----------------------|---|---|--------|---|-----------|----------------|
| Material hallado en GOP al Oeste del grupo sureste de Chactún, sobre la plaza (N18.71828°, W89.52793°) | indeterminate | indeterminate trozos | eroded and unclassifiable basin, dish, and jar bodies | mixed | | 6 | 82.9 |
| | Makan | Encanto | Encanto Striated: Brida Variety | jars | | 8 | 227.9 |
| Chactún, Grupo Sureste: Estr. B10 fachada norte, cala de saqueo | Xcocom TC | Altar | Altar Orange: Altar Variety (Fine Orange Paste-Ware) | bowl | about 1/3rd bowl; probable burial vessel | 2 | 179.7 |
| | | Traino | Traino Brown: Lodo Variety | basin | fine diagnostic basin rim-mode | 1 | 193.0 |
| Chactún, grupo orientado al patio, sobre patio (N18.72°, W89.53°) | Xcocom TC | Altar | Trapiche Incised: Trapiche Variety | bowl | exterior decorative incisions | 1 | 6.0 |
| | | Sabancuy | Sabancuy Red: Sabancuy Variety | dish | tripod dish, cascabel supports | 3 | 15.0 |
| | | Encanto | Encanto Striated: Yokat Variety | jars | jar bodies and one rims, coarse striations | 7 | 199.6 |
| | indeterminate | eroded & unclassifiable | severely eroded trozos | trozos | | 11 | 139.6 |
| Grupo H24-e, Juego de Pelota, monumento, esquina NW | Makan | Encanto | Encanto Striated: Brida Variety | jar | | 5 | 33.1 |
| Gpo H24-e, Juego de Pelota, esquina SW, superficie | Xcocom | Altar | Pabellon Molded-Carved: Pabellon Variety | bowl | nice rim fragment, partial design | 1 | 5.2 |
| | | Dolorido | Dolorido Cream-polychrome: Dolorido Variety | bowl | chip from rim fragment | 1 | 2.5 |
| | | mezcla | unclassifiable; severely eroded; mezcla, trocitos | mixed | five striated bodies; one "Traino" rim frag | 25 | 196.0 |
| Miscellaneous Surface Samples | | | | | | 71 | 1,280.5 |

TABLE 6.6. LITHICS
Pedernal/Chert and other lithic materials recovered by provenience, context when possible, material, and artifact type

| Provenience | Context | Material | Artifact Type | Count | Weight (gm) |
|-------------|------------------------------|----------------|--|-------|-------------|
| WPT 053 D | | chert/pedernal | thumbnail reduction flake edge-scrappers, heavily edge-worn | 2 | 9.1 |
| WPT 079 A | <i>saqueo</i> | chert/pedernal | small, light secondary and reduction flake edge-tools | 3 | 18.3 |
| WPT 081 A | | chert/pedernal | heavily edge-chewed expedient reduction flake edge/end scraper | 1 | 17.7 |
| WPT 082 A | | chert/pedernal | biface bit-end, use-snapped, recycled as maul | 1 | 165.5 |
| WPT 097 B | <i>conjunto sobre pltrma</i> | chert/pedernal | nice biface, butt-end tip only, bending usage snap-fracture | 1 | 96.4 |
| | | obsidian | medial microliths (< 0.1 gm) | 2 | 0.1 |
| WPT 136 C | | chert/pedernal | ridge-back secondary decortication side-scraper, heavily edge-worn | 1 | 26.0 |
| WPT 147 C | | chalcedony | reduction flake razor-edge scraper, heavily use-chewed edges | 1 | 12.6 |
| | | chert/pedernal | large, very heavy bifacial maul, broken off bit end | 1 | 400.8 |
| WPT 152 A | <i>plaza norte</i> | chert/pedernal | reduction flake end-graver and side-scraper | 1 | 26.30 |
| WPT 153 B | | chert/pedernal | primary decortication flake side-scraper | 1 | 27.2 |
| WPT 166 A | <i>plaza</i> | chert/pedernal | expedient reduction flake edge-scraper | 1 | 3.8 |
| | | | expedient reduction flake edge-scraper | 1 | 39.4 |
| | | | reduction flake side/end scraper, heavily use-worn | 1 | 41.7 |
| WPT 176 C | | chert/pedernal | chert spall | 1 | 2.8 |
| WPT 177 C | | chert/pedernal | 45° angle concave face secondary reduction flake edge-scraper | 1 | 43.9 |
| | | | block shatter | 1 | 2.9 |
| WPT 181 C | | chalcedony | expedient ridge-backed reduction flake edge-scraper and burin- nice! | 1 | 47.9 |
| WPT 1838 | | chert/pedernal | mixed reduction/shatter flakes | 7 | 188.0 |
| WPT 184 B | <i>(2x2 muestro)</i> | chert/pedernal | fine blade-flakes | 2 | 1.7 |
| | | chert/pedernal | mixed reduction flake-tools, some burinated, lightly worn; many "thumbnails" | 20 | 191.1 |
| WPT 185 A | <i>plaza</i> | chert/pedernal | large, heavy secondary decortication flake side-scraper | 1 | 87.10 |
| WPT 185 B | <i>(2x2 cuadro)</i> | chert/pedernal | longitudinal secondary decortication flake, expedient side-scraper | 1 | 23.5 |
| | | chalcedony | edge-worn blade-flake, very light, fine tool | 1 | 2.4 |
| WPT 185 C | | chert/pedernal | small, edge-worn expedient reduction flakes and chips | 7 | 23.7 |
| WPT 187 A | <i>entre montics</i> | chert/pedernal | small reduction flake side-scraper, heavily use-chewed edges | 1 | 7.8 |
| WPT 192 B | | chert/pedernal | blade-flake distals | 2 | 1.9 |
| WPT 198 B | | chert/pedernal | small reduction flake edge-tools | 3 | 12.9 |
| WPT 201 C | | chalcedony | longitudinal ridged edge-scraper | 1 | 31.0 |
| | | | reduction thumbnail wafer-flake, expedient edge-scraper | 1 | 6.6 |
| WPT 212 B | | chert/pedernal | expedient flake edge-tool; one primary decortication; one reduction flake | 2 | 34.4 |
| WPT 217 B | | chert/pedernal | expanding reduction flake proximal, combination side and end-scraper | 1 | 35.4 |
| WPT 231 A | <i>plaza</i> | chert/pedernal | cream chert biface, butt-end, about two-thirds-40%; bending fracture break | 1 | 222.7 |
| WPT 239 C | | chert/pedernal | classic PC "twisted biface" | 1 | 127.4 |
| | | | thumbnail reduction flake | 1 | 2.0 |
| WPT 250 B | | chert/pedernal | large blade-flake medial segment, razor edges, heavily use-worn | 1 | 5.7 |
| WPT 263 B | | chert/pedernal | blade-flake | 1 | 1.3 |
| WPT 305 C | | obsidian | pressure blade, proximal two-thirds, distal point missing | 1 | 1.3 |
| WPT 323 C | <i>plaza</i> | obsidian | nodular biface; mini-bifacial core hammer-scraper-chopper | 1 | 40.40 |
| WPT 366 B | | chert/pedernal | heavy planning tool; fully reduced core-based plane, use-worn along lateral edges & nose | 1 | 147.70 |

Table 6.6, p. 2 of 3

| | | | | | |
|--|-----------|------------------------|---|-----------|----------------|
| WPT 368 B | | chalcedony | expedient edge-razor, reduction flake | 1 | 18.6 |
| WPT 398 C | | chert/pedernal | large, heavy, edge-retouched biface, not a hoe | 1 | 527.2 |
| WPT 403 B | | chert/pedernal | bitt-end, biface, diagonal fracture | 1 | 134.50 |
| Chactún, Grupo Sureste: Est. B10 | (Xcocom) | chert/pedernal | greyish cream/white bifacial celt proximal third; use-broken | 1 | 113.2 |
| Chactún-Grupo orientado al patio- sobre patio (N18.72°, W89.53°) | (Xcocom) | chert/pedernal | “coin”-size reduction flake edge-scraper | 1 | 6.4 |
| | | | | 1 | 3.8 |
| WPT TOTALS | | | | 86 | 2,982.1 |
| <hr/> | | | | | |
| Op H24-e | Capa 1 | chert/pedernal | bifacial laurel leaf dagger, fine, broken off tip only | 1 | 28.2 |
| | Capa 2 | chalcedony, clear pink | expedient edge-scraper, reduction flake, pink-tinged clear chalcedony | 1 | 25.2 |
| | Capa 3A | chert/pedernal | secondary decortication flake wedge side-scraper | 1 | 65.9 |
| | | | pressure blade-flake, proximal, heavily utilized | 1 | 1.6 |
| | Capa VII | chert/pedernal | reduction flake proximal thumbnail-scraper, side and edge-chewed/worn | 1 | 2.5 |
| | | chalcedony/calcedonia | rectangular reduction flake side/end-scraper | 1 | 26.5 |
| | Capa VIII | chalcedony/calcedonia | perfect chalcedony reduction flake turtleback side-scraper | 1 | 18.5 |
| | | | chalcedonous chert wafer-reduction flake side-scraper | 1 | 3.8 |
| | | | quartered nodular pridetic convex-edge side-scraper | 1 | 20.2 |
| Op JPNE | Capa 03 | chert/pedernal | reduction flake, expedient edge-scraper | 1 | 4.9 |
| | | | thumbnail-flake (reduc) edge-scraper | 1 | 13.5 |
| | Capa IV | chert/pedernal | reduction flake graver | 1 | 3.85 |
| | | | side-scraper on flake proximal | 1 | 6.20 |
| | Capa VI | chalcedonous quartzite | secondary decortication flake side-scraper | 1 | 111.65 |
| | | chert/pedernal | reduction flake edge-scraper | 1 | 35.80 |
| | | chert/pedernal | heavy secondary reduction flake side-scraper | 1 | 89.60 |
| | | marine shell | marine pelecypod valve lip-fragment, possibly <i>Spondylus</i> (?) | 1 | 3.8 |
| | Capa VIII | cherts/pedernal | rectangular, patinated, cherty limestone nodule; smoothing/polishing stone | 1 | 31.9 |
| | Capa X | obsidian | plunging error distal, blade-flake: 2.46 cm x 0.73 cm- El Chayal (visual) | 1 | 0.7 |
| | | obsidian | complete tiny blade-flake: 2.40 cm x 0.78 cm- El Chayal (visual) | 1 | 0.4 |
| | | chalcedony/calcedonia | primary decortication nodular chunk, block planer/scaper | 1 | 16.6 |
| | | chalcedony/calcedonia | reduced nodule block-pridetic, steep-faced planer | 1 | 29.8 |
| | | shell, marine(?) | marine shell sliver (tiny) | 1 | 0.1 |
| | | shell, nacreous | nacreous shell fragment, marine shell(?) (< 0.1gm) | 0 | 0 |
| Op JPSE | Capa VI | chert/pedernal | water-tumbled thumbnail polishing stone | 1 | 5.4 |
| | | | nodular hammerstone, broken, about 2/3rds | 1 | 38.8 |
| | | | thumbnail reduction flake end-scraper | 1 | 4.2 |
| | | | primary decort thumbnail edge-scraper | 1 | 3.8 |
| | | | expedient reduction edge-scraper, worn | 1 | 22.2 |
| | Capa IX | chalcedony/calcedonia | flat, rectangular nodule, heavily patinated, edge-reduced chopping tool | 1 | 297.1 |
| | | | small rectangular nodule, flat-faced planer/smooth/polisher | 1 | 19.3 |
| Op K24-1 | Capa 1 | chert/pedernal | mixed reduction flakes; visible expedient edge-scraper used wear on several | 5 | 58.7 |
| | Capa 2 | chert/pedernal | small, “twisted” biface, complete, Preclassic diagnostic | 1 | 106.9 |
| | | | heavy dome-scraper, recycled horsehoof core | 1 | 258.9 |
| | | | expedient edge-worn reduction flakes | 4 | 52.6 |
| | | | mixed medium-size and large reduction and primary reduction flakes | 14 | 224.1 |
| | | | reduction debris/debitage; block-shatter, flakes, and chips | 35 | 130.7 |

Table 6.6, p. 3 of 3

| | | | | | |
|--------------------------|---------------------|---|--|------------|----------------|
| Op K24-b | Capa 2 | chert/pedernal | primary reduction flake expedient side-scraper | 1 | 40.2 |
| | | | large, elongate biface preform midsection, snapped off at both ends | 1 | 140.2 |
| | | | mixed reduction flakes, some edge-worn expedient tools; most debitage debris | 31 | 356.5 |
| | Capa 3 | chalcedony/calcedonia | discoidal primary reduction flake, expedient edge-scraper | 1 | 8.2 |
| Op H20-1 | Capa 3 | chert/pedernal | reduction flake distal, expedient edge-scraper | 1 | 5.0 |
| | Capa 4 | chert/pedernal | “coin”-size reduction edge-scrapers | 5 | 34.8 |
| Lote 2 | chert/pedernal | very large, heavy biface bit fragment, use-snapped/broken | 1 | 310.1 | |
| Lote 6 | chert/pedernal | expedient pridetic edge-scraper, heavily use worn | 1 | 38.0 | |
| Op J23-1 | Capa 1 (humus) | obsidian | pressure blade medial segment, severely use-chewed edges | 1 | 0.5 |
| | | chert/pedernal | classic/stereotypic Chichén Itzá bifacial heavy dart point, chocolate brown | 1 | 20.7 |
| | | | narrow blade-flake medial segment, edge worn | 1 | 0.5 |
| | | | heavy, faceted-ridgeback longitudinal rectangular edge-scraper | 1 | 56.3 |
| | Capa 2 | chert/pedernal | block and flake reduction or use-breakage debris | 23 | 119.3 |
| | | | nodular core-based bifacial chopper | 1 | 186.2 |
| | | | large secondary decort “wafer” edge-scraper | 1 | 77.3 |
| | | | reduction flake edge-scraper | 1 | 16.1 |
| | | | reduction flake-based drill | 1 | 7.9 |
| | | | reduc-based “thumbnail” gravers | 4 | 10.4 |
| Op I21-c | Capa 3 (relleno) | chert/pedernal | combo smoother, double-ended graver, reduc | 1 | 18.3 |
| | | | expedient edge-scrapers; one with “beak” (graver/drill) | 6 | 86.4 |
| | | | chipped and ground hoe bit-end, use-snapped; MPC form | 1 | 208.8 |
| | | | cherty limestone narrow biface bitt, bending breakage fracture toward butt end | 1 | 190.5 |
| | | | cherty limestone reduction flake-based rectangular sidescraper, heavy | 1 | 66.3 |
| | | | reduction flake-based rectangular sidescraper, light | 1 | 24.1 |
| | Capa 4 | chert/pedernal | thumbnail reduction flake edge-scrapers, possible wood-working tools | 4 | 15.8 |
| | | | expedient reduces, edge-utilization worn | 3 | 42.7 |
| | | | recycled biface butt-end edge-scraper | 1 | 104.5 |
| | | | expedient edge-tool, large reduction flake | 1 | 140.5 |
| Op Altar 1 | Capa 5 | chert/pedernal | expedient edge-scrapers, reduction flakes | 3 | 63.9 |
| | | | blade-flakes, mid sections, lightly use-worn | 2 | 4.2 |
| | | | expedient, edge-worn reduction flake edge-scrapers (two large; two small) | 4 | 128.0 |
| | | | reduction flake-based beaked, burinated gravers | 5 | 79.3 |
| | | | long blade-flake, distal end (nice) | 1 | 10.2 |
| | | | “thumbnail” blade-flake proximal | 1 | 1.5 |
| | Capa 6 | chert/pedernal | large reduction flakes; all utilized as expedient edge-tools | 37 | 552.4 |
| | | | large block-core; likely used for wooden post planning | 1 | 142.9 |
| | | | shatter fragment | 1 | 13.4 |
| Op I21-c | Capa 2 | chert/pedernal | reduction flake end-graver and side-scraper (very common Maya lithic artifact) | 1 | 8.0 |
| | | chert/pedernal | reduction flake burinated end-graver and side-scraper (common Maya artifact) | 1 | 11.8 |
| Op Altar 1 | superficie | chert/pedernal | large, mixed secondary and reduction edge-tools, block-shatter, edge-worn | 37 | 975.7 |
| Op Altar 1 | Capa 1 | chert/pedernal | “domed” block edge-scraper, primary decortication flake | 1 | 113.1 |
| | | | blade-flake proximal thumbnail scraper, well edge-worn | 1 | 2.7 |
| | Capa 2 | chert/pedernal | mixed reduction flakes, all heavily use-chewed along edges | 5 | 78.3 |
| | | | reduction shatter-block, use-worn (planer?) | 1 | 27.4 |
| | | | reduction shatter-block, use-worn (polisher?) | 1 | 2.8 |
| Op Altar 2 | Capa I | obsidian | medial, very fine blade | 1 | 0.4 |
| EXCAVATION TOTALS | | | | 291 | 6,308.7 |

TABLE 6.7. WPT SURFACE SAMPLES
analysis by provenience and major period

| WPT Provenience | Ceramic Period(s) Represented | Occurrences by Period (<i>unweighted</i>) | | | | | | | | | | |
|--------------------|----------------------------------|---|------------------|----------------------|---------------------|----------------|----------------------------|---------------------------|-------------------|-------------------------|-------------|----|
| | | Preclassic, Middle | Preclassic, Late | Preclassic, Terminal | Preclassic, generic | Classic, Early | Classic, Late, I (Bejucos) | Classic, Late, II (Makan) | Classic, Terminal | Classic (Late), generic | Postclassic | |
| WPT Totals (116) | individual occurrences | 8 | 3 | 2 | 2 | 4 | 5 | 44 | 39 | 10 | 1 | 22 |
| WPT 018 C | indeterminate | 0 | 0 | 0 | 0 | 0 | 0 | 0 | 0 | 1 | 0 | 0 |
| WPT 042 D | Late Classic (Makan) | 0 | 0 | 0 | 0 | 0 | 0 | 1 | 0 | 0 | 0 | 0 |
| WPT 047 D | Makan Terminal Classic | 0 | 0 | 0 | 0 | 0 | 0 | 0 | 1 | 0 | 0 | 0 |
| WPT 050 D | Terminal Classic | 0 | 0 | 0 | 0 | 0 | 0 | 0 | 1 | 0 | 0 | 0 |
| WPT 053 D | Makan Terminal Classic | 0 | 0 | 0 | 0 | 0 | 0 | 0 | 1 | 0 | 0 | 0 |
| WPT 074 B | Makan Terminal Classic | 0 | 0 | 0 | 0 | 0 | 0 | 0 | 1 | 0 | 0 | 0 |
| WPT 079 A | Early Classic, generic | 0 | 0 | 0 | 0 | 1 | 0 | 0 | 0 | 0 | 0 | 0 |
| WPT 081 A | Classic/Preclassic mix | 0 | 0 | 0 | 1 | 0 | 0 | 0 | 0 | 1 | 0 | 0 |
| WPT 082 A | indeterminate | 0 | 0 | 0 | 0 | 0 | 0 | 0 | 0 | 0 | 0 | 1 |
| WPT 083 A | Classic/Preclassic mix | 1 | 1 | 0 | 0 | 0 | 0 | 1 | 0 | 0 | 0 | 0 |
| WPT 085 A | indeterminate | 0 | 0 | 0 | 0 | 0 | 0 | 0 | 0 | 0 | 0 | 1 |
| WPT 086 A | indeterminate | 0 | 0 | 0 | 0 | 0 | 0 | 0 | 0 | 0 | 0 | 1 |
| WPT 096 A | Late Classic | 0 | 0 | 0 | 0 | 0 | 0 | 1 | 0 | 0 | 0 | 0 |
| WPT 097 B | Late Classic II (Makan) | 0 | 0 | 0 | 0 | 0 | 0 | 1 | 0 | 0 | 0 | 0 |
| WPT 103 D | Terminal Classic | 0 | 0 | 0 | 0 | 0 | 0 | 0 | 1 | 0 | 0 | 0 |
| WPT 106 D | Late Classic II (Makan) | 0 | 0 | 0 | 0 | 0 | 0 | 1 | 0 | 0 | 0 | 0 |
| WPT 115 A | Early Classic | 0 | 0 | 0 | 0 | 1 | 0 | 0 | 0 | 0 | 0 | 0 |
| WPT 120 D | indeterminate | 0 | 0 | 0 | 0 | 0 | 0 | 0 | 0 | 0 | 0 | 1 |
| WPT 122 D | Late-Terminal Classic | 0 | 0 | 0 | 0 | 0 | 0 | 1 | 1 | 0 | 0 | 0 |
| WPT 127 | LCII-Terminal Classic | 0 | 0 | 0 | 0 | 0 | 0 | 1 | 1 | 0 | 0 | 0 |
| WPT 127 C | LC II (Makan); TC | 0 | 0 | 0 | 0 | 0 | 0 | 1 | 1 | 0 | 0 | 0 |
| WPT 127 D | Late Classic II (Makan) | 0 | 0 | 0 | 0 | 0 | 0 | 1 | 0 | 0 | 0 | 0 |
| WPT 130 | Terminal Classic | 0 | 0 | 0 | 0 | 0 | 0 | 0 | 1 | 0 | 0 | 0 |
| WPT 131 B | indeterminate | 0 | 0 | 0 | 0 | 0 | 0 | 0 | 0 | 0 | 0 | 1 |
| WPT 135 A | TC; LCII; Middle PC | 1 | 0 | 0 | 0 | 0 | 0 | 1 | 1 | 0 | 0 | 0 |
| WPT 136 C | indeterminate | 0 | 0 | 0 | 0 | 0 | 0 | 0 | 0 | 0 | 0 | 1 |
| WPT 137 D | indeterminate | 0 | 0 | 0 | 0 | 0 | 0 | 0 | 0 | 0 | 0 | 1 |
| WPT 138 A | Terminal Classic | 0 | 0 | 0 | 0 | 0 | 0 | 0 | 1 | 0 | 0 | 0 |
| WPT 145 A | Terminal Classic | 0 | 0 | 0 | 0 | 0 | 0 | 0 | 1 | 0 | 0 | 0 |
| WPT 147 C | Late Postclassic; TC | 0 | 0 | 0 | 0 | 0 | 0 | 0 | 1 | 0 | 1 | 0 |
| WPT 148 B | indeterminate | 0 | 0 | 0 | 0 | 0 | 0 | 0 | 0 | 0 | 0 | 1 |
| WPT 149 D | Late Classic I (Bejucos) | 0 | 0 | 0 | 0 | 0 | 1 | 0 | 0 | 0 | 0 | 0 |

Table 6.7, p. 2 of 3

| | | | | | | | | | | | | |
|---|--------------------------|---|---|---|---|---|---|---|---|---|---|---|
| WPT 152 A | Late Classic | 0 | 0 | 0 | 0 | 0 | 0 | 1 | 0 | 0 | 0 | 0 |
| WPT 152 D | indeterminate | 0 | 0 | 0 | 0 | 0 | 0 | 0 | 0 | 0 | 0 | 1 |
| WPT 153 B | Late Classic II (Makan) | 0 | 0 | 0 | 0 | 0 | 0 | 1 | 0 | 0 | 0 | 0 |
| WPT 166 A | MPC & Classic, generic | 1 | 0 | 0 | 0 | 0 | 0 | 0 | 0 | 1 | 0 | 0 |
| WPT 166 B | MPC & Classic, generic | 1 | 0 | 0 | 0 | 0 | 0 | 0 | 0 | 1 | 0 | 0 |
| WPT 170 D | Late Classic | 0 | 0 | 0 | 0 | 0 | 0 | 1 | 0 | 0 | 0 | 0 |
| WPT 171 D | Late Classic II (Makan) | 0 | 0 | 0 | 0 | 0 | 0 | 1 | 0 | 0 | 0 | 0 |
| WPT 172 D | Preclassic-Classical | 0 | 1 | 1 | 1 | 1 | 0 | 0 | 0 | 0 | 0 | 0 |
| WPT 173 D | LCII-Terminal Classic | 0 | 0 | 0 | 0 | 0 | 0 | 0 | 1 | 0 | 0 | 0 |
| WPT 174 A | Middle + Terminal PC | 1 | 0 | 1 | 0 | 0 | 0 | 0 | 0 | 0 | 0 | 0 |
| WPT 174/175/177 D(?) | indeterminate | 0 | 0 | 0 | 0 | 0 | 0 | 0 | 0 | 0 | 0 | 1 |
| WPT 175 B | Late Classic | 0 | 0 | 0 | 0 | 0 | 0 | 1 | 0 | 0 | 0 | 0 |
| WPT 176 C | indeterminate | 0 | 0 | 0 | 0 | 0 | 0 | 0 | 0 | 0 | 0 | 1 |
| WPT 177 C | LCII (Makan)-TC | 0 | 0 | 0 | 0 | 0 | 0 | 0 | 1 | 0 | 0 | 0 |
| WPT 177 D | Middle PC; Late Classic | 1 | 0 | 0 | 0 | 0 | 0 | 0 | 0 | 1 | 0 | 0 |
| WPT 178 A | Late Classic II (Makan) | 0 | 0 | 0 | 0 | 0 | 0 | 1 | 0 | 0 | 0 | 0 |
| WPT 181 C | LCII generic | 0 | 0 | 0 | 0 | 0 | 0 | 1 | 0 | 0 | 0 | 0 |
| WPT 181 D | Late Classic, mixed | 0 | 0 | 0 | 0 | 0 | 0 | 1 | 0 | 0 | 0 | 0 |
| WPT 182 B | Late Classic II (Makan) | 0 | 0 | 0 | 0 | 0 | 0 | 1 | 0 | 0 | 0 | 0 |
| WPT 183 B | Late Classic II (Makan) | 0 | 0 | 0 | 0 | 0 | 0 | 1 | 0 | 0 | 0 | 0 |
| WPT 184 B | Late Classic II (Makan) | 0 | 0 | 0 | 0 | 0 | 0 | 1 | 0 | 0 | 0 | 0 |
| WPT 184 D | indeterminate | 0 | 0 | 0 | 0 | 0 | 0 | 0 | 0 | 0 | 0 | 1 |
| WPT 185 A | Late Classic | 0 | 0 | 0 | 0 | 0 | 0 | 1 | 0 | 0 | 0 | 0 |
| WPT 185 B | Classic | 0 | 0 | 0 | 0 | 0 | 0 | 0 | 0 | 1 | 0 | 0 |
| WPT 185 C | Xcocom TC | 0 | 0 | 0 | 0 | 0 | 0 | 0 | 1 | 0 | 0 | 0 |
| WPT 186 B | Terminal Classic | 0 | 0 | 0 | 0 | 0 | 0 | 0 | 1 | 0 | 0 | 0 |
| WPT 187 A | LCII or LC generic | 0 | 0 | 0 | 0 | 0 | 0 | 1 | 0 | 0 | 0 | 0 |
| WPT 187 C | Terminal Classic | 0 | 0 | 0 | 0 | 0 | 0 | 0 | 1 | 0 | 0 | 0 |
| WPT 192 B | indeterminate | 0 | 0 | 0 | 0 | 0 | 0 | 0 | 0 | 0 | 0 | 1 |
| WPT 193 B | Classic | 0 | 0 | 0 | 0 | 0 | 0 | 0 | 0 | 1 | 0 | 0 |
| WPT 194 C | Late Classic II (Makan) | 0 | 0 | 0 | 0 | 0 | 0 | 1 | 0 | 0 | 0 | 0 |
| WPT 196 C | indeterminate | 0 | 0 | 0 | 0 | 0 | 0 | 0 | 0 | 0 | 0 | 1 |
| WPT 197 C | Terminal Classic | 0 | 0 | 0 | 0 | 0 | 0 | 0 | 1 | 0 | 0 | 0 |
| WPT 198 C | Late Classic II | 0 | 0 | 0 | 0 | 0 | 0 | 1 | 0 | 0 | 0 | 0 |
| WPT 199 A | Terminal Classic | 0 | 0 | 0 | 0 | 0 | 0 | 0 | 1 | 0 | 0 | 0 |
| WPT 199 C | indeterminate/Classic(?) | 0 | 0 | 0 | 0 | 0 | 0 | 0 | 0 | 1 | 0 | 0 |
| WPT 200 C | Late Classic II | 0 | 0 | 0 | 0 | 0 | 0 | 1 | 0 | 0 | 0 | 0 |
| WPT 201 C | LCII-Terminal Classic | 0 | 0 | 0 | 0 | 0 | 0 | 1 | 1 | 0 | 0 | 0 |
| WPT 202 C | Terminal Classic; LPC | 0 | 1 | 0 | 0 | 0 | 0 | 0 | 1 | 0 | 0 | 0 |
| WPT 206 A | Late Classic II (Makan) | 0 | 0 | 0 | 0 | 0 | 0 | 1 | 0 | 0 | 0 | 0 |
| WPT 208 B | uncertain | 0 | 0 | 0 | 0 | 0 | 0 | 0 | 0 | 0 | 0 | 1 |
| WPT 207 A | TC Makan, late facet | 0 | 0 | 0 | 0 | 0 | 0 | 0 | 1 | 0 | 0 | 0 |
| WPT 208 C | Late Classic II (Makan) | 0 | 0 | 0 | 0 | 0 | 0 | 1 | 0 | 0 | 0 | 0 |
| WPT 212 A | Late Classic II (Makan) | 0 | 0 | 0 | 0 | 0 | 0 | 1 | 0 | 0 | 0 | 0 |
| WPT 212 B | Terminal(?) Classic | 0 | 0 | 0 | 0 | 0 | 0 | 0 | 1 | 0 | 0 | 0 |
| WPT 213 B | Terminal Classic | 0 | 0 | 0 | 0 | 0 | 0 | 0 | 1 | 0 | 0 | 0 |

Table 6.7, p. 3 of 3

| | | | | | | | | | | | | |
|------------|-------------------------|---|---|---|---|---|---|----|----|----|---|----|
| WPT 217 B | Terminal Classic | 0 | 0 | 0 | 0 | 0 | 0 | 0 | 1 | 0 | 0 | 0 |
| WPT 224 A | Terminal(?) Classic | 0 | 0 | 0 | 0 | 0 | 0 | 0 | 1 | 0 | 0 | 0 |
| WPT 228 C | Terminal Classic | 0 | 0 | 0 | 0 | 0 | 0 | 0 | 1 | 0 | 0 | 0 |
| WPT 231 A | Terminal Classic | 0 | 0 | 0 | 0 | 0 | 0 | 0 | 1 | 0 | 0 | 0 |
| WPT 236 A | Late Classic II (Makan) | 0 | 0 | 0 | 0 | 0 | 0 | 1 | 0 | 0 | 0 | 0 |
| WPT 239 C | Terminal Classic | 0 | 0 | 0 | 0 | 0 | 0 | 0 | 1 | 0 | 0 | 0 |
| WPT 241 | MPC; Terminal Classic | 1 | 0 | 0 | 0 | 0 | 0 | 0 | 1 | 0 | 0 | 0 |
| WPT 243 A | Late Classic II (Makan) | 0 | 0 | 0 | 0 | 0 | 0 | 1 | 0 | 0 | 0 | 0 |
| WPT 245 C | Terminal Class (Makan) | 0 | 0 | 0 | 0 | 0 | 0 | 0 | 1 | 0 | 0 | 0 |
| WPT 250 B | Late Classic, generic | 0 | 0 | 0 | 0 | 0 | 0 | 1 | 0 | 0 | 0 | 0 |
| WPT 258 A | indeterminate | 0 | 0 | 0 | 0 | 0 | 0 | 0 | 0 | 0 | 0 | 1 |
| WPT 263 B | Late Classic | 0 | 0 | 0 | 0 | 0 | 0 | 0 | 0 | 1 | 0 | 0 |
| WPT 264 A | indeterminate | 0 | 0 | 0 | 0 | 0 | 0 | 0 | 0 | 0 | 0 | 1 |
| WPT 270 A | Terminal Classic | 0 | 0 | 0 | 0 | 0 | 0 | 0 | 1 | 0 | 0 | 0 |
| WPT 273 A | Late Classic | 0 | 0 | 0 | 0 | 0 | 0 | 1 | 0 | 0 | 0 | 0 |
| WPT 277 A | Late Classic I (Bejuco) | 0 | 0 | 0 | 0 | 0 | 1 | 0 | 0 | 0 | 0 | 0 |
| WPT 278 B | EC; LCI-LCII mix | 0 | 0 | 0 | 0 | 1 | 1 | 1 | 0 | 0 | 0 | 0 |
| WPT 282 A | Terminal Classic | 0 | 0 | 0 | 0 | 0 | 0 | 0 | 1 | 0 | 0 | 0 |
| WPT 293 B | Late Classic I (Bejuco) | 0 | 0 | 0 | 0 | 0 | 1 | 0 | 0 | 0 | 0 | 0 |
| WPT 294 A | Terminal Classic | 0 | 0 | 0 | 0 | 0 | 0 | 0 | 1 | 0 | 0 | 0 |
| WPT 301 A | indeterminate | 0 | 0 | 0 | 0 | 0 | 0 | 0 | 0 | 0 | 0 | 1 |
| WPT 305 C | Classic | 0 | 0 | 0 | 0 | 0 | 0 | 0 | 0 | 1 | 0 | 0 |
| WPT 296 B | Terminal Classic | 0 | 0 | 0 | 0 | 0 | 0 | 0 | 1 | 0 | 0 | 0 |
| WPT 315 A | Late Classic | 0 | 0 | 0 | 0 | 0 | 0 | 1 | 0 | 0 | 0 | 0 |
| WPT 323 C | indeterminate | 0 | 0 | 0 | 0 | 0 | 0 | 0 | 0 | 0 | 0 | 1 |
| WPT 329 C | indeterminate | 0 | 0 | 0 | 0 | 0 | 0 | 0 | 0 | 0 | 0 | 1 |
| WPT 346 B | indeterminate | 0 | 0 | 0 | 0 | 0 | 0 | 0 | 0 | 0 | 0 | 1 |
| WPT 346 C | Late Classic II (Makan) | 0 | 0 | 0 | 0 | 0 | 0 | 1 | 0 | 0 | 0 | 0 |
| WPT 348 B | Late Classic II (Makan) | 0 | 0 | 0 | 0 | 0 | 0 | 1 | 0 | 0 | 0 | 0 |
| WPT 364 B | MPC & Terminal Classic | 1 | 0 | 0 | 0 | 0 | 0 | 0 | 1 | 0 | 0 | 0 |
| WPT 370 B | Late Classic I (Bejuco) | 0 | 0 | 0 | 0 | 0 | 1 | 0 | 0 | 0 | 0 | 0 |
| WPT 376 C | indeterminate | 0 | 0 | 0 | 0 | 0 | 0 | 0 | 0 | 0 | 0 | 1 |
| WPT 385 C | Late Classic II (Makan) | 0 | 0 | 0 | 0 | 0 | 0 | 1 | 0 | 0 | 0 | 0 |
| WPT 398 C | late LCII-TC (Chintok) | 0 | 0 | 0 | 0 | 0 | 0 | 1 | 1 | 0 | 0 | 0 |
| WPT 401 C | Late Classic II (Makan) | 0 | 0 | 0 | 0 | 0 | 0 | 1 | 0 | 0 | 0 | 0 |
| WPT 406 C | late LCII-TC (Makan) | 0 | 0 | 0 | 0 | 0 | 0 | 1 | 1 | 0 | 0 | 0 |
| WPT 413 C | Late Classic | 0 | 0 | 0 | 0 | 0 | 0 | 1 | 0 | 0 | 0 | 0 |
| WPT 427 C | Late Classic II (Makan) | 0 | 0 | 0 | 0 | 0 | 0 | 1 | 0 | 0 | 0 | 0 |
| WPT Totals | individual occurrences | 8 | 3 | 2 | 2 | 4 | 5 | 44 | 39 | 10 | 1 | 22 |

| C/D o/e n/p s/o t/s r/i u/t c /i t/o I/n o/a n/l age | TABLE 6.8. TESTS & EXCAVATIONS Occurrences by Period (<i>unweighted</i>) | | | | | | | | | | |
|--|---|-----|--------------------|------------------|----------------------|----------------|---------------------------|---------------------------|------------------|-------------------|-------------|
| | Tests & Excavations | | Preclassic, Middle | Preclassic, Late | Preclassic, Terminal | Classic, Early | Classic, Late, I (Bejuco) | Classic, Late, II (Makan) | Classic, generic | Classic, Terminal | Postclassic |
| ceramic age | Op JPNE (Group H24-e) | + | + | + | + | + | + | + | + | + | - |
| | Unit Representation | (2) | (1) | (1) | (3) | (2) | (3) | (3) | (1) | (0) | |
| - | Capa 0 | - | - | - | - | - | - | - | - | - | + |
| TC | Capa 1 | - | - | - | - | - | + | + | + | - | - |
| LCII | Capa 2 (piso) | - | - | - | - | - | - | - | - | - | - |
| LCII | Capa 3 | - | - | - | - | - | + | + | - | - | - |
| MPC | Capa 4 | + | - | - | - | - | - | - | - | - | - |
| LCII | Capa 5 (piso) | - | - | - | - | - | - | - | - | - | - |
| LCII | Capa 6 | + | - | - | - | + | + | + | + | - | - |
| LCI | Capa ? (piso) | - | - | - | - | - | - | - | - | - | + |
| LCI | Capa 7 | - | - | - | + | + | - | - | - | - | - |
| EC | Capa 8 | - | + | - | + | - | - | - | - | - | - |
| EC | Capa 9 (piso) | - | - | - | - | - | - | - | - | - | - |
| EC | Capa 10 | - | - | + | + | - | - | - | - | - | - |
| ceramic age | Op JPSE (Group H24-e) | | | | | | | | | | |
| | Unit Representation | + | + | - | + | + | + | + | - | - | (0) |
| | Capa 1 | - | - | - | - | - | - | - | - | - | + |
| LCII | Capa 2 (piso) | - | - | - | - | - | - | - | + | - | - |
| LCII | Capa 3 | - | - | - | + | - | + | + | - | - | - |
| MPC | Capa 4 | + | - | - | - | - | - | - | - | - | - |
| LCII | Capa 5 (piso) | - | - | - | - | - | - | - | - | - | - |
| LC | Capa 6 | - | + | - | - | + | - | + | - | - | - |
| LCI | Capa 7 (piso) | - | - | - | - | - | - | - | + | - | - |
| LCI | Capa 8 | - | + | - | + | + | - | - | - | - | - |
| LPC | Capa 9 | + | + | - | - | - | - | - | - | - | - |
| ceramic age | Op K24-1 | + | - | - | + | - | + | - | + | - | - |
| | Unit Representation | (1) | (0) | (0) | (1) | (0) | (2) | (0) | (1) | (0) | |
| TC | Capa 1 | - | - | - | - | - | + | - | + | - | - |
| LCII | Capa 2 | - | - | - | - | - | + | - | - | - | - |
| EC | Capa 3 | + | - | - | + | - | - | - | - | - | - |

Table 6.8, p. 2 of 3

| | | | | | | | | | | | |
|--------------------|--|----------|----------|------------|----------|----------|---|---|---|----------|---|
| ceramic age | Op K24-b Unit Representation | - (0) | - (0) | - (0) | - (0) | - (0) | + | + | + | - (0) | |
| ? | Capa 1 | - | - | - | - | - | - | - | - | - | - |
| TC | Capa 2 | - | - | - | - | - | - | - | + | - | - |
| ? | Capa 3 | - | - | - | - | - | - | - | - | - | - |
| C | Capa 4 | - | - | - | - | - | - | + | - | - | - |
| LCII | Capa 5 | - | - | - | - | - | + | - | - | - | - |
| <hr/> | | | | | | | | | | | |
| ceramic age | Op H20-1 Unit Representation | - (0) | + | - (0) | - (0) | - (0) | + | + | + | - (0) | |
| TC | Capa 1 | - | - | - | - | - | - | - | + | - | - |
| ? | Capa 2 | - | - | - | - | - | - | - | - | - | + |
| LCII | Capa 3 | - | - | - | - | - | + | + | + | - | - |
| ? | Capa 4 | - | - | - | - | - | - | - | - | - | + |
| ? | Capa 5 | - | - | - | - | - | - | - | - | - | + |
| LPC | Capa 6 | - | + | - | - | - | - | - | - | - | - |
| <hr/> | | | | | | | | | | | |
| ceramic age | Op J23-1 Unit Representation | + | + | + | + | + | + | + | + | - (0) | |
| TC | Capa 1 | - | + | - | - | - | - | - | + | - | - |
| TC | Capa 2 | - | - | - | - | - | - | - | + | - | - |
| TC | Capa 3 | + | + | + | + | + | + | + | + | - | - |
| ECl | Capa 4 | + | ? | + | ? | - | - | - | - | - | - |
| ECl | Capa 5 | + | + | + | + | - | - | - | - | - | - |
| LPC | Capa 6 | + | + | - | - | - | - | - | - | - | - |
| <hr/> | | | | | | | | | | | |
| ceramic age | Op G14-g Unit Representation | - (0) | - (0) | - (0) | - (0) | - (0) | + | + | + | - (0) | |
| ? | Capa 1 | - | - | - | - | - | - | - | - | - | + |
| LCII | Capa 2 | - | - | - | - | - | + | - | - | - | - |
| TC | Capa 3 | - | - | - | - | - | ? | + | + | - | - |
| ceramic age | Op I21-c Unit Representation | - (0) | - (0) | - (0) | - (0) | - (0) | + | - | - | - (0) | |
| - | Capa 1 | - | - | - | - | - | - | - | - | - | - |
| ? | Capa 2 | - | - | - | - | - | - | - | - | - | + |
| ? | Capa 3 | - | - | - | - | - | - | - | - | - | + |
| <hr/> | | | | | | | | | | | |
| ceramic age | Op Altar 1 Unit Representation | + | + | (?) (?) | + | - (0) | + | + | + | - (0) | |
| TC | <i>superficie cerca monumento</i> | - | + | ? | + | - | - | - | + | - | - |
| TC | Capa I | - | - | - | - | - | + | + | + | - | - |
| TC | Capa II | + | - | - | + | - | + | + | + | - | - |
| LCII | Capa III | -- | - | - | - | - | + | + | - | - | - |

Table 6.8, p. 3 of 3

| ceramic age | Op Altar 2 Unit Representation | + | +(2) | +(1) | +(2) | - (0) | +(2) | +(2) | +(2) | - (0) | |
|---|--|-------|------------------|-------|----------------------|---------|----------------|------|---------------------------|-------|---|
| TC | <i>superficie alrededor de Altar 2</i> | - | - | - | - | - | + | + | + | - | |
| ? | Capa II | - | - | - | - | - | - | - | - | - | + |
| TC | Capa III | + | + | + | + | - | - | - | + | - | |
| LCII | Capa IV | + | + | - | + | - | + | + | - | - | |
| | | | | | | | | | | | |
| ceramic age | Op Altares Unit Representation | - (0) | +(1) | ? (?) | +(1) | - (0) | + | + | +(1) | - (0) | |
| TC | Capa I | - | - | - | - | - | - | - | + | - | |
| LCII | Capa II | - | - | - | - | - | + | + | - | - | |
| LCII | Capa III | - | + | ? | + | - | + | + | - | - | |
| | | | | | | | | | | | |
| ceramic age | Op H24-e Unit Representation | +(9) | +(4) | +(4) | +(2) | (?) (?) | (?) (?) | +(1) | - (0) | - (0) | |
| LPC(?) | Capa 1 | - | + | - | - | - | - | - | - | - | |
| CI-CII | Capa 2 | - | - | - | - | - | - | + | - | - | |
| MPC(?) | Capa 3 | + | - | - | - | - | - | - | - | - | |
| MPC(?) | Capa 3A | + | - | - | - | - | - | - | - | - | |
| MPC(?) | Capa 4 (<i>piso?</i>) | + | - | - | - | - | - | - | - | - | |
| EC | Capa 5 (<i>piso?</i>) | + | ? | + | + | - | - | - | - | - | |
| MPC | Capa 5A(?) | + | - | - | - | - | - | - | - | - | |
| TPC | Capa 6(?) (<i>piso?</i>) | + | + | + | - | - | - | - | - | - | |
| EC-LCI | Capa VI(?) (<i>piso?</i>) | - | - | + | + | ? | - | - | - | - | |
| TPC | Capa VII | + | + | + | - | - | - | - | - | - | |
| MPC | Capa VIII | + | - | - | - | - | - | - | - | - | |
| MPC | Capa IX | + | - | - | - | - | - | - | - | - | |
| Major Chorological Periods Represented | | | | | | | | | | | |
| | Preclassic, Middle | | Preclassic, Late | | Preclassic, Terminal | | Classic, Early | | Classic, Late, I (Bejuco) | | |
| | | | | | | | | | Classic, Late, II (Makan) | | |
| | | | | | | | | | Classic, generic | | |
| | | | | | | | | | Classic, Terminal | | |
| | | | | | | | | | Postclassic | | |
| | | | | | | | | | indeterminate | | |

APPENDIX: A VISUAL GUIDE TO THE 2017 CERAMIC COLLECTIONS

As with the reporting of these collections, determining an appropriate and useful means of illustrating a selective sample from them presented a number of challenges. In the end, after considering formats based on spatial location; chronology; and standard typological orderings, it was decided that none of these really provided any truly sensible or useful data, and so the author decided to employ the Type-Class/Type/Variety model that he originally used for presentation of the Tulane-MARI Becán collection from the late 1960s and early 1970s (Ball 1977). This approach has the advantage of being based on tangible, visible surface, form, and fabric characteristics that allow any other user or reader to quickly and easily match their own material to that of this collection, or to compare the materials represented in this collection to their own materials easily and reliably. Therefore, the accompanying illustrations are arranged by Type Class, Type, Variety, and Ceramic Complex/phase rather than either strictly chronologically by complex or spatially by Waypoint and Excavation Unit. The reader will note that some WPTs are represented more frequently than others, and that the majority of WPTs do not appear at all. This is simply a reflection of the preservation, condition, recognizability, and reliable identification of types and varieties at each surface recovery point.

In addition, two listings of all positive identifications of established types and varieties are provided, one alphabetic in order; the other ordered and organized by established chronology and ceramic group and type. Two things illuminated in the latter listing are the presence of multiple local quotidian pottery producers in the survey zone, this indicated by the multiplicity of LCII and early Terminal Classic unslipped striated types and varieties, and the persistent connections to and interactions with both the central west Campeche coast and far northwest of the peninsula from at least the later Preclassic on through the entire Classic period and on into the Terminal Classic. Petén connections are indicated as well (e.g. Molino Black and Saxche Orange polychrome), but these are minor compared to those with the north. Unslipped striated vessels are generally accepted to represent the products of individual households, so the multiplicity of indicated producers over the expanse of the survey zone is not surprising. Recognizing this, I have employed a micro-modal analysis to the widely scattered and generally severely eroded Encanto Group rims to suggest a number of discrete formal varieties based on obvious and well-defined yet at the same time reiterative rim-variants. These clearly reflect distinct large-scale producers, but whether the latter represented wide-spread local traditions or simply highly productive individual households is not determinable at this time. I believe these well worth distinguishing from my originally defined (Ball 1977) Chintok Pepino and Xcocom Yokat Varieties, however, as they well may fingerprint a Late Classic II into Terminal Classic community distinct from that in the immediate circum-Becán zone. What my approach is intended to do is not to define new formal varieties or types, but to highlight the fact that the locally produced ceramics in the survey zone do differ significantly from those found either at Becán or in the Greater Rio Bec zone to the southeast. This, I would argue, is significant and important to recognizing the cultural and so social independence of the Lagunita-Tamchén-Chactún region. In the end, however, not most but all such questions and issues can be resolved only by means of an extensive program of thoughtfully targeted stratigraphic excavations, something for future researchers to take into consideration in designing their own investigations.

No quantifications are provided in that because of the highly eroded, form and fabric based identifications of most sherds and the serendipitous circumstances of their recovery and identification, any such would be not only meaningless and worthless, but highly misleading.

Positive Ceramic Type and Variety Identifications: Alphabetical Listing

Achiotes Unslipped: Variety Unspecified
 Achiotes/Paila(?) Unslipped: Variety Unspecified
 Achote Black: Variety Unspecified
 Actuncan Orange-polychrome: Actuncan Variety
 Actuncan Orange-polychrome: Variety Unspecified

Aguila Orange: Aguila Variety
 Altar Orange: Altar Variety (Fine Orange Paste-Ware)
 Balanza Black: Balanza Variety
 Becanchen Brown: Becanchen Variety
 Becanchen-Traino transitional variety
 Cambio Unslipped: Variety Unspecified
 Caucel Black-on-red: Caucel Variety (Usil Red Ware)
 Celeraín Notched: Celeraín Variety
 Chimbote Cream-polychrome
 Chunhinta Black: Capaz Variety
 Chunhinta Black: Variety Unspecified
 Deprecio Incised: Huerta Variety
 Dolorido Cream-polychrome: Dolorido Variety
 Dos Arroyos Orange-polychrome: Dos Arroyos Variety
 Dos Arroyos Orange-polychrome: Variety Unspecified
 Dzalpach Composite: Dzalpach Variety (Usil Flaky Ware)
 Dzudzuquil Buff(?): Variety Unspecified
 edge-impressed “piecrust” rim
 Encanto Striated: Acahual Variety
 Encanto Striated: Alambre(?) Variety
 Encanto Striated: Alambre/Acahual Varieties
 Encanto Striated: Brida Variety
 Encanto Striated: Pepino Variety
 Encanto Striated: Pepino/Yokat Variety
 Encanto Striated: Pepino-Yokat Varieties, intergrading
 Encanto Striated: Variety Unspecified
 Encanto Striated: Yokat Variety
 Encanto/Yokat Striated: Yokat Variety
 generic Middle Preclassic unslipped-plain
 generic Middle Preclassic unslipped-striated
 generic Preclassic reds, intergrading Sierra-Joventud
 Guitara Incised: Guitara Variety
 Hool Orange-polychrome: Hool Variety
 Joventud Red: Joventud Variety
 Joventud Red: Variety Unspecified
 Laguna Verde Incised: Laguna Verde Variety
 Laguna Verde Incised: Variety Unspecified
 Lucha Incised: Lucha Variety
 Miseria Appliquéd: Long-spike Variety
 Miseria Appliqués: Variety Unspecified
 Molino Black: Molino Variety
 Moro Orange-polychrome: Moro Variety
 Moro Orange-polychrome: Resist Variety
 Muna Slate: Variety Unspecified
 Muxanal Red-on-cream: Muxanal Variety
 Oxkutzcab Appliqué and/or Tepakan Composite: Variety Unspecified
 Pabellon Molded-Carved: Pabellon Variety
 Paila/Achiotes(?) Unslipped: Variety Unspecified
 Patojo Modeled: Variety Unspecified
 Pixtun Trickled-grey: Pixtun Variety
 Pixtun Trickled-grey: Variety Unspecified

Polvero Black: Notched-angle Variety
 Polvero Black: Variety Unspecified
 Portia Gouged-Incised: Portia Variety
 Repasto Black-on-red: Repasto Variety
 Sabancuy Red: Sabancuy Variety
 Sapote Striated: Añejo Variety
 Sapote Striated: Sapote or Rastro Variety
 Sapote Striated: Variety Unspecified
 Saxche Orange-polychrome: Dzaptun Variety
 Saxche Orange-polychrome: Palmar Variety
 Saxche Orange-polychrome: Saxche Variety
 Saxche Orange-polychrome: Variety Unspecified
 Sayan Red-on-cream: Sayan Variety
 Sayan Red-on-cream: Variety Unspecified
 Sierra Red: Sierra Variety
 Sierra Red: Variety Unspecified
 Sierra Red: Variety Unspecified (waxy variety, early vessel/rim form)
 Tacopate Trickled-brown: Variety Unspecified
 Tecolote Composite or Paaktzatz Modeled (cache?)
 Ticul Thin-slate: Variety Unspecified
 Tipikal Red-on-striated: Variety Unspecified
 Traino Brown: Lodo Variety
 Traino Brown: Traino Variety
 Traino Brown: Variety Unspecified
 Trapiche Incised: Trapiche Variety
 Triunfo Striated: Aliso Variety
 Triunfo Striated: Gineres Variety
 Triunfo Striated: Variety Unspecified
 Tumba Black-on-orange: Incised Variety
 Tumba Black-on-orange: Tumba Variety
 Xanaba Red: Xanaba Variety (Usil Flaky Ware)
 Xul Incised: Variety Unspecified
 Xul Incised: Xul Variety
 Yokat/Encanto Striated: Yokat Variety.

Positive Ceramic Group, Type, and Variety Identifications, Chronologically Ordered and Surface Group Organized

Preclassic typological units, positive identifications

Middle Preclassic

Achiotes-Paila Ceramic Group
 Achiotes Unslipped: Variety Unspecified
 Sapote Striated: Añejo Variety
 generic Middle Preclassic unslipped-plain
 generic Middle Preclassic unslipped-striated
 Joventud Ceramic Group
 Joventud Red: Joventud Variety
 Joventud Red: Variety Unspecified

Guitara Incised: Guitara Variety
 Sierra Red: Variety Unspecified; waxy variety, early vessel/rim form
 generic Preclassic reds, intergrading Sierra-Joventud
 Chunhinta Ceramic Group
 Chunhinta Black: Capaz Variety
 Chunhinta Black: Variety Unspecified
 Deprecio Incised: Capaz Variety
 Pital Ceramic Group
 Muxanal Red-on-cream: Muxanal Variety
 Dzudzuquil Ceramic Group(?)
 Dzudzuquil Buff(?): Variety Unspecified

Late-Terminal Preclassic-Protoclassic

Achiotes-Paila Ceramic Group
 Paila/Achiotes(?) Unslipped: Variety Unspecified
 Sapote Ceramic Group
 Sapote Striated: Sapote or Rastro Variety
 Sierra Ceramic Group
 Sierra Red: Sierra Variety
 Sierra Red: Variety Unspecified
 Repasto Black-on-red: Repasto Variety
 Laguna Verde Incised: Laguna Verde Variety
 Laguna Verde Incised: Variety Unspecified
 Celerain Notched: Celerain Variety
 Tipikal Red-on-striated: Variety Unspecified
 Polvero Ceramic Group
 Polvero Black: Variety Unspecified
 Polvero Black: Notched-angle Variety

Protoclassic-Initial Early Classic ceramic groups

Xanaba Ceramic Group (Usil Flaky Red Ware)
 Xanaba Red: Xanaba Variety
 Caucel Trickled Black-on-red: Caucel Variety
 Dzalpach Composite: Dzalpach Variety
 Aguila Ceramic Group
 Aguila Orange: Aguila Variety
 Dos Arroyos-Actuncan Ceramic Group
 Actuncan Orange-polychrome: Actuncan Variety
 Actuncan Orange-polychrome: Variety Unspecified

Generic Preclassic

Achiotes/Paila(?) Unslipped: Variety Unspecified
 Sapote Striated: Varieties Unspecified
 generic Preclassic reds, intergrading Sierra-Joventud

Early Classic typological units, positive identifications

Triunfo Ceramic Group
 Triunfo Striated: Gineres Variety

Triunfo Striated: Aliso Variety
 Triunfo Striated: Variety Unspecified
 Xanaba Ceramic Group (Usil Flaky Red Ware)
 Xanaba Red: Xanaba Variety
 Caucel Black-on-red: Caucel Variety
 Dzalpach Composite: Dzalpach Variety
 Maxcanu Ceramic Group
 Tacopate Trickled-brown: Variety Unspecified
 Aguila Ceramic Group
 Aguila Orange: Aguila Variety
 Balanza Ceramic Group
 Balanza Black: Balanza Variety
 Lucha Incised: Lucha Variety
 Dos Arroyos-Actuncan Ceramic Group
 Actuncan Orange-polychrome: Actuncan Variety
 Actuncan Orange-polychrome: Variety Unspecified
 Dos Arroyos Orange-polychrome: Dos Arroyos Variety
 Dos Arroyos Orange-polychrome: Variety Unspecified

Middle Classic through Late Classic II into Late Classic III typological units, positive identifications

Encanto Ceramic Group
 Encanto Striated: Acahuil Variety
 Encanto Striated: Alambre/Acahuil Varieties
 Encanto Striated: Alambre Variety
 Encanto Striated: Brida Variety
 Encanto Striated: Pepino Variety
 Becanchen Ceramic Group
 Becanchen Brown: Becanchen Variety
 Becanchen-Traino Brown transitional variety
 Traino Ceramic Group
 Traino Brown: Traino Variety
 Traino Brown: Variety Unspecified
 Molino Ceramic Group
 Molino Black: Molino Variety
 Muna Ceramic Group (Puuc Slate Ware; terminal LCII-initial TC)
 Muna Slate: Variety Unspecified
 Pixtun Ceramic Group (terminal LCII-initial TC)
 Pixtun Trickled-grey: Pixtun Variety
 Pixtun Trickled-grey: Variety Unspecified
 Saxche Ceramic Group
 Saxche Orange-polychrome: Saxche Variety
 Saxche Orange-polychrome: Dzaptun Variety
 Saxche Orange-polychrome: Palmar Variety
 Saxche Orange-polychrome: Variety Unspecified
 Moro Ceramic Group
 Moro Orange-polychrome: Moro Variety
 Moro Orange-polychrome: Resist Variety
 Hool Ceramic Group
 Hool Orange-polychrome: Hool Variety
 Chimbote Ceramic Group

Chimbote Cream-polychrome
 Sayan Red-on-cream: Sayan Variety
 Sayan Red-on-cream: Variety Unspecified
 Tecolote or Paaktzatz Ceramic Group
 Tecolote Composite or Paaktzatz Modeled (cache?)

Terminal Classic typological units, positive identifications

Cambio Ceramic Group
 Cambio Unslipped: Variety Unspecified
 Miseria Appliquéd: Long-spike Variety
 Miseria Appliquéd: Variety Unspecified
 edge-impressed “piecrust” rim
 Chum Ceramic Group (probable)
 Oxkutzcab Appliqué and/or Tepakan Composite: Variety Unspecified
 Encanto Ceramic Group
 Encanto Striated: Pepino/Yokat Variety
 Encanto Striated: Pepino-Yokat Varieties, intergrading
 Encanto Striated: Variety Unspecified
 Encanto Striated: Yokat Variety
 Yokat/Encanto Striated: Variety Unspecified
 Traino Ceramic Group
 Traino Brown: Lodo Variety
 Traino Brown: Variety Unspecified
 Tinaja Ceramic Group
 Portia Gouged-Incised: Portia Variety
 Achote Ceramic Group
 Achote Black: Variety Unspecified
 Sabancuy Red: Sabancuy Variety
 Muna Ceramic Group (Puuc Slate Ware; terminal LCII-initial TC)
 Muna Slate: Variety Unspecified
 Ticul Ceramic Group (Thin Slate Ware)
 Ticul Thin-slate: Variety Unspecified
 Xul Incised: Xul Variety
 Xul Incised: Variety Unspecified
 Pixtun Ceramic Group (terminal LCII-initial TC)
 Pixtun Trickled-grey: Pixtun Variety
 Pixtun Trickled-grey: Variety Unspecified
 Sayan Ceramic Group
 Sayan Red-on-cream: Variety Unspecified
 Dolorido Ceramic Group
 Dolorido Cream-polychrome: Dolorido Variety
 Altar Ceramic Group (Fine Orange Paste-Ware)
 Altar Orange: Altar Variety (Fine Orange Paste-Ware)
 Tumba Black-on-orange: Tumba Variety
 Tumba Black-on-orange: Incised Variety
 Trapiche Incised: Trapiche Variety
 Pabellon Molded-Carved: Pabellon Variety

Full Postclassic typological units, positive identifications

Patojo Ceramic Group (Eastern Petén Lakes District)

Patojo Modeled: Variety Unspecified

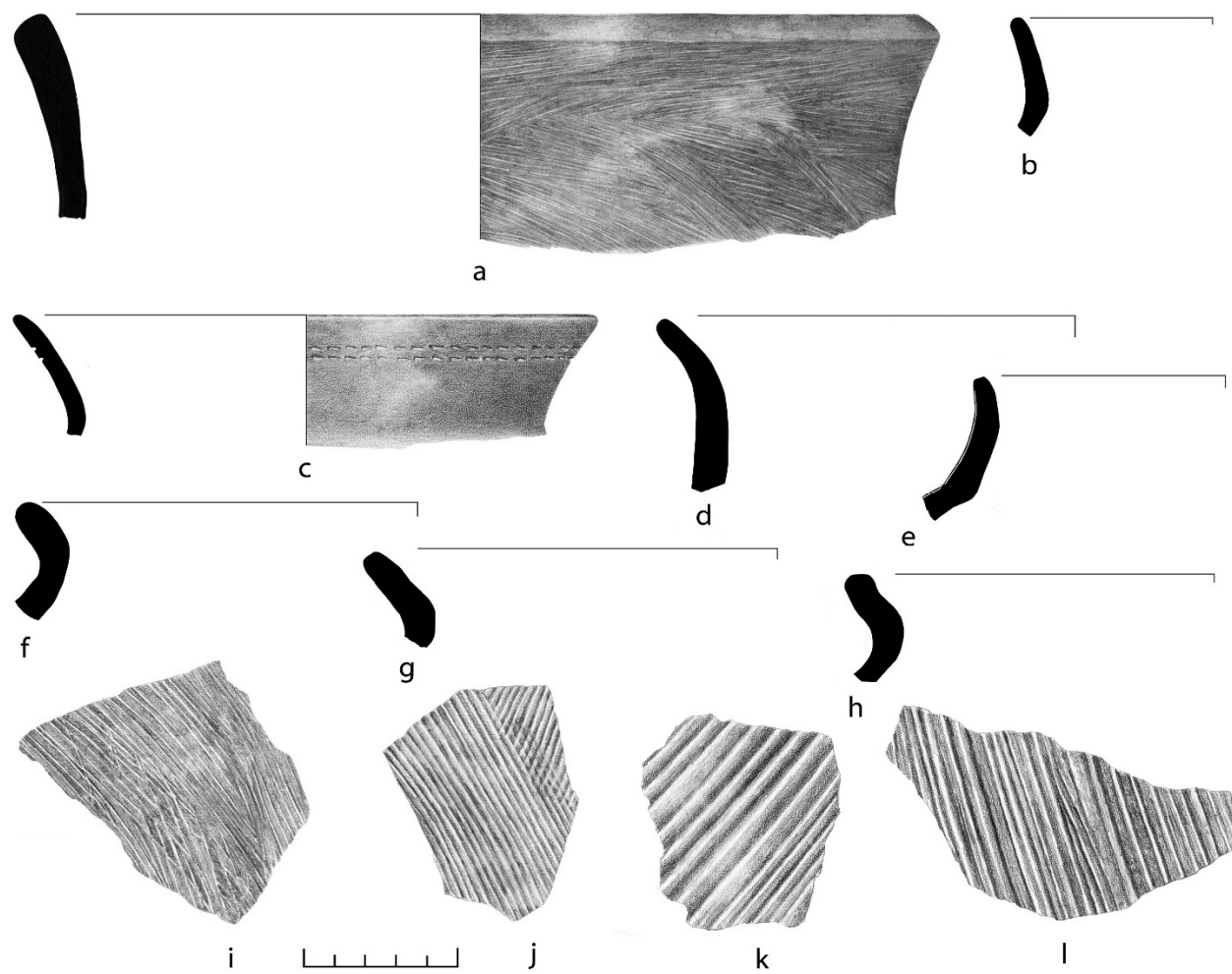
Figures

Figure 6.A1 (previous page). Unslipped Wares, Plain and Striated, Middle and Late/Terminal Preclassic Types

- a. jar, Sapote Striated: Añejo Variety (neck and body areas often lightly brushed).
WPT 174 A
- b. jar, Achiotes Unslipped-Plain: Variety Unspecified.
Op. J23-1: Capa 5
- c. jar, Achiotes Unslipped-Plain: Undesignated Punctate Variety. Distantly related to Middle Preclassic Jocote Orange brown and Chan Pond Unslipped of the Belize Valley.
Op. H24-e: Capa VIII
- d-h. jars, Sapote Striated: Rastro or Sapote Variety (locally manufactured; Petén influenced).
d. Op. J23-1: Capa 3; e. Op. J23-1: Capa 5; f. Lagunita, Structure B-8; g-h. Op. JPSE: Capa VI
- i. jar body, Sapote Striated: Rastro or Sapote Variety (locally manufactured; Petén influenced; illustrates very fine striating, derived from Middle Preclassic brushing).
Op. H24-e: Capa VI
- j. jar body, Triunfo Striated: Triunfo Variety (locally manufactured; Petén influenced; illustrates light to moderate striating, diagnostic of Early Classic striated jar-types).
Op. J23-1: Capa 4
- k. jar body, Encanto/Yokat Striated: Yokat Variety (locally manufactured; northwestern/northern influenced; illustrates deep, coarse, heavy raking, diagnostic of Terminal Classic striated jar-types).
WPT 103 D

Figure 6.A2 (next page). Unslipped Wares, Plain and Striated- Late and Terminal Classic Types

- a-f, i, k. jars, Encanto Striated: Alambre Variety (early Late Classic Bejucos complex; shared with Becán).
a-e. Lagunita, Structure B-8; f. WPT 153 B; i. WPT 181 D; k. WPT 385 C
- g-h, l. jars, Encanto Striated: Brida Variety (full Late Classic Makan complex; regional variant of Pepino Variety at Becán).
g. WPT 184 B; h, l. WPT 239 C
- j, p-s. jars, Encanto/Yokat Striated: Yokat Variety (Terminal Classic Xcocom variety; heavily represented at Becán and wherever Terminal Classic Xcocom ceramics occur; indicative of strong, direct northwestern Yucatan intrusive tradition).
j. WPT 103 D; p. Op. K24-b: Capa 2; q-r. Op. K24-b: Capa 5; s. WPT 228 C
- m, o. jars, Encanto Striated: Variety Unspecified (m. Late Classic Makan complex variety; not found at Becán; modal ties to brown Traino group jars; o. possible Yokat Variety modal variant).
m. WPT 182 B; o. WPT 346 C
- n. jar, Manteca Impressed: Manteca Variety (Terminal Classic Xcocom complex; also present at Becán).
WPT 199 A

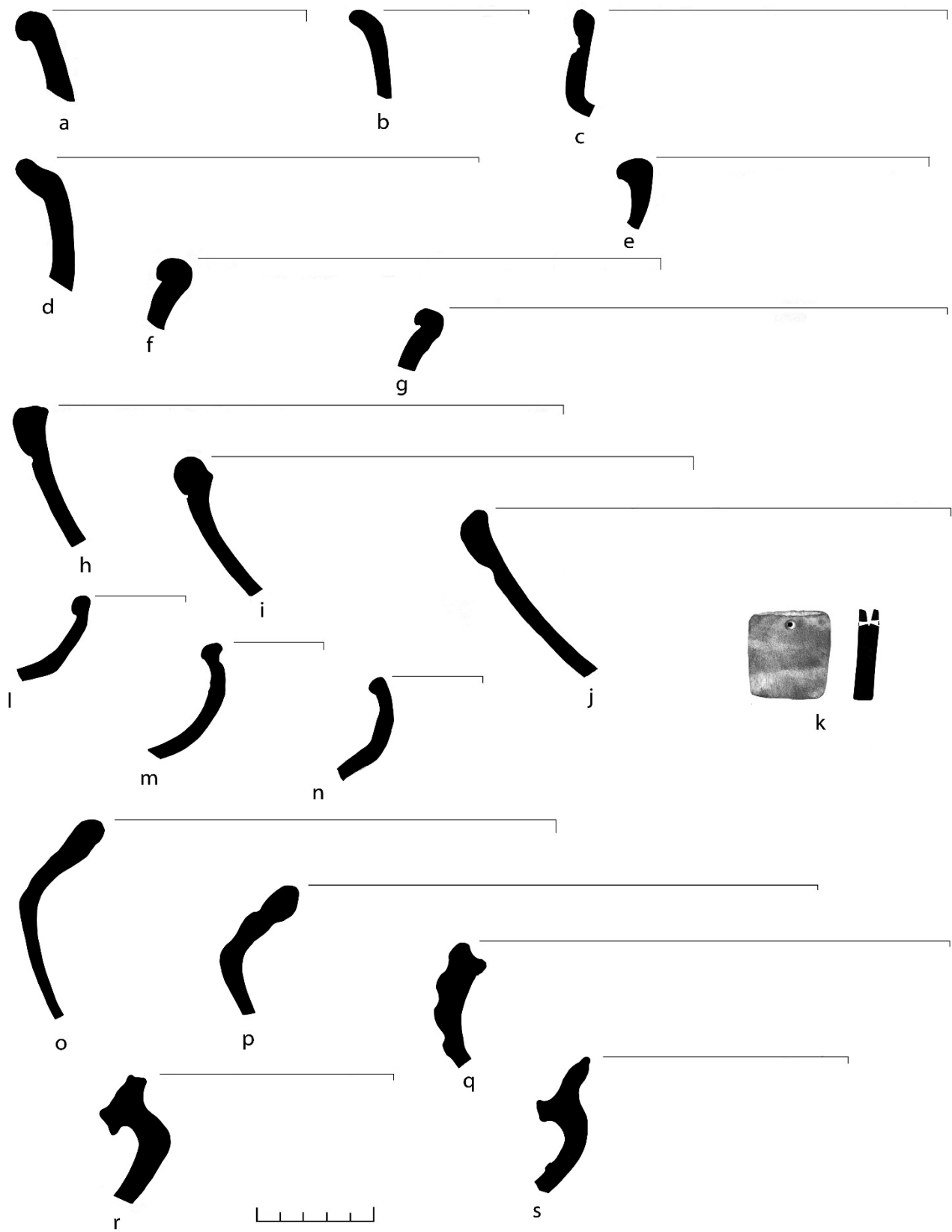


Figure 6.A3 (next page). Monochromes - Red, Black, Orange and Brown

a. jar, Juventud Red: Variety Unspecified (full early Middle Preclassic variety; present at Becán and throughout southeastern Campeche region).

Op. J23-1: Capa 6

b. jar, Juventud Red: Jolote Variety (full late Middle Preclassic variety; present at Becán and throughout southeastern Campeche region).

Lagunita, Structure B-8

c. dish/bowl, Deprecio Incised: Variety Unspecified (black Chunhinta ceramic group (full Middle Preclassic type; present at Becán and throughout southeastern Campeche region).

Op. H24-e: Capa 3

d. jar, Sierra Red: Sierra Variety (ubiquitous Late Preclassic type and variety).

Op. J23-1: Capa 3

e. jar, Xanaba Red: Xanaba Variety (good Initial Early Classic or “Protoclassic” diagnostic; all but undoubtedly an import from the northwestern-north central Yucatan coastal plain).

Op. J23-1: Capa 5

f-g, i. basins, Tacopate Trickled-Brown: Variety Unspecified (Maxcanu ceramic group; Early Classic Northern Lowlands group and type, good indicator of regular interactions between southeastern Campeche and the northwestern-northern coastal plain of Yucatan during this period).

f, i. Op. J23-1: Capa 3; g. Op. JPNE: Capa VIII

h, j. basins, Batres Red: Variety Unspecified or Xoclan Trickled-Red: Variety Unspecified (strong indicator of direct Early Classic ties to far northwest Campeche and the Yucatan northern coastal plain; also heavily represented at Becán from Terminal Preclassic through late Early Classic times in the Chacsik complex).

h. Op. J23-1: Capa 3; j. Op. JPNE: Capa VII

k. cut sherd artifact, cut and drilled, Aguila Orange or Dos Arroyos Orange-polychrome body sherd (both strong local Early Classic types well represented at Becán and elsewhere throughout the entire southern Campeche-Quintana Roo region).

Op. JPNE: Capa VII

l-n. jars, Becanchen Brown: Becanchen Variety (predominant early Late Classic local slipped quotidian basin-jar tradition through the southern Campeche-Quintana Roo region).

l. Op. JPNE: Capa VI; m. Op. JPSE: Capa VI; n. WPT 149 D

o-q. basins, Becanchen Brown: Becanchen Variety (predominant early Late Classic local slipped quotidian basin-jar tradition through the southern Campeche-Quintana Roo region).

o-p. Lagunita, Structure B-8; Op. JPNE Capa VI

r-s. jars, Late Classic II Makan complex brownware, possibly Traino Brown (this is a late, middle to late eight century transitional variety that spans and unites the Becanchen and Traino groups and types; it is not represented at Becán, which was probably abandoned at the time of its manufacture and circulation).

r. WPT 178 A; s. WPT 127

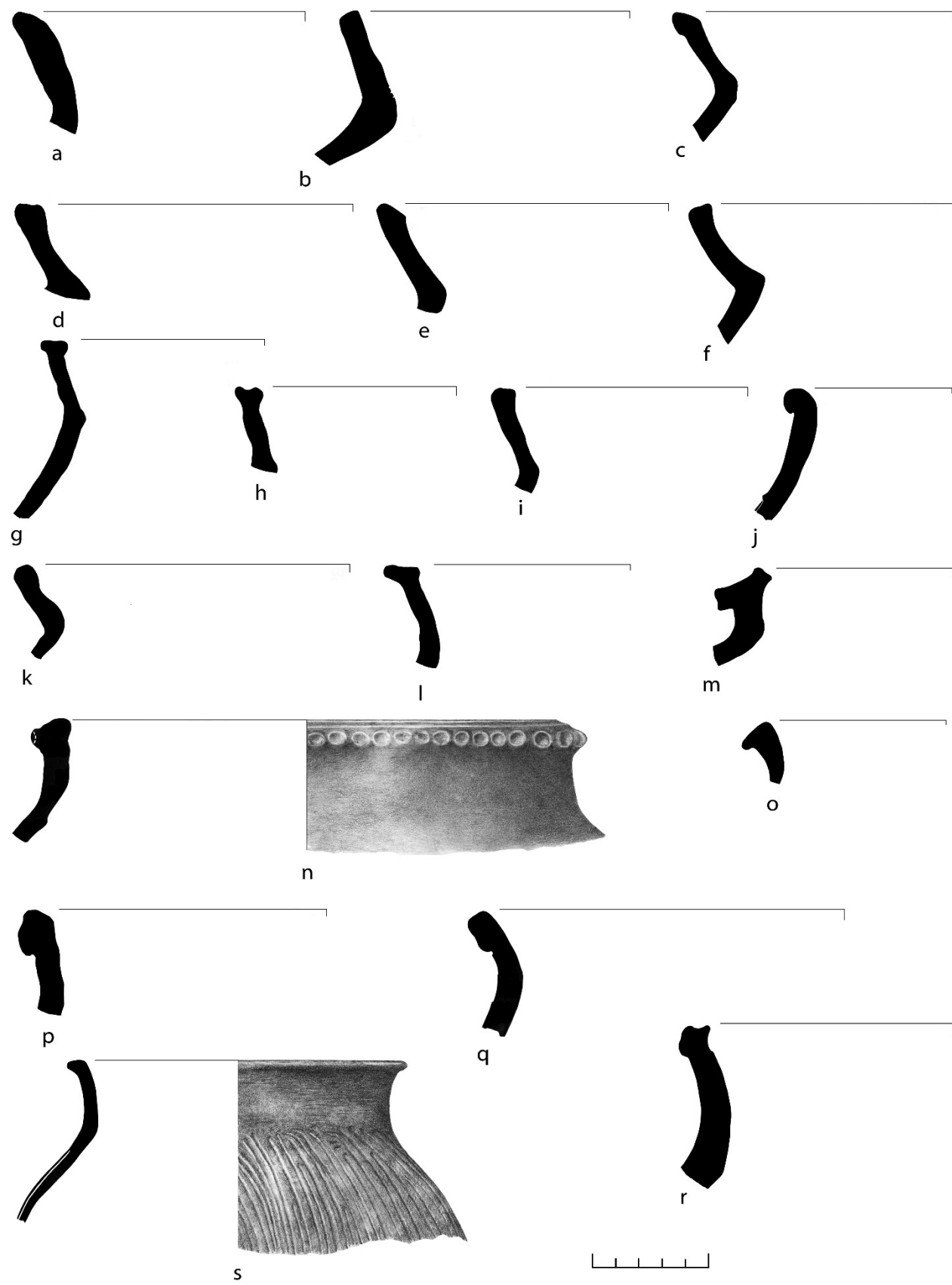


Figure 6.A4 (next page). Monochrome Brownwares. Mostly Traino and Becanchen groups, but all so severely eroded as to require primarily modal (form/fabric) identifications and assignments

a, g. basins, Becanchen Brown: Becanchen Variety. (a. late, transitional form directly linking the earlier Becanchen [seventh into eighth centuries] and later Traino [early eighth into ninth centuries] brownware traditions; very important Bejuco [Becan] and Makan [Rio Bec] assemblage “index fossil”; g. early Late Classic I form linking the brown Becanchen group backward directly to the brownware Maxcanu group of the Early Classic Chacsik and Sabucan ceramic complexes; present at Becan).
 a. WPT 175 B; WPT 293 B

b-c. jars, Becanchen Brown: Becanchen Variety (present in Becan Bejuco and Rio Bec Makan complexes).
 b. WPT 348 B; c. WPT 149 D

d-e. basins, d. Traino Brown: Traino Variety (the predominant Late Classic II regional basin-jar slipped brownware, type and variety throughout the eighth and early ninth centuries; very important Makan complex type and variety; also present at Becan in the terminal eighth century Chintok complex; patches of dark brown slipped preserved); e. Traino Brown: Variety Unspecified (the predominant Late and Terminal Classic regional basin-jar slipped brownware type throughout the eighth and early ninth centuries; very important Makan complex type and variety; also present at Becan in the early ninth century Xcocom complex).
 WPT 127 C

f, h, j. basins, Traino Brown: Traino Variety (Late Classic II-early Terminal Classic Makan complex forms; also present at Becan).
 f. WPT 182 B; h. WPT 153 B; j. WPT 127 C

i, k. basins, unspecified brownware types (i. Becanchen Brown probable [Late Classic I-early Late Classic II]; Late Classic II Makan complex Becanchen Brown probable, Traino Brown possible; not typical of Becan Bejuco complex Becanchen Browns).
 i. WPT 348 B; k. WPT 348 B

l. jar, wide-mouthed, unspecified brownware type (Late Classic northwestern coastal plain form indicating unspecified interregional interactions of some kind; not found at Becan). WPT 202 C

m, r-u. jars, eroded brownware, late Becanchen Brown or Traino Brown possible (Late Classic II Makan ceramic complex; r-s, u. not found at Becan; t. present at Becan).
 m. WPT 122 D; r. WPT 348 B; s, u. WPT 178 A; t. WPT 206 A

n-o. basins, eroded brownware, Traino Brown probable (Late Classic II-Terminal Classic Makan complex).
 WPT 207 A

p-q. jars, eroded brownware, Traino Brown probable (Late Classic II-Terminal Classic Makan complex; not found at Becan). WPT 127 C

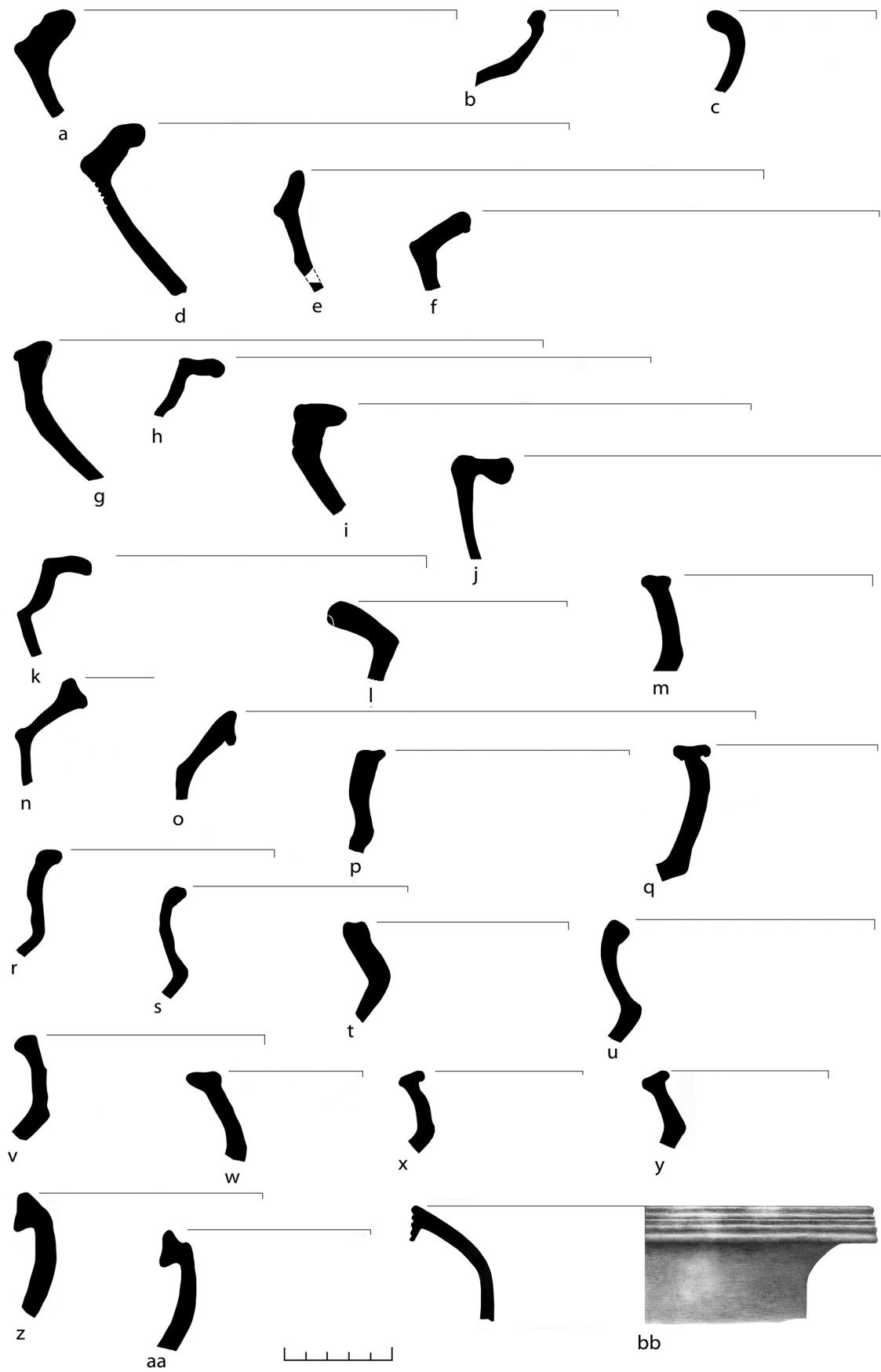
v, x-y. jars, unspecified brownware type, Traino Brown probable (Makan complex member; possibly also present at Becan)

v, x. WPT 178 A; y. WPT 385 C

w. jar, Traino Brown: Traino Variety (late facet Makan complex; early Terminal Classic). WPT 207 A

z-aa. jars, Traino Brown: Variety Unspecified (early Terminal Classic Chintok and Makan variety; also found at Becan; close modal form ties to Encanto Striated: Yokat Variety suggestive of strong northwestern-northern Yucatan influence or direct interaction). WPT 178 A

bb. jar, Nimun Brown: Nimun Variety (unquestionably an import from somewhere along the central to northern coast of Campeche, or the northwestern plains; excellent indicator of direct Terminal Classic interaction with this zone; does not occur in the Xcocom complex either at Becan or elsewhere across the southeastern Campeche-Quintana Roo region). WPT 147 C



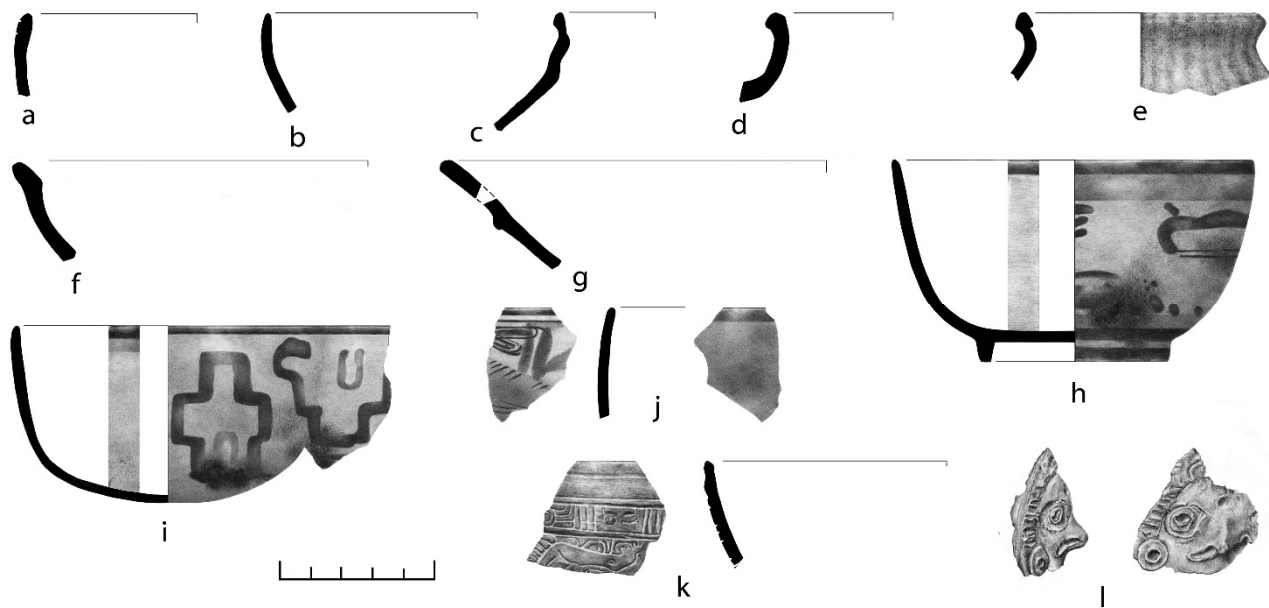


Figure 6.A5. Mixed Finewares - Slates, Bichromes, Polychromes, Fine Orange, and Composites

a. bowl, Xul Incised, Xul Variety probable (by far one of the strongest indicators of direct interactions with the northern third of the peninsula, especially the regions to the northwest and north northwest; a strong component of the Terminal Classic Becán Xcocom complex).

Op. J23-1: Capa 2

b. bowl, Ticul Thin-slate, Ticul Variety probable (by far one of the strongest indicators of direct interactions with the northern third of the peninsula, especially the regions to the northwest and north northwest; a strong component of the Terminal Classic Becán Xcocom complex).

WPT 217 B

c-e. jars, Pixtun Trickled-grey: Pixtun Variety (strongly associated with the regional Terminal Classic beginning in the late Chintok and Makan ceramic phases, and continuing well into the full Terminal Classic Xcocom phase; well represented at Becán).

c. WPT 127 C; d. WPT 202 C; e. 217 B

f. deep dish, Dos Arroyos Orange-polychrome: Dos Arroyos Variety (excellent ceramic index fossil for the regional initial Early Classic Chacsik ceramic phase from ca. A.D. 200 to A.D. 400/450 or later).

Op. J23-1: Capa 3

g. deep serving dish, Saxche Orange-polychrome: Dzaptun Variety (excellent ceramic index fossil for the later Early Classic or initial Middle Classic Sabucan ceramic phase, ca. A.D. 450-620).

Op. J23-1: Capa 3

h-i. bowls, Saxche Orange-polychrome: Variety Unspecified (identify with type and variety as represented at Becán; stylistically equally well connected to the north central Petén or the northeastern lowlands of Quintana Roo).

h. Op. H24-e: Capa VI; i. Op. J23-1: Capa 3

j. bowl, Chimbote Cream-polychrome: Chimbote Variety (regional Late Classic II cream polychrome type and variety likely tied to the mega capital city of Calakmul).

WPT 171 D

k. bowl, Pabellon Molded-carved: Pabellon Variety (member of the Altar (R.E. Smith's "Y" Fine Orange) ceramic group of the lower Usumacinta River drainage and the Tabasco coastal plain; important member of the Terminal Classic Xcocom complex, well-represented at Becán)
WPT 127 C

l. lid adornment, "cookie jar" cache-vessel, Paaktzatz Modeled: Paaktzatz Variety (stylistically, very certainly of LCI-II date (ca. A.D. 680-770); clear indication of the onetime presence of a since looted subfloor offering; widespread across southeastern Campeche and southwestern Quintana Roo).

Op. J23-1: Capa 3

7. Excavaciones de sondeo

Atasta Flores Esquivel

Operación K24-1 (N18°42'17.8", W89°30'35.7")

La operación se llevó a cabo sobre un pequeño montículo “*chi'ich'*” en el grupo K24-c, el cual es una aglomeración de este tipo de construcciones peculiares, situada a 2 kilómetros al sureste del Complejo Sureste de Chactún (figura 7.1). Las posibles funciones de este tipo de edificaciones pequeñas de formas irregulares o no, presentes en muchas partes de la península de Yucatán, no han dejado de ser problemáticas e intrigantes, a pesar de haberse propuesto interpretaciones diversas. Su abundante presencia en aglomeraciones y cúmulos en el área estudiada que abarca el mapeo con LiDAR, y su frecuente, pero no exclusiva asociación con sistemas de terrazas agrícolas y albarreadas, de momento genera más interrogantes que respuestas, aunque resulte razonable suponer que se trata de rasgos asociados a algún aspecto de la producción agrícola.

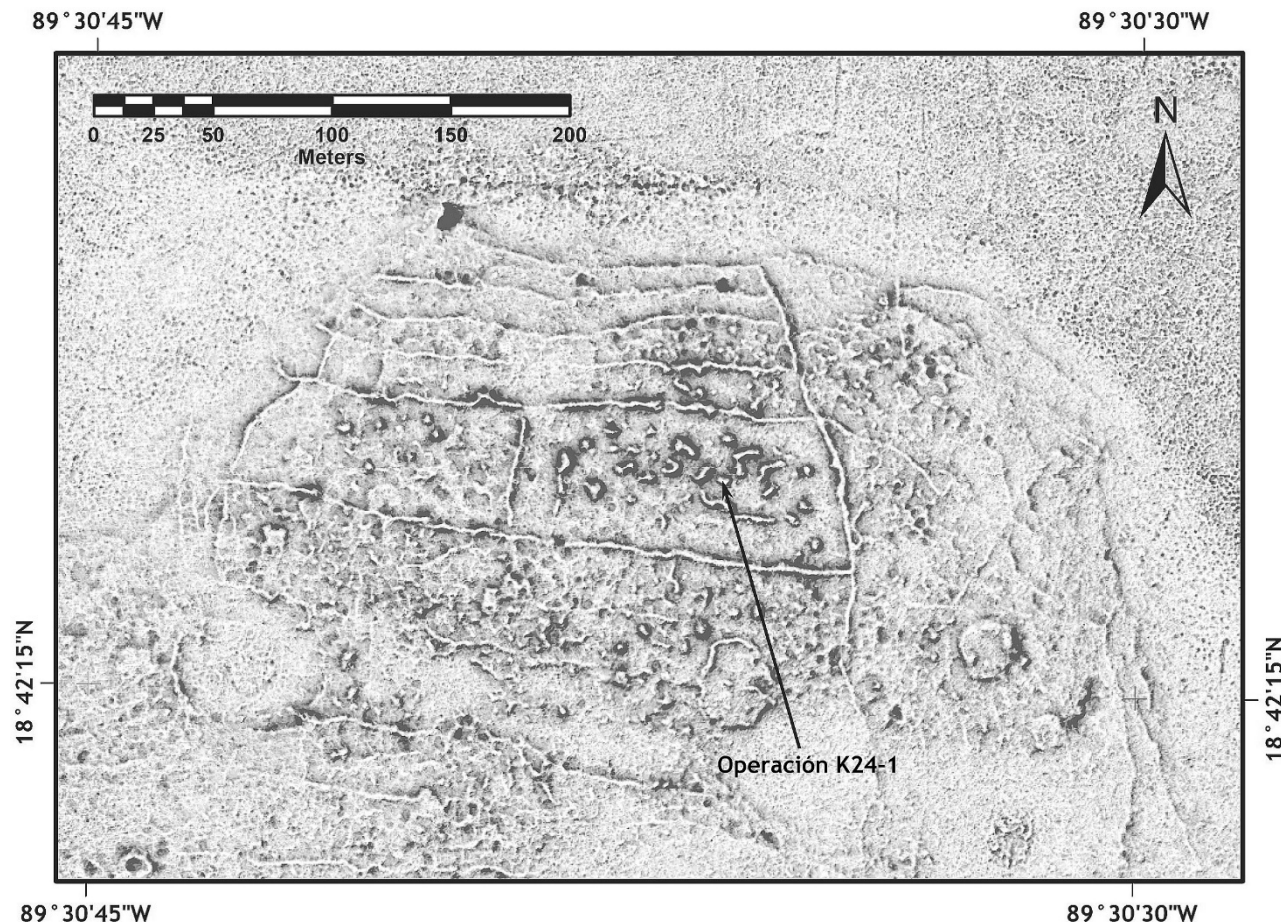


Figura 7.1. Ubicación de la Operación K24-1 en el grupo K24-c.

Con lo anterior en mente, la operación tuvo como objeto muestrear la naturaleza constructiva de estos montículos en la región y, de ser posible, obtener muestras cerámicas para tener una idea acerca de su temporalidad. La operación consistió así de una pequeña cala de 3 m × 1 m, orientada longitudinalmente hacia

los 16° al este del norte magnético (figuras 7.2 y 7.3). La cala seccionó parcialmente la parte media de uno de estos montículos en su lado sur, el cual fue seleccionado dentro de la citada agrupación. Dicho montículo presentó una forma bastante regular, teniendo unos 4 m de largo, 1.5 m de ancho y una altura de poco menos de 70 cm sobre el nivel del terreno circundante. La excavación dio como resultado la documentación de cinco lotes, pertenecientes a por lo menos tres niveles o capas estratigráficas distintas, previas a la detección de la roca madre, la cual fue hallada a tan sólo 34 cm de profundidad con respecto al nivel del terreno circundante (figura 7.4).



Figura 7.2.
Operación
K24-1, vista
hacia el
noreste.



Figura 7.3.
Operación
K24-1, vista
hacia el
noroeste.

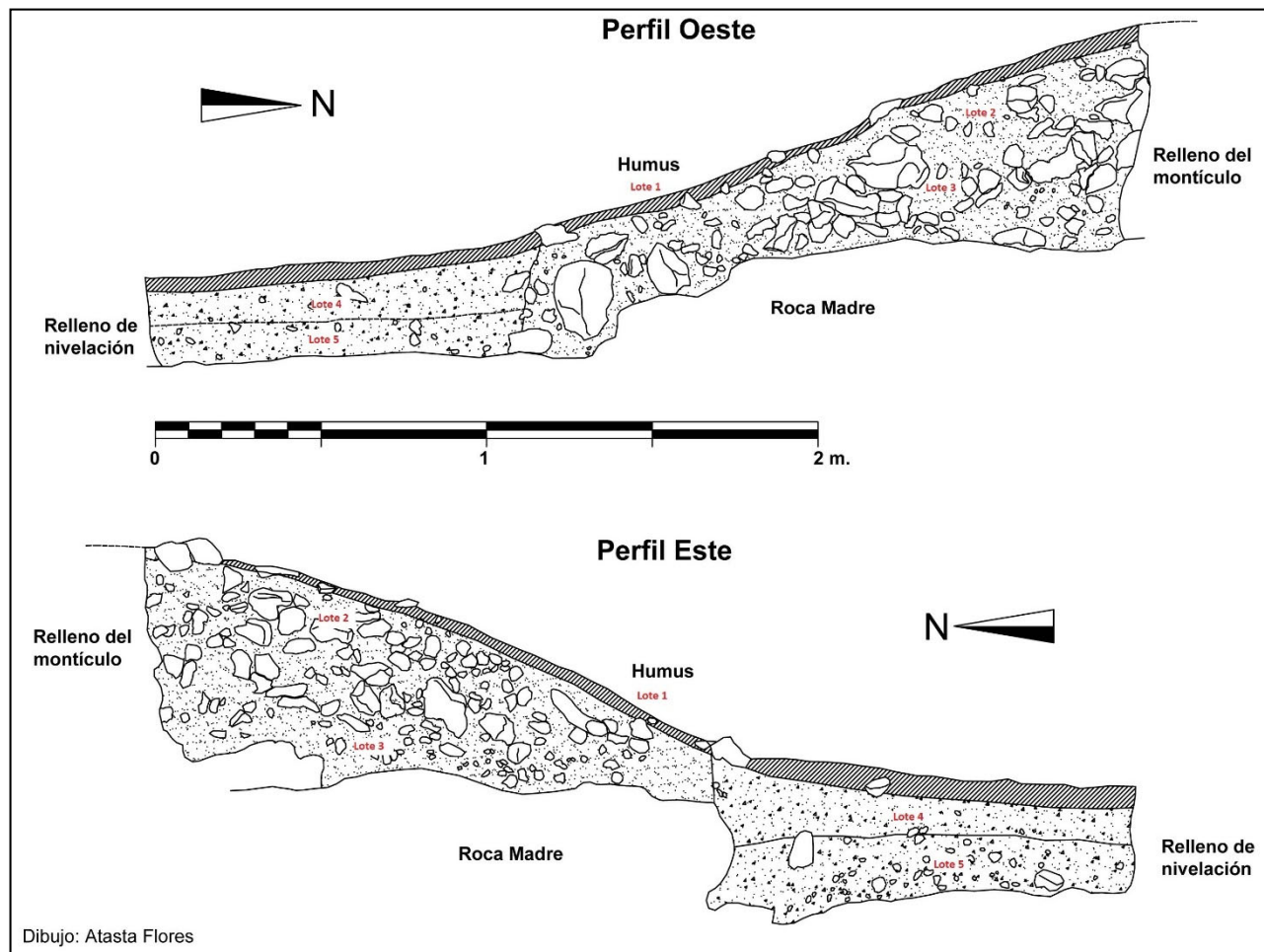


Figura 7.4. Operación K24-1, perfiles.

El lote 1 correspondió a la capa de humus o tierra vegetal superficial, hallada en toda la extensión de la operación. Tuvo un espesor promedio de 10 cm en el suelo adyacente al montículo, mientras que en la superficie del mismo ésta fue bastante menor, debido a que muchas de las piedras de su relleno sobresalían en la superficie. Hacia la parte sureste de la operación se detectó una gran cantidad de ceniza como parte de la matriz de tierra vegetal, y en esta capa se obtuvieron algunas muestras de material cerámico y de lascas de pedernal.

Los lotes 2 y 3 correspondieron a niveles distintos y un tanto arbitrarios del relleno mismo de piedras del montículo (con un espesor máximo total de 70 cm), las cuales se hallaron insertas en una matriz de tierra café grisáceo oscura, sin algún tipo de mortero o amarre. Las piedras de este relleno son de formas completamente irregulares y de tamaños bastante pequeños (en su mayoría no mayores a las de un puño), colocadas todas sin un orden aparente, como si de un botadero de material se tratase; con excepción de algunas piedras de tamaño mayor que fueron colocadas hacia la parte inferior del montículo, a manera de posible sostén o núcleo, y hacia su orilla exterior, colocadas aparentemente a manera de retén. Ésta fue la razón por la que se registraron dos niveles distintos del relleno, pues el primero (lote 2) parecía corresponder a un nivel donde predominaban las piedras calizas pequeñas y medianas irregulares (con un espesor de 40 cm), mientras que el siguiente nivel (lote 3) inició a la altura donde fue hallado un bloque de piedra grande y trabajado de mejor manera, que parece corresponder a la citada cimentación o núcleo del montículo, hasta su contacto con la roca madre (30 cm de espesor).

Hacia la parte sur de la operación, fuera del área del montículo mismo, debajo de la capa de humus, se halló un relleno bastante compacto, compuesto por gravas y gravillas calizas insertas en una matriz de tierra

café claro, hecho con la aparente intención de nivelar el terreno alrededor del montículo (lotes 4 y 5). Este estrato también fue dividido en dos lotes distintos, dado a que la parte superior (de 15-20 cm de espesor) parece corresponder a un nivel de material de derrumbe y sedimentación, revuelto con los restos del relleno propiamente dicho. Inmediatamente abajo, el lote 5, de características prácticamente idénticas, presentó una compactación mayor y una distribución aparentemente más homogénea de las gravas y gravillas calizas (15-20 cm de espesor), hasta su contacto con la roca madre.

Debemos añadir, finalmente, que el emplazamiento del montículo parece haber sido ideado con el objeto de aprovechar una protuberancia natural de la roca madre, pues el comienzo de ésta coincide curiosamente con el del desplante del montículo. Por otro lado, la presencia de algunas piedras grandes y mejor trabajadas al interior y hacia el desplante del montículo no parece coincidir con la idea (tomada en cuenta, entre muchas) de que éstos montículos, o por lo menos el presente, fueran simples botaderos de cascajo. Si bien sus características constructivas son rudimentarias, podemos concluir que no son simples lugares de desecho.

Operación H20-1 (N18°44'46.7", W89°32'01.1")

El grupo H20-a, al norte de Chactún, incluye un conjunto de terrazas agrícolas sobre la ladera de una elevación natural. La Operación H20-1 consistió en una pequeña cala de exploración practicada transversalmente sobre la terraza inferior (figura 7.5). El objetivo fue el de observar la naturaleza constructiva de las terrazas y compararla con otras que se han documentado en la región, particularmente en el área Río Bec (Lemonnier y Vannière 2013). La cala tuvo 3.5 m de largo en sentido norte-sur y un metro de ancho, con una orientación longitudinal de 348° respecto al norte magnético. Se excavó mediante el sistema de lotes, identificándose seis unidades estratigráficas que describimos a continuación (figura 7.6).

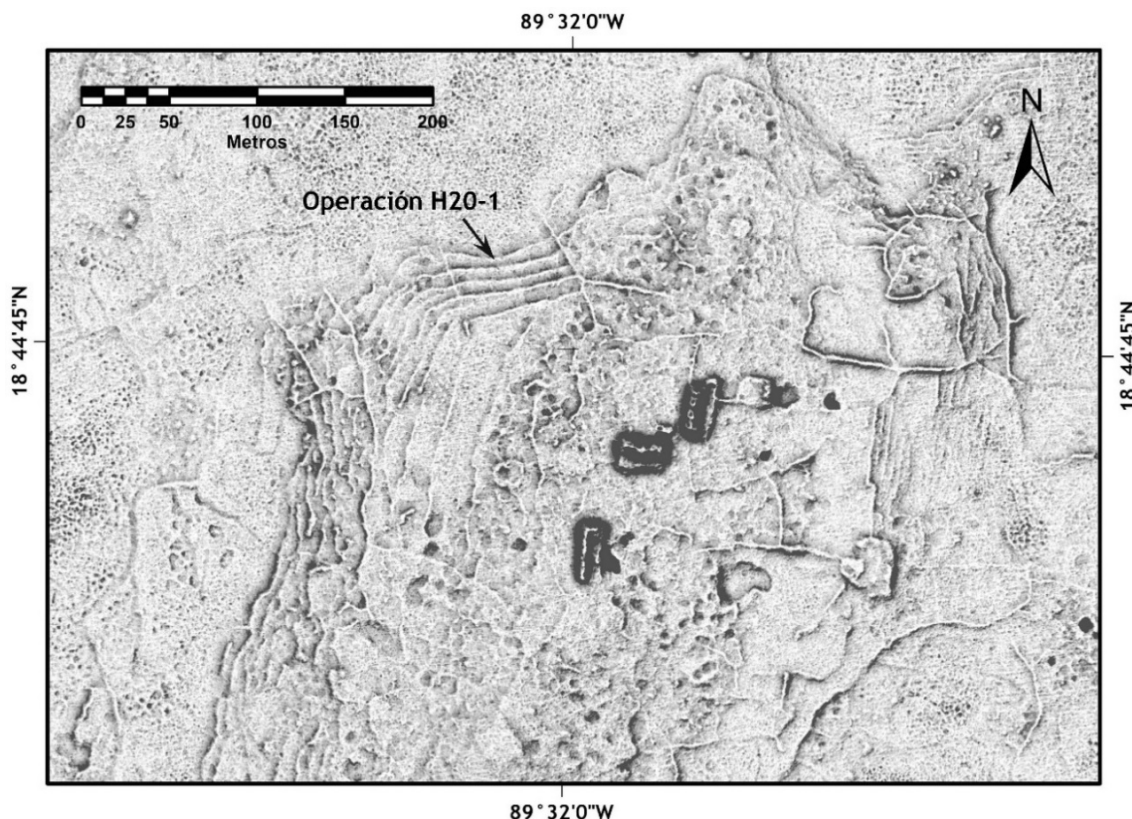


Figura 7.5.
Ubicación
de la
Operación
H20-1 en
el grupo
H20-a.

El lote 1 correspondió a la capa de humus o suelo vegetal, presente en toda la extensión de la operación. Con un espesor promedio de 7 cm, esta capa se compuso de una matriz de tierra oscura, con inclusiones de gravillas calizas y algunas piedras grandes dispersas aflorando en la superficie, con seguridad pertenecientes originalmente al muro o retén de la terraza misma. Esta capa presentó también una abundante presencia de raíces pequeñas, y al terminarse de excavar pudieron observarse tres elementos estratigráficos que constituyeron los lotes siguientes (2, 3 y 4).

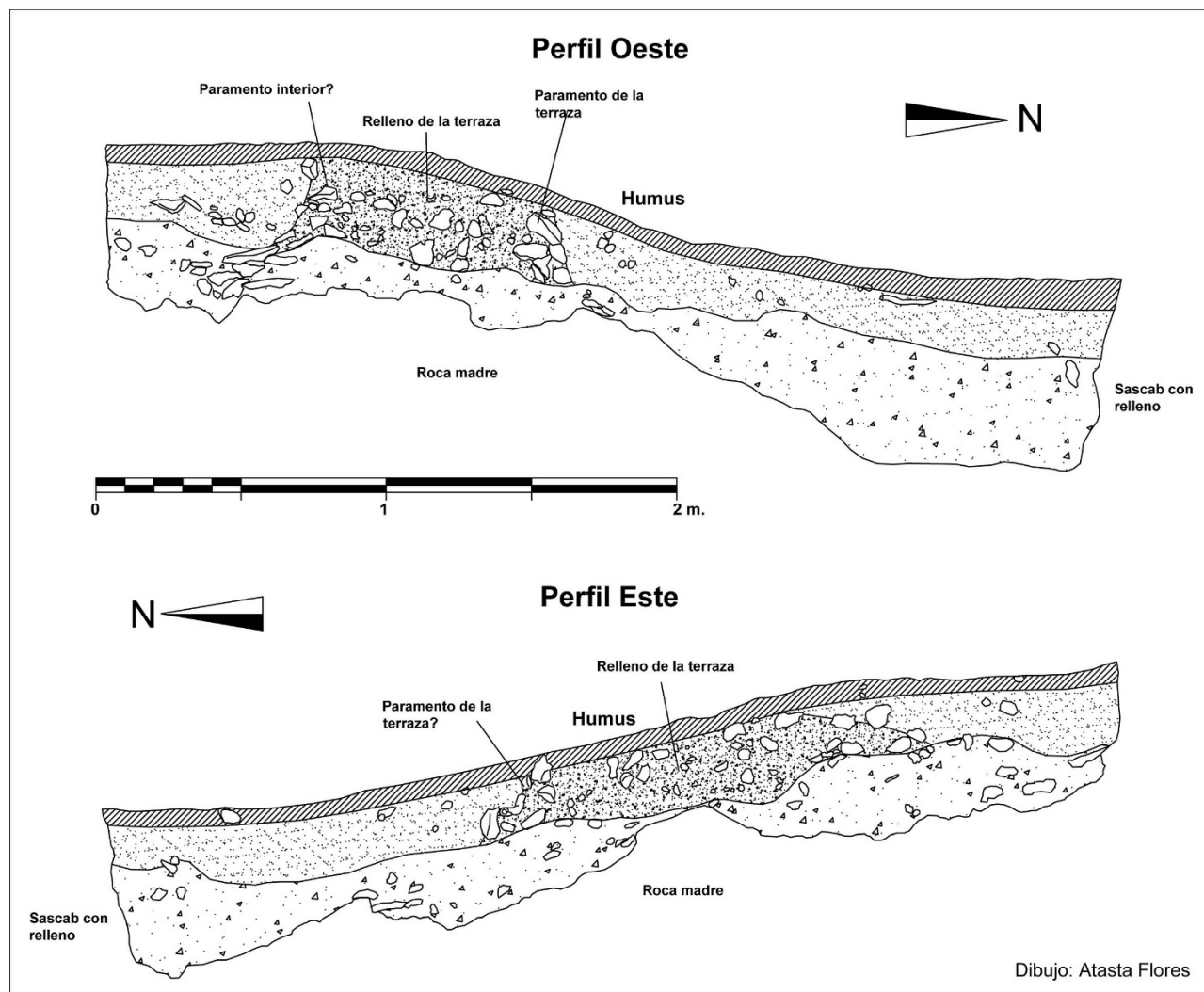


Figura 7.6. Operación H20-1, perfiles.

El lote 2 ocupó toda la sección sur de la cala debajo de la capa de humus, extendiéndose sobre un área de $1.1 \text{ m} \times 1 \text{ m}$, con un espesor promedio de 12 cm. Este corresponde a una capa de tierra café grisáceo, con abundantes inclusiones de gravillas y gravas calizas. Aparentemente se trata del suelo y relleno de tierra y piedras que se buscó contener con el cuerpo de la terraza misma (lote 3), para las labores agrícolas o de horticultura que se buscaron realizar, así como parte del derrumbe y sedimento depositado tras el abandono de las terrazas.

El lote 3, como ya se expresó, correspondió al cuerpo de la terraza propiamente dicho, ocupando la parte centro-sur de la cala. Ésta se compone por dos pequeños muros o retenes, al parecer uno exterior bien definido, y otro interior, más pequeño e irregular, y por el relleno contenido entre ellos. Dichos retenes fueron construidos con dos hiladas de piedras calizas grandes y medianas, de formas irregulares o poco trabajadas (sobre todo hacia el frente exterior de la terraza, o su lado norte), cuyo espacio interior fue llenado con

piedras de menor tamaño, insertas en una matriz de tierra café grisáceo. El talud de la terraza conserva una altura de 35 cm en promedio, y el ancho de ésta alcanzó el metro, aunque debemos señalar que su estado de conservación no fue muy bueno.

El lote 4 correspondió al relleno o suelo exterior a la terraza, ocupando todo el sector norte de la cala (1.8 m × 1 m). Éste se compone de una matriz de tierra café grisácea, con abundantes inclusiones de gravillas calizas y piedras pequeñas, con un espesor promedio de 15 cm.

Debajo de los anteriores lotes se halló en toda la extensión de la operación una capa de tierra gris claro con gravas y piedras pequeñas, que cambiaba a una matriz donde predominaba el *sascab* conforme nos acercamos a la roca madre. Como en un principio no fue claro que ésta fuera una misma capa en toda la extensión de la operación, hasta que no se removió el cuerpo de la terraza (lote 3), se dividió en dos lotes distintos: uno en la sección sur de la operación (lote 5) y otro en la sección norte (lote 6). Esta capa tuvo un espesor máximo de 35 cm, el cual dependió de las protuberancias o depresiones de la roca madre.

Operación J23-1 (N18°42'57.3", W89°31'08.9")

Sobre el extremo sureste de la meseta en la que se encuentra el Complejo Sureste de Chactún se extienden en sentido este-oeste no menos de cuatro conjuntos periféricos con estructuras ceremoniales y domésticas. La Operación J23-1 fue practicada al interior de la plaza del conjunto J23-b, ubicado en el extremo oriental de dichos grupos, frente al desplante de su estructura principal, que es un basamento piramidal de 7 metros de altura que cierra la plaza por su lado oriente. Este conjunto había sido detectado durante los recorridos de la temporada del año 2013, siendo registrado como Grupo Cha-2 (Šprajc *et al.* 2015c: 20). La operación consistió en un pozo de sondeo con unas dimensiones de 2 m × 2 m, desviado 16° al este del norte magnético. Su objetivo fue el de obtener información preliminar acerca de la secuencia constructiva y ocupacional del grupo, con la expectativa de hallar una sucesión posible de pisos con materiales cerámicos “sellados” que pudieran proporcionar un parámetro inicial de comparación estratigráfica con sitios vecinos como Becán. El pozo fue excavado hasta la roca madre, llegando a una profundidad máxima de 1.40 m debajo del nivel actual del terreno. Se detectaron seis capas estratigráficas distintas, que constituyeron los lotes que describimos a continuación (figuras 7.7 y 7.8).



Figura 7.7. Operación J23-1, perfiles norte (a) y sur (b).

El lote 1 fue la capa de humus o suelo vegetal superficial. Con un espesor de 7 cm en promedio, se compone de una matriz de tierra limo-arenosa de una coloración grisácea-café, con presencia abundante de raíces pequeñas. Ésta fue seguida por el lote 2, que presentó una matriz de tierra muy similar a la capa anterior, pero con una presencia menor de raíces y mayor de gravillas y gravas calizas. Ésta parece corresponder a un firme muy deteriorado, previo a lo que debió ser el piso de estuco, hoy en día desaparecido (al menos en el área de la operación), de la plaza. En ambas capas se observó la presencia ocasional de piedras grandes, que

formaron parte de la estructura piramidal adyacente a la operación, y cuyo derrumbe sin duda contribuyó al deterioro del piso referido.

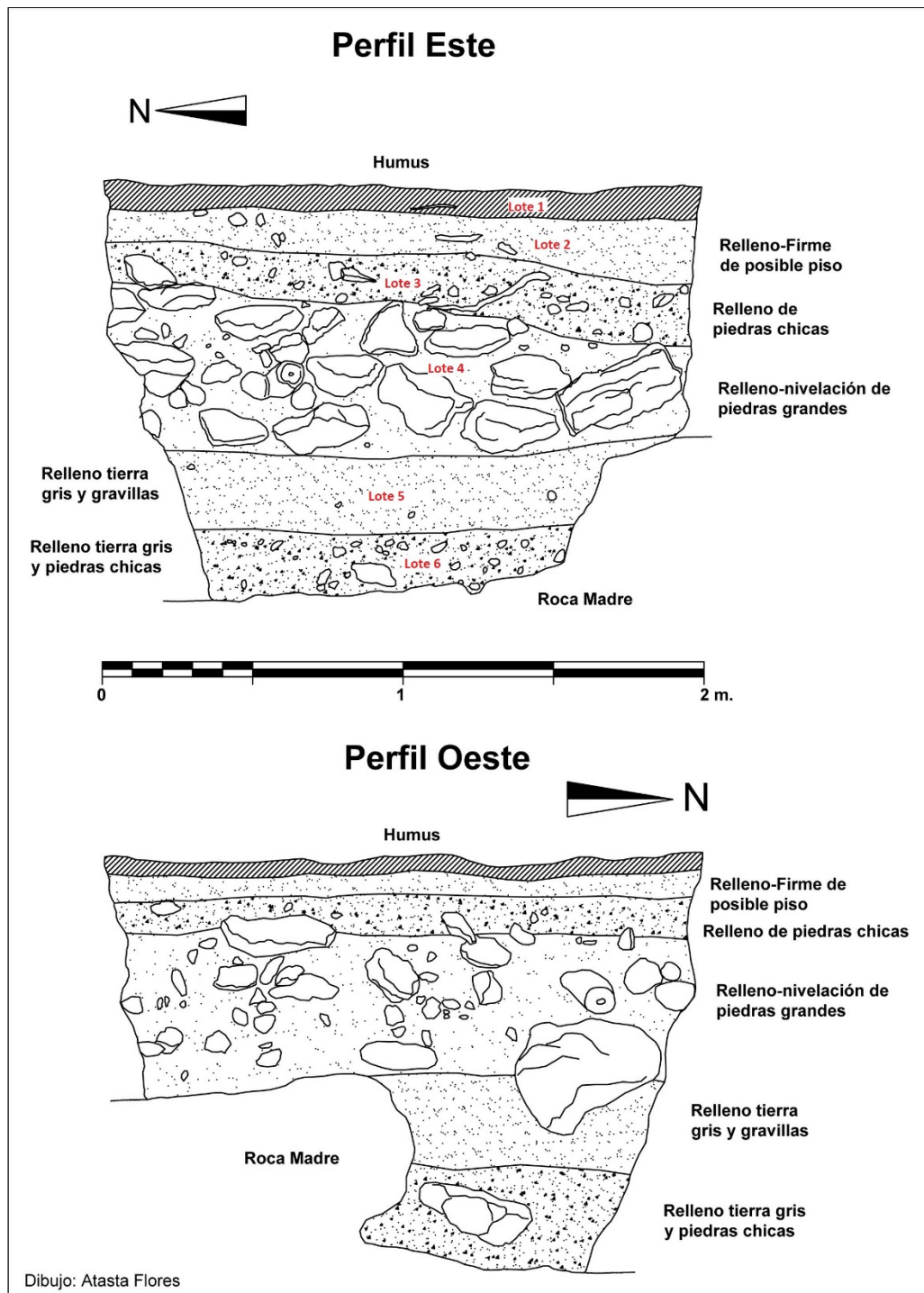


Figura 7.8.
Operación J23-1,
perfíles este y
oeste.

El lote 2 dio es un relleno de gravas y piedras chicas y medianas con una matriz de tierra similar a la anterior. Este relleno parece ser una nivelación de preparación, previa al firme anteriormente descrito, cuyo espesor máximo fue de 25 cm. Bajo este relleno teníamos la expectativa de encontrar los restos de un piso más antiguo de la plaza, pero en cambio, éste dio paso a un segundo relleno de nivelación, formado por piedras

de considerable tamaño, de hasta 40 cm de largo (lote 4); con un espesor de hasta 50 cm, su propósito fue sin duda elevar el nivel de la plaza resultante mediante la creación de una gran terraza o plataforma para el conjunto. Algunos restos de argamasa que al parecer dieron amarre a estas piedras fueron hallados hacia la sección suroeste de la operación.

Bajo el relleno anterior comenzó una capa formada por una especie de argamasa de *sascab* y tierra de color gris claro, muy poco compacta y con inclusiones de piedras pequeñas y gravillas calizas. Ésta constituyó el lote 5, y en el extremo sur de la operación terminó casi de inmediato, al topar con una gran protuberancia de la roca madre que afloró hasta llegar a sólo 75 cm por debajo del nivel actual de la superficie, indicando así que el propósito de ésta capa y del lote siguiente (6) fue el de nivelar y llenar, en una primera etapa constructiva, las irregularidades de la roca madre natural.

En efecto, el lote 6 tan sólo representó un nivel previo muy similar al relleno del lote 5, también con una matriz de tierra grisácea y *sascab*, pero con una mayor compactación y notoria presencia de gravas y piedras calizas pequeñas. Este lote comenzó a una profundidad de 115 cm y terminó al topar con el resto de la roca madre, a una profundidad promedio de 135 cm del nivel actual de la superficie.

Como conclusión preliminar podemos decir que la Operación J23-1 no ofreció evidencias de una sucesión de pisos o superficies que sugieran una gran profundidad temporal para el grupo en cuestión, al menos en cuanto a la actividad constructiva en el área de su plaza principal. Quizá podamos distinguir dos grandes eventos constructivos para dicha plaza: uno representado por la nivelación inicial de la roca madre (lotes 6 y 5), y otro por la elevación de una terraza o plataforma basal para la plaza misma (lotes 4-1); aunque debemos señalar la posibilidad de que quizás todos los rellenos formaron parte de un solo proyecto constructivo. En tal caso, los resultados de este sondeo podrían estar asociados a un posible gran crecimiento poblacional y urbano, expresado en la multiplicación de grupos periféricos fuera del área nuclear de Chactún, hacia la segunda mitad del Clásico Tardío. Futuros sondeos en más grupos periféricos y en el mismo núcleo de Chactún, podrán aclarar esto.

8. Construcción del espacio de protección para la Estela 1 de Chactún

Ivan Šprajc

Al llegar al sitio de Chactún, en marzo de 2017, nos percatamos de que la palapa que habíamos construido en 2013, con el objetivo de proteger los singulares diseños de estuco en la Estela 1 (Šprajc 2015), estaba severamente dañada. En algún momento después de haber concluido nuestra temporada 2013, un árbol cayó sobre el techo de lámina de cartón, que no resistió el golpe, pero al parecer lo amortiguó, por lo que la estela, en cuyo ápice estaba apoyado el tronco del árbol, no sufrió ningún daño (figura 8.1).



Figura 8.1.
Chactún,
Complejo
Oeste,
situación en
la que fue
encontrada
la Estela 1
en 2017.

Por estar irreparable el techo, decidimos reemplazarlo con uno de lámina corrugada y, además, sustituir los postes deteriorados con otros más fuertes. Tanto por la posición en la que se encontraban el tronco y las ramas del árbol caído como por su peso, el proceso de quitar este material y los restos del techo de lámina de cartón tuvo que ser cuidadosamente planeado, para evitar cualquier daño a la estela. Pese a las dificultades, esta operación, así como la posterior construcción de un espacio más resistente para proteger el monumento, fueron realizadas con éxito, gracias a la destreza y la dedicación de nuestros trabajadores (figuras 8.2 y 8.3).



Figura 8.2. Chactún,
Estela 1 con el nuevo
techo de protección,
vista hacia el norte.



Figura 8.3. Chactún,
Estela 1 con el nuevo
techo de protección,
vista hacia el
poniente.

9. Comentarios finales

Ivan Šprajc

Después de la adquisición de los datos LiDAR, en 2016, el proyecto de investigación continuó en 2017 con la primera temporada de campo. Al haber elaborado una estrategia de muestreo, inspeccionamos diversas concentraciones representativas de vestigios arqueológicos en la parte norte del área de 200 km², escaneada con LiDAR. Las verificaciones de campo continuarán en 2018 en la porción restante del área; varios análisis que pretendemos realizar serán basados en todos los datos, incluyendo los resultados de los análisis cerámicos, por lo que en esta etapa del proyecto no son posibles más que algunas conclusiones preliminares.

La utilidad y relevancia de la tecnología LiDAR para las prospecciones arqueológicas ha sido demostrada en diversas partes del mundo y corroborada en nuestro caso. Con base en los datos LiDAR, debidamente procesados y visualizados, hemos podido detectar múltiples rasgos del antiguo paisaje cultural, que durante los recorridos pedestres en el entorno del bosque tropical escapan la atención, o son prácticamente imperceptibles y pueden ser identificados apenas al conocer su forma y localización y verificarlos en campo con la ayuda de los dispositivos de posicionamiento satelital. Desde luego, las verificaciones en campo siguen siendo ineludibles, tanto para documentar diversos detalles importantes que no son visibles en los productos LiDAR (monumentos, características de los edificios y otros rasgos antropogénicos, peculiaridades del medio ambiente) como para tomar muestras del material de superficie y realizar excavaciones de sondeo. No obstante, los datos LiDAR incrementan enormemente la eficacia de los recorridos de campo, que de esta manera pueden enfocarse en las áreas con la presencia de vestigios arqueológicos.

La característica más sobresaliente de nuestra área de estudio es, sin duda alguna, la gran densidad de los restos arqueológicos, tanto de los grupos arquitectónicos de diferentes tamaños como de otras adecuaciones del paisaje. Entre los tipos cerámicos predominan los del Clásico Tardío, época a la que seguramente pertenece la mayor parte de los vestigios. El gran número de estructuras con cuartos abovedados sugiere que prácticamente todas las comunidades contaban con, o tenían acceso a, especialistas que conocían la tecnología necesaria. Asimismo, llama la atención la presencia de fachadas de mampostería fina y elementos de decoración arquitectónica en estructuras de modestas dimensiones que componen grupos pequeños. Como observan Flores y Pérez (2006: 100), el poder centralizado se refleja en mayores diferencias en calidad constructiva, por lo que en nuestro caso es posible suponer un grado considerable de descentralización política y una distribución relativamente amplia de bienes, al menos durante el Clásico Tardío. Tal organización social y política es sugerida también por la presencia, en varios grupos pequeños, de monumentos esculpidos y, en la parte sur del área recorrida en esta temporada, de las canchas de juego de pelota (*cf.* Stark y Stoner 2017: 412f). Al parecer se trata de una situación comparable a la observada en la región Río Bec (Nondédéo *et al.* 2010; Michelet 2014) y en Caracol, Belice, también durante el Clásico Tardío, y designada por Chase y Chase (2009) como “igualitarismo simbólico”.

Finalmente, la complejidad de la jerarquía política regional se refleja en los monumentos grabados. Las diferencias en la calidad de los relieves se corresponden con la magnitud y elaboración de los conjuntos arquitectónicos en los que se encuentran, además de que los textos jeroglíficos en dos altares contienen títulos que denotan distintas posiciones en la organización territorial de los dignatarios referidos. Es de suponer que, durante el Clásico Tardío, el centro rector de una gran parte del área que inspeccionamos en esta temporada de campo era Chactún, aunque el sector norte posiblemente estaba subordinado a otro centro localizado más hacia el norte, posiblemente Pechal, reportado por Ruppert y Denison (1943: 91s). Tal suposición es apoyada por las diferencias culturales que se observan entre las partes norte y sur de nuestra región. Así, por ejemplo, las plazas de planta irregular, rodeadas con edificios encorvados y casi continuos, aparecen únicamente en la parte norte, es decir, relativamente cerca de Pechal, que también se caracteriza por una plaza de este tipo, mientras que la distribución de los juegos de pelota está limitada a la parte sur. La naturaleza de las relaciones

con la región Río Bec permanece enigmática; aunque algunos rasgos arquitectónicos son reminiscentes de esa región (taludes con escalones “falsos”, torres gemelas, elementos decorativos), la omnipresencia de templos piramidales sugiere una tradición diferente.

La presencia de calzadas en nuestra área arroja luz sobre los sistemas de comunicación entre diversos poblados o comunidades. Los caminos se destacan ante todo en los bajos, donde su construcción debió ser particularmente importante por motivos prácticos, ya que facilitaba la comunicación y transportación de bienes a través de terrenos estacionalmente inundados o apantanados. Por otra parte, las dimensiones de la calzada que comunica los Complejos Oeste y Sureste de Chactún seguramente reflejan el uso ritual o relacionado con la ostentación del poder político.

Entre las modificaciones del paisaje natural destacan las que se relacionaban con el manejo del agua y las técnicas de agricultura intensiva. Los terraplenes que rodean todas las aguadas seguramente resultaron del amontonamiento del material excavado con el objetivo de aumentar su volumen o impedir que se llenaran de fango. A muchas aguadas conducen canales, frecuentemente bordeados por camellones, obras que han de haber canalizado el flujo del agua desde los bajos circundantes. La intervención humana es evidente también en las aguadas que manifiestan plantas aproximadamente cuadradas. Menos comprensible es la función de los múltiples canales que atraviesan los bajos; es altamente probable que también sirvieran para el manejo del agua, posiblemente para drenar los terrenos potencialmente adecuados para la agricultura, aunque apenas los análisis mediante los Sistemas de Información Geográfica que pretendemos realizar, para reconstruir los flujos del agua (*cf.* Macrae y Iannone 2016), permitirán conclusiones más confiables. En vista de las cantidades considerables de pedernal en los canales, es posible que el área cuente con yacimientos abundantes de este material.

Los camellones y las albaradas probablemente tuvieron varias funciones, pero su frecuente asociación con las terrazas y los canales indica que uno de sus usos más comunes estaba relacionado con el control de los flujos del agua y la agricultura intensiva. Si las terrazas fueron construidas predominantemente durante el Clásico Tardío, como en el caso de La Milpa, en Belice (Dunning *et al.* 1999), su ubicuidad ha de reflejar la presión demográfica en este periodo. No cabe duda de que el crecimiento poblacional fue posibilitado por una eficaz adaptación al medio ambiente, pero a la vez contenía gérmenes de la crisis que siguió, provocada por la sobrepoblación y cuyos primeros indicios parecen ser las evidencias del uso secundario de monumentos. El hecho de que algunas estelas fueron rotas y los fragmentos reutilizados como esquineros de los juegos de pelota, así como la reutilización de columnas y piedras cilíndricas en los muros y albaradas, podrían reflejar el arribo de grupos foráneos, para los que los monumentos de sus antecesores no tenían mayor importancia o adquirieron un significado diferente. Tal escenario no es improbable, considerando que un notable abandono a mediados del siglo octavo, seguido por un cambio poblacional, fue documentado en Becán (Ball 2014) y puede suponerse también para Chactún (Šprajc 2015: 94s).

Un vasto territorio que se extiende entre las regiones Río Bec y Chenes permanece arqueológicamente desconocido. El registro de los sitios de Chactún, Tamchén y Lagunita, en 2013 y 2014, y las prospecciones en 2017, que ampliaron el conocimiento arqueológico sobre el área circundante, representan los primeros pasos hacia la reducción de esta laguna. Si recordamos que algunos estudiosos, al considerar las similitudes entre los estilos arquitectónicos Río Bec y Chenes, propusieron la existencia de una continuidad estilística en la zona intermedia (Potter 1976; 1977: 1ss; Adams 1981: 213), ahora resulta que las relaciones con las regiones circunvecinas eran más complejas y variables. Es de esperar que la continuación de nuestra investigación contribuya a la comprensión de la dinámica de poblamiento, organización social y geografía política de la región, arrojando mayor luz también sobre los procesos que resultaron en el drástico decrecimiento demográfico a finales del Clásico.

Bibliografía

Adams, Richard E. W.

- 1981 Settlement patterns of the central Yucatan and southern Campeche regions. En: Wendy Ashmore, ed., *Lowland Maya settlement patterns*, Albuquerque: School of American Research – University of New Mexico Press, pp. 211-257.

Aimers, James J.

- 2013 *Ancient Maya pottery: Classification, analysis, and interpretation*. Gainesville: University Press of Florida.

Akpinar Ferrand, Ezgi, Nicholas P. Dunning, David L. Lentz, y John G. Jones

- 2012 Use of aguadas as water management sources in two southern Maya Lowland sites. *Ancient Mesoamerica* 23 (1): 85-101.

Ball, Joseph W.

- 1977 *The archaeological ceramics of Becan, Campeche, Mexico*. Middle American Research Institute, Publication 43. New Orleans: Tulane University.

- 2014 Rethinking the Becán ceramic sequence: continuities, disjunctions, segmentation, and absolute chronology. *Latin American Antiquity* 25 (4): 427-448.

- 2015 Surface material from Tamchén and Lagunita. En: Ivan Šprajc, coord., *Reconocimiento Arqueológico en el Sureste de Campeche: Informe de la temporada 2014*. México: Instituto Nacional de Antropología e Historia, Archivo Técnico de la Coordinación Nacional de Arqueología.

en prensa Surface material from Lagunita, Tamchen, and Chactun. En: Ivan Šprajc, ed., *Archaeological reconnaissance in eastern Campeche: Chactun, Tamchen, and Lagunita*. Middle American Research Institute, Pub. 73, New Orleansns: Tulane University.

Beach, Timothy, y Nicholas P. Dunning

- 1995 Ancient Maya terracing and modern conservation in the Petén rain forest of Guatemala. *Journal of Soil and Water Conservation* 50 (2): 138–145.

Bernal Romero, Guillermo y Benito Venegas Durán

- 2005 Las familias de Palenque: poder dinástico y tejido social del señorío de B'aakal durante el periodo Clásico Tardío. *Lakamha'* 2 (16): 9-13.

Bueno Cano, Ricardo

- 1999 *Entre un río de robles: Un acercamiento a la arqueología de la región Río Bec*. Colección Científica 411, México: INAH.

Chase, Adrian S. Z., y John Weishampel

- 2016 Using lidar and GIS to investigate water and soil management in the agricultural terracing at Caracol, Belize. *Advances in Archaeological Practice* 4 (3): 357–370.

Chase, Arlen F., y Diane Z. Chase

- 1998 Scale and intensity in Classic period Maya agriculture: terracing and settlement at the “garden city” of Caracol, Belize. *Culture & Agriculture* 20 (2/3): 60–77.

- 2009 Symbolic egalitarianism and homogenized distributions in the archaeological record at Caracol, Belize: method, theory, and complexity. *Research Reports in Belizean Archaeology* 6: 15–24.

- Chmilar, Jennifer Andrea
 2013 *Ancient Maya cultivation in a dynamic wetland environment: Insights into the functions of anthropogenic rock alignments at El Edén ecological reserve, Quintana Roo, Mexico.* Tesis de doctorado, University of California, Riverside.
- CONABIO
 1995-96 "Fotografías aéreas de la Reserva de la Biosfera de Calakmul, Campeche, escala 1:20,000, 1995-1996". México: Comisión Nacional para el Conocimiento y Uso de la Biodiversidad (CONABIO).
- Dunning, Nicholas P.
 1991 Appendix I: soils and settlement in the Sayil valley: a preliminary assessment. En: Jeremy A. Sabloff y Gair Tourtellot, *The ancient Maya city of Sayil: The mapping of a Puuc region center*, Middle American Research Institute Publ. 60, New Orleans: Tulane University, pp. 20-27.
- Dunning, Nicholas, Timothy Beach, and David Rue
 1997 The paleoecology and ancient settlement of the Petexbatún region, Guatemala. *Ancient Mesoamerica* 8 (2): 255-266.
- Dunning, Nicholas, Vernon Scarborough, Fred Valdez Jr., Sheryl Luzzadder-Beach, Timothy Beach, y John G. Jones
 1999 Temple mountains, sacred lakes, and fertile fields: ancient Maya landscapes in northwestern Belize. *Antiquity* 73 (281): 650-660.
- Dunning, Nicholas P., Eric Weaver, Michael P. Smyth, y David Ortegón Zapata
 2014 Xcoch: home of ancient Maya rain gods and water managers. En: Travis W. Stanton, ed., *The archaeology of Yucatán*, Oxford: Archaeopress, pp. 65-78.
- Eaton, Jack D.
 1975 Ancient agricultural farmsteads in the Rio Bec region of Yucatan. *Contributions of the University of California Archaeological Research Facility* 27: 56-82.
- Esparza Olguín, Octavio Q.
 2015 Tamchén y Lagunita: registro y estudio de sus monumentos. En: Ivan Šprajc, Octavio Q. Esparza Olguín, Atasta Flores Esquivel, Aleš Marsetič, Arianna Campiani, y Joseph W. Ball, *Reconocimiento arqueológico en el sur de Campeche: Informe de la temporada de 2014* (ms.), México: INAH, Archivo Técnico de la Coordinación Nacional de Arqueología, pp. 51-70.
- 2016 *Estudio de los monumentos esculpidos de Cobá, Quintana Roo, y su contexto arqueológico.* Tesis de Doctorado. Posgrado en Estudios Mesoamericanos, Facultad de Filosofía y Letras, Universidad Nacional Autónoma de México, México.
- Flores Hernández, María, y Manuel Eduardo Pérez Rivas
 2006 Apuntes para el estudio de la organización sociopolítica de la costa oriental de Quintana Roo. En: Tsubasa Okoshi Harada, Ana Luisa Izquierdo, y Lorraine A. Williams-Beck, eds., *Nuevas perspectivas sobre la geografía política de los mayas*, México: Universidad Nacional Autónoma de México - Universidad Autónoma de Campeche - Foundation for the Advancement of Mesoamerican Studies, pp. 81-125.
- Freidel, David A., y Jeremy A. Sabloff
 1984 *Cozumel: Late Maya settlement patterns.* New York: Academic Press.
- Gifford, James C.
 1960 The Type-Variety method of ceramic classification as an indicator of cultural phenomena. *American Antiquity* 25 (3): 341-347.
- 1976 *Prehistoric pottery analysis and the ceramics of Barton Ramie in the Belize Valley.* Peabody Museum of Archaeology & Ethnology, Memoirs, Vol. 18. Cambridge, Mass.: Harvard University.

- Golden, Charles, Timothy Murtha, Bruce Cook, Derek S. Shaffer, Whittaker Schroder, Elijah J. Hermitt, Omar Alcover Firpi, y Andrew K. Scherer
 2016 Reanalyzing environmental lidar data for archaeology: Mesoamerican applications and implications. *Journal of Archaeological Science: Reports* 9: 293-308.
- Goñi, Guillermo
 1998 *Xamanhá: Un sitio arqueológico de la costa central de Quintana Roo*. Colección Científica 342, México: INAH.
- Grube, Nikolai
 2005 Toponyms, emblem glyphs, and the political geography of southern Campeche. *Anthropological Notebooks* 11 (special issue: Ivan Šprajc, ed., *Contributions to Maya archaeology*): 87-100.
- Hernández, Enrique, Thomas Schreiner, y Carlos Morales Aguilar
 2013 Uso público, uso privado y mitos asociados a las calzadas y sacbeob de El Mirador. En: Bárbara Arroyo y Luis Méndez Salinas, eds., *XXVI Simposio de Investigaciones Arqueológicas en Guatemala*, tomo II, Guatemala: Ministerio de Cultura y Deportes, Instituto de Antropología e Historia – Asociación Tikal, pp. 939–950.
- Hutson, Scott R., y Jacob A. Welch
 2014 Sacred landscapes and building practices at Uci, Kancab, and Ucanha, Yucatan, Mexico. *Ancient Mesoamerica* 25 (2): 421-439.
- Lemonnier, Eva, y Boris Vannière
 2013 Agrarian features, farmsteads, and homesteads in the Río Bec nuclear zone, Mexico. *Ancient Mesoamerica* 24 (2): 397-413.
- Macrae, Scott, y Gyles Iannone
 2016 Understanding ancient Maya agricultural terrace systems through lidar and hydrological mapping. *Advances in Archaeological Practice* 4 (3): 371–392.
- Merk, Stephan
 2015 A painted stucco frieze in Dzibánmac, Campeche, Mexico. *Mexicon* XXXVII (3): 58-62.
- Michelet, Dominique
 2014 Río Bec, lecciones de un lugar aparte. En: *Las grandes ciudades mayas de Campeche: Homenaje a Román Piña Chan*, Campeche: Secretaría de Cultura del Gobierno del Estado de Campeche – México: Pámpano Servicios Editoriales – Madrid: Turner Publicaciones, pp. 162-187.
- Morris, Earl H., Jean Charlot, y Ann Axtell Morris
 1931 *The Temple of the Warriors at Chichen Itza, Yucatan*, vol. 1. Carnegie Institution of Washington Publication 406, Washington: Carnegie Institution of Washington.
- Nalda, Enrique
 1989 Reflexiones sobre el patrón de asentamiento prehispánico en el sur de Quintana Roo. *Boletín de la Escuela de Ciencias Antropológicas de la Universidad de Yucatán* 16, no. 97: 3-27.
- Nondédéo, Philippe, Julie Patrois, Alfonso Lacadena, Marie-Charlotte Arnould, Eric Taladoire, y Dominique Michelet
 2010 De la autonomía política y cultural de la provincia de Río Bec. *Estudios de Cultura Maya* XXXVI: 37-66.
- Ortiz Ruiz, María Soledad
 2014 *Caracterización de las estructuras anulares de la región del occidente de las Tierras Bajas Mayas*. Tesis de maestría. El Colegio de Michoacán, México.
- Ortiz Ruiz, Soledad, Avto Goguitchaichvili, y Juan Morales
 2015 Sobre la edad de los hornos de cal en el área maya. *Arqueología Iberoamericana* VII (28): 9–15.

- Potter, David F.
- 1976 Prehispanic architecture and sculpture in central Yucatan. *American Antiquity* 41 (4): 430--448.
 - 1977 *Maya architecture of the central Yucatan peninsula, Mexico*. Middle American Research Institute Publ. 44, New Orleans: Tulane University.
- Reese-Taylor, Kathryn, Armando Anaya Hernández, F. C. Atasta Flores Esquivel, Kelly Monteleone, Alejandro Uriarte, Christopher Carr, Helga Geovannini Acuña, Juan Carlos Fernandez-Diaz, Meaghan Peuramaki-Brown, y Nicholas Dunning
- 2016 Boots on the ground at Yaxnohcah: ground-truthing lidar in a complex tropical landscape. *Advances in Archaeological Practice* 4 (3): 314–338.
- Ringle, William M.
- 1999 Pre-Classic cityscapes: ritual politics among the early Lowland Maya. En: David C. Grove y Rosemary A. Joyce, eds., *Social patterns in Pre-Classic Mesoamerica*, Washington: Dumbarton Oaks, pp. 183-223.
- Rovner, Irwin
- 1974 Implications of the lithic sequence at Becan. In: R. E. W. Adams, ed., *Preliminary reports on archaeological investigations in the Rio Bec area, Campeche, Mexico*, Middle American Research Institute, Publication 31, New Orleans: Tulane University, pp. 103-146.
 - 1975 *Lithic sequences from the Maya Lowlands*. Unpublished Ph.D. dissertation, Department of Anthropology, University of Wisconsin, Madison.
- Rovner, Irwin, and Suzanne M. Lewenstein
- 1997 *Maya stone tools of Dzibilchaltún, Yucatán, and Becán and Chicanná, Campeche*. Middle American Research Institute, Publication 65. New Orleans: Tulane University.
- Rosenwig, Robert M., y Rebecca R. Mendelsohn
- 2016 Izapa and the Soconusco region, Mexico, in the first millennium A.D. *Latin American Antiquity* 27 (3): 357-377.
- Ruppert, Karl, y John H. Denison Jr.
- 1943 *Archaeological reconnaissance in Campeche, Quintana Roo, and Petén*. Carnegie Institution of Washington Publication 543, Washington: Carnegie Institution of Washington.
- Russell, Bradley W., y Bruce H. Dahlin
- 2007 Traditional burnt-lime production at Mayapán, Mexico. *Journal of Field Archaeology* 32 (4): 407–423.
- Sanders, William T., Jeffrey R. Parsons, y Robert S. Santley
- 1979 *The basin of Mexico: ecological processes in the evolution of a civilization*. New York – San Francisco – London: Academic Press.
- Seligson, Kenneth, Tomás Gallareta Negrón, Rossana May Ciau, y George J. Bey III
- 2017a Burnt lime production and the Pre-Columbian Maya socio-economy: a case study from the northern Yucatán. *Journal of Anthropological Archaeology* 48: 281–294.
- Seligson, Kenneth E., Tomás Gallareta Negrón, Rossana May Ciau, y George J. Bey
- 2017b Using multiple lines of evidence to identify prehispanic Maya burnt-lime kilns in the northern Yucatán peninsula. *Latin American Antiquity* 28 (4): 558–576.
- Smith, Robert E., Gordon R. Willey, and James C. Gifford
- 1960 The Type-Variety concept as a basis for the analysis of Maya pottery. *American Antiquity* 25 (3): 330-340.

- Stark, Barbara L., y Wesley D. Stoner
 2017 Watching the game: viewership of architectural Mesoamerican ball courts. *Latin American Antiquity* 28 (3): 409–430.
- Stavrakis-Puleston, Olga
 2015 ed., *Settlement and subsistence in Tikal: The assembled work of Dennis E. Puleston (field research 1961-1972)*. BAR International Series 2757, Paris Monographs in American Archaeology 43, Oxford: Archaeopress.
- Stoltman, James B.
 1978 *Lithic artifacts from a complex society: The chipped stone tools of Becan, Campeche, Mexico*. Middle American Research Institute, Occasional Paper 2, New Orleans: Tulane University.
- Stone, Andrea y Mark U. Zender
 2011 *Reading Maya art: A hieroglyphic guide to ancient Maya painting and sculpture*. London: Thames & Hudson.
- Stuart, David
 1987 Ten phonetic syllables. *Research Reports on Ancient Maya Writing* 14: 1-52. Barnardsville: Center for Maya Research.
 1997 The hills are alive: sacred mountains in the Maya cosmos. *Symbols*, primavera, pp. 13-17. Cambridge.
 2001 Lectura y escritura en la corte maya. *Arqueología Mexicana* VIII (48): 48-53.
- Stuart, David y Stephen Houston
 1994 *Classic Maya place names*. Studies in Pre-Columbian Art and Archaeology 33. Washington: Dumbarton Oaks.
- Šprajc, Ivan
 2008a ed., *Reconocimiento arqueológico en el sureste del estado de Campeche, México: 1996-2005*. BAR International Series 1742 (Paris Monographs in American Archaeology 19), Oxford: Archaeopress.
 2008b Trabajo de campo. En: Ivan Šprajc, ed., *Reconocimiento arqueológico en el sureste del estado de Campeche, México: 1996-2005*, BAR International Series 1742 (Paris Monographs in American Archaeology 19), Oxford: Archaeopress, pp. 11-16.
 2015 ed., *Exploraciones arqueológicas en Chactún, Campeche, México*. Prostor, kraj, čas 7, Ljubljana: Založba ZRC (http://iaps.zrc-sazu.si/sites/default/files/pkc07_sprajc.pdf).
- Šprajc, Ivan
 2016a *Paisaje arqueológico y dinámica cultural en el área de Chactún, Campeche, México: Proyecto de investigación* (ms.). México: INAH, Archivo Técnico de la Coordinación Nacional de Arqueología.
 2016b *Proyecto de investigación: Paisaje arqueológico y dinámica cultural en el área de Chactún, Campeche, México (2016-2018): Propuesta para la temporada 2017, con el informe de las actividades en 2016* (ms.). México: INAH, Archivo Técnico de la Coordinación Nacional de Arqueología.
- Šprajc, Ivan, Octavio Q. Esparza Olguín, Atasta Flores Esquivel, y Aleš Marsetič
 2014 *Reconocimiento Arqueológico en el Sureste de Campeche: Informe de la temporada de 2013* (ms.). México: INAH, Archivo Técnico de la Coordinación Nacional de Arqueología.
- Šprajc, Ivan, Octavio Q. Esparza Olguín, Atasta Flores Esquivel, Aleš Marsetič, Arianna Campiani y Joseph W. Ball
 2015a *Reconocimiento Arqueológico en el Sureste de Campeche: Informe de la Temporada 2014* (ms.). México: INAH, Archivo Técnico de la Coordinación Nacional de Arqueología.

- Šprajc, Ivan, Octavio Esparza Olguín, Arianna Campiani, Atasta Flores Esquivel, Aleš Marsetič, y Joseph W. Ball
 2015b Chactún, Tamchén y Lagunita: primeras incursiones arqueológicas a una región ignota. *Arqueología Mexicana* XXIII (136): 20–25.
- Šprajc, Ivan, Atasta Flores Esquivel, Saša Čaval, y Ma. Isabel García López
 2014 *Reconocimiento arqueológico en el sureste del estado de Campeche, México: Temporada 2007*. Prostor, kraj, čas 4. Ljubljana: Založba ZRC (http://iaps.zrc-sazu.si/sites/default/files/pkc04_sprajc_0.pdf).
- Šprajc, Ivan, y Nikolai Grube
 2008 Arqueología del sureste de Campeche: una síntesis. En: Ivan Šprajc, ed., *Reconocimiento arqueológico en el sureste del estado de Campeche, México: 1996-2005*, BAR International Series 1742 (Paris Monographs in American Archaeology 19), Oxford: Archaeopress, pp. 263-275.
- Thomas, Prentice M.
 1981 *Prehistoric Maya settlement patterns at Becan, Campeche, Mexico*. Middle American Research Institute Publ. 45, New Orleans: Tulane University.
- Thompson, Eric J., Harry E. D. Pollock, y Jean Charlot
 1932 *A preliminary study of the ruins of Coba, Quintana Roo, Mexico*. Carnegie Institution of Washington Publ. 424, Washington.
- Turner, B. L.
 1974 Prehistoric intensive agriculture in the Mayan lowlands. *Science* 185 (4146): 118-124.
- Webster, David L.
 1976 *Defensive earthworks at Becan, Campeche, Mexico*. Middle American Research Institute, Publication 41. New Orleans: Tulane University.
- Willey, Gordon R., T. Patrick Culbert, and Richard E.W. Adams
 1967 Maya Lowland ceramics: a report from the 1965 Guatemala City Conference. *American Antiquity* 32 (3): 289-315.
- Zender, Marc U.
 2002 The toponyms of El Cayo, Piedras Negras, and La Mar. En: A. Stone, ed., *Hearth of creation: The Mesoamerican world and the legacy of Linda Schele*, Tuscaloosa: The University of Alabama Press, pp. 166-184.